

高浜発電所 3号炉審査資料	
資料番号	KTN3-PLM40-疲労 <u>改 2</u>
提出年月日	令和5年11月9日

高浜発電所 3号炉 劣化状況評価
(低サイクル疲労)

補足説明資料

令和5年11月9日
関西電力株式会社

本資料のうち、枠囲みの内容は機密に係る事項ですので公開することはできません。

目次

1. 概要	1
2. 基本方針	1
3. 評価対象と評価手法	4
3.1 評価対象	4
3.2 評価手法	5
4. 代表機器の技術評価	6
4.1 健全性評価	6
4.2 現状保全	19
4.3 総合評価	20
4.4 高経年化への対応	20
5. 代表機器以外の技術評価	21
5.1 健全性評価	21
5.2 現状保全	23
5.3 総合評価	25
5.4 高経年化への対応	25
6. まとめ	26
6.1 審査ガイド適合性	26
6.2 長期施設管理方針として策定する事項	28

別紙

別紙 1. 過渡回数推定値の算出方針について	1-1
別紙 2. 建設時に考慮されていない低サイクル応力変動の抽出プロセスについて ..	2-1
別紙 3. 原子炉容器の疲労累積係数の算出根拠について	3-1
別紙 4. クラッドにより環境疲労評価不要とする部位のクラッド確認について ..	4-1
別紙 5. 環境疲労評価で考慮している溶存酸素濃度について	5-1
別紙 6. 環境疲労評価手法における環境効果補正係数の算出方法について	6-1
別紙 7. 代表機器以外の疲労累積係数の算出根拠について	7-1
別紙 8. 詳細評価法による環境効果補正係数の算出手順について	8-1
別紙 9. 有限要素法解析における応力分類について	9-1
別紙 10. 蓄圧タンク出口第2逆止弁の過渡回数の影響について	10-1
別紙 11. 30年目の高経年化技術評価から変更した主な評価手法	11-1

1. 概要

本資料は、「実用発電用原子炉の設置、運転等に関する規則」第113条規定に基づき実施した劣化状況評価のうち、低サイクル疲労の評価結果について補足説明するものである。

低サイクル疲労とは、プラントの起動・停止時等に受ける温度・圧力により、機器の構造不連続部等に局所的に大きな応力変動が生じ、それが供用期間中に繰り返された場合に、疲労割れの発生に至る可能性がある劣化事象である。

このような応力変動の影響を考慮しても、評価対象期間（運転開始後60年）を通して疲労割れの発生に至らないことを確認する必要がある。

ここでは、原子炉容器を代表とし、具体的な評価を「4. 代表機器の技術評価」に、その他の評価対象については、「5. 代表機器以外の技術評価」にて評価を実施する。

2. 基本方針

低サイクル疲労に対する評価の基本方針は、対象機器について低サイクル疲労に対する技術評価を行い、運転開始後60年時点までの期間において「実用発電用原子炉の運転の期間の延長の審査基準」、「実用発電用原子炉の運転期間延長認可申請に係る運用ガイド」、「実用発電用原子炉施設における高経年化対策審査ガイド」および「実用発電用原子炉施設における高経年化対策実施ガイド」の要求事項を満たすことを確認することである。

低サイクル疲労についての要求事項を表1に整理する。

表1 (1/2) 低サイクル疲労についての要求事項

審査基準、ガイド	要求事項
実用発電用原子炉の運転の期間の延長の審査基準	<p>2. 実用炉規則第113条第2項第2号に掲げる原子炉その他の設備の劣化の状況に関する技術的な評価の結果、延長しようとする期間において、同評価の対象となる機器・構造物が下表に掲げる要求事項（以下「要求事項」という。）に適合すること、又は同評価の結果、要求事項に適合しない場合には同項第3号に掲げる延長しようとする期間における原子炉その他の設備に係る施設管理方針の実施を考慮した上で、延長しようとする期間において、要求事項に適合すること。</p> <p>○健全性評価の結果、評価対象部位の疲れ累積係数が1を下回ること。</p>
実用発電用原子炉の運転期間延長認可申請に係る運用ガイド	<p>3. 2 (1) 「延長しようとする期間における運転に伴い生ずる原子炉その他の設備の劣化の状況に関する技術的な評価」（以下「劣化状況評価」という。）の記載内容について評価の対象とする機器・構造物及び評価手法は、実用炉規則第82条第2項に規定する運転開始後40年を迎える発電用原子炉に係る発電用原子炉施設についての経年劣化に関する技術的な評価におけるものと同様とする。特に運転期間延長認可申請に伴うものとして評価を行い、その結果の記載が求められる事項は次のとおり。</p> <p>①上記3. 1の特別点検の結果を踏まえた劣化状況評価。</p> <p>④実用発電用原子炉及びその附属施設の技術基準に関する規則（平成25年原子力規制委員会規則第6号。以下「技術基準規則」という。）（運転開始以後40年を経過する日において適用されているものに限る。）に定める基準に照らした評価。</p> <p>3. 3 (1) 「延長しようとする期間における原子炉その他の設備に係る施設管理方針」（以下「施設管理方針」という。）の策定に係る手法は、実用炉規則第82条第2項に規定する運転開始後40年を迎える発電用原子炉に係る発電用原子炉施設についての施設管理に関する方針の策定と同様とする。特に運転期間延長認可申請に伴い策定するものとして記載が求められる事項は次のとおり。</p> <p>①上記3. 2の劣化状況評価を踏まえた施設管理方針。</p>

表1 (2/2) 低サイクル疲労についての要求事項

審査基準、ガイド	要求事項
実用発電用原子炉施設における高経年化対策審査ガイド	<p>3. 高経年化技術評価等の審査の視点・着眼点</p> <p>(1) 高経年化技術評価の審査</p> <p>⑫健全性の評価 実施ガイド3. 1⑤に規定する期間の満了日までの期間について、高経年化対策上着目すべき経年劣化事象の発生又は進展に係る健全性を評価していることを審査する。</p> <p>⑬現状保全の評価 健全性評価結果から現状の保全策の妥当性が評価されていることを審査する。</p> <p>⑭追加保全策の抽出 現状保全の評価結果から、現状保全に追加する必要のある新たな保全策が抽出されていることを審査する。</p> <p>(2) 長期施設管理方針の審査</p> <p>①長期施設管理方針の策定 すべての追加保全策について長期保守管理方針として策定されているかを審査する。</p>
実用発電用原子炉施設における高経年化対策実施ガイド	<p>3. 1 高経年化技術評価の実施及び見直し 高経年化技術評価の実施及び見直しに当たっては、以下の要求事項を満たすこと。 ③運転開始後40年を迎えるプラントの高経年化技術評価には、当該申請に至るまでの間の運転に伴い生じた原子炉その他の設備の劣化の状況の把握のために実施した点検（特別点検）の結果を適切に反映すること。 ⑤抽出された高経年化対策上着目すべき経年劣化事象について、以下に規定する期間の満了日までの期間について機器・構造物の健全性評価を行うとともに、必要に応じ現状の施設管理に追加すべき保全策（以下「追加保全策」という。）を抽出すること。 ロ 実用炉規則第82条第2項又は第3項の規定に基づく高経年化技術評価プラントの運転を開始した日から40年間に同条第2項又は第3項に規定する延長する期間を加えた期間</p> <p>3. 2 長期施設管理方針の策定及び変更 長期施設管理方針の策定及び変更に当たっては、以下の要求事項を満たすこと。 ①高経年化技術評価の結果抽出された全ての追加保全策（発電用原子炉の運転を断続的に行うことを前提として抽出されたもの及び冷温停止状態が維持されることを前提として抽出されたものの全て。）について、発電用原子炉ごとに、施設管理の項目及び当該項目ごとの実施時期を規定した長期施設管理方針を策定すること。 なお、高経年化技術評価の結果抽出された追加保全策について、発電用原子炉の運転を断続的に行うことを前提とした評価から抽出されたものと冷温停止状態が維持されることを前提とした評価から抽出されたものの間で、その対象の経年劣化事象及び機器・構造物の部位が重複するものについては、双方の追加保全策を踏まえた保守的な長期施設管理方針を策定すること。</p>

3. 評価対象と評価手法

3.1 評価対象

低サイクル疲労が想定される機器は多数存在するが、高経年化技術評価では評価対象となる機器の中から代表機器を選定して評価を行う。評価対象機器、代表機器は以下の条件に該当する機器を抽出する。

① 低サイクル疲労に係る評価対象設備

プラントの起動・停止時等に温度・圧力変化の影響を受ける機器を評価対象として抽出している。

② 対象設備のグループ化及び代表機器の選定

高経年化技術評価では、評価対象機器を構造（型式等）、使用環境（内部流体等）、材料に応じてグループ化を行っており、設備の重要度（高い）、使用条件（温度、圧力が高い）等を考慮してグループ内代表機器を選定している。

以降の説明では、②で選ばれた低サイクル疲労が想定されるグループ内代表機器のうち、1機器を代表機器として評価の詳細を説明する。

ここでは、プラント安全上最も重要な「原子炉容器」を代表機器として選定し、具体的な評価結果を「4. 代表機器の技術評価」に示す。

なお、原子炉容器以外の機器の評価結果については「5. 代表機器以外の技術評価」に示す。

3.2 評価手法

(1) 低サイクル疲労評価のフロー

低サイクル疲労の技術評価のフローを図1に示す。

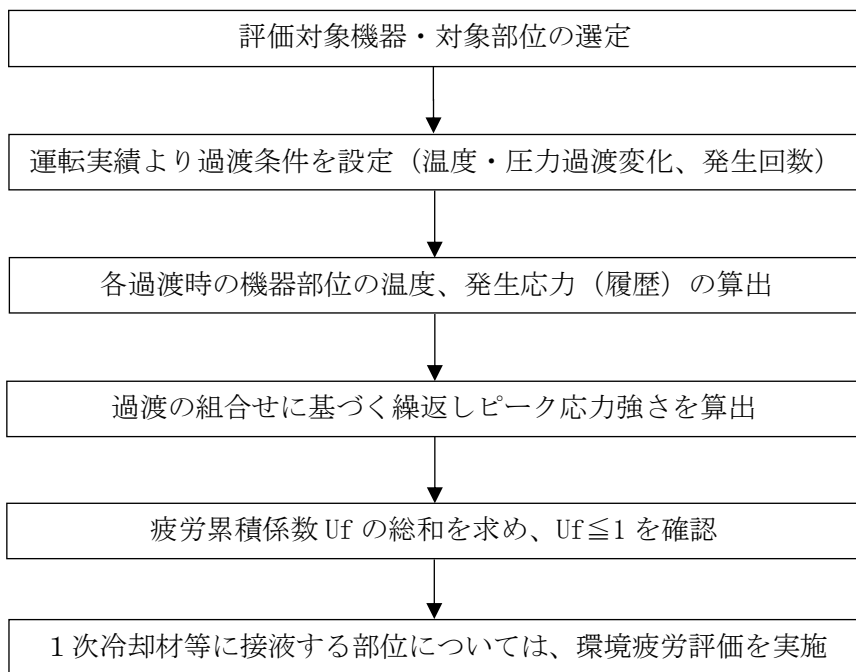


図1 低サイクル疲労の技術評価フロー

(2) 適用規格

低サイクル疲労の評価に用いた規格および評価手法を以下に示す。

- ① 「日本原子力学会 原子力発電所の高経年化対策実施基準：2008 (AESJ-SC-P005 : 2008)」 (以下、「実施基準」という。)
- ② 「日本機械学会 設計・建設規格 (JSME S NC1-2005/2007)」 (以下、「設計・建設規格」という。)
- ③ 「日本機械学会 環境疲労評価手法 (JSME S NF1-2009)」 (以下、「環境疲労評価手法」という。)

4. 代表機器の技術評価

4.1 健全性評価

(1) 原子炉容器

(a) 評価対象部位の選定

原子炉容器の評価対象部位を図2に、選定理由を表2に示す。

*1: 「設計・建設規格」に基づく疲労評価対象部位(最大) (非接液部の場合は（）内に理由を記載)
*2: 「環境疲労評価手法」に基づく疲労評価対象部位(最大) (接液部が対象)

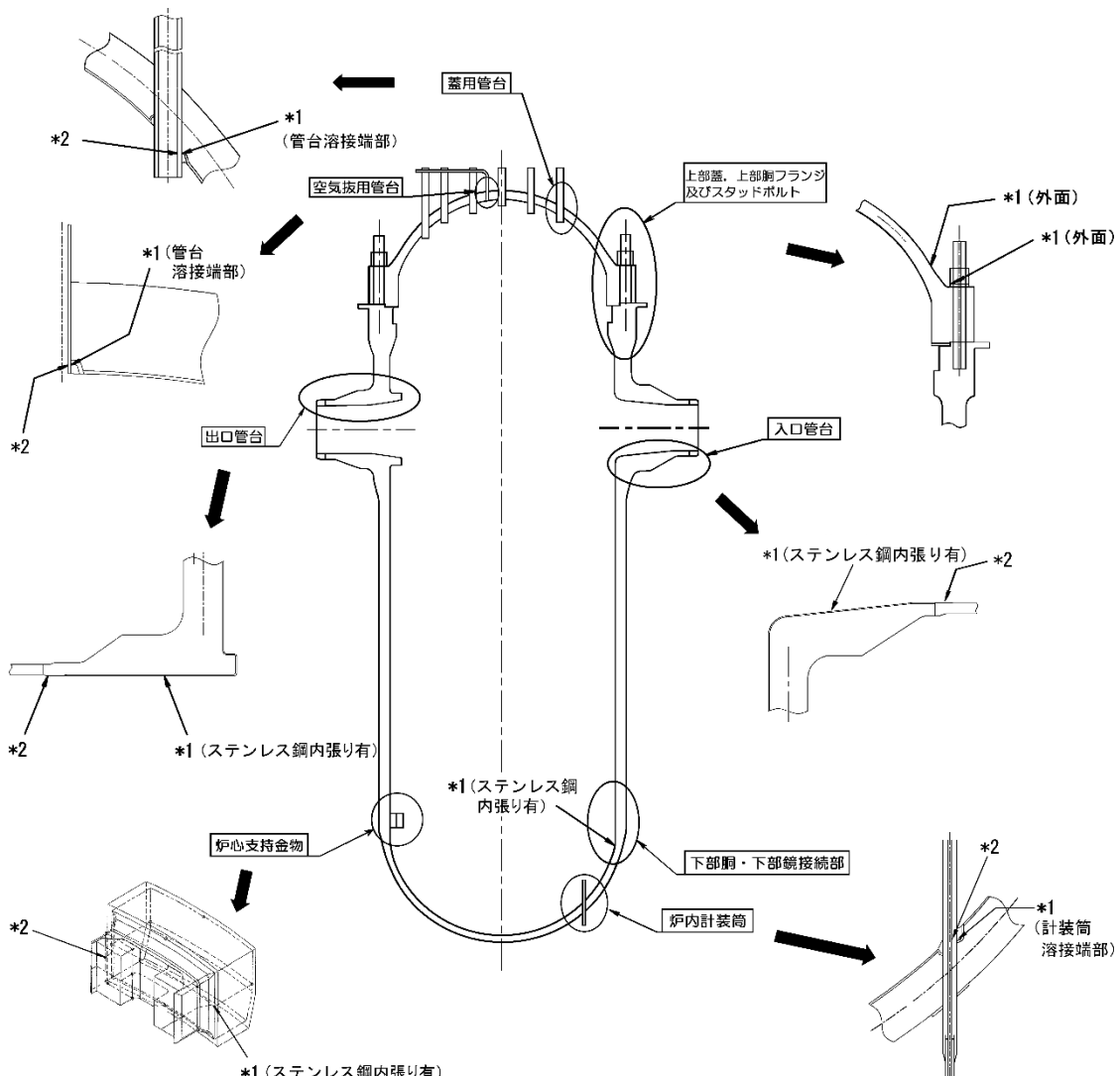


図2 原子炉容器の疲労評価対象部位

表2 対象部位の選定理由

対象機器・部位		選定理由
原子炉容器	冷却材入口管台	建設時工認評価部位
	冷却材出口管台	建設時工認評価部位
	蓋用管台	原子炉容器上部蓋取替工事工認評価部位
	空気抜用管台	原子炉容器上部蓋取替工事工認評価部位
	炉内計装筒	建設時工認評価部位
	上部蓋および上部胴フランジ	建設時工認評価部位
	下部胴・下部鏡接続部	建設時工認評価部位
	炉心支持金物	建設時工認評価部位
	スタッドボルト	建設時工認評価部位

(b) 過渡条件の設定

各過渡条件の繰返し回数は「実施基準」に基づき、運転実績に基づく2019年度末までの過渡回数を用い、運転開始後60年時点の過渡回数を推定する。

過渡回数策定方針特記事項を表3に、評価用過渡回数の略式図を図3に、実績過渡回数および年平均過渡回数の算出における評価上の取り扱いを図4に、疲労評価に用いた過渡回数を表4に示す。

具体的には以下に示す計算方法に基づき未取替機器（上部蓋、蓋用管台、空気抜用管台以外）、取替機器（上部蓋、蓋用管台、空気抜用管台）、スタッドボルトの3種の過渡回数を設定する。

なお、設定する過渡は運転状態I（通常運転時の運転状態）、運転状態II（供用期間中に予想される機器の单一故障等による通常運転状態からの逸脱状態）とした。

① 未取替機器

$$60\text{ 年時点過渡回数} = \text{実績過渡回数} + \text{推定過渡回数}$$

$$\geq \text{実績過渡回数} + (\text{実績過渡回数に基づく 1 年間当たりの平均過渡回数})$$

$$\times \text{余裕} \times \text{残年数}$$

② 取替機器（上部蓋、蓋用管台、空気抜用管台）

$$60\text{ 年時点過渡回数} = \text{実績過渡回数} + \text{推定過渡回数}$$

$$\geq \text{取替後実績過渡回数} + (\text{未取替機器の 1 年間当たり平均過渡回数})$$

$$\times \text{余裕} \times \text{残年数}$$

また、過渡回数推定値の算出方針について別紙1に、建設時に考慮されていない低サイクル応力変動の抽出プロセスについて別紙2に示す。

表3 過渡回数策定方針特記事項

項目	内容
1 定常負荷運転時の変動	有意な変動は生じていないことから、カウントしない。
2 未経験過渡回数	電力共通研究「応力解析手法の高度化」のデータを使用する。
3 5%/min 負荷上昇、減少の平均過渡回数	稼働率向上を考慮すると、システムフリー試験回数が増加するため、負荷上昇、減少の平均回数は [] とする。
4 起動・停止 (温度上昇・下降 55.6°C/h)	起動・停止回数が異なる場合は、保守側に回数が多いほうに設定した。 なお、過渡変化率は、評価上最も厳しい設計過渡条件としており、十分保守的な値を設定した。
5 燃料交換	計算上は 0.74 回/年であるが、[] とする。
6 タービン回転試験	プラント建設時の機能試験に係る過渡のため、今後は発生しない。
7 取替機器の実績過渡	原子炉容器上部蓋は第 18 回定期検（2007～2008 年度）の取替後、2019 年度末までの実績過渡で評価。
8 スタッドボルトおよび取替機器の平均過渡回数について	平均過渡回数は未取替機器と同様（スタッドボルトの起動・停止及び 1 次系漏洩試験を除く）とする。
9 試運転の実績過渡回数	実績過渡回数に含めるが、試運転過渡事象は試運転時特有のものであり、年平均過渡回数の算定には含めない。
10 長期停止期間に発生した過渡の扱い	実績過渡回数に含めるが、年平均過渡回数の算定には含めない。長期停止期間の開始と終了は、燃料取出から燃料装荷までとする。 長期停止期間：2012 年 3 月 1 日～2017 年 5 月 13 日
11 推定過渡回数の算出に用いる残年数	評価上、実績過渡回数調査時点（2019 年度末）から運転開始後 60 年時点までの期間を残年数とする。
12 評価用過渡回数の余裕	評価用過渡回数は、年平均過渡回数に残年数を掛けた値に十分な余裕（1 を超える値）を考慮し設定する。高浜 3 号炉については、1.5 とする。

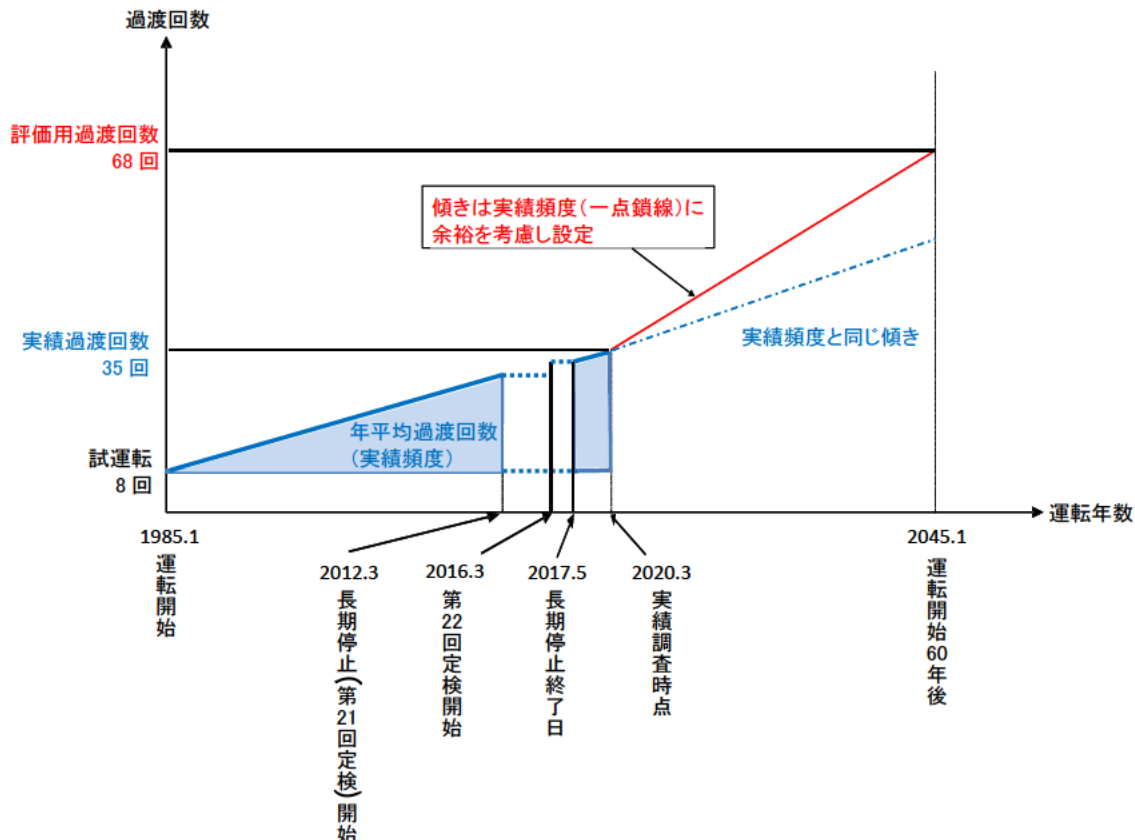


図3 評価用過渡回数の略式図(「停止」の例)

営業運転開始時点	現時点(実績調査時点)	運転開始後60年時点
1985.1.17	2020.3.31	2045.1.16
実際の運転状況	通常の断続運転 → 21回定期検査 → 運転 → 22回定期検査 → 通常の断続運転	
評価上の取扱い	① ②	① ③

① 通常の断続運転状態の期間であるため、この期間に発生した過渡の回数を実績値としてカウントするとともに、年平均過渡回数の算出に考慮している。
 ② 長期停止期間に一度再稼働しているが、通常と異なる特有の期間であるため、この期間に発生した過渡の回数を実績値としてはカウントするが、年平均過渡回数の算出には考慮しない。
 ③ 評価上、通常の断続運転状態が継続している期間として取り扱い、①の期間における年平均過渡回数に余裕を考慮した頻度で過渡が発生するものと想定する。

図4 実績過渡回数および年平均過渡回数の算出における評価上の取り扱い

表 4(1/3) 未取替機器（上部蓋、蓋用管台、空気抜用管台、およびスタッドボルトを除く）の疲労評価に用いた過渡回数

運転状態 I

過渡項目	過渡回数 特記事項 ^{*2}	運転実績に基づく過渡回数	
		2019年度末時点	運転開始後60年 時点の推定値
起動（温度上昇率55.6°C/h）	4、9	35	68
停止（温度下降率55.6°C/h）	4、9	35	68
負荷上昇（負荷上昇率5%/min）	3、9	317	801
負荷減少（負荷減少率5%/min）	3、9	306	790
90%から100%へのステップ状負荷上昇	2、9	4	6
100%から90%へのステップ状負荷減少	2、9	4	6
100%からの大きいステップ状負荷減少	2、9	2	4
定常負荷運転時の変動 ^{*1}	1	—	—
燃料交換	5、9	24	62
0%から15%への負荷上昇	9	41	75
15%から0%への負荷減少	9	30	63
1 ループ停止／1 ループ起動			
I) 停止	2	0	2
II) 起動	2	0	2

運転状態 II

過渡項目	過渡回数 特記事項 ^{*2}	運転実績に基づく過渡回数	
		2019年度末時点	運転開始後60年 時点の推定値
負荷の喪失	2、9	4	6
外部電源喪失	2、9	1	4
1 次冷却材流量の部分喪失	2	0	2
100%からの原子炉トリップ			
I) 不注意な冷却を伴わないトリップ	9	3	5
II) 不注意な冷却を伴うトリップ	2	0	2
III) 不注意な冷却と安全注入を伴うトリップ	2	0	2
1 次冷却系の異常な減圧	2	0	2
制御棒クラスターの落下	—	1	3
出力運転中の非常用炉心冷却系の誤起動	2	0	2
1 次冷却系停止ループの誤起動	2	0	2
タービン回転試験	6、9	3	3
1 次系漏えい試験	9	31	63

*1：設計評価においては、1次冷却材温度±1.7°C、1次冷却材圧力±0.34MPa（±3.5kg/cm²）の変動があるものとしているが、この過渡項目の疲労累積係数への寄与は小さく、また、実際には通常運転中のゆらぎとして、このような変動は生じていない。

*2：過渡回数特記事項10、11、12は記載省略。

表 4(2/3) 取替機器（上部蓋、蓋用管台、空気抜用管台）の疲労評価に用いた過渡回数

運転状態 I

過渡項目	過渡回数 特記事項 ^{*2}	運転実績に基づく過渡回数	
		2019年度末時点	運転開始後60年 時点の推定値 ^{*3}
起動（温度上昇率55.6°C/h）	4	7	40
停止（温度下降率55.6°C/h）	4	7	40
負荷上昇（負荷上昇率5%/min）	3	65	549
負荷減少（負荷減少率5%/min）	3	65	549
90%から100%へのステップ状負荷上昇	2	0	2
100%から90%へのステップ状負荷減少	2	0	2
100%からの大きいステップ状負荷減少	2	0	2
定常負荷運転時の変動 ^{*1}	1	-	-
燃料交換	5	5	43
0%から15%への負荷上昇	-	7	41
15%から0%への負荷減少	-	7	40
1 ループ停止／1 ループ起動			
I) 停止	2	0	2
II) 起動	2	0	2

運転状態 II

過渡項目	過渡回数 特記事項 ^{*2}	運転実績に基づく過渡回数	
		2019年度末時点	運転開始後60年 時点の推定値 ^{*3}
負荷の喪失	2	0	2
外部電源喪失	2	0	3
1 次冷却材流量の部分喪失	2	0	2
100%からの原子炉トリップ			
I) 不注意な冷却を伴わないトリップ	-	0	2
II) 不注意な冷却を伴うトリップ	2	0	2
III) 不注意な冷却と安全注入を伴うトリップ	2	0	2
1 次冷却系の異常な減圧	2	0	2
制御棒クラスタの落下	-	0	2
出力運転中の非常用炉心冷却系の誤起動	2	0	2
1 次冷却系停止ループの誤起動	2	0	2
タービン回転試験	6	0	0
1 次系漏えい試験	-	7	39

*1：設計評価においては、1次冷却材温度±1.7°C、1次冷却材圧力±0.34MPa（±3.5kg/cm²）の変動があるものとしているが、この過渡項目の疲労累積係数への寄与は小さく、また、実際には通常運転中のゆらぎとして、このような変動は生じていない。

*2：過渡回数特記事項7、8、10、11、12は記載省略。

*3：運転開始後23年時点での上部蓋取替に伴い、プラント運転開始後60年時点の過渡回数としては、上部蓋取替からプラント運転開始後60年時点までの年数である37年間の過渡回数とした。

表4(3/3) スタッドボルトの疲労評価に用いた過渡回数

運転状態I

過渡項目	過渡回数 特記事項 ^{*2}	運転実績に基づく過渡回数	
		2019年度末時点	運転開始後60年 時点の推定値
起動（温度上昇率55.6°C/h）	4、9	37	72
停止（温度下降率55.6°C/h）	4、9	37	72
負荷上昇（負荷上昇率5%/min）	3、9	317	801
負荷減少（負荷減少率5%/min）	3、9	306	790
90%から100%へのステップ状負荷上昇	2、9	4	6
100%から90%へのステップ状負荷減少	2、9	4	6
100%からの大きいステップ状負荷減少	2、9	2	4
定常負荷運転時の変動 ^{*1}	1	-	-
燃料交換	5、9	24	62
0%から15%への負荷上昇	9	41	75
15%から0%への負荷減少	9	30	63
1ループ停止／1ループ起動			
I) 停止	2	0	2
II) 起動	2	0	2

運転状態II

過渡項目	過渡回数 特記事項 ^{*2}	運転実績に基づく過渡回数	
		2019年度末時点	運転開始後60年 時点の推定値
負荷の喪失	2、9	4	6
外部電源喪失	2、9	1	4
1次冷却材流量の部分喪失	2	0	2
100%からの原子炉トリップ			
I) 不注意な冷却を伴わないトリップ	9	3	5
II) 不注意な冷却を伴うトリップ	2	0	2
III) 不注意な冷却と安全注入を伴うトリップ	2	0	2
1次冷却系の異常な減圧	2	0	2
制御棒クラスターの落下	-	1	3
出力運転中の非常用炉心冷却系の誤起動	2	0	2
1次冷却系停止ループの誤起動	2	0	2
タービン回転試験	6、9	3	3
1次系漏えい試験	9	34	69

*1：設計評価においては、1次冷却材温度±1.7°C、1次冷却材圧力±0.34MPa（±3.5kg/cm²）の変動があるものとしているが、この過渡項目の疲労累積係数への寄与は小さく、また、実際には通常運転中のゆらぎとして、このような変動は生じていない。

*2：過渡回数特記事項8、10、11、12は記載省略。

(c) 応力解析、疲労累積係数算出

原子炉容器各部位（スタッドボルトを除く）の健全性評価は、設計・建設規格の規定に従い、大気環境中の疲労評価を行う。

供用状態A、B（運転状態I、II）の過渡条件に対し、P（圧力）、O（熱過渡）、M（機械的荷重）、D（自重）、T（熱膨張荷重）の各荷重を考慮して、応力解析を行い、過渡条件の組合せを考慮して疲労累積係数（Uf）を算出する。

接液部に対しては、環境疲労評価手法に従い、環境効果補正係数（Fen）を算出し、環境効果を考慮した疲労累積係数（Uen）を算出する。

スタッドボルトの健全性評価については、設計・建設規格の規定に従い、疲労評価を行う。

供用状態A、B（運転状態I、II）の過渡条件に対して、P（圧力）、O（熱過渡）、M（機械的荷重）の各荷重を考慮して、応力解析を行い、過渡条件の組合せを考慮して疲労累積係数（Uf）を算出する。

それぞれの疲労評価の解析フローを図5に示す。

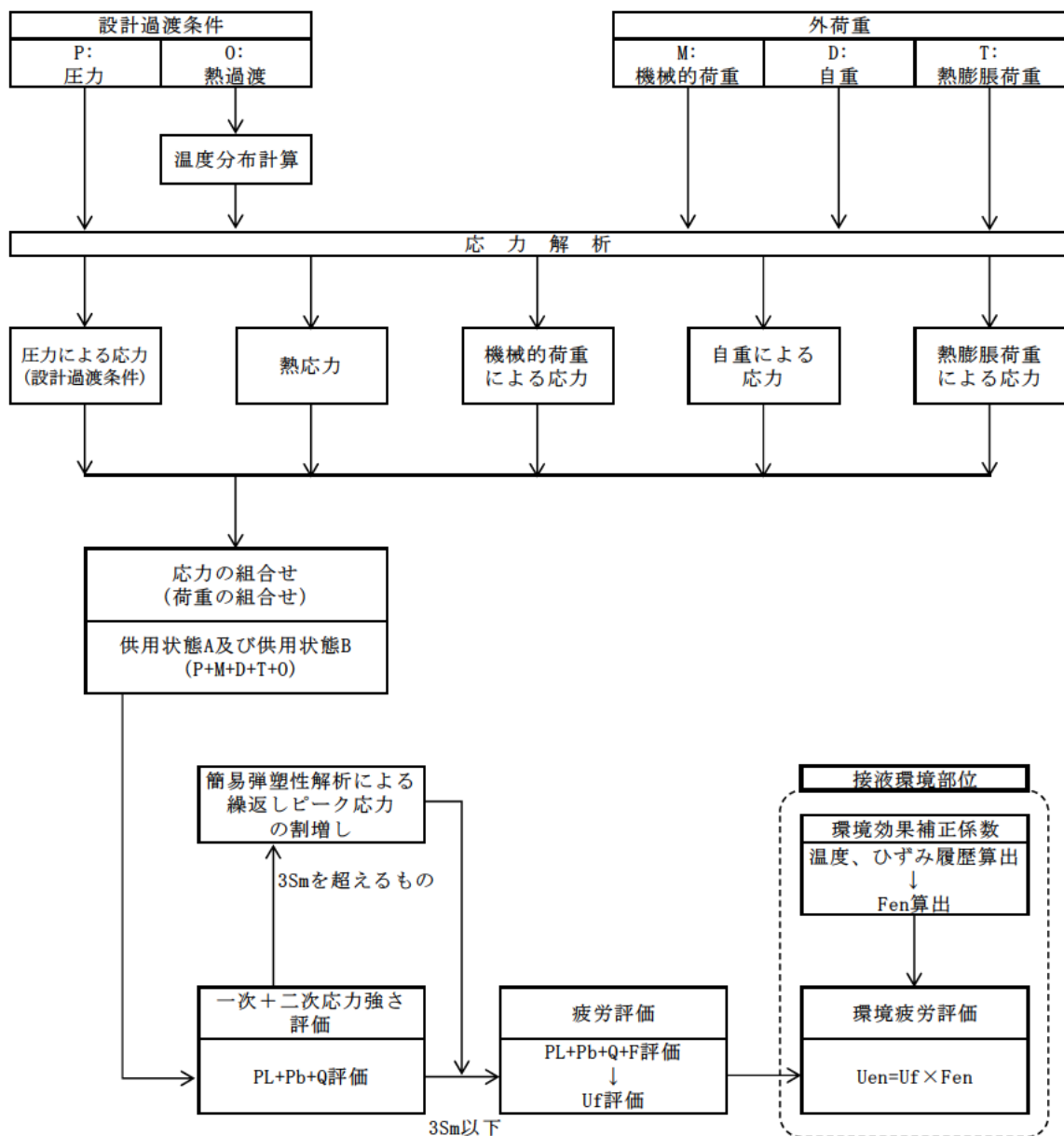


図 5(1/2) 疲労評価の解析フロー (スタッドボルトを除く部位)

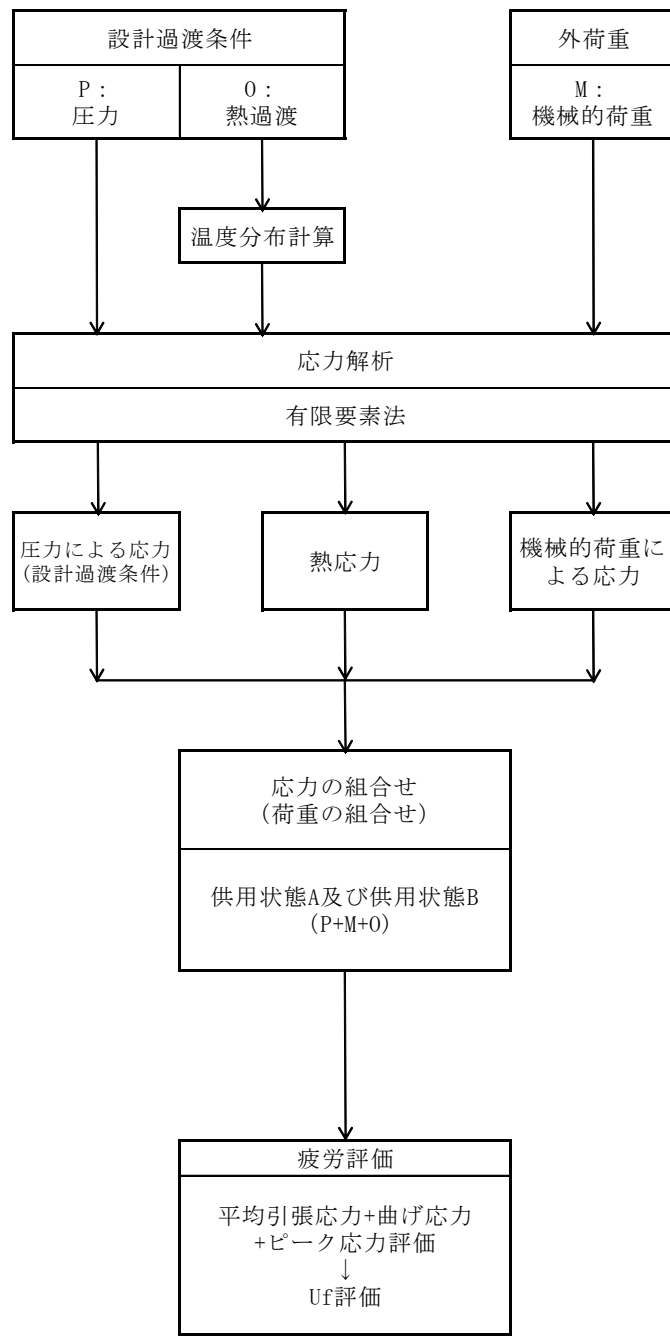


図 5(2/2) 疲労評価の解析フロー（スタッドボルト）

(d) 評価結果

設計・建設規格に基づき、大気環境中での疲労評価を行った結果、疲労累積係数(Uf)が1を下回ることを確認した。

さらに、接液環境にある評価点について環境疲労評価手法に基づき、接液環境を考慮した疲労評価を行った結果、疲労累積係数(Uen)が1を下回ることを確認した。

原子炉容器の疲労評価結果を表5に示す。

また、原子炉容器の疲労累積係数の算出根拠について別紙3、クラッドにより環境疲労評価不要とする部位のクラッド確認について別紙4に示す。

表5 原子炉容器の疲労評価結果

評価対象部位	疲労累積係数 (許容値:1以下)	
	設計・建設規格 による解析	環境疲労評価手法 による解析
冷却材入口管台	0.037	0.001 ^{*2}
冷却材出口管台	0.045	0.001 ^{*2}
蓋用管台 ^{*1}	0.110	0.001 ^{*2}
空気抜用管台 ^{*1}	0.013	0.001 ^{*2}
炉内計装筒	0.116	0.002 ^{*2}
上部蓋 ^{*1} および上部胴フランジ	0.008	- ^{*3}
下部胴・下部鏡接続部	0.005	- ^{*3}
炉心支持金物	0.006	0.001 ^{*2}
スタッドボルト	0.363	- ^{*3}

*1：第18回定期検査時（2007～2008年度）に原子炉容器上部蓋を取り替えているため、37年間の過渡回数を基に算出した。

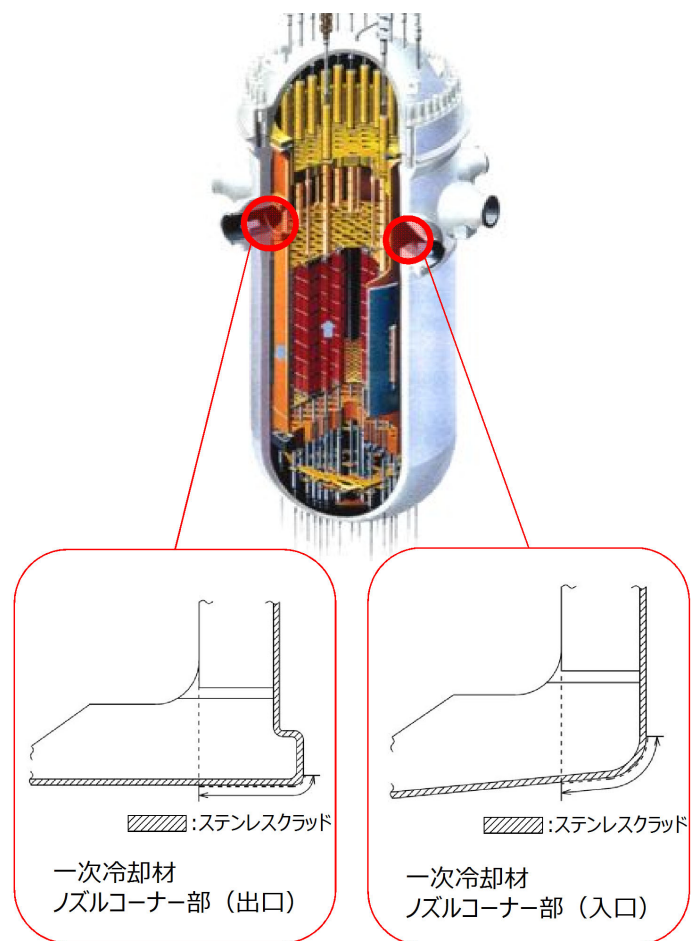
*2：炉水環境にあり、かつ疲労評価上最も厳しい箇所について評価を実施しており、疲労評価対象箇所と異なる。

*3：非接液部。

(e) 特別点検を踏まえた劣化状況評価

運転期間延長認可申請に際して実施した特別点検において、比較的疲労累積係数の高い原子炉容器出入口管台（合計 6箇所）のノズルコーナ部に対して 1mm 程度の欠陥が十分検出可能な渦流探傷試験により確認した結果、有意な欠陥は認められなかった。

この結果より、内張り（ステンレスクラッド）に疲労割れ等の有意な経年劣化は発生しておらず、母材部はステンレスクラッドにより適切に保護されていることが確認できた。



4.2 現状保全

原子炉容器の評価対象部位における疲労割れに対する保全は、原子力規制委員会文書「実用発電用原子炉及びその付属施設における破壊を引き起こす亀裂その他の欠陥の解釈の制定について」(平成26年8月6日付け原規技発第1408063号)および「日本機械学会 発電用原子力設備規格 維持規格」に従った検査プログラム、試験方法および試験範囲で供用期間中検査として超音波探傷検査、浸透探傷検査、目視確認(VT-1、VT-2、VT-3)を実施し、健全性を確認している。

原子炉容器内面の内張りに対しては、定期的に目視確認を実施し、内張りの損傷などの異常の有無を確認しており、これまでの点検の結果、問題のないことを確認できている。

なお、低サイクル疲労の予防保全の観点から行っている工事はない。

原子炉容器の供用期間中検査の内容を表6に示す。

表6 原子炉容器の供用期間中検査の内容

部位	検査部位	検査内容	検査範囲 / 頻度	至近の検査実績	検査結果
冷却材入口管台	内面コーナー、セーフエンドとの溶接部、胴との溶接部	①超音波探傷検査 ②浸透探傷検査	100%/7年	①第17回定期検査 ②第24回定期検査	良
冷却材出口管台	内面コーナー、セーフエンドとの溶接部、胴との溶接部	①超音波探傷検査 ②浸透探傷検査	100%/7年	①第17回定期検査 ②第24回定期検査	良
蓋用管台	制御棒駆動装置ハウジングとの溶接部	浸透探傷検査	25%/7年	第24回定期検査	良
空気抜用管台	上部蓋の貫通部	漏えい検査による目視確認(VT-2)	毎定検	第24回定期検査	良
炉内計装筒	下部鏡の貫通部	ベアメタル検査*	100%/3.5年	第23回定期検査	良
上部蓋および上部胴フランジ	溶接部	超音波探傷検査	100%/7年	第17回定期検査	良
下部胴・下部鏡接続部	溶接部	超音波探傷検査	100%/7年	第17回定期検査	良
炉心支持金物	胴との溶接部	目視確認(VT-3)	100%/7年	第24回定期検査	良
スタッドボルト	ボルト本体	超音波探傷検査	100%/7年	第24回定期検査	良
	ナット	目視確認(VT-1)	100%/7年	第24回定期検査	良

*ベアメタル検査：加圧水型軽水炉の一次冷却材圧力バウンダリにおけるNi基合金使用部位に係る検査で、保温材をはがして地金にホウ酸の付着がないかを目視により確認する。

4.3 総合評価

運転開始後 60 年間の供用を想定した原子炉容器の疲労評価結果は、疲労累積係数が 1 を下回り、疲労割れの発生が問題となる可能性はないと考える。

また、運転期間延長認可申請に際して実施した特別点検で冷却材出入口管台のノズルコーナ部に対して、渦流探傷試験を実施した。その結果クラッド表面について損傷が認められなかった。これによりクラッドが健全であることおよびクラッド表面からの割れが確認されなかったことから、疲労評価結果の現時点での妥当性が確認できた。

ただし、疲労評価は実績過渡回数に依存するため、今後も実績過渡回数を把握し評価する必要がある。

なお、疲労割れは超音波探傷検査等により、原子炉容器内面の内張りの欠陥については、有意な異常のないことを目視確認により検知可能であり、点検手法として適切である。

4.4 高経年化への対応

低サイクル疲労については、実績過渡回数の確認を継続的に実施し、運転開始後 60 年時点の推定過渡回数を上回らないことを確認する。

5. 代表機器以外の技術評価

5.1 健全性評価

代表機器以外の機器についての評価結果一覧を表7に示す。

また、クラッドにより環境疲労評価不要とする部位のクラッド確認について別紙4、環境疲労評価で考慮している溶存酸素濃度について別紙5、環境疲労評価手法における環境効果補正係数の算出方法について別紙6、代表機器以外の疲労累積係数の算出根拠について別紙7に示す。

表7(1/2) 代表機器以外の機器についての評価結果一覧

評価対象機器、部位			疲労累積係数 (許容値:1以下)	
			設計・建設規格 による解析	環境疲労評価手法 による解析
ポンプ	余熱除去ポンプ	ケーシング	0.025	0.079 ^{*1}
	1次冷却材ポンプ	ケーシング吸込ノズル	0.001	0.001
		ケーシング吐出ノズル	0.099	0.763 ^{*1}
		ケーシング脚部	0.101	0.763 ^{*1}
熱交換器	再生熱交換器	管板部	0.038	0.048
	余熱除去冷却器	管板部	0.051	0.072
	蒸気発生器	管板まわり	0.139	0.150 ^{*1}
		給水入口管台	0.158	0.525 ^{*2}
容器	加圧器	スプレーライン用管台	0.061	0.034 ^{*1*2}
		サージ用管台	0.038	0.215 ^{*1}
	機械ペネトレーション	余熱除去出口配管貫通部端板	0.001	— ^{*3}
		主蒸気管貫通部伸縮継手	0.024	— ^{*3}
		主給水管貫通部伸縮継手	0.219	— ^{*3}
配管	ステンレス鋼配管	余熱除去系統入口配管 「1次冷却材管高温側出口管台～余熱除去ポンプ入口第2隔離弁」	0.001	0.020
		余熱除去系統入口配管 「余熱除去ポンプ入口第2隔離弁～原子炉格納容器貫通部」	0.001	0.007

*1:接液部のうち疲労評価上最も厳しい箇所について評価を実施しており、設計・建設規格の疲労評価対象箇所と異なる。

*2:熱成層による発生応力を含めた解析であり、3次元有限要素法を用いた評価である。また、熱成層を考慮した応力評価の結果最も厳しい箇所について評価しており、設計・建設規格の疲労評価対象箇所と異なる。

*3:非接液部。

表7(2/2) 代表機器以外の機器についての評価結果一覧

評価対象機器、部位		疲労累積係数 (許容値: 1 以下)	
		設計・建設規格 による解析	環境疲労評価手法 による解析
配管	ステンレス鋼配管	加圧器サーボ配管	0.008
		加圧器スプレイ配管	0.011
	炭素鋼配管	主給水系統配管 「原子炉格納容器貫通部～蒸気発生器給水管台」	0.014
		ホットレグ	0.001
		クロスオーバレグ	0.002
		コールドレグ	0.001
		加圧器サーボライン用管台	0.030
	1 次冷却材管	蓄圧タンク注入ライン管台	0.008
		余熱除去系戻りおよび安全注入管台	0.007
		充てんライン用管台	0.003
弁	仕切弁	余熱除去ポンプCループ側入口第1隔離弁弁箱	0.004
	玉形弁	抽出水止め弁弁箱	0.029
	スイング逆止弁	蓄圧タンク出口第2逆止弁弁箱	0.099
	リフト逆止弁	加圧器補助スプレイ逆止弁弁箱	0.011
炉内構造物	炉心支持構造物	上部炉心支持板	0.003
		上部炉心支持柱	0.001
		下部炉心支持板	0.002
		下部炉心支持柱	0.002
重機器サポート	加圧器	加圧器スカート溶接部	0.145
			—*3

*2 : 熱成層による発生応力を含めた解析であり、3次元有限要素法を用いた評価である。また、熱成層を考慮した応力評価の結果最も厳しい箇所について評価しており、設計・建設規格の疲労評価対象箇所と異なる。

*3 : 非接液部。

5.2 現状保全

代表機器以外の現状保全を表8に示す。なお、低サイクル疲労の予防保全の観点から行っている工事はない。

表8(1/2) 代表機器以外の現状保全

評価対象機器、部位			現状保全内容	検査範囲 / 頻度	至近の検査実績	検査結果
ポンプ	余熱除去ポンプ	ケーシング	ケーシング内面全体の目視確認	1回/6 定検	第22回定期検査	良
	1次冷却材ポンプ	ケーシング	①ケーシング内面の目視確認(VT-3) ②漏えい検査(VT-2)	①100%/7年(1台) ②毎定検	①第21回定期検査 ②第24回定期検査	良
熱交換器	再生熱交換器	管板	漏えい検査(VT-2)	100%/7年	第20回定期検査	良
	余熱除去冷却器	管板	目視確認	1回/10定検	第18回定期検査	良
	蒸気発生器	管板	①溶接部の超音波探傷検査 ②漏えい試験(VT-2)	①25%/7年 ②毎定検	①第24回定期検査 ②第24回定期検査	良
		給水入口管台	漏えい試験(VT-2)	100%/7年	第24回定期検査	
容器	加圧器	スプレイライン用管台	①溶接部の超音波探傷検査 ②溶接部の浸透探傷検査 ③漏えい検査(VT-2)	①25%/7年 ②25%/7年 ③毎定検	①第23回定期検査 ②第23回定期検査 ③第24回定期検査	良
		サージ用管台			①第23回定期検査 ②第23回定期検査 ③第24回定期検査	
	機械ペネトレーション	余熱除去出口配管貫通部	①目視確認 ②原子炉格納容器漏えい率試験	①②1回/3定検	①第21回定期検査 ②第21回定期検査	良
		主蒸気管貫通部伸縮継手				
		主給水管貫通部伸縮継手				

表 8(2/2) 代表機器以外の現状保全

評価対象機器、部位		現状保全内容	検査範囲 / 頻度	至近の検査実績	検査結果	
配管	ステンレス鋼配管	余熱除去系統入口配管 「1次冷却材管高温側 出口管台～余熱除去ポンプ入口第2隔離弁」	①溶接部の超音波 探傷検査 ②溶接部の浸透探傷 検査 ③漏えい検査(VT-2)	①25%/7年 ②25%/7年 ③毎定検	①第24回定期検査 ②第21回定期検査 ③第24回定期検査	良
		余熱除去系統入口配管 「余熱除去ポンプ入口 第2隔離弁～原子炉格納容器貫通部」	①溶接部の浸透探傷 検査 ②漏えい検査(VT-2)	①7.5%/7年 ②100%/7年	①第24回定期検査 ②第24回定期検査	良
		加圧器サージ配管	①溶接部の超音波 探傷検査 ②漏えい検査(VT-2)	①25%/7年 ②毎定検	①第24回定期検査 ②第24回定期検査	良
	加圧器スプレイ配管				①第24回定期検査 ②第24回定期検査	良
炭素鋼配管	主給水系統配管	漏えい検査(VT-2)	100%/7年	第24回定期検査	良	
	1次冷却材管	ホットレグ、クロスオーバーレグ、コールドレグ、加圧器サージライン用管台、蓄圧タンク注入ライン管台、余熱除去系戻りおよび安全注入管台、充てんライン用管	①超音波探傷検査 ②浸透探傷検査 ③漏えい検査(VT-2)	①25%/7年 ②25%/7年 ③毎定検	①第24回定期検査 ②第24回定期検査 ③第24回定期検査	良
弁	仕切弁	余熱除去ポンプCループ側入口第1隔離弁弁箱	①目視確認 ②漏えい確認	①1回/10定検 ②毎定検	①第22回定期検査 ②第24回定期検査	良
	玉形弁	抽出水止め弁弁箱	①目視確認 ②漏えい確認	①1回/4定検 ②毎定検	①第22回定期検査 ②第24回定期検査	良
	スイング逆止弁	蓄圧タンク出口第2逆止弁弁箱	①目視確認 ②漏えい確認	①1回/10定検 ②毎定検	①第24回定期検査 ②第24回定期検査	良
	リフト逆止弁	加圧器補助スプレイ逆止弁弁箱	①目視確認 ②漏えい確認	①1回/20定検 ②毎定検	①第20回定期検査 ②第24回定期検査	良
炉内構造物		上部炉心支持板 上部炉心支持柱	水中テレビカメラによる目視確認(VT-3)	7.5%/7年	第24回定期検査	良
		下部炉心支持板			第17回定期検査	良
重機器サポート	加圧器	加圧器スカート 溶接部	溶接部の浸透探傷検査	7.5%/7年	第24回定期検査	良

5.3 総合評価

劣化が進展すると仮定した場合における運転開始後 60 年間の供用を想定した各機器の疲労評価結果は、疲労累積係数が 1 を下回り疲労割れ発生が問題となる可能性はないと考える。ただし、疲労評価は実績過渡回数に依存するため、今後も実績過渡回数を把握し評価する必要がある。

また、疲労割れは現状保全で有意な異常のないことを確認している。

5.4 高経年化への対応

低サイクル疲労については、実績過渡回数の確認を継続的に実施し、運転開始後 60 年時点の推定過渡回数を上回らないことを確認する。

6. まとめ

6.1 審査ガイド適合性

「2. 基本方針」で示した要求事項について技術評価を行った結果、すべての要求事項を満足していることを確認した。低サイクル疲労についての要求事項との対比を表9に示す。

表9 (1/2) 低サイクル疲労についての要求事項との対比

審査基準、ガイド	要求事項	技術評価結果
実用発電用原子炉の運転の期間の延長の審査基準	<p>2. 実用炉規則第113条第2項第2号に掲げる原子炉その他の設備の劣化の状況に関する技術的な評価の結果、延長しようとする期間において、同評価の対象となる機器・構造物が下表に掲げる要求事項（以下「要求事項」という。）に適合すること、又は同評価の結果、要求事項に適合しない場合には同項第3号に掲げる延長しようとする期間における原子炉その他の設備に係る施設管理方針の実施を考慮した上で、延長しようとする期間において、要求事項に適合すること。</p> <p>○健全性評価の結果、評価対象部位の疲れ累積係数が1を下回ること。</p>	<p>4.1および5.1の「健全性評価」に示すとおり、延長しようとする期間において、評価対象部位の運転開始後60年時点における疲れ累積係数（設計・建設規格による疲労累積係数および環境疲労評価手法による環境疲労累積係数）が、全ての部位で1を下回ることを確認した。</p>
実用発電用原子炉の運転期間延長認可申請に係る運用ガイド	<p>3. 2 (1) 「延長しようとする期間における運転に伴い生ずる原子炉その他の設備の劣化の状況に関する技術的な評価」（以下「劣化状況評価」という。）の記載内容について評価の対象とする機器・構造物及び評価手法は、実用炉規則第82条第2項に規定する運転開始後40年を迎える発電用原子炉に係る発電用原子炉施設についての経年劣化に関する技術的な評価におけるものと同様とする。特に運転期間延長認可申請に伴うものとして評価を行い、その結果の記載が求められる事項は次のとおり。</p> <p>①上記3. 1の特別点検の結果を踏まえた劣化状況評価。</p> <p>④実用発電用原子炉及びその附属施設の技術基準に関する規則（平成25年原子力規制委員会規則第6号。以下「技術基準規則」という。）（運転開始以後40年を経過する日において適用されているものに限る。）に定める基準に照らした評価。</p>	<p>4. 1(1)(e)の「特別点検を踏まえた劣化状況評価」に示すとおり、原子炉容器出入口管台のノズルコーナ部に対して、渦流探傷試験を実施し有意な欠陥指示は認められなかったことから、現状の保全策が妥当であることを確認した。</p> <p>また、4.1および5.1の「健全性評価」に示すとおり、延長しようとする期間において、評価対象部位の運転開始後60年時点における疲れ累積係数（設計・建設規格による疲労累積係数および環境疲労評価手法による環境疲労累積係数）が、全ての部位で1を下回ることを確認した。</p>
	<p>3. 3 (1) 「延長しようとする期間における原子炉その他の設備に係る施設管理方針」（以下「施設管理方針」という。）の策定に係る手法は、実用炉規則第82条第2項に規定する運転開始後40年を迎える発電用原子炉に係る発電用原子炉施設についての施設管理に関する方針の策定と同様とする。特に運転期間延長認可申請に伴い策定するものとして記載が求められる事項は次のとおり。</p> <p>①上記3. 2の劣化状況評価を踏まえた施設管理方針。</p>	<p>4. 4および5.4の「高経年化への対応」に示すとおり、疲労評価における実績過渡回数の確認を継続的に実施し、運転開始後60年時点の推定過渡回数を上回らないことを確認することを施設管理方針として策定した。</p>

表9 (2/2) 低サイクル疲労についての要求事項との対比

審査基準、ガイド	要求事項	技術評価結果
実用発電用原子炉施設における高経年化対策審査ガイド	<p>3. 高経年化技術評価等の審査の視点・着眼点</p> <p>(1) 高経年化技術評価の審査</p> <p>⑫健全性の評価 実施ガイド3. 1⑤に規定する期間の満了日までの期間について、高経年化対策上着目すべき経年劣化事象の発生又は進展に係る健全性を評価していることを審査する。</p> <p>⑬現状保全の評価 健全性評価結果から現状の保全策の妥当性が評価されていることを審査する。</p> <p>⑭追加保全策の抽出 現状保全の評価結果から、現状保全に追加する必要のある新たな保全策が抽出されていることを審査する。</p> <p>(2) 長期施設管理方針の審査</p> <p>①長期施設管理方針の策定 すべての追加保全策について長期保守管理方針として策定されているかを審査する。</p>	<p>4.1および5.1の「健全性評価」に示すとおり、運転開始後60年時点の推定過渡回数を用いて健全性評価を実施した。</p> <p>4.2、4.3、5.2および5.3の「現状保全」および「総合評価」に示すとおり、現状の保全策が妥当であることを確認した。</p> <p>4.4および5.4の「高経年化への対応」に示すとおり、実績過渡回数の確認を継続的に実施し、運転開始後60年時点の推定過渡回数を上回らないことを確認することを長期施設管理方針として策定した。</p>
実用発電用原子炉施設における高経年化対策実施ガイド	<p>3. 1 高経年化技術評価の実施および見直し 高経年化技術評価の実施および見直しに当たっては、以下の要求事項を満たすこと。 ③運転開始後40年を迎えるプラントの高経年化技術評価には、当該申請に至るまでの間の運転に伴い生じた原子炉その他の設備の劣化の状況の把握のために実施した点検（特別点検）の結果を適切に反映すること。</p> <p>⑤抽出された高経年化対策上着目すべき経年劣化事象について、以下に規定する期間の満了日までの期間について機器・構造物の健全性評価を行うとともに、必要に応じ現状の施設管理に追加すべき保全策（以下「追加保全策」という。）を抽出すること。</p> <p>ロ 実用炉規則第82条第2項又は第3項の規定に基づく高経年化技術評価プラントの運転を開始した日から40年間に同条第2項又は第3項に規定する延長する期間を加えた期間</p> <p>3. 2 長期施設管理方針の策定及び変更 長期施設管理方針の策定及び変更に当たっては、以下の要求事項を満たすこと。 ①高経年化技術評価の結果抽出された全ての追加保全策（発電用原子炉の運転を断続的に行うことを前提として抽出されたもの及び冷温停止状態が維持されることを前提として抽出されたものの全て。）について、発電用原子炉ごとに、施設管理の項目及び当該項目ごとの実施時期を規定した長期施設管理方針を策定すること。 なお、高経年化技術評価の結果抽出された追加保全策について、発電用原子炉の運転を断続的に行うことを前提とした評価から抽出されたものと冷温停止状態が維持されることを前提とした評価から抽出されたものの間で、その対象の経年劣化事象及び機器・構造物の部位が重複するものについては、双方の追加保全策を踏まえた保守的な長期施設管理方針を策定すること。</p>	<p>4.1(1)(e)の「特別点検を踏まえた劣化状況評価」に示すとおり、原子炉容器出入口管台のノズルコーナ部に対して、渦流探傷試験を実施し有意な欠陥指示は認められなかったことから、現状の保全策が妥当であることを確認した。</p> <p>4.4および5.4の「高経年化への対応」に示すとおり、疲労評価における実績過渡回数の確認を継続的に実施し、運転開始後60年時点の推定過渡回数を上回らないことを確認することを長期施設管理方針として策定した。</p>

6.2 長期施設管理方針として策定する事項

運転開始後 60 年時点の推定過渡回数は、実績過渡回数に依存するため、継続的に実績過渡回数を把握する必要があることから、長期施設管理方針を表 10 のとおり定め、大飯発電所原子炉施設保安規定に記載し、確実に実施していく。

表 10 高浜発電所 3 号炉 長期施設管理方針（抜粋）

機器名	長期施設管理方針	実施時期
原子炉容器等※	原子炉容器等の疲労割れについては、実績過渡回数の確認を継続的に実施し、運転開始後 60 年時点の推定過渡回数を上回らないことを確認する。	長期

※：疲労累積係数による低サイクル疲労の評価を実施した全ての機器

短期：2025 年 1 月 17 日からの 5 年間、中長期：2025 年 1 月 17 日からの 10 年間、

長期：2025 年 1 月 17 日からの 20 年間

別紙

- 別紙 1. 過渡回数推定値の算出方針について
- 別紙 2. 建設時に考慮されていない低サイクル応力変動の抽出プロセスについて
- 別紙 3. 原子炉容器の疲労累積係数の算出根拠について
- 別紙 4. クラッドにより環境疲労評価不要とする部位のクラッド確認について
- 別紙 5. 環境疲労評価で考慮している溶存酸素濃度について
- 別紙 6. 環境疲労評価手法における環境効果補正係数の算出方法について
- 別紙 7. 代表機器以外の疲労累積係数の算出根拠について
- 別紙 8. 詳細評価法による環境効果補正係数の算出手順について
- 別紙 9. 有限要素法解析における応力分類について
- 別紙 10. 蓄圧タンク出口第 2 逆止弁の過渡回数の影響について
- 別紙 11. 30 年目の高経年化技術評価から変更した主な評価手法

別紙 1

タイトル	過渡回数推定値の算出方針について
説 明	<p>運転開始後 60 年時点での過渡回数は、これまでの運転実績をベースに残りの年数を考慮して、次のとおり設定している。</p> <p>①未取替機器 60 年時点過渡回数 \geq 実績過渡回数 + (実績過渡回数に基づく 1 年間当たりの平均過渡回数) × 余裕(1.5) × 残年数</p> <p>②取替機器 60 年時点過渡回数 \geq 取替後実績過渡回数 + (未取替機器の 1 年間当たりの平均過渡回数) × 余裕(1.5) × 残年数</p> <p>未取替機器における「起動」、「負荷上昇」、「負荷の喪失」の過渡事象を例に、60 年時点での過渡回数の算出方法の詳細について添付－1 に示す。 なお、評価に用いる過渡項目に該当しない微小過渡については、「起動」、「停止」、「1 次系漏えい試験」のいずれかの項目に分類し実績に算定している。微小過渡の一覧及び分類内訳を添付－2 に示す。</p> <p>また、高浜 3 号炉で未経験の過渡項目の年平均過渡回数については、電力共通研究の研究結果より添付－3 のとおり設定している。</p> <p>以上</p>

○「起動」の運転開始後 60 年時点の過渡回数算出

$$35 \text{ 回}^{注1)} + 0.83 \text{ 回}/\text{年}^{注2)} \times 1.5 \times 24.8 \text{ 年} (\text{残りの年数}) \doteq 66 \text{ 回} < 68 \text{ 回} (\text{評価用})^{注3)}$$

注 1) 試運転 : 9 回 (うち、微小過渡 1 回)

2020 年 3 月末までの実績(試運転除く) : 25.769 回 → 26 回 (うち微小過渡 1.769 回 → 2 回)

(試運転の過渡回数は下表の①、2020 年 3 月末までの実績 (試運転除く) は②参照)

注 2) 2020 年 3 月末までの実績 (試運転および長期停止期間 (2012 年 3 月から 2017 年 5 月まで) を除く) ÷ 2020 年 3 月末までの年数 (長期停止期間 (2012 年 3 月から 2017 年 5 月まで) を除く)

$$24.739 \text{ 回} \div 29.9 \text{ 年} \doteq 0.827 \text{ 回}/\text{年} \rightarrow 0.83 \text{ 回}/\text{年}$$

(試運転時および長期停止期間中の過渡は特有であるため、年平均過渡回数の算出には用いない)

注 3) 「停止」に合わせた回数

過渡回数説明リスト (1 / 9)

過渡項目	試運転	2020 年 3 月末までの実績 (試運転除く)	現状までの回数	年平均過渡回数 回数 29.9 年	現状～60 年までの増加分 (24.8 年)	現状までの回数+現状～60 年までの増加分	評価用過渡回数
1 起動	8	24 このうち長期停止期間中の実績 1	35 $8+1+24+1.769 = 34.769 \rightarrow 35$	0.83 $23+1.739 = 24.739$ $\frac{24.739}{29.9} = 0.827 \rightarrow 0.83$	31 $24.8 \times 0.83 \times 1.5 = 30.876 \rightarrow 31$	66 (=35+31)	68
微小過渡	0.039	1.769 このうち长期停止期間中の実績 0.030	(実績+微小過渡) (8+1) (24+2)	(32+3 ^{*1})			

*1 : 総微小過渡回数

○ 「負荷上昇」の運転開始後 60 年時点の過渡回数算出

$$317 \text{ 回}^{\text{注1)}} + \boxed{\quad}^{\text{注2)}} \times 1.5 \times 24.8 \text{ 年 (残りの年数)} \approx 800.6 \text{ 回} = 801 \text{ 回 (評価用)}$$

注 1) 試運転 : 16 回

2020 年 3 月末までの実績 (試運転除く) : 299+2 回

(試運転の過渡回数は下表の③、2020 年 3 月末までの実績 (試運転除く) は④参照)

注 2) 2020 年 3 月末までの実績 (試運転および長期停止期間 (2012 年 3 月から 2017 年 5 月まで) を除く) \div 2020 年 3 月末までの年数 (長期停止期間 (2012 年 3 月から 2017 年 5 月まで) を除く)

$$299 \text{ 回} \div 29.9 \text{ 年} = 10.0 \text{ 回/年}$$

(試運転時および長期停止期間中の過渡は特有であるため、年平均過渡回数の算出には用いない)

上記より 10.0 回/年となるが、稼働率が高くなった場合のシステムフリーテスト回数増加を考慮し、██████████ と設定する。

過渡回数説明リスト (2 / 9)

過渡項目	試運転	2020 年 3 月末までの実績 (試運転除く)	現状までの回数	年平均過渡回数 回数 29.9 年	現状～60 年までの増加分 (24.8 年)	現状までの回数+現状～60 年までの増加分	評価用過渡回数
3 負荷上昇	16 ③	301 ④ このうち長 期停止期間 中の実績 2	317 (=16+301)	$\frac{299}{29.9} = 10.0$	$24.8 \times \boxed{\quad} \times 1.5$ $\boxed{\quad} \rightarrow 484$	801 (=317+484)	801

注1) 稼働率が高くなった場合のシステムフリーテスト回数増加を考慮し、██████████ とする。

○ 「負荷の喪失」の運転開始後 60 年時点の過渡回数算出

$$4 \text{ 回}^{\text{注1)}} + \boxed{\quad}^{\text{注2)}} \times 1.5 \times 24.8 \text{ 年 (残りの年数)} \approx 6 \text{ 回} = 6 \text{ 回 (評価用)}$$

注 1) 試運転 : 4 回

2020 年 3 月末までの実績 (試運転除く) : 0 回

(試運転の過渡回数は下表の⑤、2020 年 3 月末までの実績 (試運転除く) は⑥参照)

注 2) 高浜 3 号炉では経験はないが、電共研「応力解析手法の高度化」より ██████████ を用いる。

過渡回数説明リスト (3 / 9)

過渡項目	試運転	2020 年 3 月末までの実績 (試運転除く)	現状までの回数	年平均過渡回数 回数 29.9 年	現状～60 年までの増加分 (24.8 年)	現状までの回数+現状～60 年までの増加分	評価用過渡回数
31 負荷の喪失	4 ⑤	0 ⑥	4	$\boxed{\quad}$ 注1)	$24.8 \times \boxed{\quad} \times 1.5$ $\boxed{\quad} \rightarrow 2$	6 (=4+2)	6

注1) 電共研「応力解析手法の高度化」にて設定した値を用いる。

過渡回数説明リスト (4 / 9)

過渡項目	試運転	2020年3月末までの実績 (試運転除く)	現状までの回数	年平均過渡回数 回数 29.9年	現状~60年までの増加分 (24.8年)	現状までの回数+現状~60年までの増加分	評価用過渡回数
2 停止	7	25 <small>このうち長期 停止期間中の 実績</small> 1	35 <small>7+1+25 +1.768 =34.768 →35</small>	0.87 <small>24+1.741 =25.741 $\frac{25.741}{29.9} \approx 0.87$</small>	33 <small>$24.8 \times 0.87 \times 1.5$ =32.364→33</small>	68 <small>(=35+33)</small>	68
微小過渡	0.024	1.768 <small>このうち長期 停止期間中の 実績</small> 0.027					
(実績+微小過渡)	(7+1)	(25+2)	(32+3 ^{※1})				

*1：総微小過渡回数

過渡回数説明リスト（5／9）

過渡項目	試運転	2020年3月末までの実績 (試運転除く)	現状までの回数	年平均過渡回数 回数 29.9年	現状~60年までの増加分 (24.8年)	現状までの回数+現状~60年までの増加分	評価用過渡回数
4 負荷減少	6	300 <i>(このうち長期停止期間中の実績 2)</i>	306 (=6+300)	$\boxed{\square}$ 注2) $\left(\frac{298}{29.9} \approx 9.97 \right)$	484 $(24.8 \times \boxed{\square})$ 1.5 $\boxed{\square} \rightarrow 484$	790 (=306+484)	790
5 90%から 100%へのステップ状負荷上昇	4	0	4	$\boxed{\square}$ 注1)	2 $(24.8 \times \boxed{\square})$ 1.5 $\boxed{\square} \rightarrow 1 \rightarrow 2$	6 (=4+2)	6
6 100%から 90%へのステップ状負荷減少	4	0	4	$\boxed{\square}$ 注1)	2 $(24.8 \times \boxed{\square})$ 1.5 $\boxed{\square} \rightarrow 1 \rightarrow 2$	6 (=4+2)	6
7 100%負荷からの大きいステップ状負荷減少	2	0	2	$\boxed{\square}$ 注1)	2 $(24.8 \times \boxed{\square})$ 1.5 $\boxed{\square} \rightarrow 2$	4 (=2+2)	4
8 定常負荷運転時の変動	—	—	—	—	—	—	—
9 燃料交換	1	23 <i>(このうち長期停止期間中の実績 1)</i>	24 (=1+23)	$\boxed{\square}$ 注3) $\left(\frac{22}{29.9} \approx 0.74 \right)$	38 $(24.8 \times \boxed{\square})$ 1.5 $\boxed{\square} \rightarrow 38$	62 (=24+38)	62

注 1) 電共研「応力解析手法の高度化」にて設定した値を用いる。

注2) 積働率が高くなった場合のシステムフリーテスト回数増加を考慮し、 とする。

注 3) 現状平均は、0.74回／年であるが、[REDACTED]とする。

過渡回数説明リスト (6 / 9)

過渡項目	試運転	2020年3月末までの実績 (試運転除く)	現状までの回数	年平均過渡回数 回数 29.9年	現状~60年までの増加分 (24.8年)	現状までの回数+ 現状~60年までの 増加分	評価用過渡回数
10 0%から15%への負荷上昇	13	28 <small>(このうち長期停止期間中の実績 1)</small>	41 (=13+28)	0.91 $\left(\frac{27}{29.9} \approx 0.91 \right)$	34 $(24.8 \times 0.91 \times 1.5 = 33.852 \rightarrow 34)$	75 (=41+34)	75
11 15%から0%への負荷減少	3	27 <small>(このうち長期停止期間中の実績 1)</small>	30 (=3+27)	0.87 $\left(\frac{26}{29.9} \approx 0.87 \right)$	33 $(24.8 \times 0.87 \times 1.5 = 32.364 \rightarrow 33)$	63 (=30+33)	63
12 I) ループ起動／停止 II) ループ起動	0	0	0	[] 注1)	2 $(24.8 \times [] \times 1.5 \rightarrow 1 \rightarrow 2)$	2	2
	0	0	0	[] 注1)	2 $(24.8 \times [] \times 1.5 \rightarrow 1 \rightarrow 2)$	2	2

注1) 電共研「応力解析手法の高度化」にて設定した値を用いる。

過渡回数説明リスト (7 / 9)

過渡項目	試運転	2020年3月末までの実績 (試運転除く)	現状までの回数	年平均過渡回数 回数 29.9年	現状~60年までの増加分 (24.8年)	現状までの回数+ 現状~60年までの 増加分	評価用過渡回数
32 外部電源喪失	1	0	1	[] 注1)	3 $(24.8 \times [] \times 1.5 \rightarrow 1 \rightarrow 3)$	4 (=1+3)	4
33 1次冷却材流量の部分喪失	0	0	0	[] 注1)	2 $(24.8 \times [] \times 1.5 \rightarrow 1 \rightarrow 2)$	2	2

注1) 電共研「応力解析手法の高度化」にて設定した値を用いる。

過渡回数説明リスト (8 / 9)

過渡項目	試運転	2020年3月末までの実績 (試運転除く)	現状までの回数	年平均過渡回数 回数 29.9年	現状~60年 までの増加分 (24.8年)	現状までの回数+ 現状~60年までの 増加分	評価用過渡回数
34 100%からの原子炉トリップ I) 不注意な冷却を伴わない トリップ	2	1	3 (=2+1)	0.04 $\left(\frac{1}{29.9} = 0.04 \right)$	2 $(24.8 \times 0.04 \times 1.5 = 1.488 \rightarrow 2)$	5 (=3+2)	5
II) 不注意な冷却を伴う トリップ	0	0	0	[■]注1)	2 $(24.8 \times 1.5 \rightarrow 1 \rightarrow 2)$	2	2
III) 不注意な冷却と安全注入 を伴うトリップ	0	0	0	[■]注1)	2 $(24.8 \times 1.5 \rightarrow 1 \rightarrow 2)$	2	2
35 1次冷却系の異常な減圧	0	0	0	[■]注1)	2 $(24.8 \times 1.5 \rightarrow 1 \rightarrow 2)$	2	2
36 制御棒クラスタの落下	0	1	1	0.04 $\left(\frac{1}{29.9} = 0.04 \right)$	2 $(24.8 \times 0.04 \times 1.5 = 1.488 \rightarrow 2)$	3 (=1+2)	3
37 出力運転中の非常用炉心冷却 系の誤起動	0	0	0	[■]注1)	2 $(24.8 \times 1.5 \rightarrow 1 \rightarrow 2)$	2	2
38 1次冷却系停止ループの誤起動	0	0	0	[■]注1)	2 $(24.8 \times 1.5 \rightarrow 1 \rightarrow 2)$	2	2

注1) 電共研「応力解析手法の高度化」にて設定した値を用いる。

過渡回数説明リスト (9 / 9)

過渡項目	試運転	2020年3月末まで の実績 (試運転除く)	現状までの回数	年平均過渡回数 回数 29.9年	現状~60年 までの増加分 (24.8年)	現状までの回数+ 現状~60年までの 増加分	評価用過渡回数
39 1次系漏えい試験	4	24 (このうち長期停 止期間中の実績 1)	31 $(4+1+24 + 1.837 = 30.837 \rightarrow 31)$	0.84 $(23+1.837 = 24.837 \frac{24.837}{29.9} \approx 0.84)$	32 $(24.8 \times 0.84 \times 1.5 = 31.248 \rightarrow 32)$	63 (=31+32)	63
微小過渡	0.070	1.837					
(実績+微小過渡)	(4+1)	(24+2)	(28+3 ^{*1})				
40 タービン回転試験	3	0	3	0	-	3	3

*1 : 総微小過渡回数

表1 微小過渡（起動の微小過渡）

	$\Delta T / \Delta t$ (°C/H)	ΔT (°C)	ΔP (MPa)		$\alpha \otimes \underline{1, 2}$	等価回数 (1/α) $\otimes \underline{2}$
1	6.5	18.9	-		302(36)	0.004(0.028)
2	-	-	37.0		45(11)	0.023(0.091)
3	3.4	23.0	-		559(53)	0.002(0.019)
4	7.4	23.0	-		83(16)	0.012(0.063)
5	21.0	51.5	-		6(3)	0.167(0.334)
6	16.5	51.6	-		20(6)	0.050(0.167)
7	19.6	48.0	-		6(3)	0.167(0.334)
8	14.5	117.2	-		6(3)	0.167(0.334)
9	2.6	13.7	-		559(53)	0.002(0.019)
10	-	-	2.40		137(22)	0.008(0.046)
11	-	-	2.25		137(22)	0.008(0.046)
12	-	-	2.75		83(16)	0.012(0.063)
13	-	-	2.75		83(16)	0.012(0.063)
14	6.0	15.2	-		418(44)	0.003(0.023)
15	7.4	15.2	-		209(29)	0.005(0.035)
16	-	-	2.33		137(22)	0.008(0.046)
17	-	-	2.30		137(22)	0.008(0.046)
18	-	-	12.71		1(1)	1.000(1.000)
19	-	-	2.75		83(16)	0.012(0.063)
20	-	-	2.7		83(16)	0.012(0.063)
21	-	-	2.5		137(22)	0.008(0.046)
22	16.5	50.2	-		20(6)	0.050(0.167)
23	-	-	2.8		83(16)	0.012(0.063)
24	-	-	2.2		209(29)	0.005(0.035)
25	1.9	14.9	-		559(53)	0.002(0.019)
26	-	-	2.7		83(16)	0.012(0.063)
27	-	-	2.4		137(22)	0.008(0.046)
28	-	-	2.3		137(22)	0.008(0.046)
29	1.4	18.8	-		559(53)	0.002(0.019)
30	-	-	2.73		83(16)	0.012(0.063)
31	-	-	2.47		137(22)	0.008(0.046)
32	-	-	2.44		137(22)	0.008(0.046)
33	2.1	13.2	-		559(53)	0.002(0.019)

※1 : $\alpha = R^{(1/\tan a)}$ で算出する。1/α は微小過渡が基準過渡何回分に相当するかを表す。R は _____ および _____ の最大値で、a は設計疲労線図(S-N カーブ)の勾配である。

※2 : () 内はスタッドボルトに適用する。低合金鋼およびオーステナイトステンレス鋼と高張力ボルトでは、設計疲労線図(S-N カーブ)の勾配が異なるため、等価回数は異なる。(それぞれ a=20° および a=30°)

表2 微小過渡（停止の微小過渡）

	$\Delta T / \Delta t$ (°C/H)	ΔT (°C)	ΔP (MPa)		$\alpha \times \underline{\underline{1,2}}$	等価回数 (1/α) × <u><u>2</u></u>
1	2.1	18.9	-		559(53)	0.002(0.019)
2	-	-	37.0		45(11)	0.023(0.091)
3	22.0	81.2	-		6(3)	0.167(0.334)
4	22.8	76.2	-		6(3)	0.167(0.334)
5	22.3	76.8	-		6(3)	0.167(0.334)
6	-	-	2.35		137(22)	0.008(0.046)
7	13.8	17.0	-		45(11)	0.023(0.091)
8	-	-	2.35		137(22)	0.008(0.046)
9	11.2	18.4	-		45(11)	0.023(0.091)
10	-	-	2.41		137(22)	0.008(0.046)
11	7.6	20.7	-		209(29)	0.005(0.035)
12	5.2	13.7	-		559(53)	0.002(0.019)
13	-	-	2.35		137(22)	0.008(0.046)
14	5.7	13.0	-		418(44)	0.003(0.023)
15	10.8	20.3	-		83(16)	0.012(0.063)
16	-	-	2.33		137(22)	0.008(0.046)
17	11.1	19.2	-		83(16)	0.012(0.063)
18	-	-	2.35		137(22)	0.008(0.046)
19	-	-	12.77		1(1)	1.000(1.000)
20	-	-	2.35		137(22)	0.008(0.046)
21	5.5	14.4	-		559(53)	0.002(0.019)
22	-	-	2.7		83(16)	0.012(0.063)
23	14.2	45.6	-		20(6)	0.050(0.167)
24	-	-	2.5		137(22)	0.008(0.046)
25	7.1	14.9	-		209(29)	0.005(0.035)
26	-	-	2.4		137(22)	0.008(0.046)
27	-	-	2.4		137(22)	0.008(0.046)
28	-	-	2.6		83(16)	0.012(0.063)
29	-	-	2.3		137(22)	0.008(0.046)
30	-	-	2.26		137(22)	0.008(0.046)
31	-	-	2.36		137(22)	0.008(0.046)
32	-	-	2.31		137(22)	0.008(0.046)
33	-	-	2.25		137(22)	0.008(0.046)

※1 : $\alpha = R^{(1/\tan a)}$ で算出する。1/α は微小過渡が基準過渡何回分に相当するかを表す。R は _____ および _____ の最大値で、a は設計疲労線図(S-N カーブ)の勾配である。

※2 : () 内はスタッドボルトに適用する。低合金鋼およびオーステナイトステンレス鋼と高張力ボルトでは、設計疲労線図(S-N カーブ)の勾配が異なるため、等価回数は異なる。(それぞれ a=20° および a=30°)

表 3 微小過渡（漏えい試験の微小過渡）

	$\Delta T / \Delta t$ (°C/H)	ΔT (°C)	ΔP (MPa)	$\alpha \approx \underline{1}, \underline{2}$	等価回数 ($1/\alpha$) $\approx \underline{2}$
1	-	-	8.0	559(53)	0.002(0.019)
2	-	-	36.5	45(11)	0.023(0.091)
3	7.5	15.0	-	83(16)	0.012(0.063)
4	7.5	15.0	-	83(16)	0.012(0.063)
5	12.0	30.8	-	45(11)	0.023(0.091)
6	23.3	48.9	-	6(3)	0.167(0.334)
7	-	-	10.4	559(53)	0.002(0.019)
8	11.8	30.3	-	20(6)	0.050(0.167)
9	22.4	50.4	-	6(3)	0.167(0.334)
10	19.1	54.6	-	6(3)	0.167(0.334)
11	19.2	54.4	-	6(3)	0.167(0.334)
12	21.4	56.4	-	6(3)	0.167(0.334)
13	-	-	2.8	559(53)	0.002(0.019)
14	17.3	44.0	-	20(6)	0.050(0.167)
15	17.4	49.2	-	20(6)	0.050(0.167)
16	21.6	38.0	-	6(3)	0.167(0.334)
17	19.1	23.3	-	6(3)	0.167(0.334)
18	18.5	28.4	-	20(6)	0.050(0.167)
19	16.1	32.0	-	20(6)	0.050(0.167)
20	19.5	48.2	-	6(3)	0.167(0.334)
21	-	-	4.16	45(11)	0.023(0.091)
22	-	-	4.17	45(11)	0.023(0.091)
23	-	-	4.17	45(11)	0.023(0.091)
24	-	-	4.17	45(11)	0.023(0.091)
25	-	-	4.12	45(11)	0.023(0.091)
26	-	-	4.2	45(11)	0.023(0.091)
27	-	-	4.3	20(6)	0.050(0.167)
28	-	-	4.2	45(11)	0.023(0.091)
29	-	-	4.18	45(11)	0.023(0.091)
30	-	-	4.02	45(11)	0.023(0.091)

※1 : $\alpha = R^{(1/\tan a)}$ で算出する。1/ α は微小過渡が基準過渡何回分に相当するかを表す。R は [] および [] の最大値で、a は設計疲労線図(S-N カーブ)の勾配である。

※2 : () 内はスタッドボルトに適用する。低合金鋼およびオーステナイトステンレス鋼と高張力ボルトでは、設計疲労線図(S-N カーブ)の勾配が異なるため、等価回数は異なる。(それぞれ $a=20^\circ$ および $a=30^\circ$)

表4 微小過渡の内訳（非取替機器）

過渡項目	試運転	実績
起動 微小過渡	0.039 内訳 1/302×1 (表1 No. 1) 1/45×1 (表1 No. 2) 1/559×1 (表1 No. 3) 1/83×1 (表1 No. 4)	1.769 内訳 1/6×3 (表1 No. 5, 7, 8) 1/20×2 (表1 No. 6, 22) 1/559×2 (表1 No. 9, 33) 1/137×7 (表1 No. 10, 11, 16, 17, 21, 31, 32) 1/83×6 (表1 No. 12, 13, 19, 20, 23, 30) 1/418×1 (表1 No. 14) 1/209×2 (表1 No. 15, 24) 1×1 (表1 No. 18) 1/559×2 (表1 No. 25, 29) ※ ¹ 1/83×1 (表1 No. 26) ※ ¹ 1/137×2 (表1 No. 27, 28) ※ ¹
停止 微小過渡	0.024 内訳 1/559×1 (表2 No. 1) 1/45×1 (表2 No. 2)	1.768 内訳 1/6×3 (表2 No. 3, 4, 5) 1/137×13 (表2 No. 6, 8, 10, 13, 16, 18, 20, 24, 26, 27, 31, 32, 33) 1/45×2 (表2 No. 7, 9) 1/209×2 (表2 No. 11, 25) 1/559×2 (表2 No. 12, 21) 1/418×1 (表2 No. 14) 1/83×3 (表2 No. 15, 17, 22) 1×1 (表2 No. 19) 1/20×1 (表2 No. 23) 1/83×1 (表2 No. 28) ※ ¹ 1/137×2 (表2 No. 29, 30) ※ ¹
漏えい試験 微小過渡	0.070 内訳 1/559×1 (表3 No. 1) 1/45×2 (表3 No. 2, 5) 1/83×2 (表3 No. 3, 4)	1.837 内訳 1/6×8 (表3 No. 6, 9, 10, 11, 12, 16, 17, 20) 1/559×2 (表3 No. 7, 13) 1/20×6 (表3 No. 8, 14, 15, 18, 19, 27) 1/45×9 (表3 No. 21, 22, 23, 24, 25, 26, 28, 29, 30)

※1：長期停止期間中の過渡

電力共通研究「応力解析手法の高度化」にて設定した値について

高浜 3 号炉で未経験の過渡項目については、電力共通研究「応力解析手法の高度化」に基づき年平均過渡回数を定めて、60 年時点の過渡回数を決めている。国内 PWR プラントで経験のある過渡項目は、研究当時における国内全 PWR プラントの実績回数を総運転年数で割ることで算出している。(下記 (1))

国内 PWR プラントで未経験の過渡項目は確率評価によって求める。(下記 (2))

(1)他プラントで経験のある過渡項目

過渡項目	年平均過渡回数 (実績回数/炉・年)
100%から 90%へのステップ状負荷減少	
100%からの大きいステップ状負荷減少	
負荷の喪失	
外部電源喪失	
1 次冷却材流量の部分喪失	
原子炉トリップ (不注意な冷却と SI を伴うトリップ)	

(2)他プラントでも未経験の過渡項目

国内全 PWR プラントで未経験の過渡項目については、確率評価によって故障率(年平均過渡回数)を求める。

発生確率の低い事象が一定時間内に発生する回数はポアソン分布で近似する。(参考文献: 機械工学便覧)

ポアソン分布では、一定時間内に発生する平均回数 (=期待値) を λ 、一定時間内に発生する回数を x ($x=0, 1, 2, \dots$) としたとき、一定時間内に x 回発生する確率 $p(x)$ は、

$$p(x) = e^{-\lambda} \frac{\lambda^x}{x!} \quad \text{と表される。}$$

ここで、 λ' を 1 年間あたりの平均発生回数、 T を調査対象年数とすると、 T 年の間に発生する平均回数は $\lambda = \lambda' T$ となるので、

$$p(x) = e^{-\lambda' T} \frac{(\lambda' T)^x}{x!} \quad \text{と表される。}$$

故障率（年平均故障回数） λ' の事象が、本共同研究をまとめた時点における国内全PWRプラントの運転開始後経過時間T [] で1回も発生していないという実績から、信頼水準[] で検定を行い、故障率 λ' を求める。

$x=0 \quad p(x)=\boxed{\quad} \quad T=\boxed{\quad}$ を代入する。

$$\boxed{\quad} = e^{-\boxed{\quad}\lambda'} \times \frac{(\boxed{\quad}\lambda')^0}{0!}$$

$$\rightarrow \lambda' = -\ln \boxed{\quad} / \boxed{\quad} = \boxed{\quad}$$

したがって、未経験過渡の年平均過渡回数は [] 回となる。

過渡項目	年平均過渡回数
90%から100%へのステップ状負荷上昇	[]
1ループ停止／1ループ起動	[]
原子炉トリップ（不注意な冷却を伴うトリップ）	[]
1次冷却系の異常な減圧	[]
出力運転中の非常用炉心冷却系の誤起動	[]
1次冷却系停止ループの誤起動	[]

タイトル	建設時に考慮されていない低サイクル応力変動の抽出プロセスについて
説明	<p>高経年化技術評価書で想定している経年劣化事象については、評価対象機器の使用条件（形式、材料、環境条件等）を考慮し、これまでの高経年化技術評価で想定されている部位と経年劣化事象の組み合わせを取り纏めた日本原子力学会標準「原子力発電所の高経年化対策実施基準」附属書A（規定）「経年劣化メカニズムまとめ表」を参考に抽出している。</p> <p>このうち、例えば運転経験により建設時考慮されていない有意な応力変動（熱成層）が想定される部位については、「経年劣化メカニズムまとめ表」で疲労想定部位として記載され、附属書E「経年劣化事象一覧表」にて熱成層が生じる場所において想定要となっているため、この部位について抽出した。</p> <p>なお、熱成層が生じる場所は、日本機械学会「配管の高サイクル熱疲労に関する評価指針」で損傷事例が記載されているため、これを参考とした。</p> <p>「配管の高サイクル熱疲労に関する評価指針」に記載されている熱成層による損傷事例としては、</p> <ul style="list-style-type: none"> (1) キャビティフロー型熱成層 (2) 弁シートリーク型熱成層 (3) 弁グランドリーク型熱成層 (4) 運転操作型熱成層 <p>であり、これらについて評価した結果は以下の通り、</p> <ul style="list-style-type: none"> ●キャビティフロー型熱成層については、発生の可能性のある箇所を「配管の高サイクル熱疲労に関する評価指針」に基づいて評価し、構造上有意となる温度変動の発生を回避できることを確認している。 ●弁シートリーク型熱成層については、対象となる止め弁の定期的な分解点検によって弁のシートリークを防止している。 ●弁グランドリーク型熱成層については、対象となる隔離弁の定期的な分解点検時に弁ディスク位置を調整して、弁シート部の隙間を適正に管理していくことで弁ディスクの熱膨張による閉止が生じないようにしており、熱成層の発生、消滅の繰返しを防止している。 ●運転操作型熱成層については、今後熱成層が発生しない運転操作をすることが困難であるため、熱成層の発生を想定した評価を行い、許容値を満足していることを確認した。 <p>なお、運転操作型熱成層を考慮している部位としては「蒸気発生器給水入口管台」、「加圧器サージ配管」、「加圧器スプレイ配管」、「加圧器スプレイライン用管台」の4箇所である。</p> <p>また、前述の「経年劣化メカニズムまとめ表」作成以降の知見については、それ以降に認可された先行評価プラントの高経年化技術評価書を参考にするとともに、以下の通り国内外の新たな運転経験及び最新知見についても抽出し、技術評価への反映要否を検討した結果、新たに有意な低サイクル応力変動（熱成層等）が把握された部位はないことを確認した。</p>

●運転経験

国内運転経験として、原子力安全推進協会が運営している原子力発電情報公開ライブラリーにおいて公開されている「トラブル情報」、「保全品質情報」を、海外運転経験としてNRC（米国原子力規制委員会：Nuclear Regulatory commission）のBulletin（通達）、Generic Letter及びInformation Notice等を対象としてスクリーニングを実施。期間中の情報において、新たに高経年化技術評価書に反映すべき運転経験を抽出している。

●最新知見

原子力規制委員会指示文書及び原子力規制委員会設置以前については、旧：原子力安全・保安院指示文書等、日本機械学会、日本電気協会、日本原子力学会の規格・基準類、並びに原子力規制委員会のホームページに公開されている試験研究の情報等を検討し、高経年化技術評価を実施する上で、新たに反映が必要な知見を抽出している。

以上

別紙 3

タイトル	原子炉容器の疲労累積係数の算出根拠について										
説 明	<p>原子炉容器の疲労累積係数の算出根拠は以下のとおりである。</p> <p>1. 解析モデル 疲労累積係数の算出に用いた解析情報を以下に示す。</p> <table border="1"><tr><td>解析プログラム</td><td>ABAQUS Ver. 6.3</td></tr><tr><td>要素種類</td><td></td></tr><tr><td>要素次数</td><td></td></tr><tr><td>要素数</td><td></td></tr><tr><td>節点数</td><td></td></tr></table>	解析プログラム	ABAQUS Ver. 6.3	要素種類		要素次数		要素数		節点数	
解析プログラム	ABAQUS Ver. 6.3										
要素種類											
要素次数											
要素数											
節点数											

2. 材料物性値

各部位の設計応力強さを以下に示す。

(単位 : MPa)

使用箇所	材料	温 度	
		283. 6°C	321. 1°C
冷却材入口管台、冷却材出口管台、上部胴、上部胴フランジ、トランジションリング	SA508 Class3 (SFVV3相当)	184	184
上部蓋	SFVQ1A	—	184
冷却材入口管台セーフエンド、冷却材出口管台セーフエンド、炉内計装筒セーフエンド	SA182 Gr. F316 (SUSF316相当)	120	117
炉内計装筒、炉心支持金物	SB166 (NCF1B相当)	164	—
蓋用管台	GNCF690H	—	137
空気抜用管台	GNCF690C	—	164
スタッドボルト	SA540 Gr. B24 Class3 (SNB24-3相当)	—	245

3. 応力分類

評価における荷重の組み合わせを以下に示す。

状態	荷重の組み合わせ	
供用状態A, B	ボルト以外	圧力+機械的荷重+自重 +熱膨張荷重+熱過渡
	ボルト	圧力+機械的荷重+熱過渡

4. 最大評価点の選定

解析モデル上の評価点は、強度評価上厳しくなる材料および構造上の不連続部を抽出しており、その中から疲労累積係数が最大となる点を選定している。

解析モデル上の評価点および最大評価点の選定結果を添付-1に示す。

5. 割り増し係数K_e

評価に用いた割り増し係数を添付-1に示す。

なお、添付-1における「通常疲労評価」は設計・建設規格による疲労評価を表す。

6. 環境評価パラメータ

JSME S NF1-2009による詳細評価手法を適用している。

【冷却材入口管台、冷却材出口管台、炉内計装筒】

PWR プラント環境

$$\ln(F_{en}) = (3.910 - \dot{\varepsilon}^*) \times T^*$$

[記号の説明]

$\dot{\varepsilon}^*$: ひずみ速度依存パラメータ

T^* : 温度依存パラメータ

【蓋用管台、空気抜用管台、炉内計装筒、炉心支持金物】

PWR プラント環境

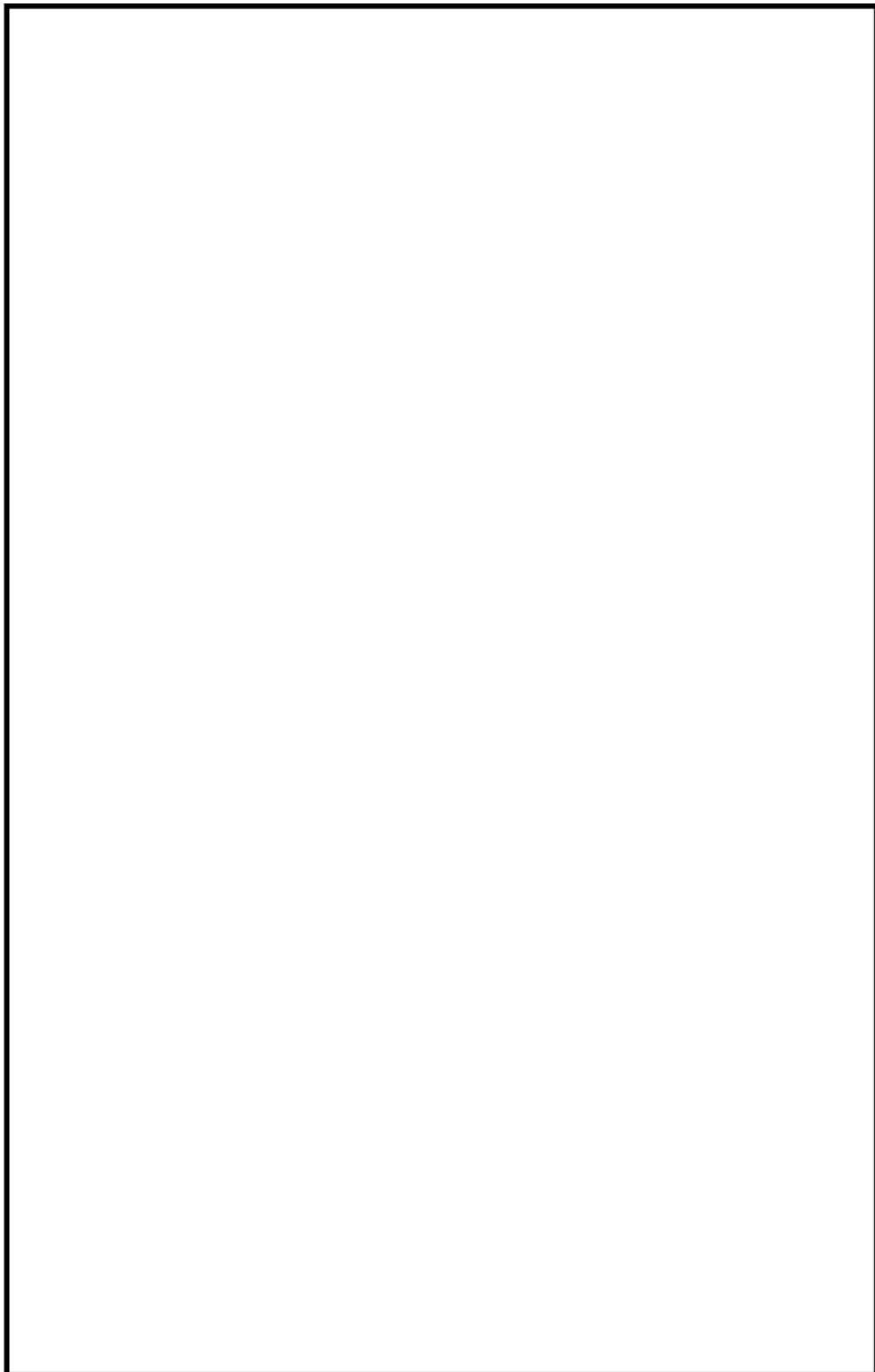
$$\ln(F_{en}) = (2.94 - \dot{\varepsilon}^*) \times T^*$$

[記号の説明]

$\dot{\varepsilon}^*$: ひずみ速度依存パラメータ

T^* : 温度依存パラメータ

評価に用いた環境評価パラメータ（環境効果補正係数 F_{en} ）を添付-1に示す。



冷却材入口管台形状寸法、評価点および解析モデル

冷却材入口管台 最大評価点の選定

評価点	U(S12)	U(S23)	U(S31)
1	0.0	0.00000	0.00000
2	0.0	0.0	0.0
3	0.00000	0.0	0.0
4	0.00000	0.0	0.00008
5	0.00313	0.0	0.00191
6	0.00147	0.0	0.00043
7	0.00008	0.00048	0.00008
8	0.00020	0.0	0.00002
9L	0.02567	0.03675	0.00125
10L	0.0	0.00178	0.00055
9C	0.00119	0.00229	0.00185
10C	0.0	0.01974	0.00929
11L	0.02091	0.03426	0.00001
12L	0.0	0.00193	0.00109
11C	0.00257	0.00086	0.00100
12C	0.0	0.02007	0.01141
13L	0.03627	0.03438	0.00229
14L	0.0	0.00216	0.00195
13C	0.00060	0.00104	0.00233
14C	0.0	0.02077	0.01345

許容値 $U_f = 1.0$

■ : 疲労累積係数が最大となる評価点および最大値を示す

冷却材入口管台 疲労解析結果 (評価点 : 9 L)

評価点 - 9L (S23)		(単位 : MPa)			繰返し回数		疲労係数 (=N/N*)
極大値	極小値	Ke	ALT	ALT'	N	N*	
527.9	-46.8	1.0	287.4	338.0	2	4670	0.00043
523.6	-46.8	1.0	285.2	335.5	2	4790	0.00042
472.0	-46.8	1.0	259.4	305.1	6	6360	0.00094
466.3	-46.8	1.0	256.6	301.8	53	6570	0.00807
466.3	-44.6	1.0	255.4	300.4	10	6660	0.00150
465.2	-44.6	1.0	254.9	299.8	2	6700	0.00030
463.9	-44.6	1.0	254.2	299.0	4	6750	0.00059
446.9	-44.6	1.0	245.7	289.0	3	7470	0.00040
436.0	-44.6	1.0	240.3	282.6	49	7980	0.00614
436.0	0.0	1.0	218.0	256.4	131	10700	0.01224
436.0	2.4	1.0	216.8	255.0	62	10900	0.00569
436.0	185.6	1.0	125.2	147.2	2	72800	0.00003
436.0	327.9	1.0	54.1	63.6	6	-----	0.0
疲労累積係数 =							0.03675

Ke : 割り増し係数

ALT : 繰返しピーク応力強さ

ALT' : ALTに(207000) (材料の使用温度における継弾性係数)を乗じて得た値

N : 計算繰返し回数

N* : 許容繰返し回数

■ : 割り増し係数 Ke を示す

冷却材入口管台 環境疲労評価結果（評価点：1）

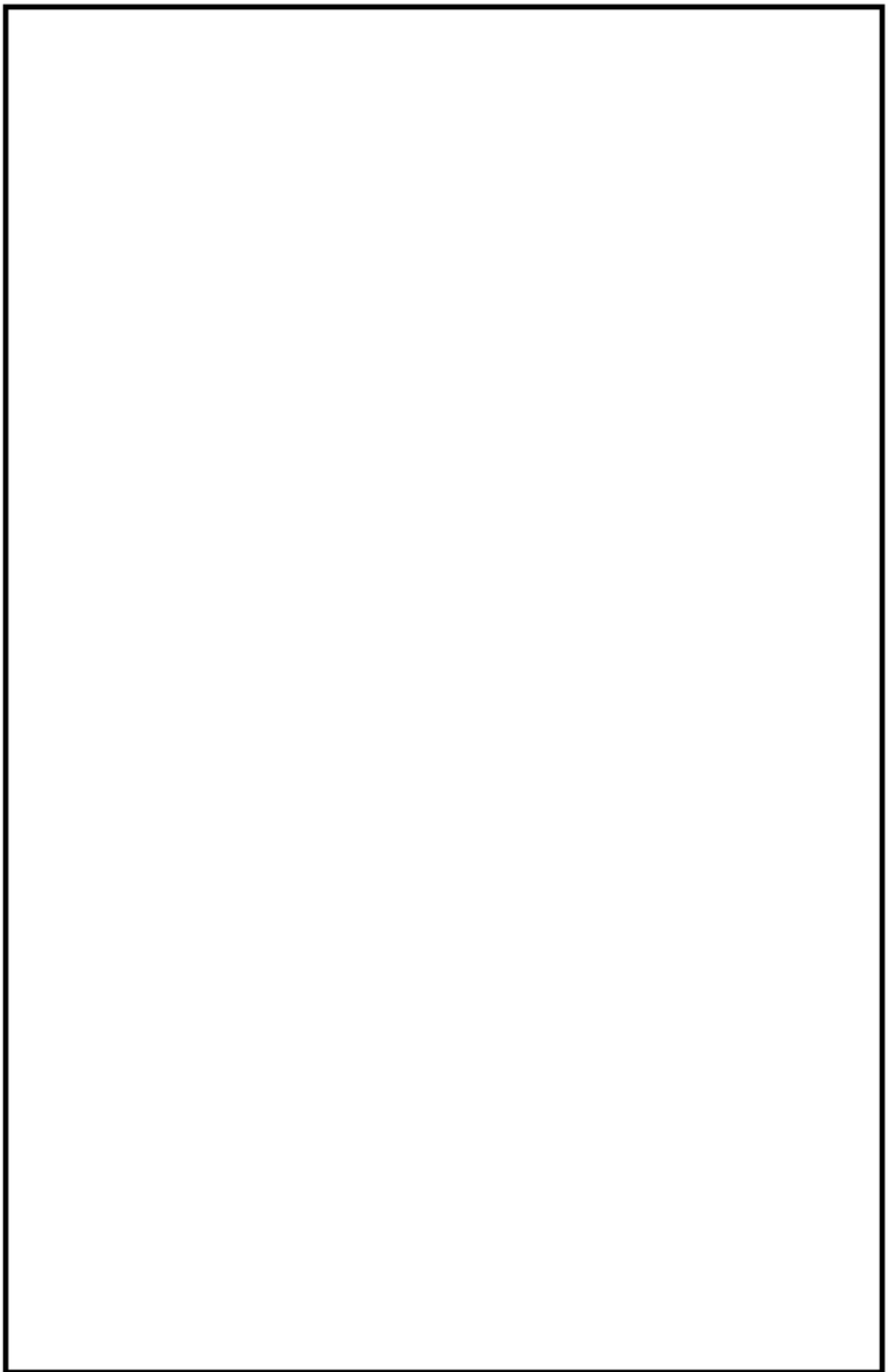
過渡条件 記号		一次+二 次+ ピーク応力強さ		割り増し 係数 KB	補正しピーク 応力強さ		実過渡 回数 n	許容繰返し 回数 n*	疲労累積係数 u	環境効果 補正係数 fen	環境効果を考慮した 疲労累積係数 uen
A	B	smax	smin		補正前 salt	補正後 salt'					
2D1	1A1	211.9	-46.7	1.00	129.3	142.4	2	3040000	0.00000	1.000	0.00000
2G1	1A1	143.4	-46.7	1.00	95.0	104.7	2	2090000	0.00000	1.000	0.00000
2D2	1A1	139.9	-46.7	1.00	93.3	102.8	2	2790000	0.00000	1.000	0.00000
2F1	1A1	95.6	-46.7	1.00	71.7	78.9	3	-----	0.00000	1.000	0.00000
合計：											0.00000

(注) ハザード指標 $\leq 0.110\%$ ($salt' \leq 214.5$) の場合、 $fen=1.0$

■ : 割り増し係数 KB, 環境効果補正係数 fen を示す

環境効果補正係数（Fen）の算出根拠

各過渡の温度、ひずみ履歴より値を読み取り、環境疲労評価手法に従って算出している。



冷却材出口管台形状寸法、評価点および解析モデル

冷却材出口管台 最大評価点の選定

評価点	U(S12)	U(S23)	U(S31)
1	0.0	0.00001	0.00001
2	0.00134	0.00000	0.00339
3	0.00000	0.00000	0.0
4	0.00003	0.0	0.00009
5	0.00342	0.0	0.00203
6	0.00387	0.0	0.00309
7	0.0	0.00077	0.00186
8	0.00217	0.00000	0.00148
9L	0.03066	0.04417	0.00092
10L	0.0	0.00182	0.00114
9C	0.00166	0.00194	0.00248
10C	0.0	0.02081	0.01085
11L	0.04231	0.02503	0.0
12L	0.0	0.00215	0.00139
11C	0.00261	0.00001	0.00042
12C	0.0	0.02225	0.01183
13L	0.04390	0.02404	0.00072
14L	0.0	0.00229	0.00207
13C	0.00151	0.00061	0.00440
14C	0.0	0.02281	0.01316

許容値 $U_f = 1.0$

■ : 疲労累積係数が最大となる評価点および最大値を示す

冷却材出口管台 疲労解析結果（評価点：9 L）

評価点 - 9L (S23)		K _e	(単位 : MPa)		繰返し回数		疲労係数 (=N/N*)
極大値	極小値		ALT	ALT'	N	N*	
606.0	-15.1	1.0	310.5	371.6	2	3450	0.00058
602.0	-15.1	1.0	308.5	369.1	2	3520	0.00057
525.8	-15.1	1.0	270.4	323.6	2	5340	0.00037
488.0	-15.1	1.0	251.5	301.0	57	6620	0.00861
488.0	-10.1	1.0	249.1	298.0	6	6820	0.00088
485.5	-10.1	1.0	247.8	296.5	4	6920	0.00058
481.4	-10.1	1.0	245.8	294.1	58	7090	0.00818
481.4	0.0	1.0	240.7	288.0	131	7550	0.01735
481.4	24.5	1.0	228.5	273.4	62	8810	0.00704
481.4	269.4	1.0	106.0	126.8	2	135000	0.00001
481.4	343.6	1.0	68.9	82.5	537	-----	0.0
		疲労累積係数 = 0.04417					

K_e : 割増し係数

ALT : 繰返し二乗応力強さ

ALT' : ALTに(207000)/(材料の使用温度における綫弾性係数)を乗じて得た値

N : 計算繰返し回数

N* : 許容繰返し回数

■ : 割り増し係数 K_e を示す

冷却材出口管台 環境疲労評価結果（評価点：1）

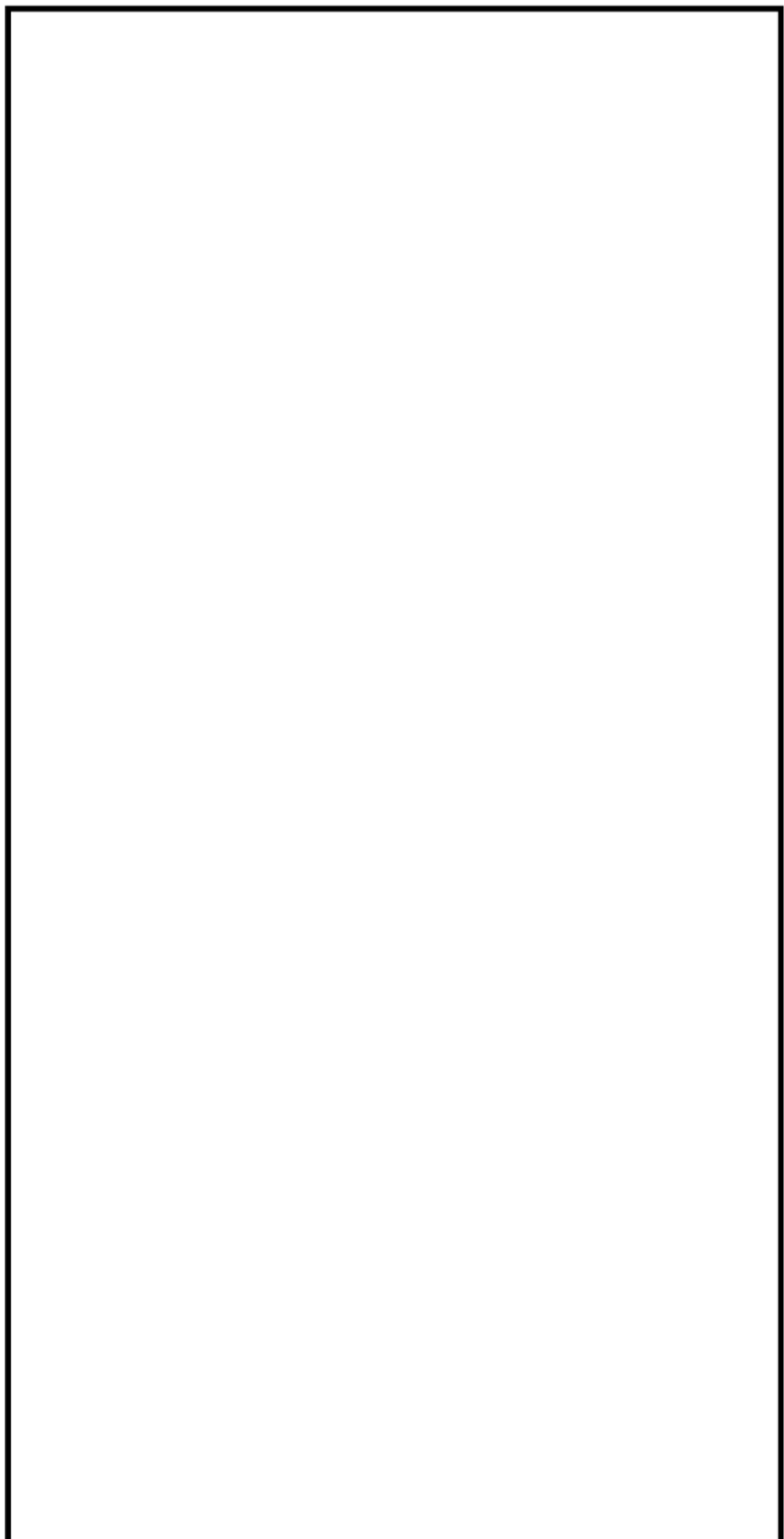
通過条件 記号	一次+二次+ ピーク応力強さ			割り増し 係数 KE	跳返しピーク 応力強さ salt	実過渡 回数 n	許容繰返し 回数 n [#]	疲労累積係数 u	環境効果 補正係数 fen	環境効果を考慮した 疲労累積係数 uen
	A	B	smax							
ZD4 2H1	248.5	-111.4		1.00	179.9	201.6	2	761000	0.00000	1.000 0.00000
ZD2 1A1	239.3	-41.4		1.00	140.4	157.3	2	1980000	0.00000	1.000 0.00000
ZP1 1A1	227.6	-41.4		1.00	134.6	150.7	3	2380000	0.00000	1.000 0.00000
ZC2 1A1	196.4	-41.4		1.00	118.9	133.3	2	4050000	0.00000	1.000 0.00000
ZG1 1A1	193.7	-41.4		1.00	117.6	131.8	2	4260000	0.00000	1.000 0.00000
ZD1 1A1	184.6	-41.4		1.00	113.0	126.6	5	5080000	0.00000	1.000 0.00000
ZL1 1A1	180.9	-41.4		1.00	111.2	124.6	2	5600000	0.00000	1.000 0.00000
ZB1 1A1	169.7	-41.4		1.00	105.5	118.3	2	7620000	0.00000	1.000 0.00000
ZH2 1A1	163.2	-41.4		1.00	102.3	114.7	2	9160000	0.00000	1.000 0.00000
ZA1 1A1	123.9	-41.4		1.00	82.7	92.6	6	-----	0.00000	1.000 0.00000
										合計 : 0.00001

(注) ハザード幅 ≤ 0.110% (salt' ≤ 214.5) の場合、fen=1.0

: 割り増し係数 KE, 環境効果補正係数 fen を示す

環境効果補正係数（Fen）の算出根拠

各過渡の温度、ひずみ履歴より値を読み取り、環境疲労評価手法に従って算出している。



蓋用管台形状寸法、評価点および解析モデル

蓋用管台 最大評価点の選定

評価点	U(S12)	U(S23)	U(S31)
1	0.0	0.0	0.0
2	0.0	0.0	0.0
3	0.0	0.0	0.0
4	0.0	0.0	0.0
5	0.00036	0.00003	0.00000
6	0.08561	0.00000	0.10943

許容値 $U_f = 1.0$

■ : 疲労累積係数が最大となる評価点および最大値を示す

蓋用管台 疲労解析結果 (評価点 : 6)

評価点 - 6 (S31)		応力強さ (単位 : MPa)	継返し回数		疲労係数 (=N/N*)			
極大値	極小値		K _e	ALT	ALT'	N	N*	
1932.6	-333.4	1.0		1133.0	1160.0	2	332	0.00602
1770.3	-333.4	1.0		1051.9	1085.2	2	415	0.00482
1356.0	-333.4	1.0		844.7	871.5	2	824	0.00243
1231.6	-333.4	1.0		782.5	807.4	2	1050	0.00190
1186.6	-333.4	1.0		760.0	784.1	2	1160	0.00172
1186.6	-333.4	1.0		760.0	784.1	2	1160	0.00172
1181.3	-333.4	1.0		757.3	781.4	28	1170	0.02393
1181.3	-313.0	1.0		747.1	770.8	39	1230	0.03171
1181.3	0.0	1.0		590.7	609.4	79	2830	0.02792
1181.3	564.6	1.0		308.4	318.2	2	50700	0.00004
1181.3	581.4	1.0		299.9	309.5	401	59000	0.00080
1153.9	581.4	1.0		286.3	295.3	2	76100	0.00003
1093.0	581.4	1.0		255.8	263.9	39	141000	0.00028
1079.0	581.4	1.0		248.8	256.7	2	165000	0.00001
1073.8	581.4	1.0		246.2	254.0	2	175000	0.00001
1060.8	581.4	1.0		239.7	247.3	3	203000	0.00001
1048.3	581.4	1.0		233.4	240.8	0	239000	0.00000
1030.9	581.4	1.0		224.7	231.9	2	303000	0.00001
941.5	581.4	1.0		180.1	185.8	40	1150000	0.00003
930.4	581.4	1.0		174.5	180.0	2	1270000	0.00000
915.2	581.4	1.0		166.9	172.2	0	1470000	0.00000
903.8	581.4	1.0		161.2	166.3	2	1650000	0.00000
891.1	581.4	1.0		154.9	159.8	2	1880000	0.00000
888.9	581.4	1.0		153.7	158.6	40	1930000	0.00002
888.9	581.4	1.0		153.7	158.6	12	1930000	0.00001
888.9	613.8	1.0		137.5	141.9	2	3090000	0.00000
888.9	717.3	1.0		85.8	88.5	2	0.0	

疲労累積係数 = 0.10943

K_e : 割増し係数
ALT : 継返しピーク応力強さ
ALT' : ALTに(195000)/(材料の使用温度における継弾性係数)を乗じて得た値
N : 計算継返し回数
N* : 許容継返し回数

■ : 割り増し係数 K_e を示す

蓋用管台 環境疲労評価結果（評価点：5）

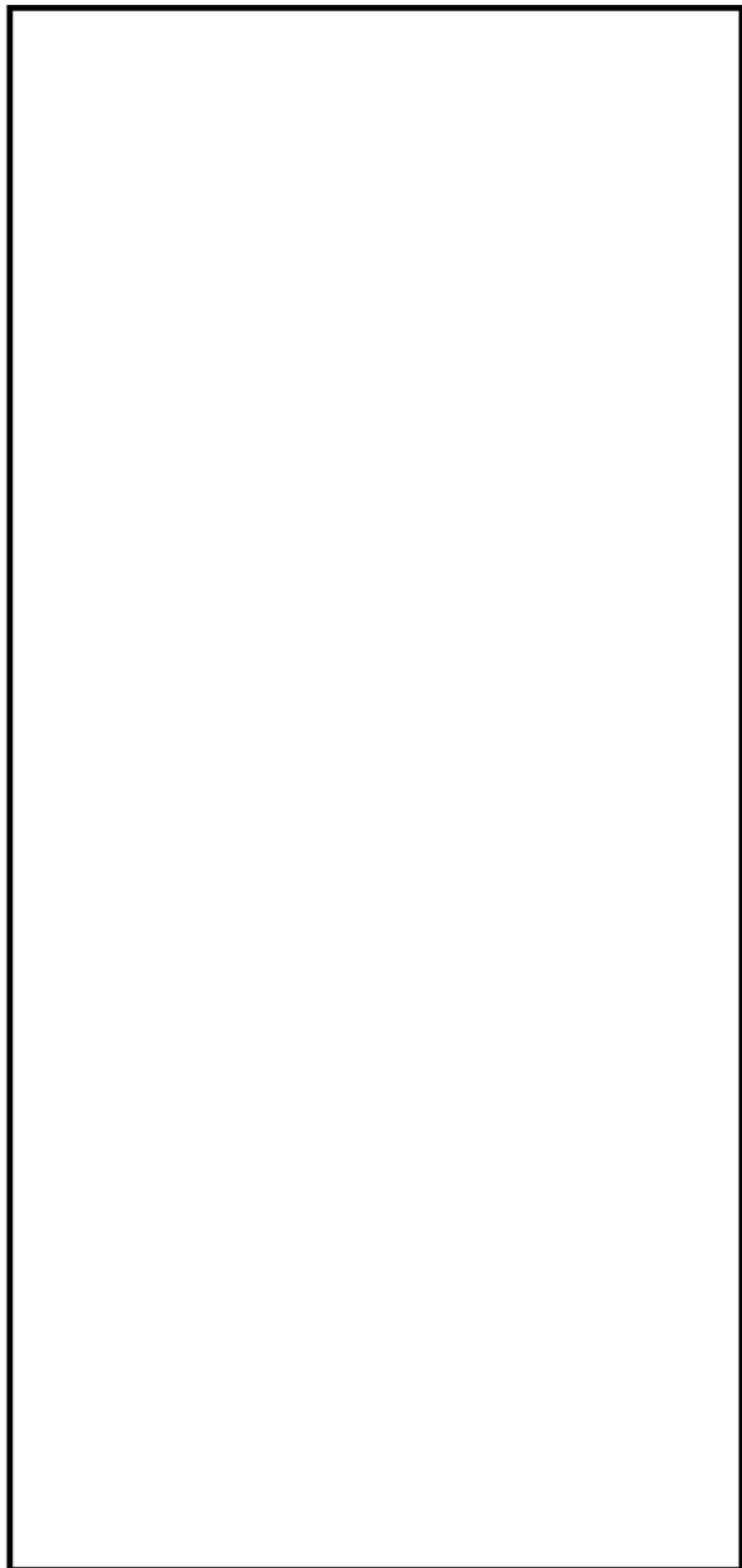
過渡条件 記号	一次+二次+ ピーク応力強さ		割り増し 係数 KE	繰返しピーク 応力強さ salt salt'	実過渡 回数 n	許容繰返し 回数 n*	疲労累積係数 u	環境効果 補正係数 fen	環境効果を考慮した 疲労累積係数 uan
	A	B							
IA1 2D4	75.8	-513.9	1.27	374.3 338.1	2	19200	0.00010	3.112	0.00032
IA1 2G1	75.8	-483.9	1.20	336.6 342.7	2	32900	0.00008	3.198	0.00019
IA1 1L1	75.8	-380.8	1.00	228.3 235.6	2	275000	0.00001	3.130	0.00002
IA1 1G1	75.8	-338.6	1.00	207.2 213.8	2	503000	0.00000	1.000	0.00000
IA1 1D1	75.8	-337.1	1.00	206.5 213.0	32	516000	0.00005	1.000	0.00005
EJ1 1D1	72.3	-337.1	1.00	204.7 211.2	39	548000	0.00007	1.000	0.00007
NSS 1D1	0.0	-337.1	1.00	188.5 173.9	79	1430000	0.00008	1.000	0.00008
2E1 1D1	-166.2	-337.1	1.00	90.5 93.3	2	-----	0.00000	1.000	0.00000
								合計：	0.00073

（注）ひずみ振幅±0.110% (salt' ±214.5) の場合、fen=1.0

■ : 割り増し係数 KE, 環境効果補正係数 fen を示す

環境効果補正係数（Fen）の算出根拠

各過渡の温度、ひずみ履歴より値を読み取り、環境疲労評価手法に従って算出している。



空気抜用管台形状寸法、評価点および解析モデル

空気抜用管台 最大評価点の選定

評価点	U(S12)	U(S23)	U(S31)
1	0.0	0.0	0.0
2	0.0	0.0	0.0
3	0.00041	0.00003	0.00000
4	0.01225	0.00000	0.01206

許容値 $U_f = 1.0$

■ : 疲労累積係数が最大となる評価点および最大値を示す

空気抜用管台 疲労解析結果（評価点：4）

評価点 - 4 (S12)		応力強さ		(単位 : MPa)		繰返し回数		疲労係数
極大値	極小値	K _e	ALT	ALT'	N	N*	(=N/N*)	
103.0	-1241.1	1.0	672.1	693.4	2	1770	0.00113	
103.0	-1092.1	1.0	597.6	616.5	2	2710	0.00074	
103.0	-857.6	1.0	480.3	495.6	2	6250	0.00032	
103.0	-840.1	1.0	471.6	486.6	2	6730	0.00030	
103.0	-818.5	1.0	460.8	475.4	2	7390	0.00027	
103.0	-786.2	1.0	444.6	458.7	2	8530	0.00023	
103.0	-776.3	1.0	439.6	453.6	2	8920	0.00022	
103.0	-724.8	1.0	413.9	427.0	2	11700	0.00017	
103.0	-722.7	1.0	412.9	426.0	2	11800	0.00017	
103.0	-719.3	1.0	411.2	424.2	22	12109	0.00182	
95.4	-719.3	1.0	407.4	420.3	39	12600	0.00310	
0.0	-719.3	1.0	359.6	371.1	79	23400	0.00338	
-337.7	-719.3	1.0	190.8	196.8	2	902000	0.00000	
-351.3	-719.3	1.0	184.0	189.8	407	1070000	0.00038	
-351.3	-706.6	1.0	177.6	183.2	2	1200000	0.00000	
-351.3	-668.7	1.0	158.7	163.7	0	1740000	0.00000	
-351.3	-657.6	1.0	153.1	158.0	2	1950000	0.00000	
-351.3	-631.9	1.0	140.3	144.7	39	2840000	0.00001	
-351.3	-621.5	1.0	135.1	139.4	3	3340000	0.00000	
-351.3	-574.3	1.0	111.5	115.0	40	9000000	0.00000	
-351.3	-566.0	1.0	107.3	110.7	2	12000000	0.00000	
-351.3	-552.0	1.0	100.3	103.5	0	25000000	0.00000	
-351.3	-547.0	1.0	97.8	100.9	2	37000000	0.00000	
-351.3	-539.2	1.0	93.9	96.9	40	124000000	0.00000	
-351.3	-539.2	1.0	93.9	96.9	12	124000000	0.00000	
-401.4	-539.2	1.0	68.9	71.1	2	-----	0.0	

疲労累積係数 = 0.01225

Ke : 割り増し係数
 ALT : 繰返しピーク応力強さ
 ALT' : ALTに(195000)/(材料の使用温度における継弾性係数)を乗じて得た値
 N : 評計繰返し回数
 N* : 許容繰返し回数

■ : 割り増し係数 Ke を示す

空気抜用管台 環境疲労評価結果 (評価点 : 3)

過渡条件 記号	一次+二次+ ピーク応力強さ		割り増し 係数 KE	繰返しひーク 応力強さ		実温渡 回数 n	許容繰返し 回数 n*	疲労累積係数 u	環境効果 補正係数 fen	環境効果を考慮した 疲労累積係数 uen
	A	B		smax	smin					
				補正前	補正後					
				salt	salt'	n	n*	u	fen	uen
1A1	2D4		85.3	-575.0	1.28	421.5	434.8	2	10700	0.00019
1A1	2G1		85.3	-501.7	1.11	325.9	337.3	2	37700	0.00005
1A1	2D2		85.3	-334.8	1.00	235.1	242.5	2	229000	0.00001
1A1	1L1		85.3	-373.0	1.00	229.1	236.4	2	269000	0.00001
1A1	2F1		85.3	-364.5	1.00	224.9	232.1	2	302000	0.00001
1A1	2D1		85.3	-345.9	1.00	215.6	222.4	2	383000	0.00001
1A1	2C2		85.3	-344.1	1.00	214.7	221.5	2	403000	0.00000
1A1	2B1		85.3	-317.8	1.00	201.6	208.0	2	611000	0.00000
1A1	2H2		85.3	-317.4	1.00	201.4	207.8	2	616000	0.00000
1A1	1G1		85.3	-311.4	1.00	198.4	204.7	2	684000	0.00000
1A1	1D1		85.3	-309.6	1.00	197.5	203.8	20	707000	0.00003
2J1	1D1		80.2	-309.6	1.00	194.9	201.1	39	774000	0.00005
NSS	1D1		0.0	-309.6	1.00	164.8	159.7	79	1880000	0.00004
2H1	1D1		-108.8	-309.6	1.00	100.4	103.6	2	24500000	0.00000
1C1	1D1		-119.0	-309.6	1.00	95.3	98.4	409	62000000	0.00001
1C1	2A1		-119.0	-283.2	1.00	82.2	84.8	2	-----	0.00000
										合計 : 0.00097

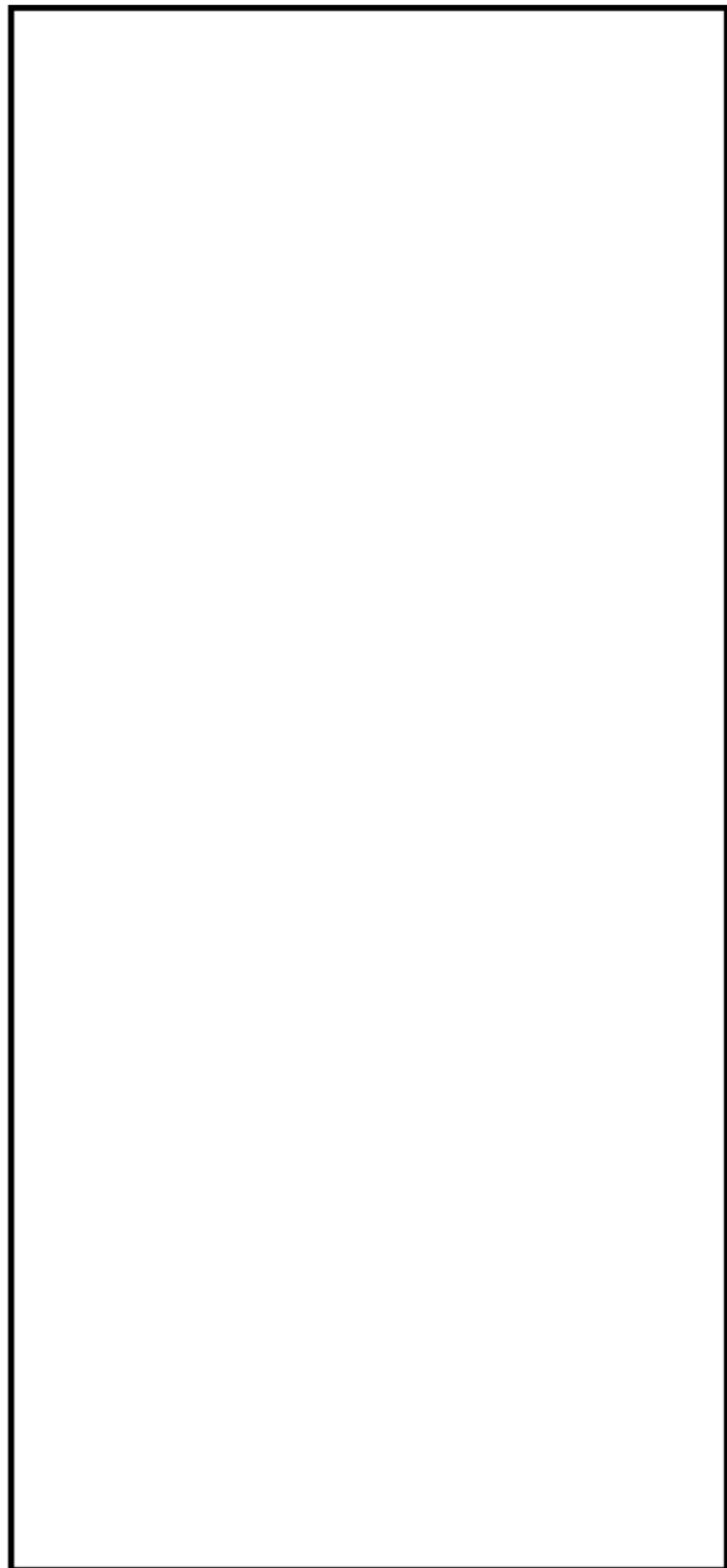
(注) ひずみ振幅 $\leq 0.110\%$ ($salt' \leq 214.5$) の場合、 $fen=1.0$

: 割り増し係数 KE, 環境効果補正係数 fen を示す

環境効果補正係数（Fen）の算出根拠

各過渡の温度、ひずみ履歴より値を読み取り、環境疲労評価手法に従って算出している。

-3-33-



炉内計装筒形状寸法、評価点および解析モデル

炉内計装筒 最大評価点の選定

評価点	U(S12)	U(S23)	U(S31)
1	0.0	0.0	0.0
2	0.0	0.0	0.0
3	0.0	0.0	0.0
4	0.0	0.0	0.0
5	0.0	0.0	0.00000
6	0.00000	0.0	0.00000
7	0.0	0.0	0.0
8	0.00000	0.0	0.00000
9	0.00089	0.00017	0.0
10	0.01082	0.00154	0.11527

許容値 $U_f = 1.0$

■ : 疲労累積係数が最大となる評価点および最大値を示す

炉内計装筒 疲労解析結果 (評価点 : 10)

評価点 - 10 (S31)		応力強さ (単位 : MPa)			繰返し回数		疲労係数
極大値	極小値	K _e	ALT	ALT'	N	N*	(=N/N*)
1590.4	-150.7	1.0	870.5	853.0	2	882	0.00227
1439.1	-150.7	1.0	794.9	778.9	2	1190	0.00168
1139.1	-150.7	1.0	644.9	631.9	6	2470	0.00243
1135.8	-150.7	1.0	643.3	630.3	2	2500	0.00080
1132.3	-150.7	1.0	641.5	628.6	51	2520	0.02024
1132.3	-129.8	1.0	631.0	618.4	12	2680	0.00448
1119.1	-129.8	1.0	624.5	611.9	3	2790	0.00108
1117.6	-129.8	1.0	623.7	611.2	4	2800	0.00143
1072.0	-129.8	1.0	600.9	588.8	49	3220	0.01522
1072.0	-120.7	1.0	596.4	584.4	68	3320	0.02048
1072.0	-120.3	1.0	596.1	584.1	62	3320	0.01867
1072.0	0.0	1.0	536.0	525.2	131	4950	0.02646
1072.0	479.1	1.0	296.4	290.5	2	83400	0.00002
1072.0	710.0	1.0	181.0	177.3	6	1340000	0.00000
1072.0	783.9	1.0	141.5	138.7	3	3410000	0.00000
1072.0	808.6	1.0	131.7	129.0	2	4660000	0.00000
1072.0	828.9	1.0	121.5	119.1	2	7320000	0.00000
1072.0	846.2	1.0	112.9	110.6	2	12200000	0.00000
1072.0	851.2	1.0	110.4	108.2	5	15000000	0.00000
1072.0	869.2	1.0	101.4	99.3	2	47300000	0.00000
1072.0	876.0	1.0	98.0	96.0	4	1000000000	0.00000
1072.0	885.8	1.0	93.1	91.2	2	-----	0.0

疲労累積係数 = 0.11527

K_e : 割り増し係数

ALT : 繰返しピーク応力強さ

ALT' : ALTに(195000)/(材料の使用温度における綾弾性係数)を乗じて得た値

N : 設計繰返し回数

N* : 許容繰返し回数

■ : 割り増し係数 K_e を示す

炉内計装筒 環境疲労評価結果（評価点：9）

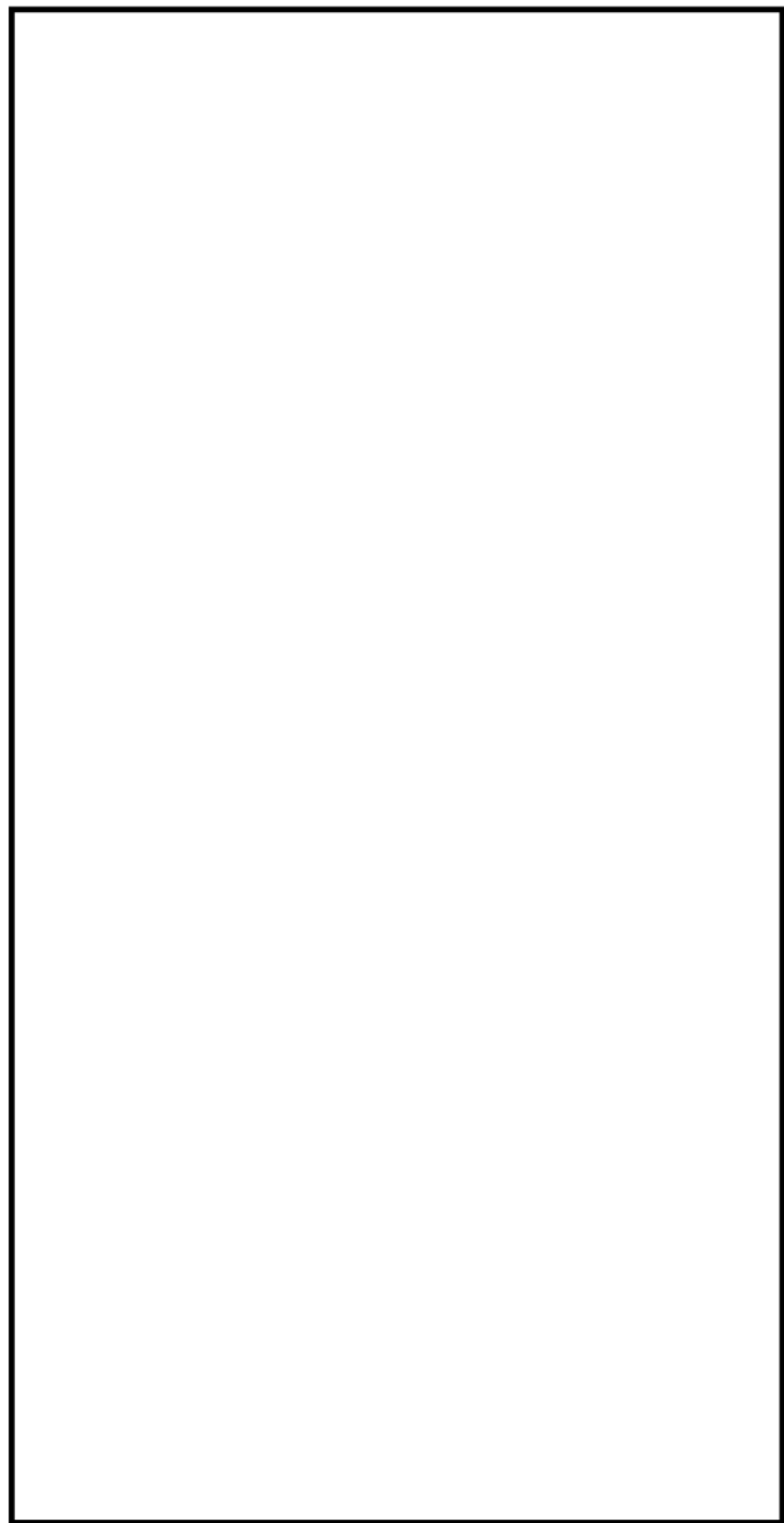
過渡条件 記号		一次十二次十 ピーク応力強さ		割り増し 係数 Ke	繰返しピーケ 応力強さ		実過渡 回数 n	許容繰返し 回数 n*	疲労累積係数 u	環境効果 補正係数 fen	環境効果を考慮した 疲労累積係数 uen
A	B	smax	smin		補正前 salt	補正後 salt'					
ZJ1	ZD4	14.1	-610.9	1.00	312.5	305.2	2	62500	0.00003	2.568	0.00008
ZJ1	ZG1	14.1	-561.2	1.00	287.7	281.9	2	98300	0.00002	2.617	0.00005
ZJ1	ZA1	14.1	-465.2	1.00	299.7	234.9	6	280000	0.00002	2.414	0.00006
ZJ1	ZJ2	14.1	-455.6	1.00	234.9	230.1	53	318000	0.00017	2.388	0.00040
JB1	ZJ2	7.8	-455.6	1.00	231.7	227.0	10	346000	0.00003	1.166	0.00003
JB1	ZB2	7.8	-452.9	1.00	230.3	225.7	4	359000	0.00001	1.650	0.00002
JB1	ZH1	7.8	-448.7	1.00	228.2	223.7	2	380000	0.00001	1.531	0.00001
JB1	ZI1	7.8	-446.1	1.00	226.9	223.4	3	393000	0.00001	1.544	0.00001
JB1	JC1	7.8	-432.0	1.00	219.9	215.6	49	479000	0.00010	1.504	0.00015
JI1	JC1	4.3	-432.0	1.00	218.2	213.8	62	503000	0.00012	1.000	0.00012
JA1	JC1	0.9	-432.0	1.00	216.4	212.1	68	532000	0.00013	1.000	0.00013
NS5	JC1	0.0	-432.0	1.00	216.0	211.7	131	540000	0.00024	1.000	0.00024
ZE1	JC1	-204.8	-432.0	1.00	113.6	111.3	2	11500000	0.00000	1.000	0.00000
ZA1	JC1	-299.8	-432.0	1.00	66.1	64.8	6	-----	0.00000	1.000	0.00000
合計：											0.00130

(注) ひずみ振幅≤0.110% (salt'≤214.5) の場合、fen=1.0

■ : 割り増し係数 Ke, 環境効果補正係数 fen を示す

環境効果補正係数（Fen）の算出根拠

各過渡の温度、ひずみ履歴より値を読み取り、環境疲労評価手法に従って算出している。



上部蓋、上部胴フランジおよびスタッドボルト寸法、評価点および解析モデル

上部蓋、上部胴フランジおよびスタッドボルト 最大評価点の選定

評価点	U(S12)	U(S23)	U(S31)
1	0.00017	0.00102	0.00046
2	0.00063	0.00045	0.00703
3	0.00041	0.00135	0.00008
4	0.00078	0.00113	0.00023
5	0.0	0.00304	0.00447
6	0.0	0.00088	0.00153
7	0.36213	0.0	0.36213
8	0.08502	0.0	0.08502
9	0.21264	0.0	0.21264
10	0.07936	0.0	0.07936

許容値 $U_f = 1.0$

■ : 疲労累積係数が最大となる評価点および最大値を示す

上部蓋、上部胴フランジ 疲労解析結果（評価点： 2）

評価点 = 2 (S31)		(単位 : MPa)			繰返し回数		疲労係数
極大値	極小値	Ke	ALT	ALT'	N	N*	(=N/N*)
0.0	-427.8	1.0	213.9	255.9	39	10800	0.00361
-43.5	-427.8	1.0	192.1	229.9	1	15500	0.00006
-43.5	-383.7	1.0	170.1	203.5	39	23300	0.00167
-71.8	-380.1	1.0	154.1	184.4	2	31600	0.00006
-71.8	-377.9	1.0	153.0	183.1	3	32300	0.00009
-71.8	-369.0	1.0	148.6	177.8	34	35400	0.00096
-106.3	-369.0	1.0	131.4	157.2	2	52800	0.00004
-124.5	-369.0	1.0	122.3	146.3	39	75100	0.00052
-179.7	-369.0	1.0	94.6	113.2	2	206000	0.00001
-234.9	-369.0	1.0	67.1	80.3	2	-----	0.0

疲労累積係数 = 0.00703

Ke : 割り増し係数

ALT : 繰返しピーク応力強さ

ALT' : ALTに(207000)/(材料の使用温度における継弾性係数)を乗じて得た値

N : 設計繰返し回数

N* : 許容繰返し回数

■ : 割り増し係数 Ke を示す

スタッドボルト 疲労解析結果 (評価点 : 7)

評価点 - 7
(S12)

応力強さ	(単位 : MPa)			繰返し回数		疲労係数 (=N/N*)
	極大値	極小値	K _e	ALT	ALT'	
1954.2	0.0	1.0		977.1	1169.1	69 354 0.19492
1954.2	219.6	1.0		867.3	1037.7	3 450 0.00667
1703.8	219.6	1.0		742.1	888.0	69 612 0.11275
1372.6	425.6	1.0		473.5	566.6	2 1480 0.00135
1356.3	425.6	1.0		465.3	556.8	4 1540 0.00260
1287.8	425.6	1.0		431.1	515.8	2 1800 0.00111
1273.2	425.6	1.0		423.8	507.1	61 1860 0.03280
1273.2	547.0	1.0		363.1	434.5	2 2540 0.00079
1273.2	714.6	1.0		279.3	334.2	2 4300 0.00047
1273.2	858.3	1.0		207.5	248.2	7 8640 0.00081
1271.8	858.3	1.0		206.7	247.4	62 8720 0.00711
1271.8	899.1	1.0		186.3	222.9	2 11500 0.00017
1271.8	916.2	1.0		177.8	212.7	3 13300 0.00023
1271.8	969.4	1.0		151.2	180.9	2 22600 0.00009
1271.8	1015.6	1.0		128.1	153.2	5 48100 0.00010
1271.8	1019.5	1.0		126.1	150.9	1 51600 0.00002
1262.7	1019.5	1.0		121.6	145.5	1 61200 0.00002
1262.7	1032.7	1.0		115.0	137.6	2 79400 0.00003
1255.8	1032.7	1.0		111.6	133.5	4 91500 0.00004
1255.8	1039.9	1.0		108.0	129.2	3 108000 0.00003
1255.8	1057.3	1.0		99.2	118.7	4 182000 0.00002
1255.8	1070.6	1.0		92.6	110.8	2 295000 0.00001
1255.8	1071.4	1.0		92.2	110.4	0 304000 0.00000
1255.8	1080.4	1.0		87.7	105.0	6 436000 0.00001
1255.8	1083.6	1.0		86.1	103.0	0 499000 0.00000
1255.8	1086.9	1.0		84.5	101.1	2 568000 0.00000
1255.8	1093.4	1.0		81.2	97.2	6 743000 0.00001
1255.8	1097.5	1.0		79.1	94.7	0 885000 0.00000
1255.8	1101.8	1.0		77.0	92.1	6 0.0
						疲労累積係数 = 0.36213

K_e : 割増し係数

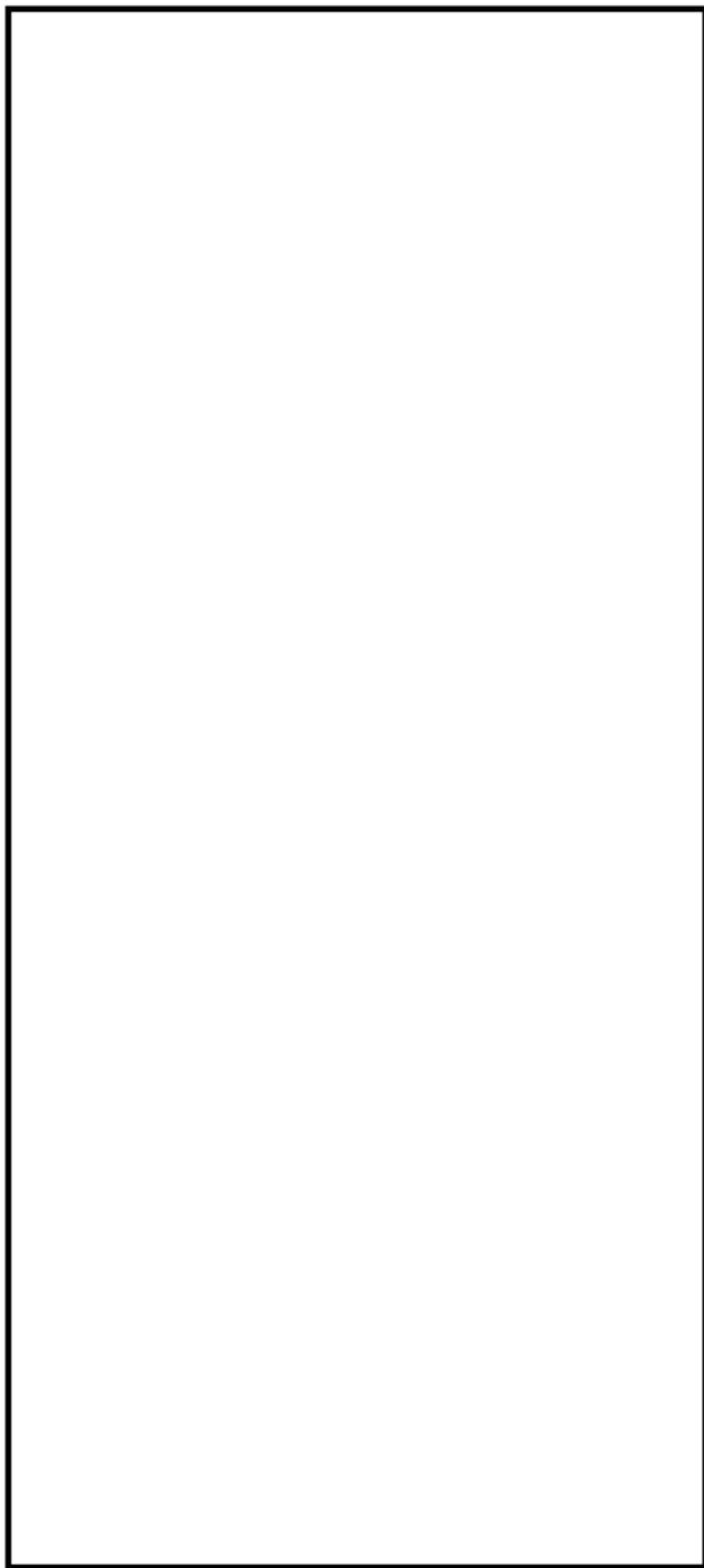
ALT : 繰返しピーク応力強さ

ALT' : ALTに(207000)/(材料の使用温度における継弾性係数)を乗じて得た値

N : 設計繰返し回数

N* : 許容繰返し回数

 : 割り増し係数 K_e を示す



下部胴・下部鏡接続部形状寸法、評価点および解析モデル

下部胴・下部鏡接続部 最大評価点の選定

評価点	U(S12)	U(S23)	U(S31)
1	0.0	0.00098	0.00004
2	0.0	0.00015	0.0
3	0.0	0.00113	0.00408
4	0.0	0.00001	0.00000

許容値 $U_f = 1.0$

■ : 疲労累積係数が最大となる評価点および最大値を示す

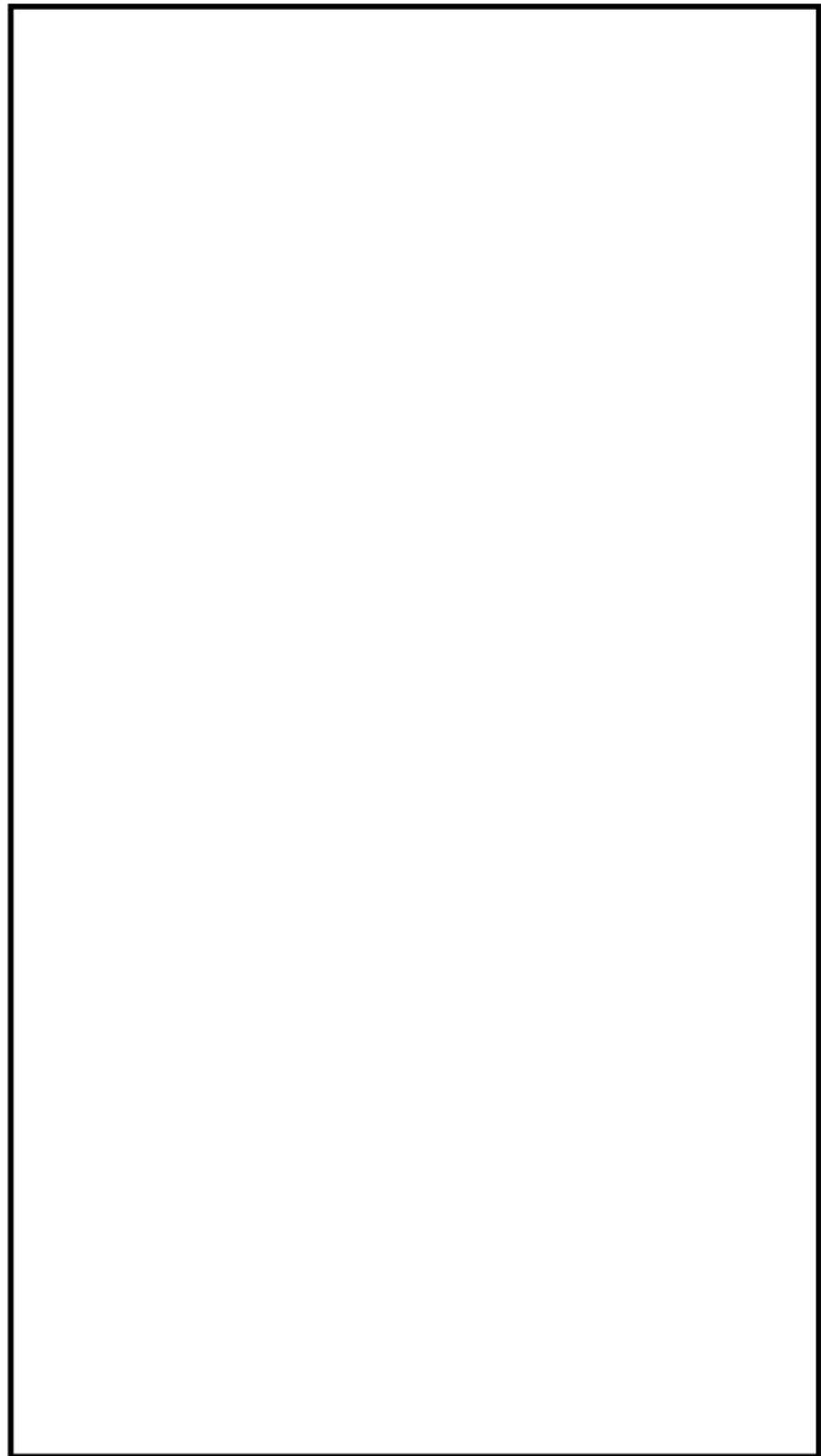
下部胴・下部鏡接続部 疲労解析結果 (評価点 : 3)

評価点 = 3
(S31)

応力強さ			(単位 : MPa)		繰返し回数		疲労係数
極大値	極小値	Ke	ALT	ALT'	N	N*	(=N/N*)
15.0	-369.5	1.0	192.2	226.1	2	16500	0.00912
15.0	-323.3	1.0	169.1	198.9	2	25000	0.00008
15.0	-264.8	1.0	139.9	164.5	3	44900	0.00007
15.0	-251.6	1.0	133.3	156.7	2	53600	0.00004
15.0	-245.2	1.0	130.1	153.0	6	60400	0.00010
15.0	-242.6	1.0	128.8	151.5	48	63400	0.00076
9.2	-242.6	1.0	125.9	148.1	15	70800	0.00021
9.2	-241.9	1.0	125.5	147.6	4	71800	0.00006
9.2	-238.2	1.0	123.7	145.5	49	77200	0.00063
0.0	-238.2	1.0	119.1	140.1	131	92800	0.00141
-6.0	-238.2	1.0	116.1	136.6	62	103000	0.00060
-135.8	-238.2	1.0	51.2	60.3	2	-----	0.0
疲労累積係数 =							0.00408

Ke : 割増し係数
ALT, ALT' : 繰返しピーク応力強さ
ALT' : ALTに(207000)/(材料の使用温度における綾弾性係数)を乗じて得た値
N : 設計繰返し回数
N* : 許容繰返し回数

■ : 割り増し係数 Ke を示す



炉心支持金物および炉心支持金物取付部形状寸法、評価点および解析モデル

炉心支持金物および炉心支持金物取付部 最大評価点の選定

評価点	U(S12)	U(S23)	U(S31)
1	0.0	0.00058	0.00038
2	0.0	0.00039	0.0
3	0.0	0.00503	0.00024
4	0.0	0.00015	0.0
5	0.0	0.00023	0.00106
6	0.0	0.00008	0.0
7	0.00001	0.00486	0.00026
8	0.0	0.00015	0.0
9	0.0	0.0	0.0
10	0.0	0.0	0.0
11	0.0	0.0	0.00000
12	0.0	0.0	0.0
13	0.0	0.0	0.0
14	0.0	0.0	0.0

許容値 $U_f = 1.0$

■ : 疲労累積係数が最大となる評価点および最大値を示す

炉心支持金物および炉心支持金物取付部 疲労解析結果（評価点：3）

評価点 - 3 (S23)		(単位 : MPa)				繰返し回数		疲労係数
応力強さ	K _e	ALT	ALT'	N	N*	(=N/N*)		
極大値	極小値							
364.2	-40.9	1.0	202.5	238.2	2	13700	0.00015	
320.5	-40.9	1.0	180.7	212.5	2	20400	0.00010	
264.4	-40.9	1.0	152.7	179.5	3	34300	0.00009	
250.1	-40.9	1.0	145.5	171.1	61	39800	0.00153	
250.1	-38.7	1.0	144.4	169.8	2	40800	0.00005	
248.2	-38.7	1.0	143.5	168.7	2	41600	0.00005	
246.5	-38.7	1.0	142.6	167.7	6	42400	0.00014	
242.5	-38.7	1.0	140.6	165.4	4	44200	0.00009	
234.3	-38.7	1.0	136.5	160.5	49	48500	0.00101	
234.3	0.0	1.0	117.1	137.8	131	100000	0.00131	
234.3	11.9	1.0	111.2	130.8	62	121000	0.00051	
234.3	110.2	1.0	62.0	72.9	2	-----	0.0	
疲労累積係数 = 0.00503								

K_e : 割り増し係数
 ALT : 繰返しビック応力強さ
 ALT' : ALTに(207000)/(材料の使用温度における継弾性係数)を乗じて得た値
 N : 設計繰返し回数
 N* : 許容繰返し回数

■ : 割り増し係数 K_e を示す

炉心支持金物および炉心支持金物取付部 環境疲労評価結果（評価点：11）

過渡条件 記号		一次+二次+ ピーク応力強さ		割り増し 係数 Ke	繰返しピーク 応力強さ		実過渡 回数 n	許容繰返し 回数 n*	疲労累積係数 u	環境効果 補正係数 fen	環境効果を考慮した 疲労累積係数 uen
A	B	smax	shin		補正前 salt	補正後 salt'					
2A1	2D4	68.4	-127.6	1.00	98.0	98.1	2	888000000	0.00000	1.000	0.00000
2A1	2D2	68.4	-101.1	1.00	84.8	83.1	2	-----	0.00000	1.000	0.00000
合計：											0.00000

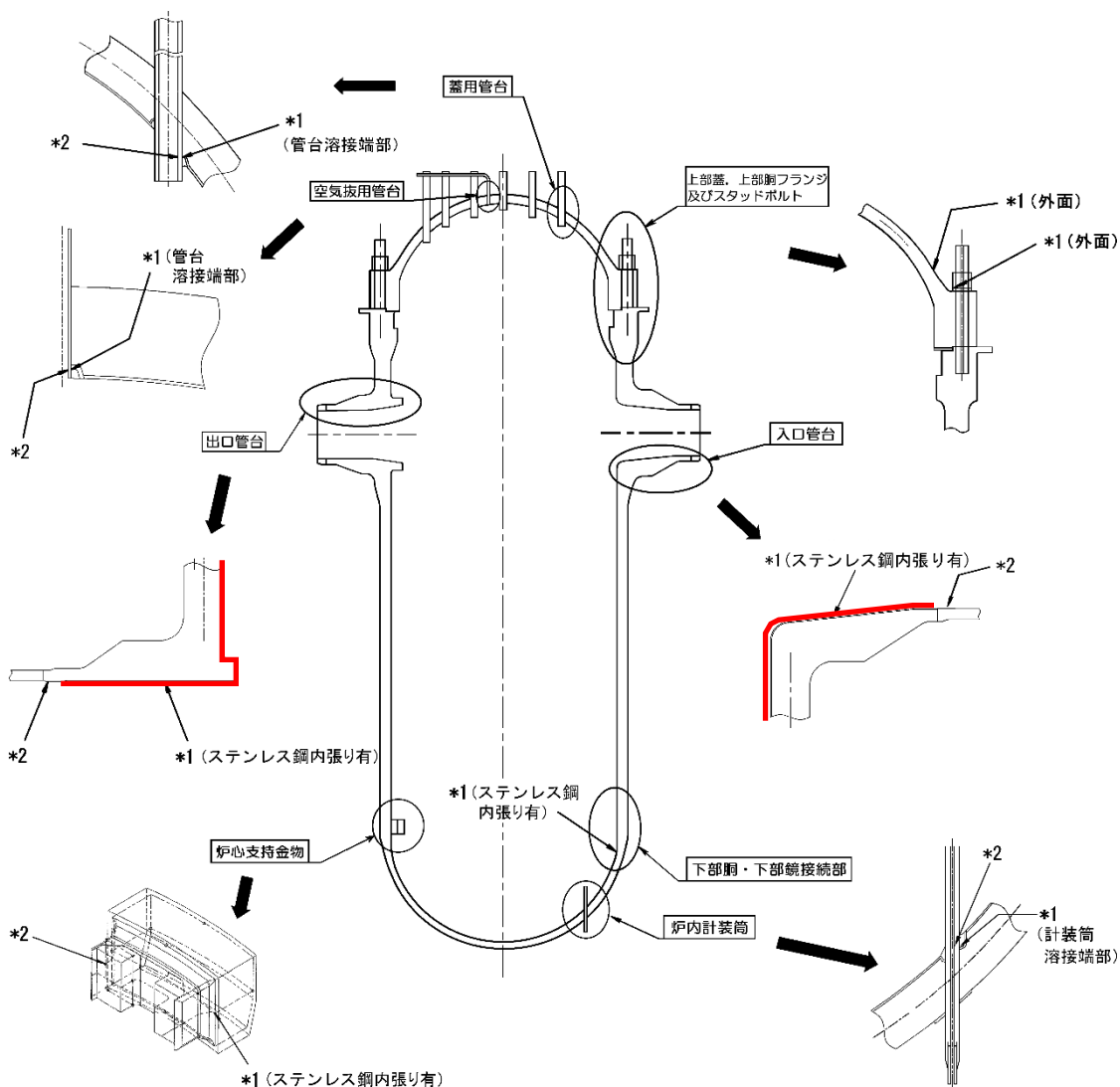
(注) ひずみ振幅 $\leq 0.110\%$ ($salt' \leq 214.5$) の場合、 $fen=1.0$

■ : 割り増し係数 Ke, 環境効果補正係数 fen を示す

環境効果補正係数（Fen）の算出根拠

各過渡の温度、ひずみ履歴より値を読み取り、環境疲労評価手法に従って算出している。

タイトル	クラッドにより環境疲労評価不要とする部位のクラッド確認について								
説明	<p>ステンレス鋼等クラッドにより接液していないとして環境疲労評価を行っていない部位がある機器としては、原子炉容器、加圧器、蒸気発生器がある。(添付－1)</p> <p>これらの機器のクラッド施工部については、定期的に目視確認等を行い、異常がないことを確認している。</p> <table border="1" data-bbox="584 601 1176 759"> <thead> <tr> <th></th> <th>点検方法</th> </tr> </thead> <tbody> <tr> <td>原子炉容器</td> <td>目視確認※1</td> </tr> <tr> <td>加圧器</td> <td>目視確認※2</td> </tr> <tr> <td>蒸気発生器</td> <td>目視確認</td> </tr> </tbody> </table> <p>※1：維持規格においては、表面のき裂を検出するための目視試験（V T – 1 およびM V T – 1）を定めているが、当該箇所の目視確認はこの条件を満たすものではない。ただし、供用期間中検査で実施している検査範囲に含まれるクラッド施工範囲については、変形、剥がれ、発錆などクラッド損傷に伴う異常がないことは確認できている。</p> <p>※2：加圧器のクラッド施工部のうち疲労の蓄積が考えられるスプレイライン用管台、サージ用管台の内面については、目視確認による確認が困難な場所である。しかし、供用期間中検査としてコーナー部や溶接継手部の超音波探傷検査を実施しており、この検査はクラッドを直接確認するための検査ではないがクラッド施工部に異常がないことを確認できると考えている。</p> <p style="text-align: right;">以上</p>		点検方法	原子炉容器	目視確認※1	加圧器	目視確認※2	蒸気発生器	目視確認
	点検方法								
原子炉容器	目視確認※1								
加圧器	目視確認※2								
蒸気発生器	目視確認								



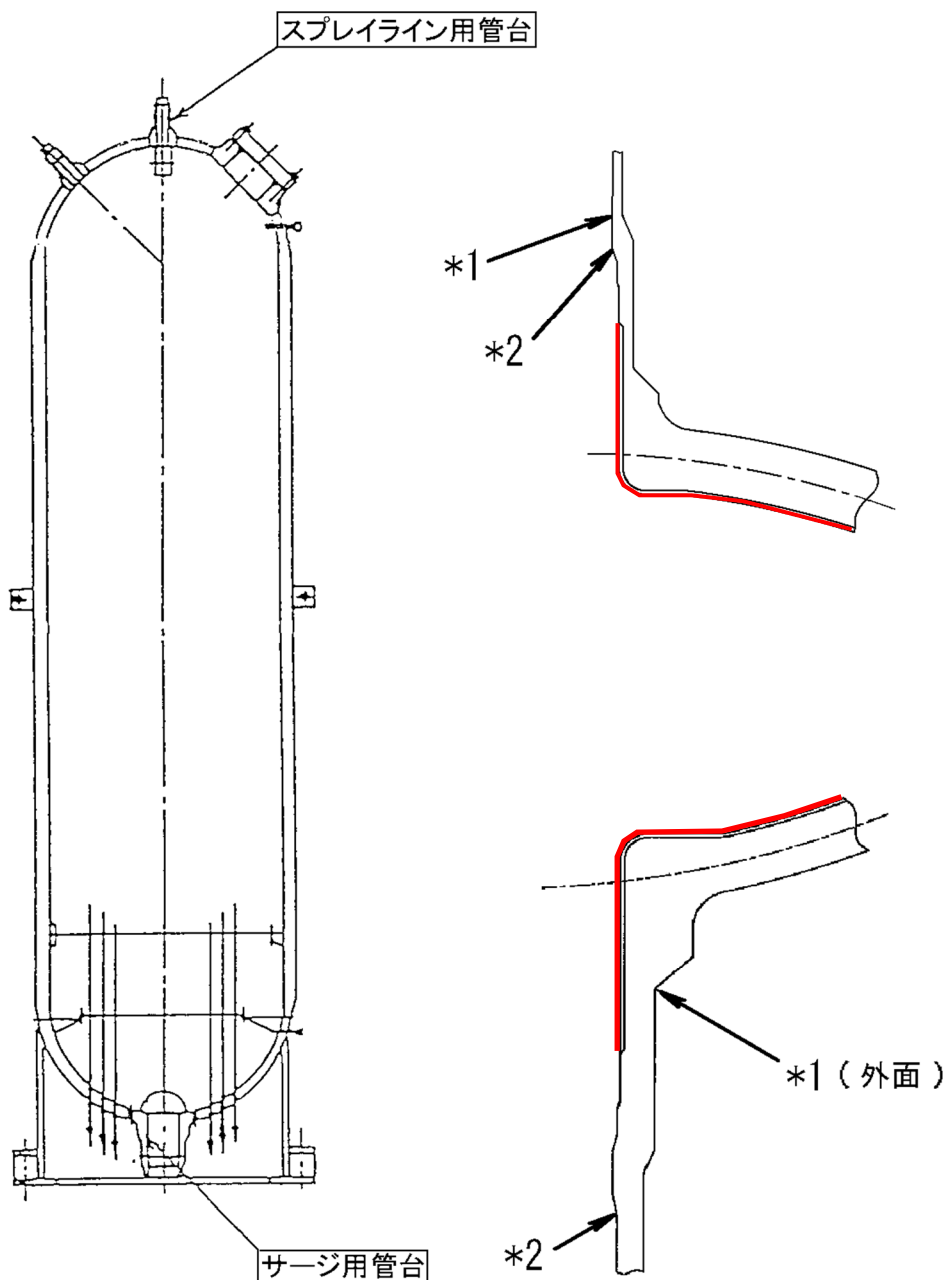
* 1 : 「設計・建設規格」に基づく疲労評価対象部位(最大)

(非接液部の場合は()内に理由を記載)

* 2 : 「環境疲労評価手法」に基づく疲労評価対象部位(最大) (接液部が対象)

— クラッド施工部位 (なお原子炉容器内面は全面クラッド施工されている)

原子炉容器 疲労評価対象部位と管台クラッド施工部位



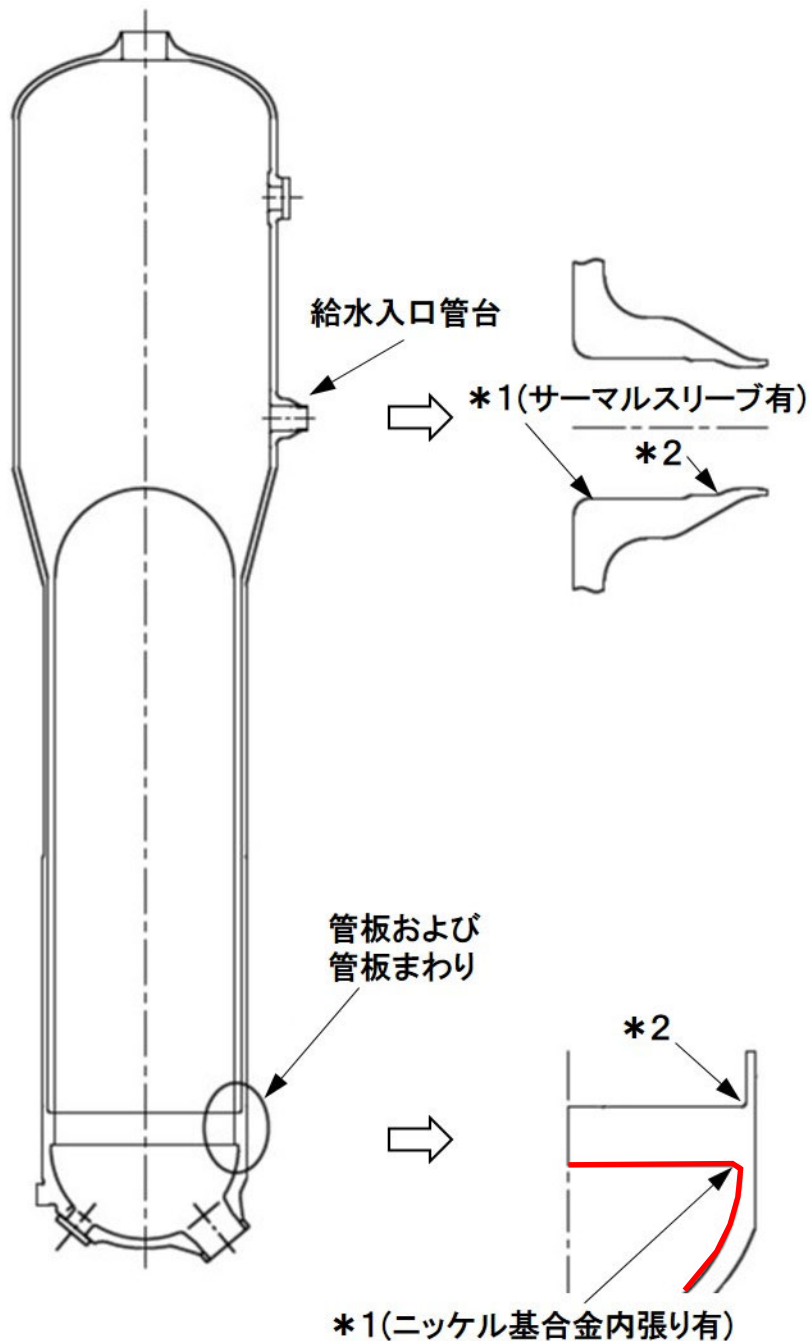
* 1 : 「設計・建設規格」に基づく疲労評価対象部位(最大)

(非接液部の場合は()内に理由を記載)

* 2 : 「環境疲労評価手法」に基づく疲労評価対象部位(最大) (接液部が対象)

■ クラッド施工部位 (なお加圧器内面は全面クラッド施工されている)

加圧器 疲労評価対象部位とクラッド施工部位



* 1 : 「設計・建設規格」に基づく疲労評価対象部位(最大)

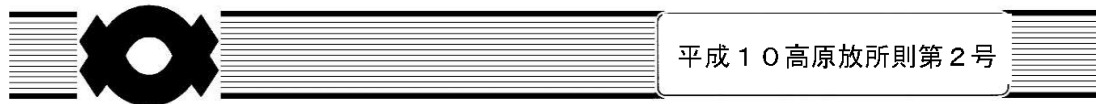
(非接液部の場合は () 内に理由を記載)

* 2 : 「環境疲労評価手法」に基づく疲労評価対象部位(最大) (接液部が対象)

クラッド施工部位

蒸気発生器 疲労評価対象部位とクラッド施工部位

タイトル	環境疲労評価で考慮している溶存酸素濃度について															
説 明	<p>環境疲労評価は、「発電用原子力設備規格 環境疲労評価手法（2009 年版）」（以下環境疲労評価手法）に基づいて実施している。</p> <p>環境疲労評価手法では、環境疲労補正係数（Fen）に溶存酸素が影響する場合として炭素鋼・低合金鋼を定めている。</p> <p>高浜 3 号炉の高経年化技術評価書において、炭素鋼・低合金鋼の接液部位のうち溶存酸素を考慮して環境疲労評価を行った部位は以下に示す。</p> <p style="text-align: center;">溶存酸素が影響する炭素鋼・低合金鋼の評価対象部位</p> <table border="1" style="width: 100%; border-collapse: collapse;"> <thead> <tr> <th>機器</th> <th>部位</th> <th>材質</th> <th>水質</th> </tr> </thead> <tbody> <tr> <td rowspan="2">蒸気発生器</td> <td>給水入口管台</td> <td>低合金鋼</td> <td>給水</td> </tr> <tr> <td>管板まわり</td> <td>低合金鋼</td> <td>給水</td> </tr> <tr> <td>炭素鋼配管</td> <td>主給水系統配管</td> <td>炭素鋼</td> <td>給水</td> </tr> </tbody> </table> <p>給水の溶存酸素濃度は 0.005ppm 以下 を標準値として監視・管理されていることから、当該部の環境疲労評価に対しては、溶存酸素濃度（DO）を 0.005ppm として溶存酸素濃度依存パラメータ（0*）を算出し、環境疲労補正係数の算出を行なった。</p> <p>[0*の算出式] $0* = \ln(3.28) \quad (DO < 0.02\text{ppm})$</p> <p>なお、主給水系統配管の環境疲労評価は係数倍法を使用しており、Fen の計算に際して溶存酸素濃度を直接的には使用していないが、環境疲労評価手法の解説 EF-3121 において、PWR2 次系環境における炭素鋼・低合金鋼の Fen, sc は溶存酸素濃度を 0.005ppm とした場合の計算式であることが示されている。</p> <p>添付－1 に給水の水質管理基準を示す。</p> <p style="text-align: right;">以 上</p>	機器	部位	材質	水質	蒸気発生器	給水入口管台	低合金鋼	給水	管板まわり	低合金鋼	給水	炭素鋼配管	主給水系統配管	炭素鋼	給水
機器	部位	材質	水質													
蒸気発生器	給水入口管台	低合金鋼	給水													
	管板まわり	低合金鋼	給水													
炭素鋼配管	主給水系統配管	炭素鋼	給水													



平成10高原放所則第2号

高浜発電所 化学管理業務所則

平成10年 6月 8日 制 定
2021年 1月26日 57次改正

関西電力株式会社

高浜発電所 管理値一覧(2次系)

別表-13

項目 試験	補給水												循環水				給水				蒸気発生器				スチームコンバータ 補助ボイラ				2次系補機冷却水 熱交換冷却水				DG 燃料分 冷却水				雨水			
	二床 出口	循環出口	脱気塔 出口	AP 出口	二次蒸餾水タンク	復水 タンク	復水ポンプ出口	ろ過器 出口	復水貯槽装置 出口②	高圧ヒータ出口	二次側器内水	スチームコンバータ 補助ボイラ	2次系補機冷却水 熱交換冷却水	DG 燃料分 冷却水	放水口	雨水渠	スチームコンバータ 補助ボイラ	2次系補機冷却水 熱交換冷却水	DG 燃料分 冷却水	放水口	雨水渠	スチームコンバータ 補助ボイラ	2次系補機冷却水 熱交換冷却水	DG 燃料分 冷却水	放水口	雨水渠	スチームコンバータ 補助ボイラ	2次系補機冷却水 熱交換冷却水	DG 燃料分 冷却水	放水口	雨水渠									
pH	at25°C																																							
電気伝導率	$\mu\text{S}/\text{cm}$ at25°C																																							
カチオン電気伝導率	$\mu\text{S}/\text{cm}$ at25°C																																							
ナトリウムイオン	ppm																																							
塩素イオン	ppm																																							
鉄イオン	ppm																																							
モル比	Na/Cl+SO ₄																																							
クレビスピット	—																																							
シリカ	ppm																																							
ヒドロジン	ppm																																							
溶存酸素	ppm																																							
濁度	ppm																																							
全鉄	ppm																																							
全銅	ppm																																							
亜硫酸イオン	ppm																																							
残留塩素	ppm																																							
全有機炭素	ppm																																							
ETA	ppm																																							
アンモニア	ppm																																							
全放射能	Bq/cm ³																																							
有機物合計 (総揮散+総揮散+油)(mg/L)	ppm																																							

別紙 6

タイトル	環境疲労評価手法における環境効果補正係数の算出方法について
説 明	環境疲労評価手法における環境効果補正係数の算出方法（「係数倍法」、「簡易評価法」または「詳細評価法」のいずれによるか）を添付－1に示す。

以 上

表1 環境効果補正係数の算出方法 (1/3)

評価対象機器、部位		環境効果補正係数 の算出方法	
機種・機器名	部位		
ポンプ	余熱除去ポンプ	ケーシング	詳細評価
	1次冷却材ポンプ	ケーシング脚部	詳細評価
		ケーシング吐出ノズル	詳細評価
		ケーシング吸込ノズル	詳細評価
熱交換器	再生熱交換器	管板部	詳細評価
	余熱除去冷却器	管板部	詳細評価
	蒸気発生器	管板まわり	詳細評価 ^{※1}
		給水入口管台	詳細評価 ^{※1}
容器	原子炉容器	冷却材入口管台	詳細評価
		冷却材出口管台	詳細評価
		蓋用管台	詳細評価
		空気抜用管台	詳細評価
		炉内計装筒	詳細評価
		上部蓋および上部胴フランジ	—
		下部胴・下部鏡接続部	—
		炉心支持金物	詳細評価
	加圧器	スタッドボルト	—
		スプレイライン用管台	詳細評価
		サージ用管台	詳細評価
	機械ペネトレーション	余熱除去出口配管貫通部端板	—
		主蒸気管貫通部伸縮継手	—
		主給水管貫通部伸縮継手	—

表1 環境効果補正係数の算出方法 (2/3)

評価対象機器、部位		環境効果補正係数 の算出方法	
機種・機器名	部位		
配管	ステンレス鋼配管	余熱除去系統入口配管 「1次冷却材管高温側出口管台～余熱除去ポンプ入口第2隔離弁」	係数倍法
		余熱除去系統入口配管 「余熱除去ポンプ入口第2隔離弁～原子炉格納容器貫通部」	係数倍法
		加圧器サージ配管	詳細評価
		加圧器スプレイ配管	詳細評価
	炭素鋼配管	主給水系統配管 「原子炉格納容器貫通部～蒸気発生器給水管台」	係数倍法 ^{*2}
		ホットレグ	詳細評価
		クロスオーバレグ	詳細評価
		コールドレグ	詳細評価
弁	1次冷却材管	加圧器サージライン用管台	詳細評価
		蓄圧タンク注入ライン管台	詳細評価
		余熱除去系戻りおよび安全注入管台	詳細評価
		充てんライン用管台	詳細評価
		余熱除去ポンプCループ側入口 第1隔離弁弁箱	簡易評価
		抽出水止め弁弁箱	簡易評価
		蓄圧タンク出口第2逆止弁弁箱	簡易評価
	リフト逆止弁	加圧器補助スプレイ逆止弁弁箱	簡易評価

表1 環境効果補正係数の算出方法（3/3）

評価対象機器、部位		環境効果補正係数 の算出方法
機種・機器名	部位	
炉内構造物	上部炉心支持板	詳細評価
	上部炉心支持柱	詳細評価
	下部炉心支持板	詳細評価
	下部炉心支持柱	詳細評価
重機器サポート	加圧器スカート溶接部	—

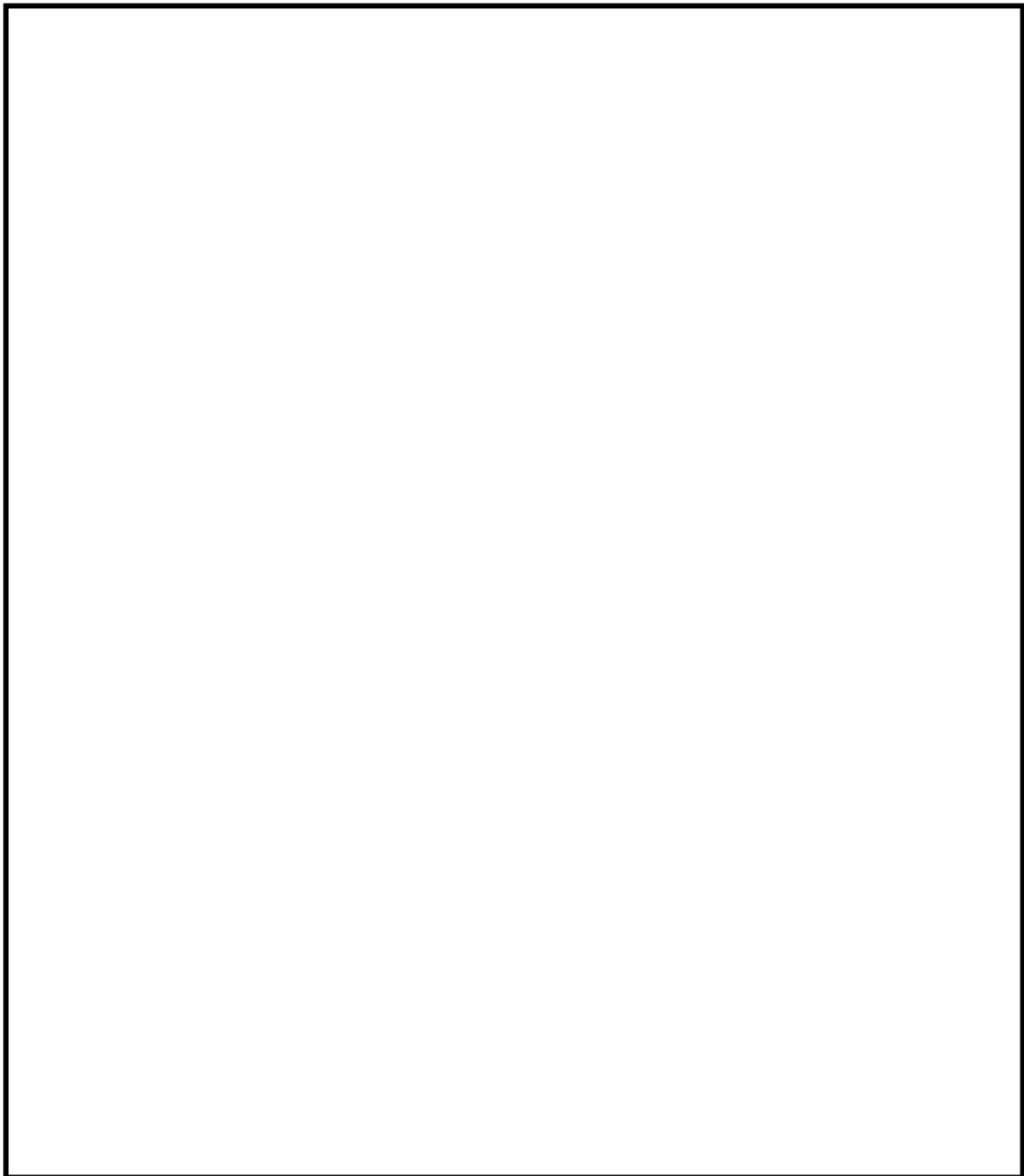
※1：環境中評価に用いた溶存酸素量は運転管理値である 0.005ppm、材料中の硫黄含有量は材料規格における最大値である 0.025%とした。

※2：環境中評価に用いた溶存酸素量は運転管理値である 0.005ppm、材料中の硫黄含有量は材料規格における最大値である 0.035%とした。

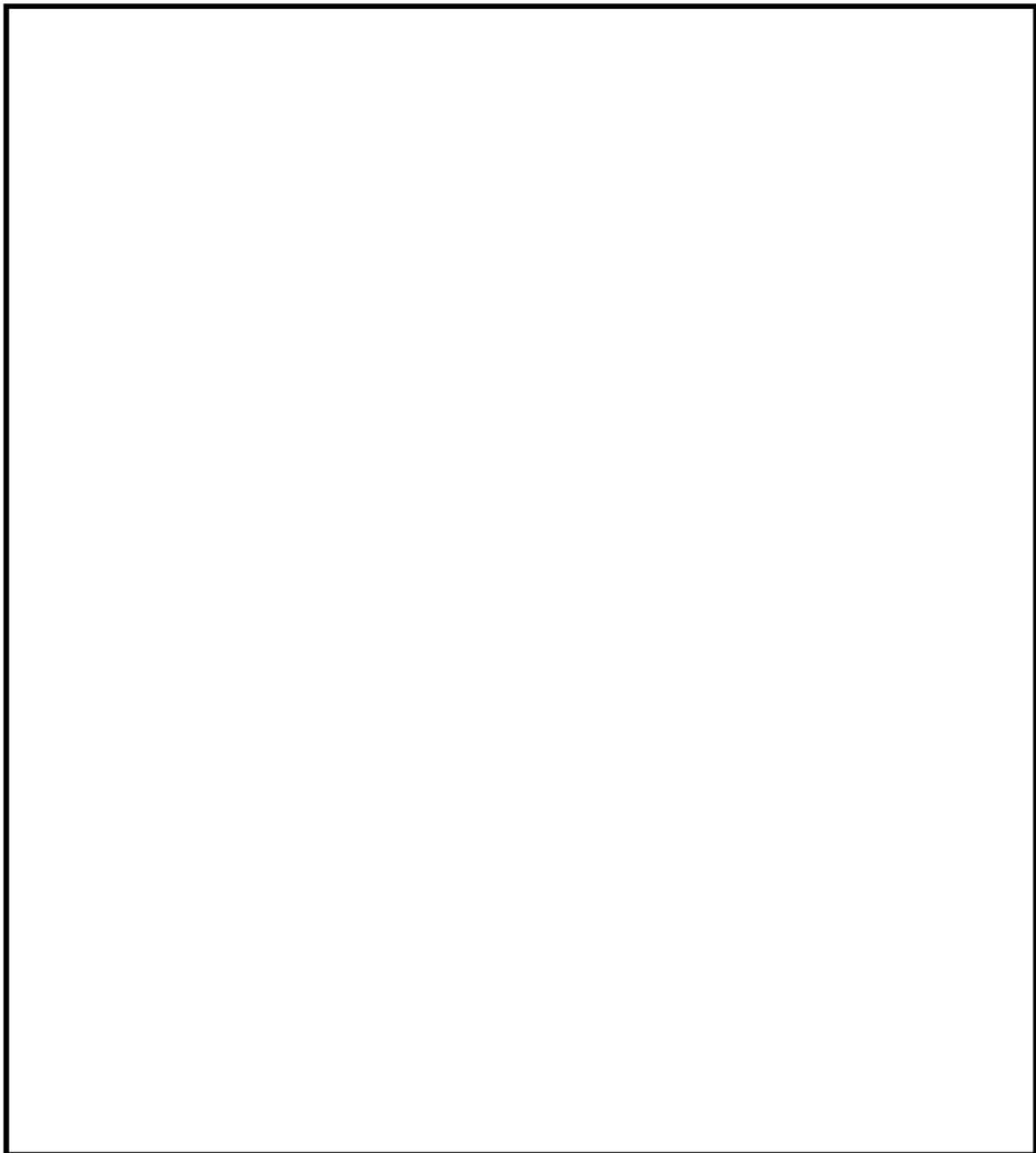
別紙 7

タイトル	代表機器以外の疲労累積係数の算出根拠について
説 明	<p>以下の各機器の評価についての算出根拠を次ページ以降に示す。 なお、次ページ以降における「通常疲労評価」は設計・建設規格による疲労評価を表す。</p> <p>① 1次冷却材ポンプケーシングの疲労累積係数の算出根拠 ····· 7-2 ② 蒸気発生器の疲労累積係数の算出根拠 ······ 7-20 ③ 蒸気発生器給水管台の熱成層を考慮した評価の算出根拠 ····· 7-30 ④ 加圧器管台（スプレイ、サージ）の疲労累積係数の算出根拠 ··· 7-40 ⑤ 機械ペネトレーションの疲労累積係数の算出根拠 ······ 7-51 ⑥ 加圧器スプレイ配管およびサージ配管の疲労累積係数の算出根拠 · 7-57 ⑦ 1次冷却材管の疲労累積係数の算出根拠 ······ 7-75 ⑧ 仕切弁の疲労累積係数の算出根拠 ······ 7-97 ⑨ スイング逆止弁の疲労累積係数の算出根拠 ······ 7-101 ⑩ 炉内構造物の疲労累積係数の算出根拠 ······ 7-105 ⑪ 加圧器スカート溶接部の疲労累積係数の算出根拠 ······ 7-119</p>

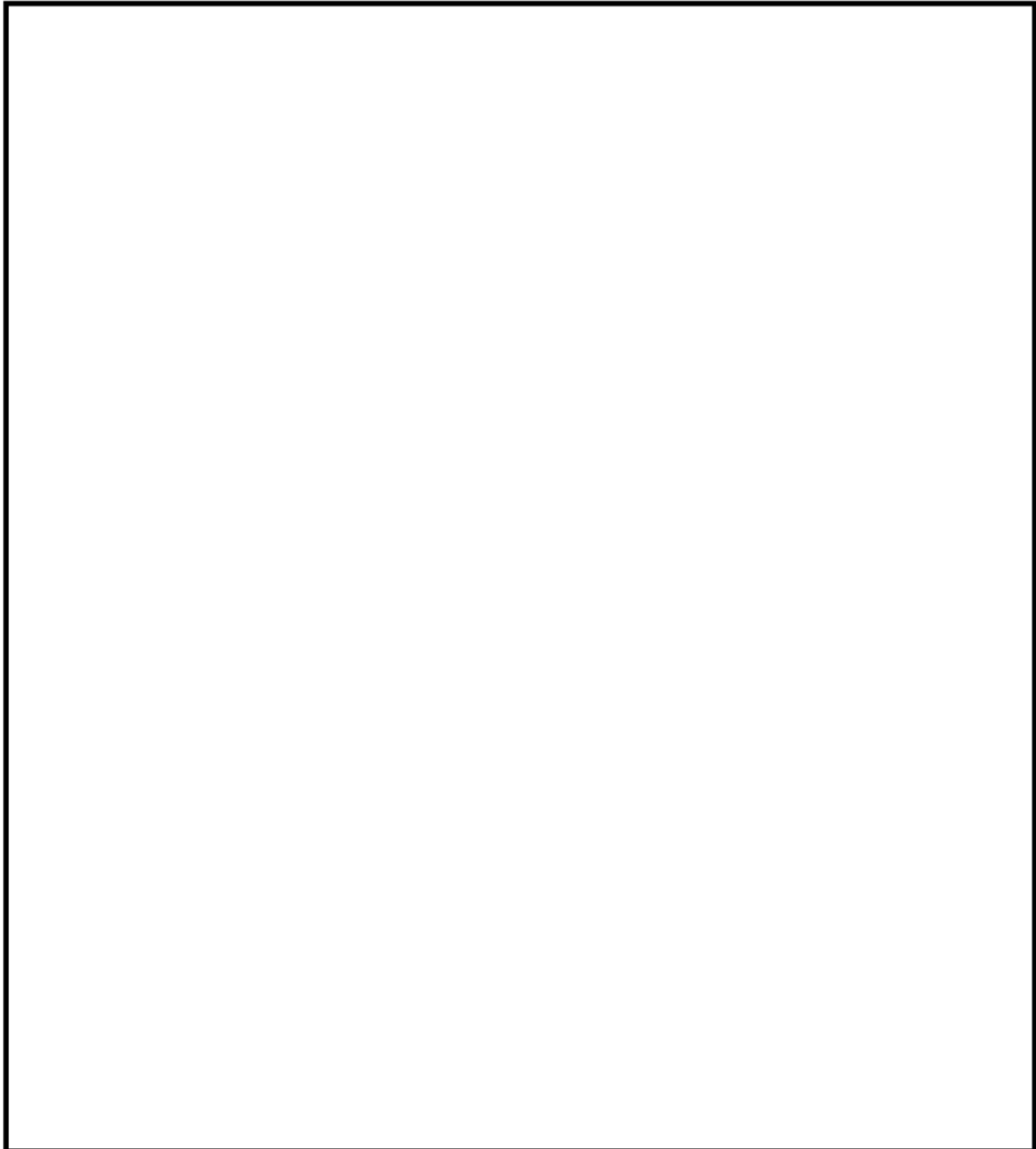
タイトル	1次冷却材ポンプケーシングの疲労累積係数の算出根拠について																						
説明	<p>1次冷却材ポンプケーシングの疲労累積係数の算出根拠を以下に示す。</p> <p>1. 解析モデル 疲労累積係数の算出に用いた解析情報を以下に示す。</p> <table border="1"> <tr> <td>解析プログラム</td> <td>ABAQUS Standard Ver. 6.8-1</td> </tr> <tr> <td>要素種類</td> <td></td> </tr> <tr> <td>要素次数</td> <td></td> </tr> <tr> <td>要素数</td> <td></td> </tr> <tr> <td>節点数</td> <td></td> </tr> </table> <p>2. 材料物性 材料物性値を以下に示す。</p> <table border="1"> <thead> <tr> <th rowspan="2">材料</th> <th colspan="2">設計応力強さ</th> </tr> <tr> <th>Sm (MPa)</th> <th>温度 (°C)</th> </tr> </thead> <tbody> <tr> <td>SA351 CF8 (SCS13A相当)</td> <td>117</td> <td>283.6</td> </tr> </tbody> </table> <p>3. 最大評価点の選定 解析モデル上の評価点は、各部位において全節点より応力が大きくなる部分を抽出しており、その中から疲労累積係数が最大となる点を選定している。 解析モデル上の評価点および最大評価点の選定結果を添付 1 に示す。</p> <p>4. 応力分類 評価における荷重の組み合わせを以下に示す。また、応力評価のフローを添付 2 に示す。</p> <table border="1"> <tr> <td>状態</td> <td>荷重の組み合わせ</td> </tr> <tr> <td>供用状態 A, B</td> <td>圧力+機械的荷重+自重+熱膨張荷重+熱過渡荷重</td> </tr> </table> <p>5. K_e係数 評価に用いたK_e係数を添付 3 に示す。</p> <p>6. 環境評価パラメータ 評価に用いた環境評価パラメータ（環境効果補正係数fen）を添付 3 に示す。</p>	解析プログラム	ABAQUS Standard Ver. 6.8-1	要素種類		要素次数		要素数		節点数		材料	設計応力強さ		Sm (MPa)	温度 (°C)	SA351 CF8 (SCS13A相当)	117	283.6	状態	荷重の組み合わせ	供用状態 A, B	圧力+機械的荷重+自重+熱膨張荷重+熱過渡荷重
解析プログラム	ABAQUS Standard Ver. 6.8-1																						
要素種類																							
要素次数																							
要素数																							
節点数																							
材料	設計応力強さ																						
	Sm (MPa)	温度 (°C)																					
SA351 CF8 (SCS13A相当)	117	283.6																					
状態	荷重の組み合わせ																						
供用状態 A, B	圧力+機械的荷重+自重+熱膨張荷重+熱過渡荷重																						



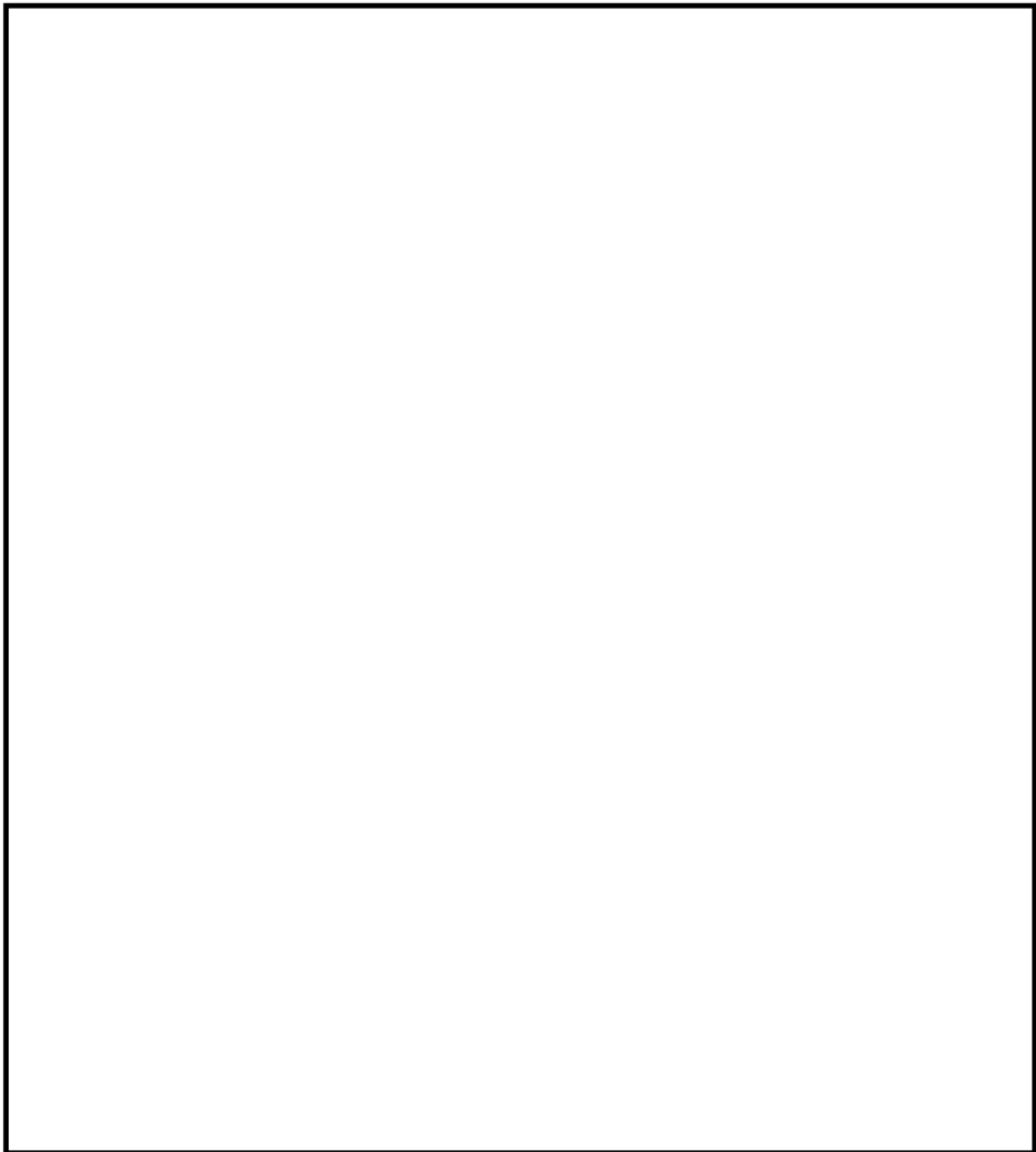
ケーシング吸込ノズル 評価点



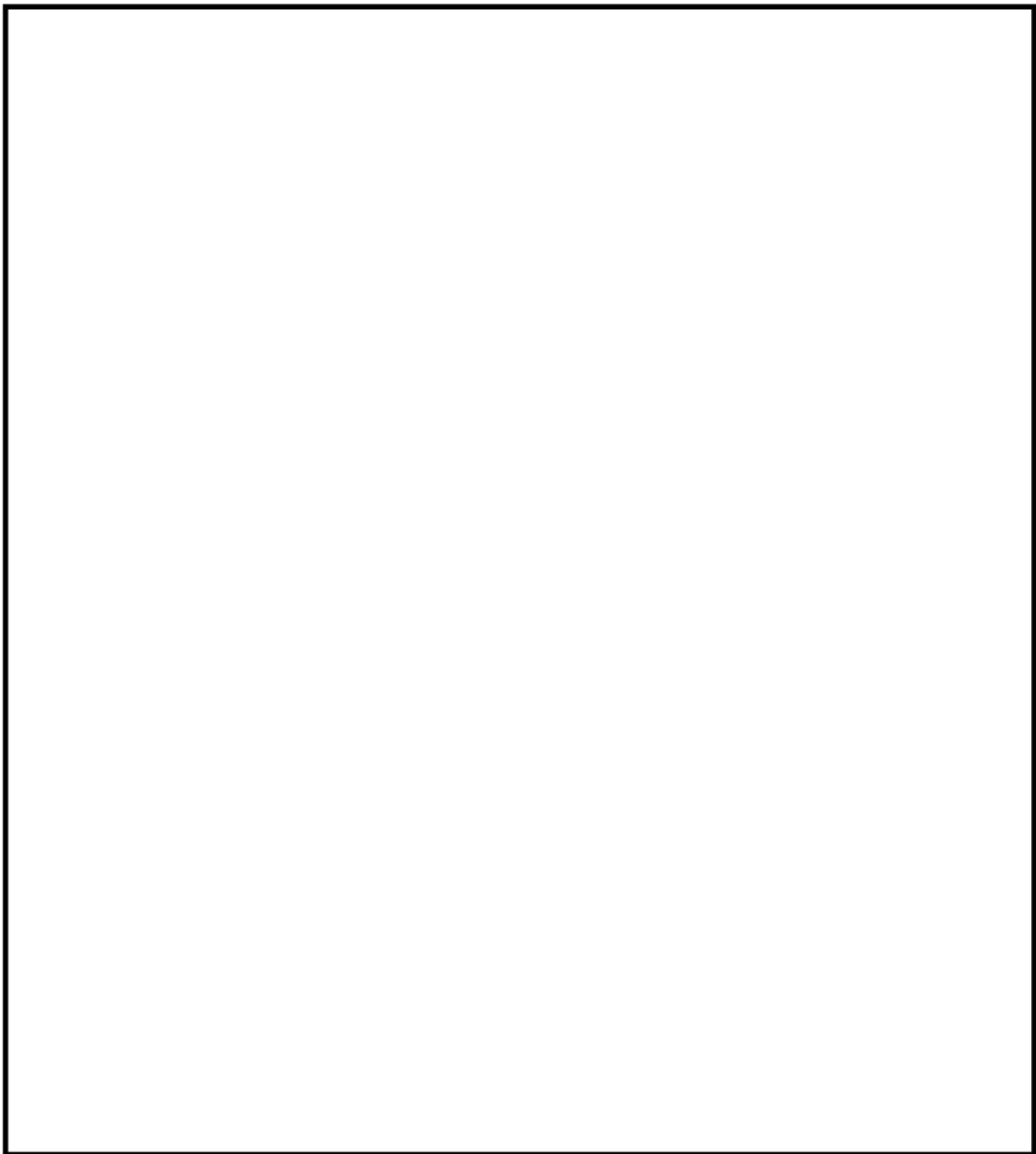
ケーシング吐出ノズル 評価点



ケーシング脚部 評価点 (1／3)



ケーシング脚部 評価点 (2 / 3)



ケーシング脚部 評価点 (3／3)

吸込ノズル 最大疲労評価点の選定

Location	Usage Factor		
	S1-S2	S2-S3	S3-S1
SU01I	0.0	0.00000	0.00000
SU010	0.0	0.00000	0.00000
SU02I	0.0	0.00000	0.00000
SU020	0.0	0.00000	0.00000
SU03I	0.0	0.00000	0.00001
SU030	0.0	0.0	0.00000
SU04I	0.0	0.00000	0.00000
SU040	0.0	0.0	0.00000
SU05I	0.0	0.00000	0.00000
SU050	0.0	0.00000	0.00000
SU06I	0.0	0.00000	0.00000
SU060	0.0	0.00000	0.00000
SU07I	0.0	0.00000	0.00000
SU070	0.0	0.0	0.0
SU08I	0.0	0.00001	0.00000
SU080	0.0	0.0	0.0
SU09I	0.0	0.00000	0.00000
SU090	0.0	0.0	0.0
SU10I	0.0	0.00001	0.00001
SU100	0.0	0.0	0.0
SU11I	0.0	0.00001	0.00001
SU110	0.0	0.0	0.0
SU12I	0.0	0.00000	0.00000
SU120	0.0	0.0	0.0

※ピーク応力強さが疲労限未満の場合は 0.0、疲労限以上の場合は小数第 5 位（小数第 6 位を四捨五入）まで記載する。

吸込ノズル疲労評価結果 (評価点 : SU10I)

評価点 - SU10I
(S23)

応力強さ			(単位 : N/mm ²)		繰返し回数		疲れ係数	
極大値	極小値	Ke	ALT	ALT'	N	N*	(=N/N*)	
309.0	-70.5	1.0	189.7	209.4	2	583000	0.00000	
216.6	-70.5	1.0	143.5	158.4	2	1940000	0.00000	
188.8	-70.5	1.0	129.6	143.1	2	2980000	0.00000	
182.9	-70.5	1.0	126.7	139.8	2	3290000	0.00000	
166.6	-70.5	1.0	118.5	130.8	3	4390000	0.00000	
140.8	-70.5	1.0	105.6	116.6	3	8300000	0.00000	
139.7	-70.5	1.0	105.1	116.0	2	8560000	0.00000	
109.4	-70.5	1.0	90.0	99.3	52	47800000	0.00000	
109.4	-69.2	1.0	89.3	98.5	11	58400000	0.00000	
108.3	-69.2	1.0	88.7	97.9	52	72700000	0.00000	
108.3	0.0	1.0	54.1	59.8	63		0.0	
疲れ累積係数 =								0.00001

Ke : 割増し係数

ALT : 繰返しピーク応力強さ

ALT' : ALT に(195000)/(材料の使用温度における綫弾性係数)を乗じて得た値

N : 設計繰返し回数

N* : 許容繰返し回数

→通常UF : 0.001

吐出ノズル 最大疲労評価点の選定

Location	Usage Factor		
	S1-S2	S2-S3	S3-S1
HA01I	0.0	0.00083	0.00131
HA010	0.03117	0.04405	0.0
HA02I	0.0	0.00083	0.00131
HA020	0.03117	0.04405	0.0
HA03I	0.00152	0.04158	0.00003
HA030	0.00086	0.00046	0.0
HA04I	0.00620	0.05647	0.00000
HA040	0.00033	0.00015	0.0
HA05I	0.00027	0.00003	0.00013
HA050	0.00000	0.00000	0.0
HA06I	0.0	0.00008	0.00000
HA060	0.00002	0.00303	0.00004
HA07I	0.00001	0.00001	0.00016
HA070	0.00745	0.0	0.04094
HA08I	0.00000	0.00017	0.00001
HA080	0.03691	0.0	0.09838
HA09I	0.0	0.00000	0.00000
HA090	0.0	0.00000	0.00000
HA10I	0.00032	0.00055	0.00000
HA100	0.0	0.00000	0.0
HA11I	0.0	0.00008	0.00000
HA110	0.00002	0.00294	0.00004
HA12I	0.00000	0.00017	0.00001
HA120	0.02889	0.0	0.08371

※ピーク応力強さが疲労限未満の場合は0.0、疲労限以上の場合は小数第5位（小数第6位を四捨五入）まで記載する。

吐出ノズル疲労評価結果 (評価点 : HA080)

評価点 - HA080

(S31)

応力強さ			(単位 : N/mm ²)		繰返し回数		疲れ係数	
極大値	極小値	Ke	ALT	ALT'	N	N*	(=N/N*)	
148.9	-641.0	1.93	763.2	842.2	68	918	0.07407	
80.6	-557.8	1.68	535.4	590.8	4	3180	0.00126	
80.6	-505.0	1.55	454.4	501.4	6	5960	0.00101	
80.6	-501.7	1.51	441.0	486.7	53	6730	0.00788	
-25.4	-478.2	1.93	437.5	482.8	68	6940	0.00980	
-14.8	-501.7	1.32	320.8	354.0	10	29600	0.00034	
-14.8	-458.7	1.36	302.8	334.2	6	39500	0.00015	
-14.8	-486.3	1.28	302.3	333.6	4	39900	0.00010	
-14.8	-487.8	1.27	300.1	331.2	42	41400	0.00101	
0.0	-487.8	1.21	294.1	324.5	33	45800	0.00072	
0.0	-484.1	1.20	290.3	320.4	30	48900	0.00061	
-25.0	-484.1	1.17	268.8	296.6	33	74400	0.00044	
-25.0	-481.5	1.17	266.6	294.2	30	77800	0.00039	
-44.9	-481.5	1.16	252.3	278.4	63	105000	0.00060	
-281.8	-481.5	1.07	107.2	118.3	2	7620000	0.00000	
-314.8	-481.5	1.07	89.5	98.8	2	54200000	0.00000	
-392.8	-481.5	1.07	47.6	52.5	3	0.0		
疲れ累積係数 = 0.09838								

Ke : 割増し係数

ALT : 繰返しピーク応力強さ

ALT' : ALT に(195000) / (材料の使用温度における純弾性係数) を乗じて得た値

N : 設計繰返し回数

N* : 許容繰返し回数

→通常 UF : 0.099

ケーシング脚部 最大疲労評価点の選定 (1 / 3)

Location	Usage Factor		
	S1-S2	S2-S3	S3-S1
A101I	0.0	0.00089	0.00114
A1010	0.00034	0.00114	0.0
A102I	0.0	0.00121	0.00121
A1020	0.00109	0.00282	0.0
A103I	0.00008	0.02369	0.00022
A1030	0.00018	0.00187	0.0
A104I	0.00010	0.02446	0.00017
A1040	0.00027	0.00268	0.0
A105I	0.00000	0.00019	0.00084
A1050	0.00026	0.00004	0.00155
A106I	0.00000	0.00015	0.00124
A1060	0.00012	0.00001	0.01817
A107I	0.00000	0.00013	0.00105
A1070	0.00005	0.00001	0.00875
A108I	0.0	0.00121	0.00121
A1080	0.00109	0.00282	0.0
A109I	0.00008	0.02369	0.00022
A1090	0.00018	0.00187	0.0
A110I	0.00010	0.02446	0.00017
A1100	0.00027	0.00268	0.0
A111I	0.00000	0.00015	0.00124
A1110	0.00012	0.00001	0.01817
A112I	0.00000	0.00019	0.00084
A1120	0.00025	0.00004	0.00155

※ピーク応力強さが疲労限未満の場合は0.0、疲労限以上の場合は小数第5位（小数第6位を四捨五入）まで記載する。

ケーシング脚部 最大疲労評価点の選定 (2/3)

Location	Usage Factor		
	S1-S2	S2-S3	S3-S1
A201I	0.00152	0.04134	0.00003
A2010	0.00083	0.00047	0.0
A202I	0.00620	0.05650	0.00000
A2020	0.00029	0.00017	0.0
A203I	0.0	0.00083	0.00130
A2030	0.03131	0.04405	0.0
A204I	0.0	0.00093	0.00121
A2040	0.02734	0.03895	0.0
A205I	0.0	0.00008	0.00001
A2050	0.00002	0.00344	0.00003
A206I	0.0	0.00008	0.00000
A2060	0.00002	0.00293	0.00004
A207I	0.00001	0.00002	0.00000
A2070	0.0	0.00000	0.00001
A208I	0.00000	0.00017	0.00001
A2080	0.02893	0.0	0.08381
A209I	0.0	0.00135	0.00116
A2090	0.00114	0.00271	0.0
A210I	0.00008	0.02409	0.00021
A2100	0.00022	0.00210	0.0
A211I	0.00007	0.03318	0.00018
A2110	0.00007	0.00223	0.0
A212I	0.0	0.00015	0.00124
A2120	0.00103	0.00000	0.04196

※ピーク応力強さが疲労限未満の場合は0.0、疲労限以上の場合は小数第5位（小数第6位を四捨五入）まで記載する。

ケーシング脚部 最大疲労評価点の選定 (3/3)

Location	Usage Factor		
	S1-S2	S2-S3	S3-S1
A301I	0.00152	0.04134	0.00003
A3010	0.00083	0.00048	0.0
A302I	0.00620	0.05650	0.00000
A3020	0.00029	0.00017	0.0
A303I	0.0	0.00083	0.00130
A3030	0.03131	0.04379	0.0
A304I	0.0	0.00093	0.00121
A3040	0.02723	0.03893	0.0
A305I	0.0	0.00008	0.00001
A3050	0.00002	0.00340	0.00003
A306I	0.0	0.00008	0.00000
A3060	0.00002	0.00298	0.00004
A307I	0.00001	0.00003	0.00000
A3070	0.0	0.00000	0.00001
A308I	0.00000	0.00018	0.00001
A3080	0.03799	0.0	0.10022
A309I	0.0	0.00135	0.00116
A3090	0.00113	0.00270	0.0
A310I	0.00008	0.02401	0.00021
A3100	0.00022	0.00210	0.0
A311I	0.00007	0.03318	0.00018
A3110	0.00007	0.00223	0.0
A312I	0.0	0.00015	0.00124
A3120	0.00103	0.00000	0.04218

※ピーク応力強さが疲労限未満の場合は0.0、疲労限以上の場合は小数第5位（小数第6位を四捨五入）まで記載する。

脚部 疲労評価結果 (評価点 : A3080)

評価点 - A3080
(S31)

応力強さ			(単位 : N/mm ²)			繰返し回数		疲れ係数	
極大値	極小値	Ke	ALT	ALT'	N	N*	(=N/N*)		
141.7	-649.4	1.94	765.7	845.0	68	909	0.07481		
74.2	-566.4	1.69	540.4	596.4	4	3070	0.00130		
74.2	-513.7	1.56	459.7	507.4	6	5690	0.00105		
74.2	-510.3	1.53	446.3	492.6	53	6410	0.00827		
-34.4	-486.9	1.94	438.0	483.3	68	6910	0.00984		
-21.1	-510.3	1.35	330.3	364.5	10	25600	0.00039		
-21.1	-495.0	1.32	312.0	344.3	4	34100	0.00012		
-21.1	-467.4	1.40	311.4	343.7	6	34400	0.00017		
-21.1	-496.4	1.30	309.9	342.0	42	35200	0.00119		
0.0	-496.4	1.22	302.5	333.9	33	39700	0.00083		
0.0	-492.8	1.21	298.7	329.7	30	42300	0.00071		
-34.0	-492.8	1.17	269.2	297.1	33	73700	0.00045		
-34.0	-490.2	1.17	267.0	294.6	30	77200	0.00039		
-53.8	-490.2	1.19	259.1	286.0	63	90800	0.00069		
-291.0	-490.2	1.11	110.5	121.9	2	6360000	0.00000		
-332.4	-490.2	1.11	87.5	96.6	2	279000000	0.00000		
-401.7	-490.2	1.11	49.1	54.2	3	0.0			
疲れ累積係数 = 0.10022									

Ke : 割増し係数

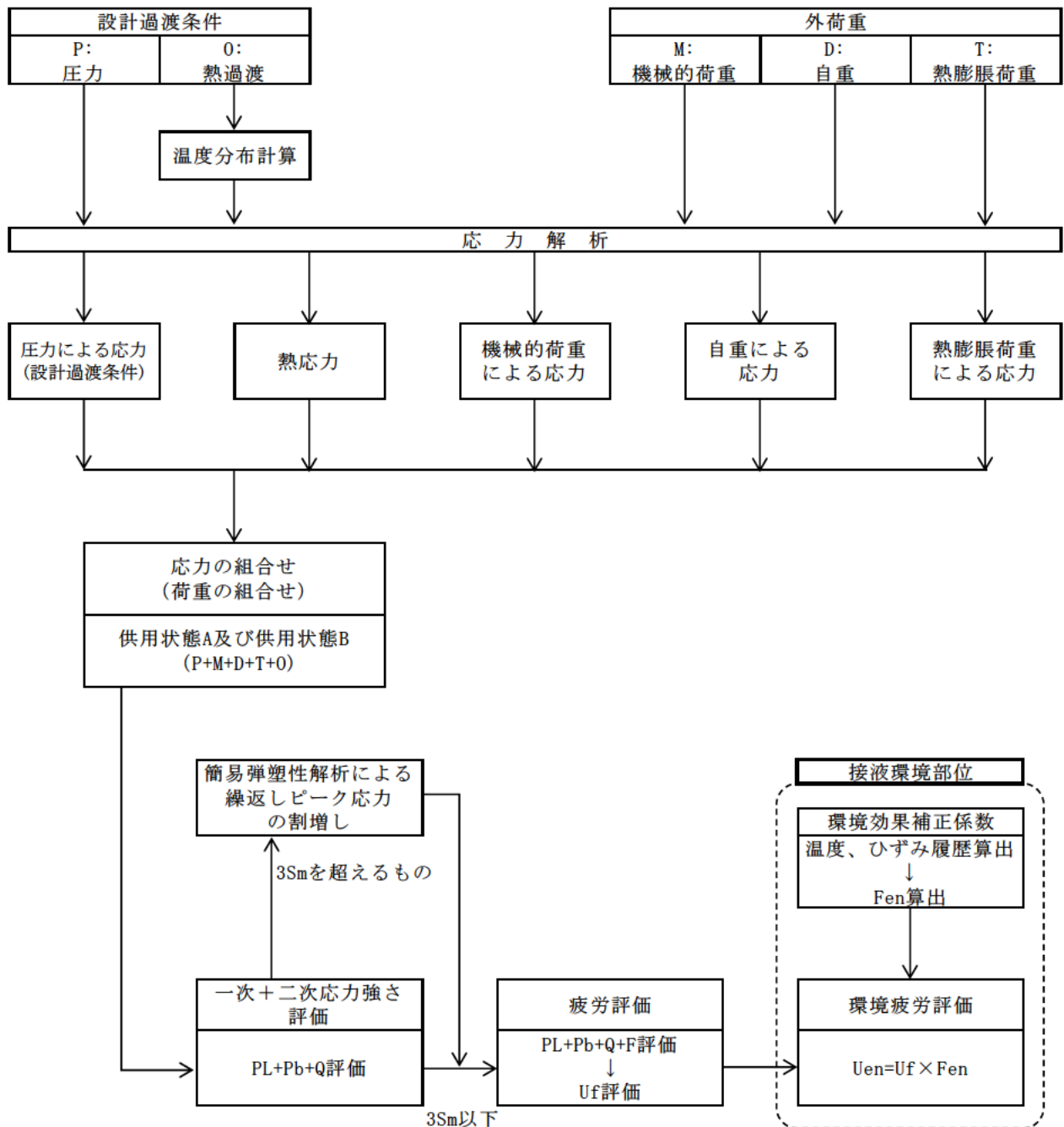
ALT : 繰返しビーグ応力強さ

ALT' : ALT に(195000)/(材料の使用温度における絶弾性係数)を乗じて得た値

N : 設計繰返し回数

N* : 許容繰返し回数

→通常UF : 0.101



応力評価フロー

Ke係数と環境疲労パラメータ（吸込ノズル 評価点SU10I）（詳細評価手法）

過渡条件 記号	一次+二次+ ピーク応力強さ	割り増し 係数	繰返しピーク 応力強さ	実過渡 回数	許容繰返し 回数	疲労累積係数 u	環境効果 補正係数 fen	環境効果を考慮した 疲労累積係数 uen
			補正前 補正後 salt salt'	n	n*			
A B	smax smin	KE	salt salt'	n	n*	u	fen	uen
2D3 1A1	309.0 -70.5	1.00	189.7 209.4	2	583000	0.00000	1.000	0.00000
2G1 1A1	216.6 -70.5	1.00	143.5 158.4	2	1940000	0.00000	1.000	0.00000
2D2 1A1	188.8 -70.5	1.00	129.6 143.1	2	2980000	0.00000	1.000	0.00000
2E1 1A1	182.9 -70.5	1.00	126.7 139.8	2	3290000	0.00000	1.000	0.00000
2J1 1A1	166.6 -70.5	1.00	118.5 130.8	3	4390000	0.00000	1.000	0.00000
2F1 1A1	140.8 -70.5	1.00	105.6 116.6	3	8300000	0.00000	1.000	0.00000
2H1 1A1	139.7 -70.5	1.00	105.1 116.0	2	8560000	0.00000	1.000	0.00000
1K1 1A1	109.4 -70.5	1.00	90.0 99.3	52	47800000	0.00000	1.000	0.00000
1K1 2I1	109.4 -69.2	1.00	89.3 98.5	11	58400000	0.00000	1.000	0.00000
1C1 2I1	108.3 -69.2	1.00	88.7 97.9	52	72700000	0.00000	1.000	0.00000
1C1 NSS	108.3 0.0	1.00	54.1 59.8	63	-----	0.00000	1.000	0.00000
								合計 : 0.00001

(注) ひずみ振幅≤0.110% (salt' ≤214.5) の場合、fen=1.0

→環境UF : 0.001

Ke係数と環境疲労パラメータ（吐出ノズル 評価点HA04I）（詳細評価手法）

過渡条件 記号	一次+二次+ ピーク応力強さ		割り増し 係数 KE	繰返しピーク 応力強さ	実過渡 回数	許容繰返し 回数	疲労累積係数 u	環境効果 補正係数 fen	環境効果を考慮した 疲労累積係数 uen			
	A	B		smax	smin	salt	salt'	n	n*			
I B1	I A1	356.1	-368.6	1.84	666.7	735.8		68	1440	0.04722	14.651	0.69186
I 2I2	I 2I1	262.9	-317.1	1.52	439.4	484.9		63	6820	0.00924	7.607	0.07027
I 2D3	I 2B1	215.1	-162.4	1.00	188.7	208.3		2	605000	0.00000	1.000	0.00000
I 2G1	I 2B1	108.7	-162.4	1.00	135.5	149.6		2	2460000	0.00000	1.000	0.00000
I I1	I 2A1	101.0	-150.6	1.00	125.8	138.9		6	3400000	0.00000	1.000	0.00000
I I1	I 2E1	101.0	-122.0	1.00	111.5	123.0		2	6030000	0.00000	1.000	0.00000
I I1	I G1	101.0	-92.8	1.00	96.9	106.9		4	16800000	0.00000	1.000	0.00000
I A1	I B1	46.1	-59.2	1.84	96.9	106.9		68	16800000	0.00000	1.000	0.00000
I I1	I D2	101.0	-84.1	1.00	92.5	102.1		2	30700000	0.00000	1.000	0.00000
I I1	I D3	101.0	-83.2	1.00	92.1	101.7		2	33000000	0.00000	1.000	0.00000
I I1	I D1	101.0	-82.7	1.00	91.8	101.3		5	34700000	0.00000	1.000	0.00000
I I1	I C1	101.0	-80.6	1.00	90.8	100.2		2	41300000	0.00000	1.000	0.00000
I I1	I J1	101.0	-78.9	1.00	90.0	99.3		39	47700000	0.00000	1.000	0.00000
I 2I1	I 2I2	34.6	-71.4	1.52	80.3	88.6		63	-----	0.00000	1.000	0.00000
									合計：	0.76213		

(注) ひずみ振幅≤0.110% (salt' ≤214.5) の場合、fen=1.0

→環境UF：0.763

Ke係数と環境疲労パラメータ（脚部 評価点A202I）（詳細評価手法）

過渡条件 記号	一次+二次+ ピーク応力強さ		割り増し 係数 KE	繰返しピーク 応力強さ		実過渡 回数	許容繰返し 回数	疲労累積係数 u	環境効果 補正係数 fen	環境効果を考慮した 疲労累積係数 uen	
	A	B		smax	smin						
1B1	1A1	352.4	-372.2	1.84	666.9	736.0	68	1440	0.04722	14.649	0.69177
2I2	2I1	259.2	-320.8	1.52	439.7	485.3	63	6800	0.00926	7.606	0.07047
2D3	2B1	211.4	-166.0	1.00	188.7	208.3	2	605000	0.00000	1.000	0.00000
2G1	2B1	105.0	-166.0	1.00	135.5	149.5	2	2470000	0.00000	1.000	0.00000
1I1	2A1	97.4	-154.3	1.00	125.8	138.9	6	3400000	0.00000	1.000	0.00000
1I1	2E1	97.4	-125.6	1.00	111.5	123.0	2	6030000	0.00000	1.000	0.00000
1I1	1G1	97.4	-96.4	1.00	96.9	106.9	4	16800000	0.00000	1.000	0.00000
1A1	1B1	42.4	-62.8	1.84	96.8	106.8	68	17000000	0.00000	1.000	0.00000
1I1	2D2	97.4	-87.7	1.00	92.5	102.1	2	30800000	0.00000	1.000	0.00000
1I1	2D3	97.4	-86.9	1.00	92.1	101.6	2	33100000	0.00000	1.000	0.00000
1I1	2D1	97.4	-86.3	1.00	91.8	101.3	5	34700000	0.00000	1.000	0.00000
1I1	2C1	97.4	-84.2	1.00	90.8	100.2	2	41400000	0.00000	1.000	0.00000
1I1	1J1	97.4	-82.6	1.00	90.0	99.3	39	47800000	0.00000	1.000	0.00000
2I1	2I2	31.0	-75.0	1.52	80.3	88.7	63	-----	0.00000	1.000	0.00000
										合計： 0.76225	

(注) ひずみ振幅≤0.110% (salt' ≤214.5) の場合、fen=1.0

→環境UF : 0.763

タイトル	蒸気発生器本体管板および給水入口管台の疲労累積係数の算出根拠について																								
説明	<p>蒸気発生器本体管板および給水入口管台の疲労累積係数の算出根拠は以下の通りである。</p> <p>1. 解析モデル 疲労累積係数の算出に用いた解析情報を以下に示す。</p> <table border="1"> <thead> <tr> <th>解析プログラム</th> <th>ABAQUS Ver. 6.3</th> </tr> </thead> <tbody> <tr> <td>要素種類</td> <td></td></tr> <tr> <td>要素次数</td> <td></td></tr> <tr> <td>節点数</td> <td></td></tr> <tr> <td>要素数</td> <td></td></tr> </tbody> </table> <p>2. 材料物性値 材料物性値を以下に示す。</p> <table border="1"> <thead> <tr> <th rowspan="2">使用箇所</th> <th rowspan="2">材料</th> <th colspan="2">設計応力強さ</th> </tr> <tr> <th>S m (MPa)</th> <th>温度 (°C)</th> </tr> </thead> <tbody> <tr> <td>給水入口管台</td> <td>SA508 Class2 (SFVV2相当)</td> <td>184</td> <td>269. 3</td> </tr> <tr> <td>管板および管板まわり</td> <td>SA508 Class3 (SFVV3相当)</td> <td>184</td> <td>321. 1</td> </tr> </tbody> </table> <p>3. 最大評価点の選定 解析モデル上の評価点は、構造不連続部等において応力が大きくなる評価断面を抽出しており、その中から疲労累積係数が最大となる点を選定している。 管板および管板まわりについては、設計・建設規格による評価において疲労累積係数が最大となる評価点が、ニッケル基合金の内張りにより接液しないため、内張りを施していない接液部で疲労累積係数が最大となる評価点の疲労累積係数を用いて環境疲労評価を実施している。 また、給水入口管台については、熱成層による影響を考慮して最大となる環境疲労評価を示している。 解析モデル上の評価結果および最大評価点の選定結果を添付 1 に示す。</p>	解析プログラム	ABAQUS Ver. 6.3	要素種類		要素次数		節点数		要素数		使用箇所	材料	設計応力強さ		S m (MPa)	温度 (°C)	給水入口管台	SA508 Class2 (SFVV2相当)	184	269. 3	管板および管板まわり	SA508 Class3 (SFVV3相当)	184	321. 1
解析プログラム	ABAQUS Ver. 6.3																								
要素種類																									
要素次数																									
節点数																									
要素数																									
使用箇所	材料	設計応力強さ																							
		S m (MPa)	温度 (°C)																						
給水入口管台	SA508 Class2 (SFVV2相当)	184	269. 3																						
管板および管板まわり	SA508 Class3 (SFVV3相当)	184	321. 1																						

4. 応力分類

評価における荷重の組み合わせを以下に示す。また、応力評価のフローを添付 2 に示す。

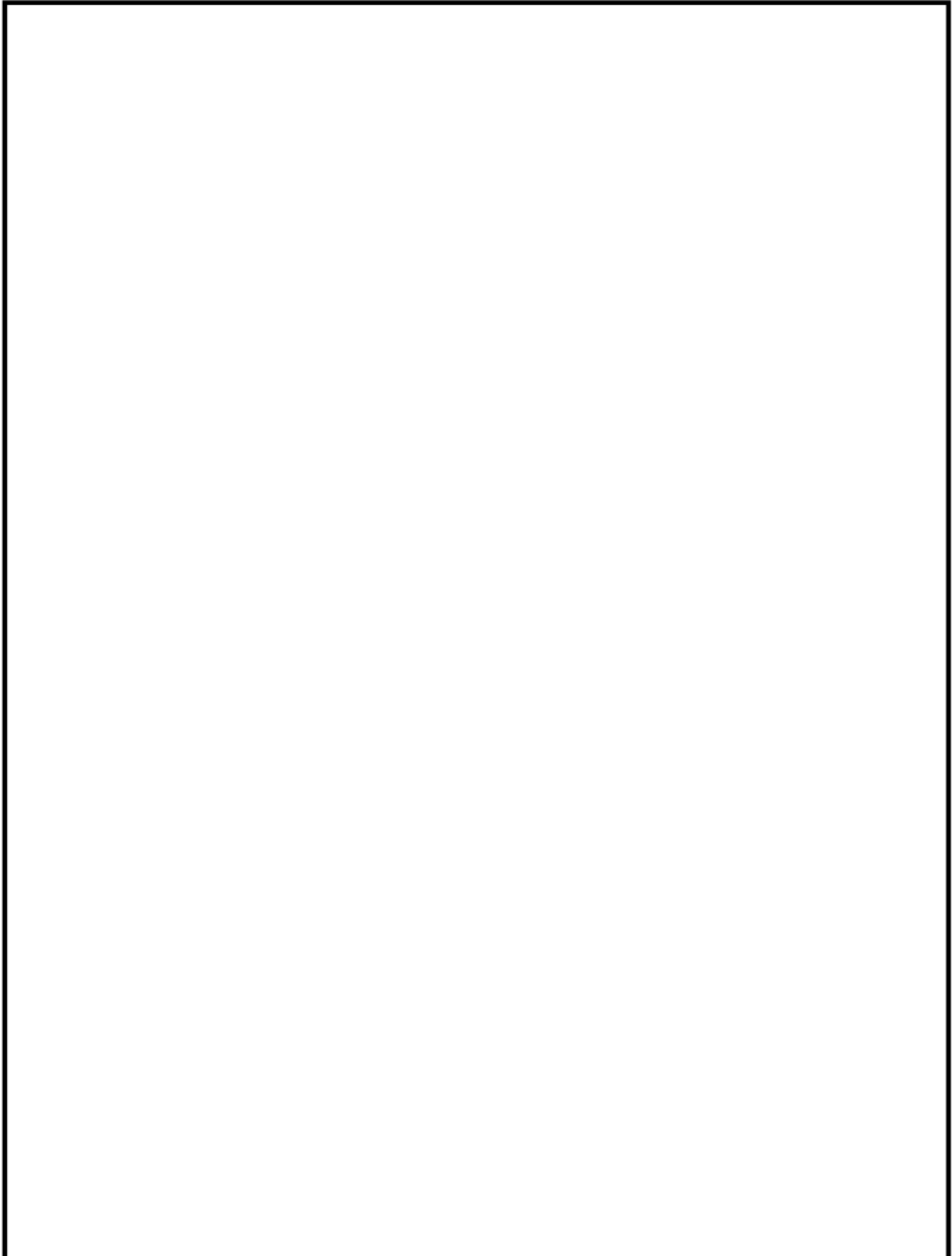
状態	荷重の組み合わせ
供用状態 A, B	圧力 + 自重 + 熱膨張荷重 + 熱過渡

5. K_e 係数および環境パラメータ

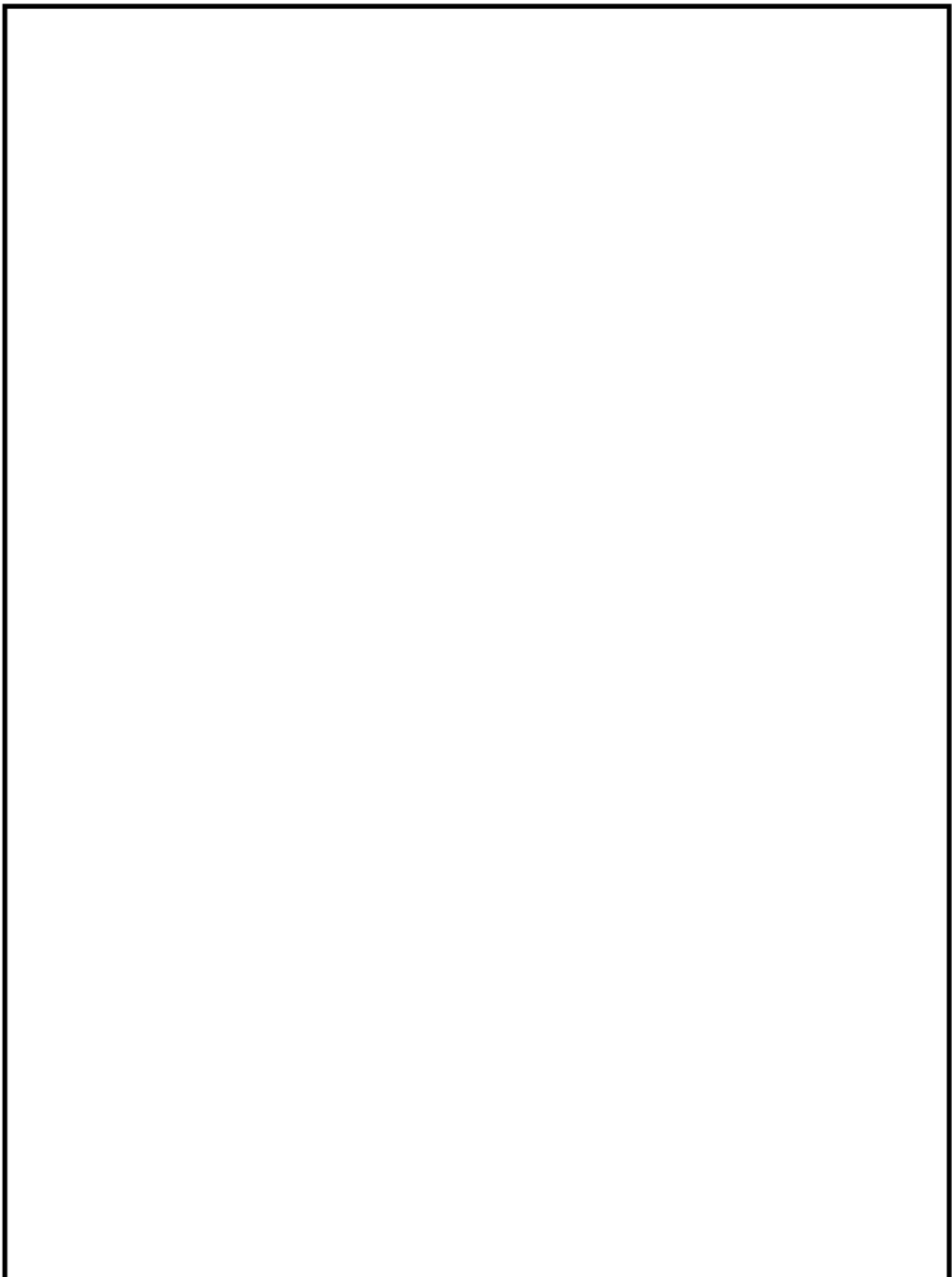
評価に用いた K_e 係数および環境評価パラメータ（環境効果補正係数 f_{en} ）を添付 3 に示す。

なお、評価に用いた溶存酸素濃度は、主給水の管理基準より 0.005ppm とした。

評価に用いた材料中の硫黄含有量は、材料規格における最大値である 0.025% とした。



蒸気発生器本体 管板および管板まわり 評価点



蒸気発生器本体 給水入口管台 評価点

蒸気発生器本体 最大疲労評価点の選定 (1 / 2)
管板および管板まわり

評価点	U(S12)	U(S23)	U(S31)
1	0.04623	0.00004	0.04260
2	0.0	0.00220	0.00051
3	0.06873	0.00027	0.13818
4	0.0	0.00032	0.00071
P1 SIDE R/R* = 0.0		0.02181	
P1 SIDE R/R* = 1.0		0.10066	
P2 SIDE R/R* = 0.0		0.04356	
P2 SIDE R/R* = 1.0		0.04214	

許容値 Uf=1.0

→通常Uf : 0.139

蒸気発生器本体 最大疲労評価点の選定 (2 / 2)
給水入口管台

評価点	U(S12)	U(S23)	U(S31)
1	0.00011	0.00116	0.00310
2	0.0	0.00016	0.00092
3	0.00010	0.00125	0.01035
4	0.0	0.00023	0.00107
5	0.00033	0.02684	0.00127
6	0.0	0.00002	0.00001
7	0.01073	0.04429	0.00010
8	0.00024	0.0	0.00010
9L	0.10333	0.15143	0.0
10L	0.0	0.00220	0.00106
9C	0.01056	0.01533	0.00306
10C	0.00010	0.02948	0.01428
11L	0.15710	0.09776	0.0
12L	0.0	0.00221	0.00106
11C	0.01262	0.01126	0.00187
12C	0.0	0.02953	0.01441
13L	0.07377	0.03877	0.00001
14L	0.00001	0.00228	0.00269
13C	0.00235	0.0	0.00159
14C	0.00003	0.03093	0.02180

許容値 Uf=1.0

→通常Uf : 0.158

疲労累積係数(最大)
(ただし、非接液)疲労累積係数(最大)
(接液する評価点)

蒸気発生器本体 疲労評価結果 管板および管板まわり (評価点: 3)

応力強さ (単位 : MPa)				繰返し回数		疲労係数 (=N/N*)	
極大値	極小値	Ke	ALT	ALT'	N	N*	
151.5	-984.7	1.0	568.1	679.7	2	601	0.00333
151.5	-889.7	1.0	520.6	622.9	2	778	0.00257
151.5	-673.8	1.0	412.6	493.7	2	1480	0.00135
151.5	-668.1	1.0	409.8	490.3	2	1500	0.00138
151.5	-629.6	1.0	390.5	467.3	55	1710	0.03216
61.2	-629.6	1.0	345.4	413.3	8	2460	0.00325
61.2	-612.8	1.0	337.0	403.2	3	2660	0.00113
61.2	-587.3	1.0	324.2	388.0	2	3010	0.00066
61.2	-577.8	1.0	319.5	382.3	5	3150	0.00159
61.2	-562.9	1.0	312.0	373.4	3	3400	0.00088
61.2	-555.9	1.0	308.5	369.2	2	3520	0.00057
61.2	-548.1	1.0	304.6	364.5	45	3670	0.01226
57.1	-548.1	1.0	302.6	362.0	63	3750	0.01680
4.3	-548.1	1.0	276.2	330.4	62	5020	0.01235
0.0	-548.1	1.0	274.0	327.9	194	5140	0.03774
-221.1	-548.1	1.0	163.5	195.6	2	26300	0.00008
-274.6	-548.1	1.0	136.7	163.6	424	45700	0.00928
-274.6	-547.6	1.0	136.5	163.3	4	46000	0.00009
-274.6	-503.3	1.0	114.3	136.8	2	103000	0.00002
-274.6	-463.1	1.0	94.2	112.7	6	210000	0.00003
-274.6	-457.5	1.0	91.5	109.4	4	240000	0.00002
-274.6	-451.6	1.0	88.5	105.9	63	278000	0.00023
-274.6	-434.5	1.0	79.9	95.7	2	440000	0.00000
-274.6	-427.0	1.0	76.2	91.1	68	598000	0.00011
-274.6	-427.0	1.0	76.2	91.1	68	598000	0.00011
-274.6	-425.3	1.0	75.3	90.1	6	660000	0.00001
-274.6	-424.6	1.0	75.0	89.7	154	687000	0.00022
-300.9	-424.6	1.0	61.9	74.0	2	—	0.0
						疲労累積係数 = 0.13818	

Ke : 割増し係数

ALT : 繰返しピーク応力強さ

ALT' : ALTに(207000)/(材料の使用温度における綫弾性係数)を乗じて得た値

N : 設計繰返し回数

N* : 許容繰返し回数

→通常UF : 0.139

蒸気発生器本体 疲労評価結果 給水入口管台 (評価点: 11L)

応力強さ (単位 : MPa)				繰返し回数		疲労係数	
極大値	極小値	Ke	ALT	ALT'	N	N*	(=N/N*)
18.4	-835.9	1.0	452.1	528.7	4	1230	0.00325
18.4	-832.1	1.0	425.3	497.3	64	1450	0.04414
17.4	-832.1	1.0	424.8	496.7	10	1450	0.00690
17.4	-756.3	1.0	386.8	452.4	58	1860	0.03118
0.0	-756.3	1.0	378.2	442.3	5	1980	0.00253
0.0	-750.7	1.0	375.4	439.0	75	2020	0.03713
0.0	-735.5	1.0	367.7	430.1	4	2160	0.00185
0.0	-721.5	1.0	360.8	421.9	2	2300	0.00087
0.0	-720.1	1.0	360.1	421.1	45	2310	0.01948
-300.7	-720.1	1.0	209.7	245.3	3	12400	0.00024
-387.7	-720.1	1.0	166.2	194.4	3	26900	0.00011
-388.4	-720.1	1.0	165.8	194.0	2	27000	0.00007
-396.5	-720.1	1.0	161.8	189.2	2	29200	0.00007
-467.4	-720.1	1.0	126.3	147.7	2	71600	0.00003
-467.7	-720.1	1.0	126.2	147.6	6	71900	0.00008
-469.3	-720.1	1.0	125.4	146.6	0	74300	0.00000
-477.8	-720.1	1.0	121.1	141.7	2	87900	0.00002
-478.5	-720.1	1.0	120.8	141.3	2	89100	0.00002
-479.7	-720.1	1.0	120.2	140.6	723	91300	0.00792
-479.7	-714.8	1.0	117.6	137.5	78	101000	0.00077
-480.9	-714.8	1.0	117.0	136.8	5	103000	0.00005
-480.9	-714.8	1.0	117.0	136.8	0	103000	0.00000
-493.0	-714.8	1.0	110.9	129.8	0	125000	0.00000
-496.2	-714.8	1.0	109.3	127.9	6	131000	0.00005
-514.2	-714.8	1.0	100.3	117.4	6	180000	0.00003
-530.3	-714.8	1.0	92.3	107.9	3	256000	0.00001
-553.3	-714.8	1.0	80.8	94.4	68	466000	0.00015
-553.3	-714.8	1.0	80.8	94.4	68	466000	0.00015
-558.0	-714.8	1.0	78.4	91.7	2	564000	0.00000
-575.2	-714.8	1.0	69.8	81.7	63		0.0
				疲労累積係数 =		0.15710	

Ke : 割増し係数

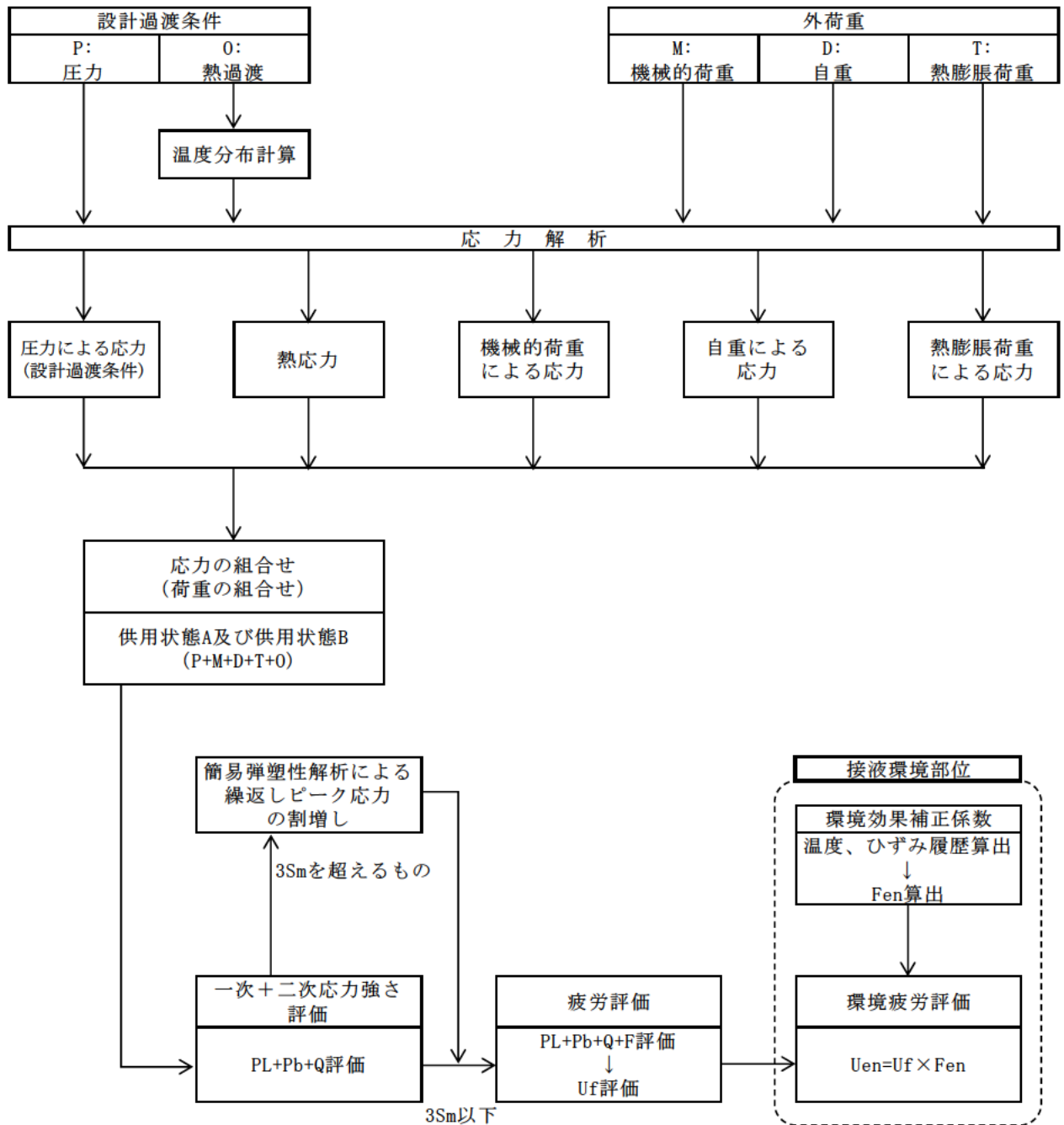
ALT : 繰返しピーク応力強さ

ALT' : ALTに(207000)/(材料の使用温度における綫弾性係数)を乗じて得た値

N : 設計繰返し回数

N* : 許容繰返し回数

→通常UF : 0.158



備考：機械的荷重は作用しない。

応力評価フロー

K_e係数と環境疲労パラメータ（管板および管板まわり 評価点1）（詳細評価手法）

過渡条件記号		一次+二次+ピーク応力強さ		割り増し係数 KE	継返しピーク応力強さ		実過渡回数 n	許容継返し回数 n*	疲労累積係数 u	環境効果補正係数 fen	環境効果を考慮した疲労累積係数 uen
A	B	smax	smin		補正前 salt	補正後 salt'					
2K1	2J1	331.0	-288.0	1.00	309.5	370.3	63	3490	0.01805	1.000	0.01805
2E1	1C1	315.4	-252.1	1.00	283.8	339.5	2	4610	0.00043	3.923	0.00170
2D5	1C1	191.1	-252.1	1.00	221.6	265.2	2	9640	0.00021	3.871	0.00080
2D3	1C1	181.0	-252.1	1.00	216.6	259.1	2	10300	0.00019	3.817	0.00074
2F1	1C1	171.2	-252.1	1.00	211.7	253.3	3	11100	0.00027	3.686	0.00100
2D1	1C1	122.1	-252.1	1.00	187.1	223.9	5	17100	0.00029	3.830	0.00112
2A1	1C1	116.3	-252.1	1.00	184.2	220.4	6	18000	0.00033	4.070	0.00136
1B1	1C1	111.8	-252.1	1.00	182.0	217.7	68	18800	0.00362	4.709	0.01703
2C2	1C1	110.9	-252.1	1.00	181.5	217.2	2	18900	0.00011	3.818	0.00040
2G1	1C1	106.3	-252.1	1.00	180.2	215.6	2	19400	0.00010	3.889	0.00040
2H2	1C1	83.7	-252.1	1.00	167.9	200.9	2	24200	0.00008	3.818	0.00032
1I1	1C1	82.6	-252.1	1.00	167.4	200.2	62	24500	0.00253	4.166	0.01054
1L1	1C1	80.1	-252.1	1.00	166.1	198.8	2	25100	0.00008	4.736	0.00038
1G1	1C1	79.6	-252.1	1.00	165.9	198.4	4	25200	0.00016	4.763	0.00076
1K1	1C1	63.4	-252.1	1.00	157.8	188.8	63	29400	0.00214	4.750	0.01018
2I1	1C1	62.3	-252.1	1.00	157.2	188.1	3	29700	0.00010	4.748	0.00048
1A1	1C1	58.7	-252.1	1.00	155.4	185.9	68	30800	0.00221	4.842	0.01069
1J1	1C1	51.5	-252.1	1.00	151.8	181.6	75	33100	0.00227	4.746	0.01075
1D1	1C1	48.9	-252.1	1.00	150.5	180.1	430	34000	0.01265	4.831	0.06110
1D1	2H1	48.9	-236.8	1.00	142.8	170.9	2	40000	0.00005	4.061	0.00020
1D1	1H1	48.9	-227.4	1.00	138.1	165.3	0	44300	0.00000	4.880	0.00000
1D1	1E1	48.9	-216.6	1.00	132.7	158.8	6	50200	0.00012	4.879	0.00058
1D1	2C2	48.9	-215.8	1.00	132.3	158.3	2	51000	0.00004	4.899	0.00019
1D1	1G1	48.9	-213.0	1.00	130.9	156.7	4	53700	0.00007	4.916	0.00037
1D1	1H1	48.9	-193.8	1.00	121.3	145.2	0	77900	0.00000	4.919	0.00000
1D1	1E1	48.9	-186.5	1.00	117.7	140.8	6	90500	0.00007	4.879	0.00032
1D1	1F1	48.9	-176.6	1.00	112.7	134.9	6	108000	0.00006	4.919	0.00027
1D1	1A1	48.9	-83.3	1.00	66.1	79.0	58	-----	0.00000	1.000	0.00000

合計 : 0.14975

(注) ひずみ振幅≤0.042% (salt' ≤ 86.9) の場合、fen=1.0

→環境UF : 0.150

K_e係数と環境疲労パラメータ（給水入口管台 評価点5）（詳細評価手法）

過渡条件 記号		一次+二次+ ピーク応力強さ		割り増し 係数 KE	繰返しピーク 応力強さ		実過渡 回数 n	許容繰返し 回数 n*	疲労累積係数 u	環境効果 補正係数 fen	環境効果を考慮した 疲労累積係数 uen
A	B	smax	smin		補正前 salt	補正後 salt'					
1A1	2T1	51.1	-795.1	1.00	423.1	494.8	68	1470	0.04626	2.377	0.10993
1B1	2T1	40.5	-795.1	1.00	417.8	488.6	6	1520	0.00395	1.916	0.00756
1B1	2D5	40.5	-551.0	1.00	295.8	345.9	2	4340	0.00046	1.415	0.00065
1B1	2E1	40.5	-550.6	1.00	295.5	345.6	2	4350	0.00046	1.457	0.00067
1B1	2G1	40.5	-549.9	1.00	295.2	345.2	2	4370	0.00046	1.368	0.00063
1B1	2D3	40.5	-534.6	1.00	287.5	336.3	2	4750	0.00042	1.586	0.00067
1B1	1N1	40.5	-498.7	1.00	269.6	315.3	54	5770	0.00936	2.220	0.02077
NSS	1N1	0.0	-498.7	1.00	249.3	291.6	131	7280	0.01799	2.220	0.03994
1C1	1N1	-21.6	-498.7	1.00	238.6	279.0	801	8300	0.09651	2.220	0.21425
1N1	1N1	-30.1	-498.7	1.00	234.3	274.0	506	8750	0.05783	2.220	0.12840
1N1	2B2	-30.1	-473.2	1.00	221.6	259.1	4	10300	0.00039	1.830	0.00071
1N1	1D1	-30.1	-169.3	1.00	69.6	81.4	790	-----	0.00000	1.000	0.00000
合計：											0.52418

(注) ひずみ振幅≤0.042% (salt' ≤ 86.9) の場合、fen=1.0

→環境UF : 0.525

タイトル	蒸気発生器給水入口管台における、熱成層現象の想定と根拠、熱過渡・応力評価の方法および評価結果について
説明	<p>蒸気発生器給水入口管台では、プラント起動・停止時等における低温水の微小給水および停止により、熱成層の発生・消滅が繰返される可能性があることから、熱成層の発生を想定した環境疲労評価を行っている。</p> <p>環境疲労評価における熱成層現象の想定と根拠、熱過渡・応力評価の方法および評価結果を添付 1 に示す。</p>

高浜 3 号炉 蒸気発生器給水入口管台の環境疲労評価（熱成層考慮）

1. 概要

本資料は、蒸気発生器給水入口管台の環境疲労評価の結果についてまとめたものである。

その結果、環境疲労累積係数（以降 環境U. F. と記す）は $0.525 < 1.0$ であり、問題ないことを確認した。

2. 評価方針

2.1 適用規格・基準

1) 日本機械学会「発電用原子力設備規格 設計・建設規格」

(JSME S NC1-2005/2007、以降「設計・建設規格」と記す。)

2) 日本機械学会「発電用原子力設備規格 環境疲労評価手法」

(JSME S NF1-2009、以降「環境疲労評価手法」と記す。)

2.2 評価手法

(1) 環境疲労評価手法

環境疲労評価は、環境疲労評価手法に従って評価を行うものとし、設計・建設規格に基づき算出したU. F. に環境効果補正係数 (Fen) を掛け合わせることにより求め る。

$$\text{環境U. F.} = \text{U. F.} \times \text{Fen}$$

3. 給水入口管台の疲労評価条件

3.1 解析モデル化の方法

給水入口管台の環境疲労評価対象部位を図 1 に示す。

熱成層応力の解析は 3 次元のFEM解析により行う。

(1) 热成層応力の解析モデル

熱成層応力の解析においては評価部位周辺を 3 次元モデルでモデル化した有限要素 法解析により行う。

管台および管台近傍の配管を 3 次元でモデル化し、その箇所からアンカーサポート までをはり要素でモデル化する。

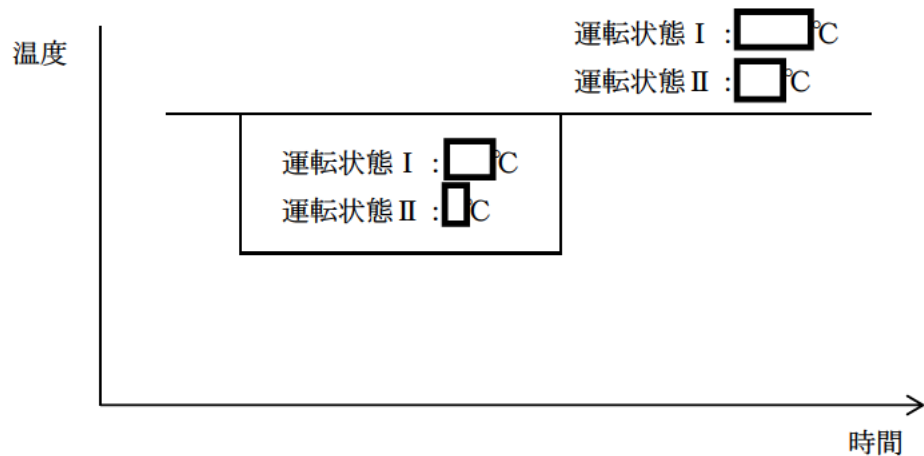
解析に使用したモデルを図 2、3、4 に示す。

(2) 解析コード

解析コードはABAQUS Ver. 6.3を使用する。

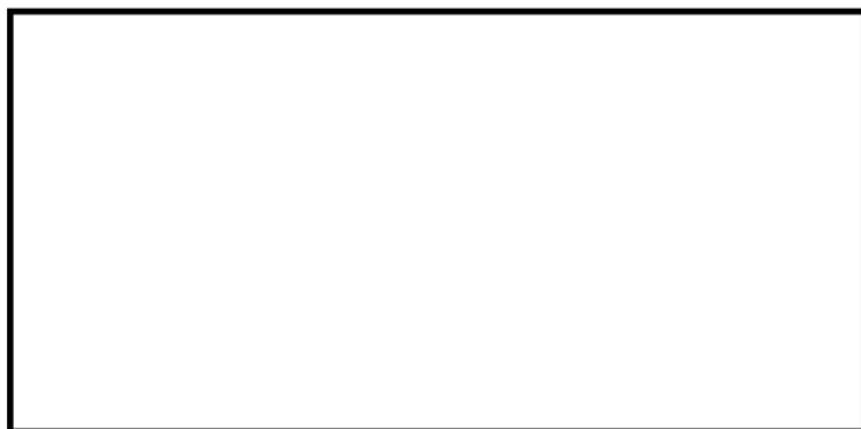
(3) 過渡条件

熱成層の発生・消滅過程を安全側に以下のように定める。



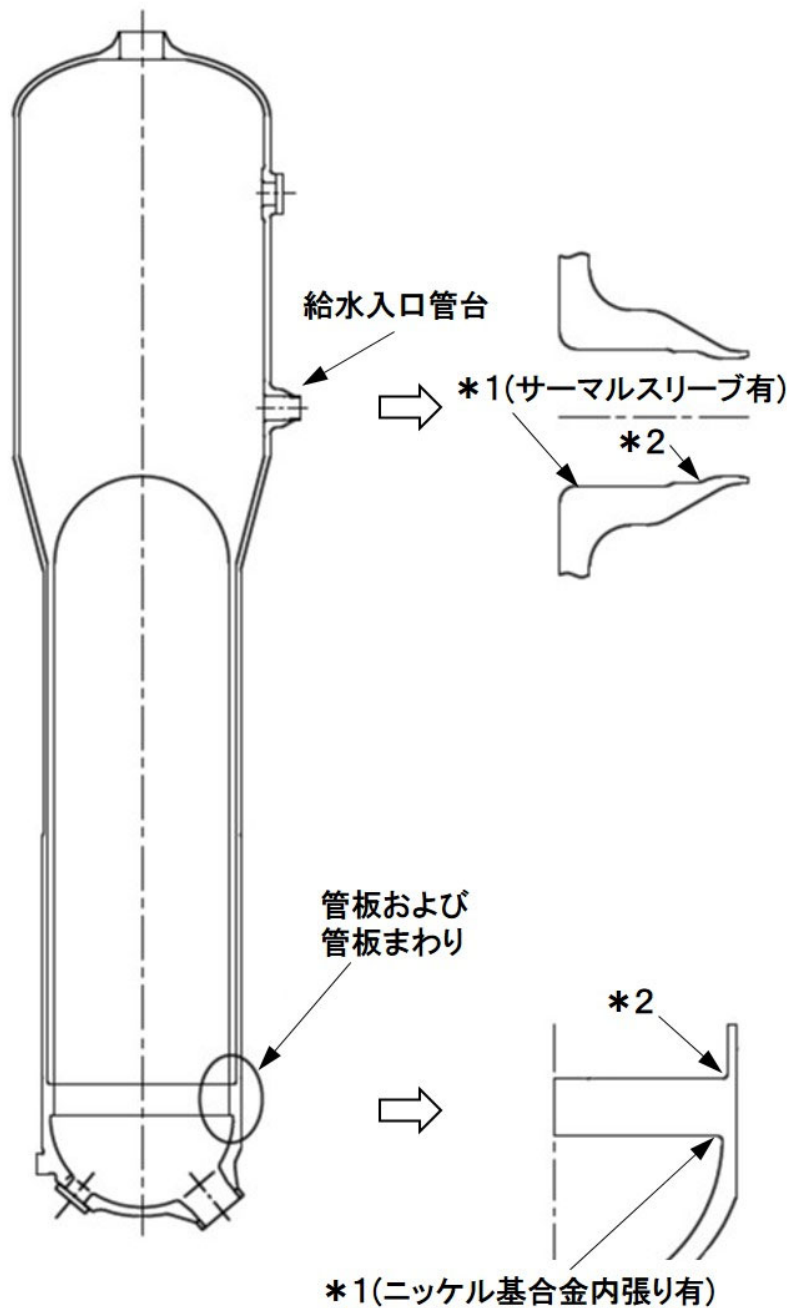
(4) 热伝達率

熱成層による応力の解析に用いる熱伝達率は、以下に示すとおり流量および温度から給水管台部を領域分けして設定している。



(5) 物性値

熱成層による応力の解析に用いる材料の物性値は表 1 に示すとおりである。



* 1 : 「設計・建設規格」に基づく疲労評価対象部位(最大)

(非接液部の場合は () 内に理由を記載)

* 2 : 「環境疲労評価手法」に基づく疲労評価対象部位(最大) (接液部が対象)

図 1 高浜 3 号炉 蒸気発生器給水入口管台の疲労割れ評価対象部位

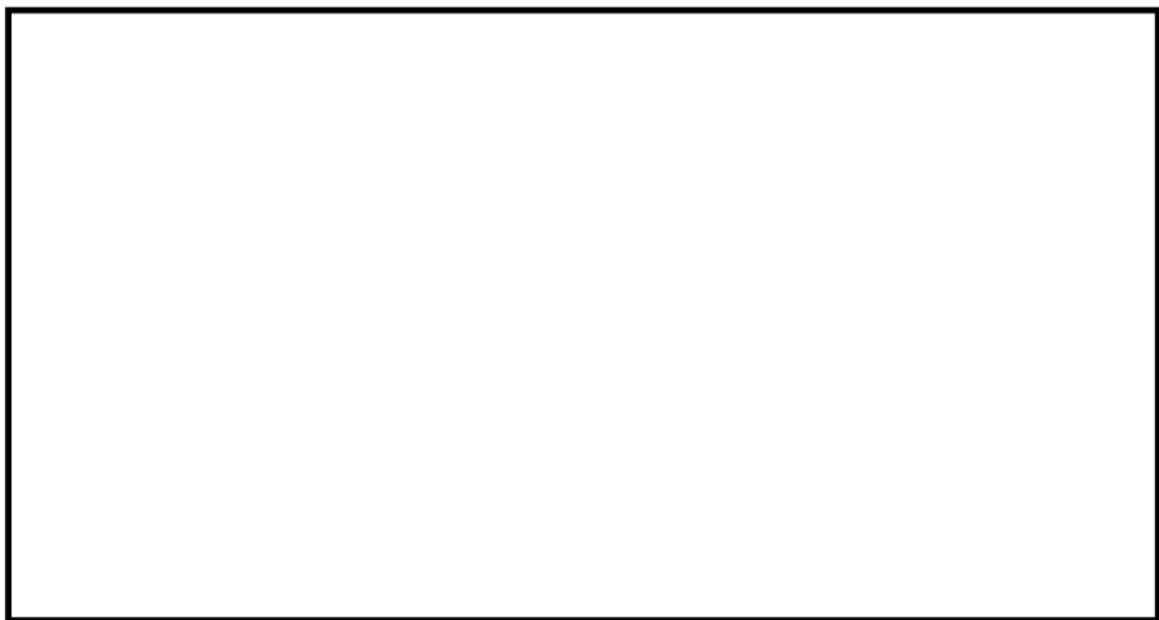


図 2 解析モデル（全体図）

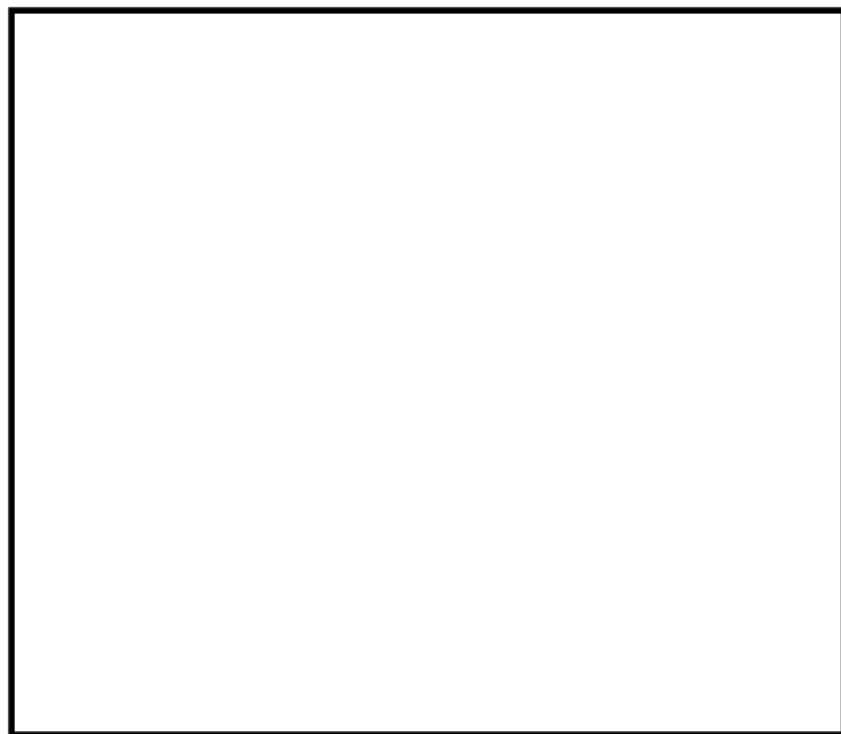


図 3 解析モデル（断面図）

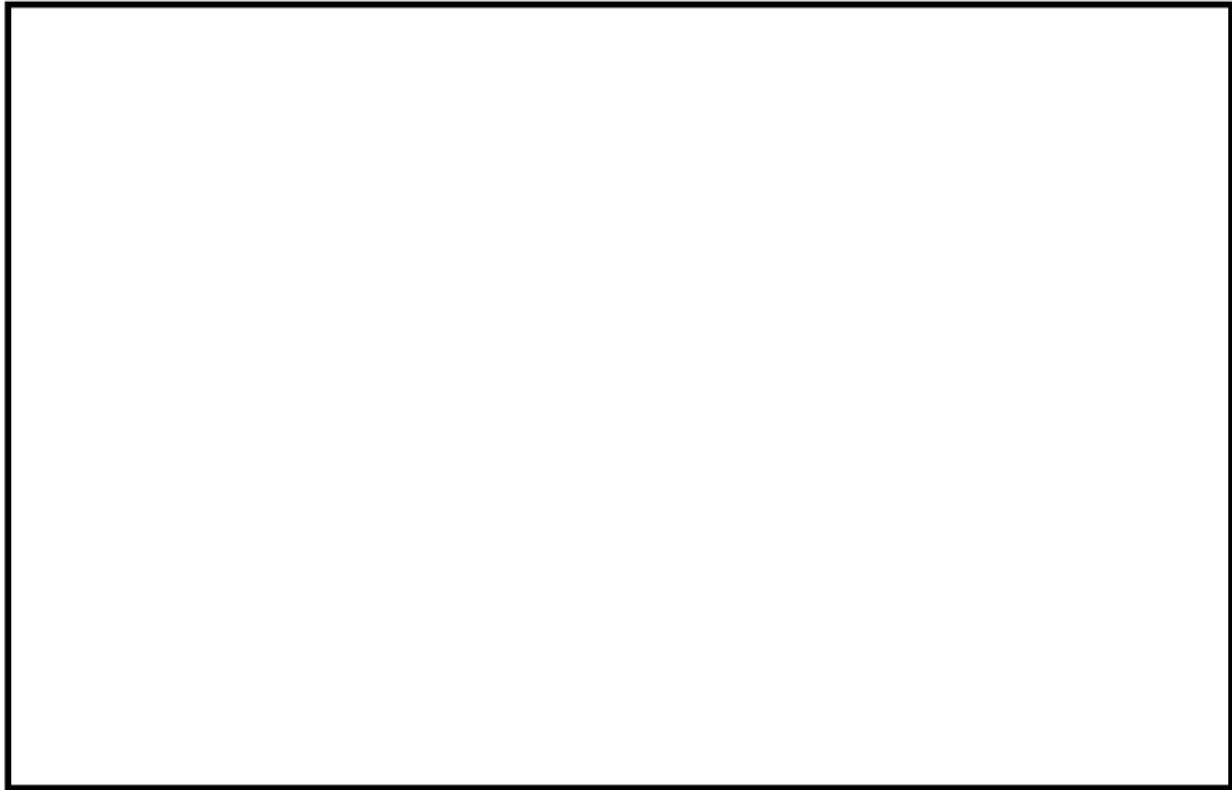


図4 解析モデル（拡大図）

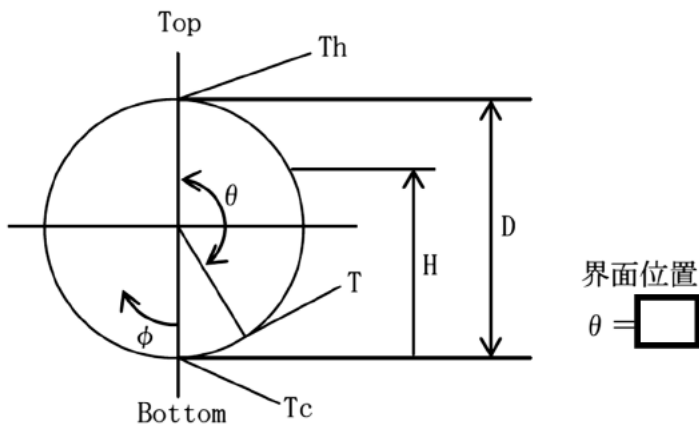
表 1 材料物性値

部位	主給水管	給水入口管台	上部胴
材料	STS49	SA508 Class2 (SFVV2相当)	SA533 Gr. A Class1 (SQV1A相当)
熱伝導率 (W/mK)	44.6	39.1	39.1
熱容量 ($\times 10^3$ kJ/m ³ K)	4.38	4.30	4.30
熱膨脹率 ($\times 10^{-6}$ mm/mm°C)	12.77	13.11	13.90
縦弾性係数 (MPa)	187,000	177,000	185,000
ポアソン比 (-)	0.3	0.3	0.3

(注) 上記物性値は蒸気発生器2次側の定格出力運転時の温度 (269.3°C) における値であり、解析上は温度依存性を考慮してそれぞれの時刻の温度に基づく値を使用している。

(6) 温度プロファイル

過去に他実機プラントである大飯 1 号機での給水管内熱成層発生時の応力を計測しており、熱成層界面位置が水平頂部からの角度 $\theta = \square$ の場合に最大応力が確認されている。大飯 1 号機と高浜 3 号機では給水管台の形状（口径）が同等であることから、大飯 1 号機にて最大応力が確認された水平配管頂部からの角度 $\theta = \square$ を界面位置に設定している。



3.2 過渡条件

(1) 過渡回数

これまでの運転実績に基づく運転開始後60年時点での推定過渡回数で評価を実施する。

(2) 温度条件

低温水の微小給水・給水停止の繰返しによる熱成層の発生・消滅を評価する。

4. 評価結果

熱成層を考慮した環境疲労評価結果を表2に、過渡記号を表3に示す。

以上

表2 給水入口管台環境疲労評価結果(環境U. F. が最大となる評価点)

過渡条件 記号		一次+二次+ ピーク応力強さ		割り増し 係数 KE	繰返しピーク 応力強さ		実過渡 回数 n	許容繰返し 回数 n*	疲労累積係数 u	環境効果 補正係数 fen	環境効果を考慮した 疲労累積係数 uen
A	B	smax	smin		補正前 salt	補正後 salt'					
IA1	2T1	51.1	-795.1	1.00	423.1	494.8	66	1470	0.04626	2.377	0.10993
IB1	2T1	40.5	-795.1	1.00	417.8	488.6	6	1520	0.00395	1.916	0.00756
IB1	2D5	40.5	-551.0	1.00	295.8	345.9	2	4340	0.00046	1.415	0.00065
IB1	2E1	40.5	-550.6	1.00	295.5	345.6	2	4350	0.00046	1.457	0.00067
IB1	2G1	40.5	-549.9	1.00	295.2	345.2	2	4370	0.00046	1.368	0.00063
IB1	2D3	40.5	-534.6	1.00	287.5	336.3	2	4750	0.00042	1.586	0.00067
IB1	1N1	40.5	-498.7	1.00	269.6	315.3	54	5770	0.00936	2.220	0.02077
NSS	1N1	0.0	-498.7	1.00	249.3	291.6	131	7280	0.01799	2.220	0.03994
IC1	1N1	-21.6	-498.7	1.00	238.6	279.0	801	8300	0.09651	2.220	0.21425
IN1	1N1	-30.1	-498.7	1.00	234.3	274.0	506	8750	0.05783	2.220	0.12840
IN1	2B2	-30.1	-473.2	1.00	221.6	259.1	4	10300	0.00039	1.830	0.00071
IN1	1D1	-30.1	-169.3	1.00	69.6	81.4	790	-----	0.00000	1.000	0.00000
											合計 : 0.52418

(注) ひずみ振幅≤0.042% (salt' ≤ 86.9) の場合、fen=1.0

→環境UF : 0.525

表3 過渡記号

NSS	無応力状態
1A1	起動
*00	無負荷運転状態
1B1	停止
1C1	負荷上昇 (15%から100%出力)
*10	100%負荷運転状態
1D1	負荷減少 (100%から15%出力)
1E1	90%から100%負荷へのステップ状負荷上昇
1F1	100%から90%負荷へのステップ状負荷減少
1G1	100%からの大きいステップ状負荷減少
1H1	定常負荷運転時の変動
1J1	0%→15%への負荷上昇
1K1	15%→0%への負荷減少
1L1	1ループ停止／1ループ起動 (1ループ停止・停止ループ)
1L2	1ループ停止／1ループ起動 (1ループ停止・運転ループ)
1L3	1ループ停止／1ループ起動 (1ループ起動・起動ループ)
1L4	1ループ停止／1ループ起動 (1ループ起動・運転ループ)
1N1	運転状態Iにおける低温給水
2A1	負荷の喪失
2B1	外部電源喪失 (補助給水されるループ)
2B2	外部電源喪失 (補助給水されないループ)
2C1	1次冷却材流量の部分喪失 (健全側)
2C2	1次冷却材流量の部分喪失 (故障側)
2D1	100%からの原子炉トリップ (不注意な冷却を伴わない)
2D2	100%からの原子炉トリップ (不注意な冷却を伴う・冷却ループ)
2D3	100%からの原子炉トリップ (不注意な冷却を伴う・正常ループ)
2D4	100%からの原子炉トリップ (不注意な冷却とS Iを伴う・冷却ループ)
2D5	100%からの原子炉トリップ (不注意な冷却とS Iを伴う・正常ループ)
2E1	1次冷却系の異常な減圧
2F1	制御棒クラスタの落下
2G1	出力運転中の非常用炉心冷却系の誤起動
2H1	1次冷却系停止ループの誤起動 (起動ループ)
2H2	1次冷却系停止ループの誤起動 (運転ループ)
2I1	タービン回転試験
2K1	2次系漏洩試験
2T1	運転状態IIにおける低温給水

タイトル	加圧器スプレイライン用管台等の疲労累積係数の算出根拠について																				
説 明	<p>加圧器スプレイライン用管台およびサージ用管台の疲労累積係数の算出根拠を以下に示す。</p> <p>1. 解析モデル 疲労累積係数の算出に用いた解析情報を以下に示す。</p> <p>【通常疲労】</p> <table border="1"> <tr> <td>解析プログラム</td> <td>ABAQUS Ver. 6.3</td> </tr> <tr> <td>要素種類</td> <td></td> </tr> <tr> <td>要素次数</td> <td></td> </tr> <tr> <td>要素数</td> <td></td> </tr> <tr> <td>節点数</td> <td></td> </tr> </table> <p>【熟成層を考慮した環境疲労】</p> <table border="1"> <tr> <td>解析プログラム</td> <td>(スプレイライン用管台) ABAQUS Ver. 6.3</td> </tr> <tr> <td>要素種類</td> <td></td> </tr> <tr> <td>要素次数</td> <td></td> </tr> <tr> <td>要素数</td> <td></td> </tr> <tr> <td>節点数</td> <td></td> </tr> </table>	解析プログラム	ABAQUS Ver. 6.3	要素種類		要素次数		要素数		節点数		解析プログラム	(スプレイライン用管台) ABAQUS Ver. 6.3	要素種類		要素次数		要素数		節点数	
解析プログラム	ABAQUS Ver. 6.3																				
要素種類																					
要素次数																					
要素数																					
節点数																					
解析プログラム	(スプレイライン用管台) ABAQUS Ver. 6.3																				
要素種類																					
要素次数																					
要素数																					
節点数																					

2. 材料物性値
材料物性値を以下に示す。

評価部位	材料	設計応力 (MPa)
		345°C
スプレイライン用管台	SA508 Class3 (SFVQ1A相当)	184
上部鏡板	SA533 Gr. A Class1 (SQV1A相当)	184
スプレイライン用管台 セーフエンド	SUSF316	114
サージ用管台	SA508 Class3 (SFVQ1A相当)	184
下部胴板、下部鏡板	SA533 Gr. A Class1 (SQV1A相当)	184
サージ用管台セーフエンド	SUSF316	114

3. 最大評価点の選定

解析モデル上の評価点は、構造不連続部等において応力が大きくなる評価断面を抽出しており、その中から疲労累積係数が最大となる点を選定している。

スプレイライン用管台については、熱成層による影響を考慮しており、接液部位で疲労累積係数が最大となる点について、環境疲労評価を実施している。

サージ用管台については、管台に作用する外荷重を配管解析で求めており、サージ配管で熱成層が発生した場合の応力を考慮せずに評価しているが、評価に用いる外荷重条件は熱成層を考慮した条件より厳しい評価条件となる。

解析モデル上の評価結果および最大評価点の選定結果を添付 1 に示す。

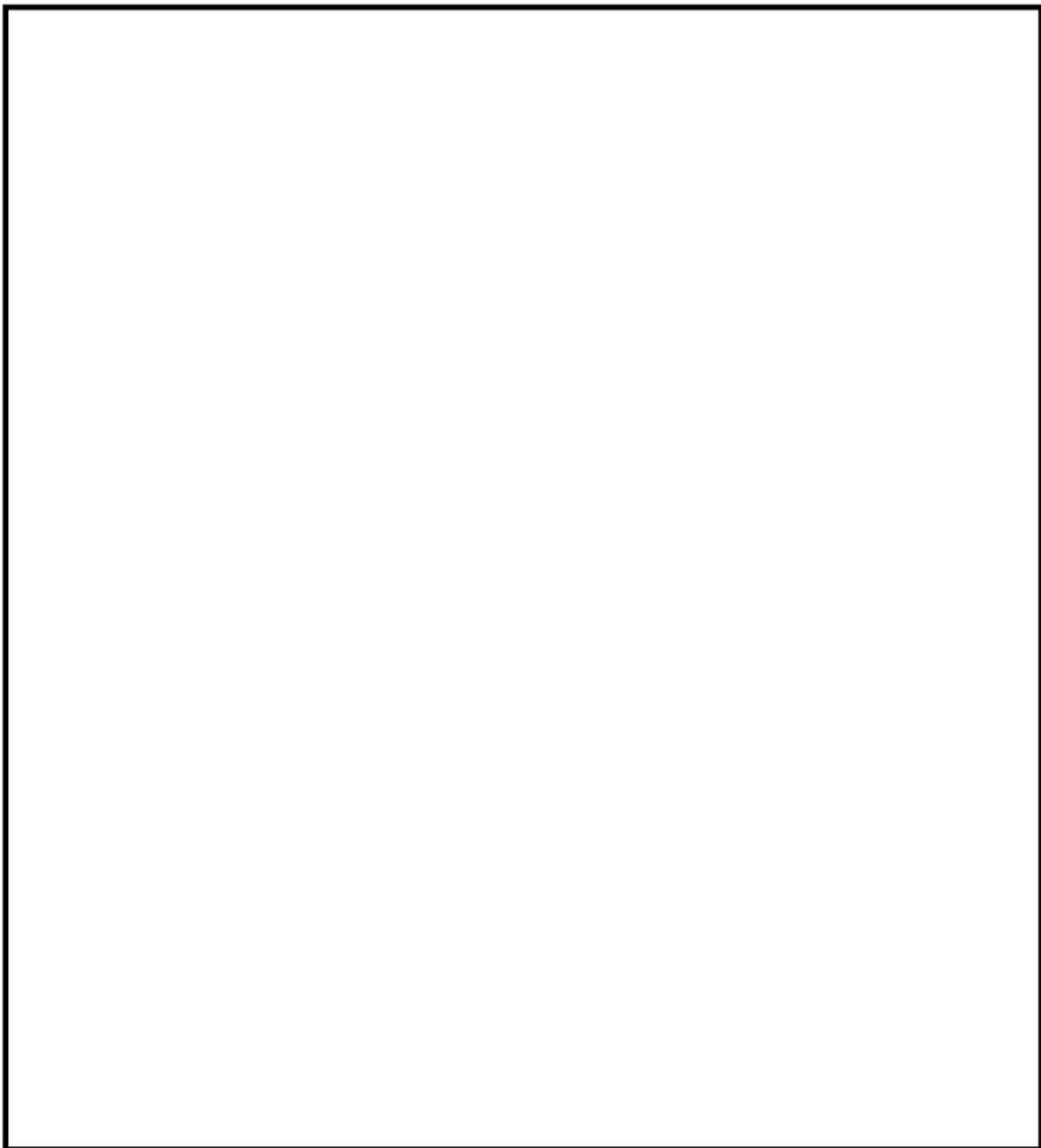
4. 応力分類

評価における荷重の組み合わせを以下に示します。また、応力フローを添付 2 に示す。

状態	荷重の組み合わせ
供用状態 A, B	圧力 + 自重 + 熱膨張荷重 + 熱過渡

5. K_e係数および環境評価パラメータ

評価に用いたK_e係数および環境評価パラメータ（環境効果補正係数fen）を添付 3 に示す。



加圧器 スプレイライン用管台 評価点

スプレイライン用管台 最大評価点の選定

評価点	U(S12)	U(S23)	U(S31)
1	0.0	0.00569	0.01869
2	0.0	0.00013	0.00007
3	0.0	0.00818	0.06028
4	0.00005	0.00036	0.00964
5	0.00026	0.05182	0.00222
6	0.0	0.00000	0.0
7	0.0	0.00849	0.01101
8	0.0	0.00000	0.00002
9	0.00001	0.00001	0.00084
10	0.0	0.0	0.0
11	0.0	0.00000	0.00000
12	0.00001	0.0	0.00037
13	0.0	0.00389	0.00732
14	0.00321	0.0	0.00080
15	0.0	0.00103	0.00032
16	0.00001	0.00025	0.00444
17	0.00647	0.01342	0.0
18	0.0	0.0	0.0
19	0.04251	0.03663	0.0
20	0.0	0.00000	0.00000
21	0.0	0.00269	0.00059
22	0.0	0.00045	0.00382

許容値 $U_f = 1.0$

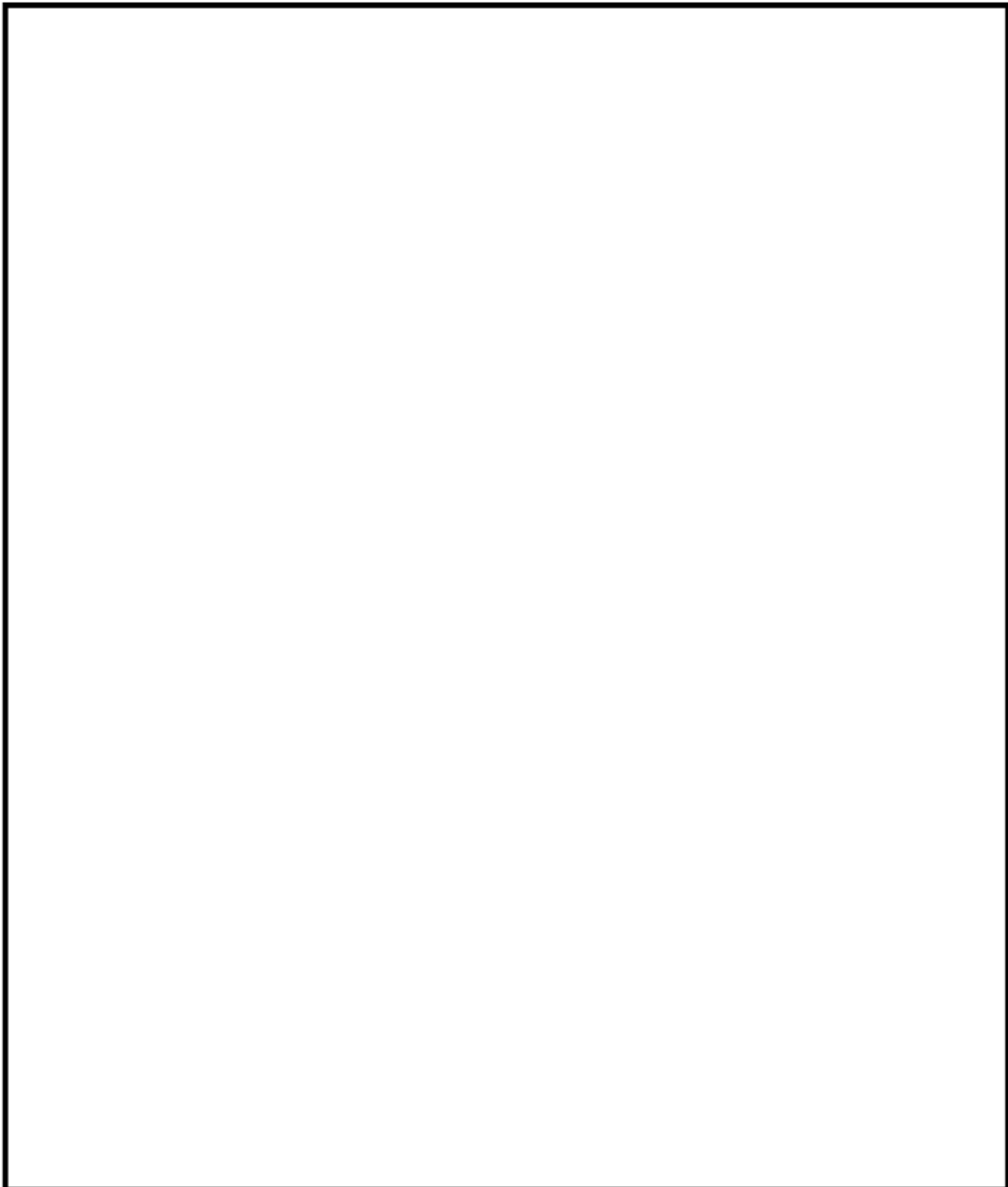
スプレイライン用管台 疲労評価結果 (評価点 : 3)

評価点 - 3
(S31)

極大値	極小値	K _e	(単位 : MPa)		繰返し回数		疲労係数 (-N/N*)
			ALT	ALT'	N	N*	
43.1	-758.7	1.96	786.0	885.9	2	782	0.00256
0.0	-592.6	1.51	448.1	505.1	68	5790	0.01174
0.0	-574.7	1.53	441.0	497.1	63	6170	0.01021
-22.3	-574.7	1.53	424.0	477.9	5	7240	0.00069
-22.3	-558.8	1.53	411.8	464.1	63	8140	0.00774
-26.2	-558.8	1.51	402.7	453.9	5	8900	0.00056
26.2	557.3	1.51	401.6	452.7	63	9000	0.00700
-26.8	-557.3	1.42	376.1	423.9	5	12100	0.00041
-28.5	-534.3	1.42	358.6	404.2	68	15300	0.00444
-30.6	-527.3	1.41	350.8	395.4	68	17100	0.00398
-36.6	-487.1	1.33	299.4	337.5	68	37700	0.00180
-39.0	-487.1	1.31	293.9	331.3	68	41300	0.00165
-26.8	-457.0	1.15	248.2	279.8	335	102000	0.00328
-35.0	457.0	1.15	242.1	272.8	5	117000	0.00004
-46.7	-441.5	1.16	229.5	258.7	68	158000	0.00043
-50.5	-423.0	1.16	216.9	244.5	68	218000	0.00031
-35.0	-415.3	1.0	190.2	214.4	2	494000	0.00000
-35.0	-368.9	1.0	167.0	188.2	6	1100000	0.00001
-35.0	368.9	1.0	166.9	188.2	2	1100000	0.00000
-35.0	-365.9	1.0	165.5	186.5	6	1130000	0.00001
-35.0	-365.6	1.0	165.3	186.3	2	1140000	0.00000
-35.0	-363.6	1.0	164.3	185.2	2	1160000	0.00000
-35.0	-363.4	1.0	164.2	185.1	4	1160000	0.00000
-35.0	-363.2	1.0	164.1	185.0	39	1160000	0.00003
-49.2	-363.2	1.0	157.0	177.0	751	1350000	0.00056
49.2	363.2	1.0	157.0	177.0	2149	1350000	0.00159
-49.2	-363.2	1.0	157.0	177.0	751	1350000	0.00056
-49.2	-363.2	1.0	157.0	177.0	2	1350000	0.00000
-49.2	-362.9	1.0	156.8	176.8	48	1350000	0.00004
-53.6	-362.9	1.0	154.6	174.3	2	1420000	0.00000
-55.3	-362.9	1.0	153.8	173.4	6	1440000	0.00000
-55.4	-362.9	1.0	153.8	173.3	12	1440000	0.00001
-56.4	-362.8	1.0	153.7	173.3	6	1440000	0.00000
56.4	362.7	1.0	153.7	173.2	50	1440000	0.00003
-55.5	-362.7	1.0	153.6	173.1	68	1450000	0.00005
-57.0	-362.7	1.0	152.9	172.3	683	1470000	0.00046
-57.0	-347.0	1.0	145.0	163.4	68	1750000	0.00004
-57.0	-296.5	1.0	119.8	135.0	39	3840000	0.00001
-57.5	-296.5	1.0	119.5	134.7	2	3870000	0.00000
-61.7	-296.5	1.0	117.4	132.3	27	4180000	0.00001
-61.7	-86.1	1.0	12.2	13.7	4	0.0	0.06028

K_e : 割増し係数
ALT : 繰返しビーグ応力強さ
ALT' : ALTに(195000)/(材料の使用温度における線弾性係数)を乗じて得た値
N : 計算繰返し回数
N* : 許容繰返し回数

→通常UF : 0.061



サージ用管台 評価点

サージ用管台 最大評価点の選定

評価点	U(S12)	U(S23)	U(S31)
1	0.00005	0.00154	0.03341
2	0.00001	0.00031	0.00120
3	0.0	0.00310	0.01113
4	0.00035	0.00022	0.00502
5	0.00004	0.00556	0.00068
6	0.0	0.00000	0.0
7	0.00013	0.00414	0.00580
8	0.0	0.00000	0.00000
9	0.00015	0.00022	0.00320
10	0.00000	0.0	0.00002
11	0.0	0.00012	0.00052
12	0.00009	0.0	0.00265
13	0.00445	0.0	0.00358
14	0.00613	0.0	0.00485
15	0.00000	0.00054	0.00355
16	0.03534	0.0	0.03791
17	0.00284	0.00875	0.0
18	0.00114	0.00023	0.00325
19	0.01850	0.01431	0.00038
20	0.0	0.00338	0.00714
21	0.0	0.00260	0.00331
22	0.00000	0.00475	0.01429

許容値 $U_f = 1.0$

サージ用管台 疲労評価結果 (評価点 : 16)

評価点 -		16		(S31)							
		応力強さ		(単位 : MPa)		繰返し回数		疲労係数			
極大値	極小値	K _e		ALT	ALT'	N	N*	(=N/N*)			
658.6	0.0	1.0		329.3	396.3	2	2810	0.00071			
623.4	0.0	1.0		311.7	375.1	2	3350	0.00060			
616.6	0.0	1.0		308.3	371.1	127	3470	0.03660			
616.6	505.6	1.0		55.5	66.8	2	-----	0.0			
				疲労累積係数 =		0.03791					

K_e : 割増し係数

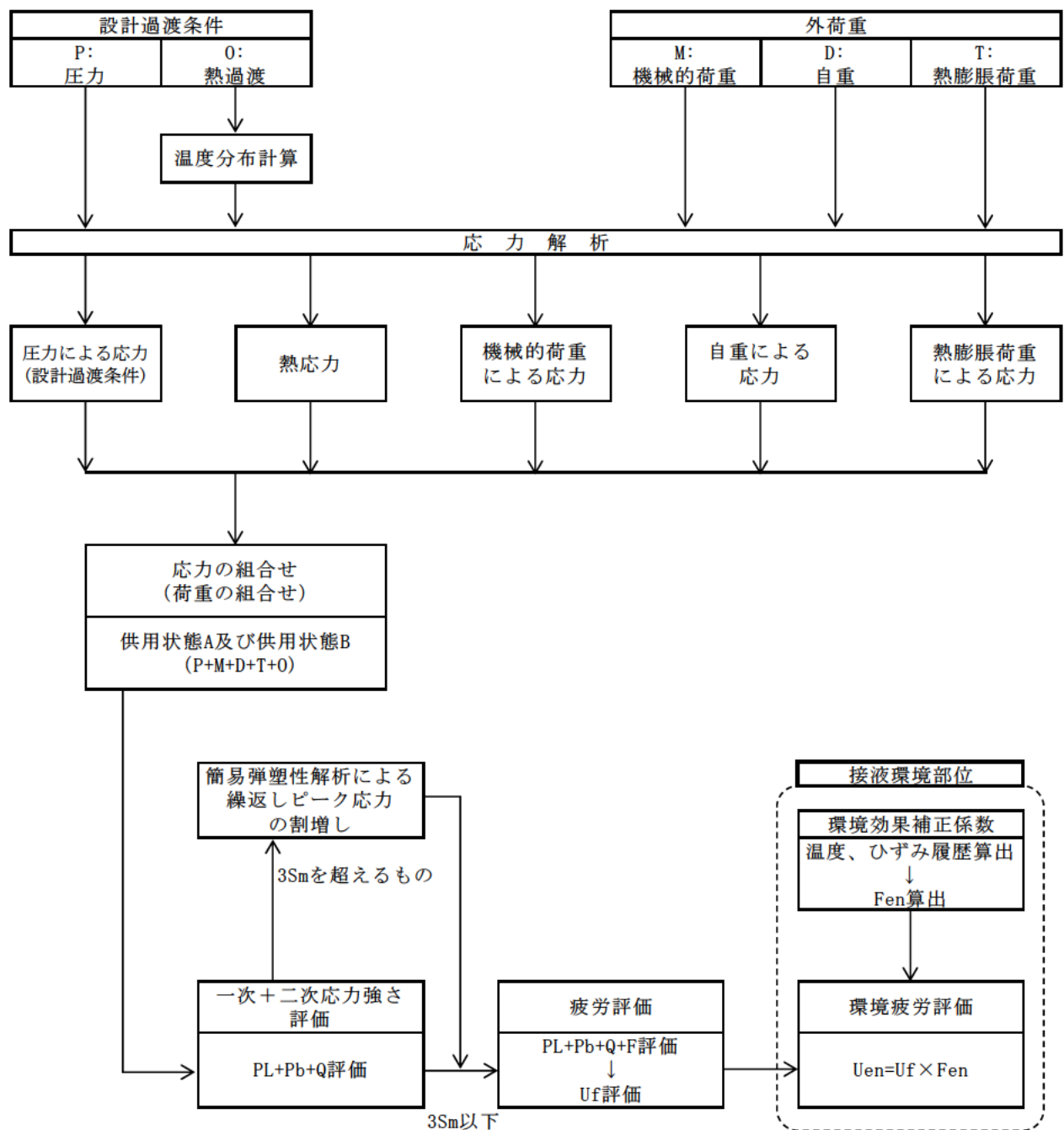
ALT : 繰返しビーグ応力強さ

ALT' : ALTに(207000)/(材料の使用温度における綫弾性係数)を乗じて得た値

N : 設計繰返し回数

N* : 許容繰返し回数

→通常UF : 0.038



応力評価フロー

Ke係数と環境疲労パラメータ（詳細評価手法）

【スプレイライン用管台（評価点：5）】

過渡条件 配号	一次+二次+ ピーク応力強さ		割り増し 係数 KE	継返しピーク 応力強さ		実過渡 回数 n	許容継返し 回数 nR	疲労累積係数 u	環境効果 補正係数 f_en	環境効果を考慮した 疲労累積係数 u_en
	A	B		smax	smin					
ZE2	ZE2	543.7	-372.7	2.00	959.6	1081.7	2	419	0.00477	5.750
IB8	IB6	313.3	-95.2	1.00	294.3	230.3	68	317000	0.00021	4.481
IA5	IB7	288.7	-93.9	1.00	191.3	215.6	68	477000	0.00014	5.855
ZG1	IB5	278.3	-93.6	1.00	185.9	209.6	2	579000	0.00000	1.000
IB3	IB5	276.8	-93.6	1.00	185.2	208.8	56	595000	0.00011	1.000
IB3	IM1	276.8	-85.3	1.00	191.1	204.1	2	698000	0.00000	1.000
IB2	IM1	276.3	-85.3	1.00	180.8	203.8	58	705000	0.00010	1.000
IA7	IM1	273.6	-85.3	1.00	179.5	202.3	58	744000	0.00009	1.000
IA5	IM1	271.0	-85.3	1.00	178.2	200.8	68	783000	0.00009	1.000
IB4	IM1	270.8	-85.3	1.00	178.0	200.7	68	787000	0.00009	1.000
IB5	IM1	267.2	-85.3	1.00	175.3	198.7	68	844000	0.00008	1.000
ZA1	IM1	261.2	-85.3	1.00	168.2	189.6	6	1070000	0.00001	1.000
IB6	IM1	247.5	-85.3	1.00	155.4	187.6	68	1110000	0.00006	1.000
ZH1	IM1	245.8	-85.3	1.00	155.0	187.2	2	1120000	0.00000	1.000
IP1	IM1	241.8	-85.3	1.00	153.5	184.4	6	1180000	0.00001	1.000
IL1	IM1	241.5	-85.3	1.00	153.4	184.2	2	1180000	0.00000	1.000
IP1	IM1	240.8	-85.3	1.00	153.1	183.8	780	1190000	0.00066	1.000
IG1	IM1	240.7	-85.3	1.00	153.0	183.7	4	1190000	0.00000	1.000
IL2	IM1	240.5	-85.3	1.00	152.9	183.6	2	1190000	0.00000	1.000
IE1	IM1	240.0	-85.3	1.00	152.7	183.3	6	1200000	0.00000	1.000
IB7	IM1	239.3	-85.3	1.00	152.3	182.9	68	1210000	0.00006	1.000
IC1	IM1	239.2	-85.3	1.00	152.3	182.9	801	1210000	0.00066	1.000
IM1	IM1	239.1	-85.3	1.00	152.2	182.9	803	1210000	0.00066	1.000
IM1	IC1	239.1	-85.0	1.00	152.1	182.7	801	1210000	0.00066	1.000
IM1	IB4	239.1	-80.2	1.00	159.6	179.9	68	1270000	0.00005	1.000
IM1	ZG1	239.1	-77.9	1.00	158.5	178.7	2	1300000	0.00000	1.000
IM1	IA5	239.1	-75.6	1.00	157.3	177.4	68	1340000	0.00008	1.000
IM1	IE1	239.1	-72.0	1.00	155.5	175.3	6	1390000	0.00000	1.000
IM1	ZB3	239.1	-69.3	1.00	154.2	173.8	68	1430000	0.00005	1.000
IM1	IP1	239.1	-66.8	1.00	153.0	172.4	780	1470000	0.00054	1.000
IM1	IA7	239.1	-65.1	1.00	152.1	171.5	56	1490000	0.00005	1.000
IM1	IL2	239.1	-65.1	1.00	152.1	171.5	2	1490000	0.00000	1.000
IM1	IA5	239.1	-65.1	1.00	152.1	171.5	68	1490000	0.00005	1.000
IM1	ZB2	239.1	-60.8	1.00	150.0	169.1	68	1560000	0.00004	1.000
IM1	IA3	239.1	-58.7	1.00	148.9	167.9	68	1600000	0.00004	1.000
IM1	IA4	239.1	-58.3	1.00	148.7	167.5	20	1610000	0.00001	1.000
ZG1	IA4	236.7	-58.3	1.00	147.5	166.3	2	1650000	0.00000	1.000
IA4	IA4	228.8	-58.3	1.00	143.6	161.8	48	1610000	0.00003	1.000
IA4	IG1	228.8	-53.0	1.00	130.9	147.5	4	2610000	0.00000	1.000
IA4	IA2	228.8	-25.1	1.00	125.9	143.1	18	2880000	0.00001	1.000
IB9	IA2	223.2	-25.1	1.00	124.1	139.9	50	3290000	0.00002	1.000
IB9	IP1	223.2	-22.1	1.00	122.6	138.2	6	3470000	0.00000	1.000
IB9	IL1	223.2	-4.5	1.00	113.8	128.3	2	4780000	0.00000	1.000
IB9	IS1	223.2	-0.2	1.00	111.7	125.9	10	5250000	0.00000	1.000
IA3	IS1	190.4	-0.2	1.00	95.3	107.4	68	15100000	0.00000	1.000
IA3	ZJ1	190.4	-0.1	1.00	95.2	107.3	10	16200000	0.00000	1.000
IBA	ZJ1	173.7	-0.1	1.00	95.9	97.9	53	17100000	0.00000	1.000
IBA	NSS	173.7	0.0	1.00	95.8	97.9	15	173700000	0.00000	1.000
IBB	NSS	141.8	0.0	1.00	70.9	79.9	68	-----	0.00000	1.000

合計： 0.03360

(注) ひずみ振幅≤0.11% (salt'≤214.5) の場合、f_en=1.0

→環境UF : 0.034

【サージ用管台（評価点：1）】

過渡条件 記号	一次+二次+ ピーク応力強さ		割り増し 係数 KE	繰返しピーク 応力強さ		実過渡 回数 n	許容繰返し 回数 n*	疲労累積係数 u	環境効果 補正係数 f _{en}	環境効果を考慮した 疲労累積係数 u _{en}
	A	B		s _{max}	s _{min}					
NSS 2H1 0.0 -505.4 1.32 398.5 449.1 2 9290 0.00022 5.197 0.00133										
NSS 1B2 0.0 -590.2 1.33 392.3 442.1 129 9890 0.01304 3.559 0.04555										
2G1 1B2 -50.0 -590.2 1.29 347.7 391.9 2 17800 0.00011 9.495 0.00107										
2D3 1B2 -100.7 -590.2 1.24 302.5 341.0 2 35800 0.00006 7.842 0.00044										
2E1 1B2 -101.5 -590.2 1.24 301.8 340.2 2 35200 0.00005 4.248 0.00023										
1G1 1B2 -122.9 -590.2 1.22 285.5 321.8 581 47800 0.01425 8.981 0.12794										
1G1 2E1 -122.9 -578.2 1.19 270.9 305.3 2 53500 0.00003 9.539 0.00030										
1G1 1A2 -122.9 -575.6 1.19 268.9 303.1 118 55100 0.00179 8.813 0.01573										
2B1 1A2 -137.3 -575.6 1.19 259.9 292.9 4 79700 0.00005 8.827 0.00044										
1D1 1A2 -144.7 -575.6 1.19 255.5 288.0 286 87400 0.00327 5.107 0.01988										
1A2 2D3 -152.7 -502.3 1.19 201.3 225.9 2 347000 0.00001 7.455 0.00004										
1A2 2G1 -152.7 -473.5 1.19 184.3 207.7 2 517000 0.00000 1.000 0.00000										
1A2 1L1 -162.7 -459.5 1.19 175.9 198.3 2 856000 0.00000 1.000 0.00000										
1A2 2B1 -162.7 -436.9 1.19 162.6 183.2 4 1200000 0.00000 1.000 0.00000										
1A2 2A1 -152.7 -425.3 1.19 155.7 175.5 5 1380000 0.00000 1.000 0.00000										
1A2 1L2 -152.7 -408.4 1.19 145.7 164.2 2 1720000 0.00000 1.000 0.00000										
1A2 1G1 -152.7 -393.9 1.19 137.1 154.5 390 2140000 0.00018 1.000 0.00018										
1B2 1G1 -184.0 -393.9 1.22 128.2 144.5 411 2850000 0.00014 1.000 0.00014										
1B2 1G1 -184.0 -380.8 1.22 120.2 135.5 4 3770000 0.00000 1.000 0.00000										
1B2 1D1 -184.0 -377.5 1.22 118.2 133.2 401 4060000 0.00010 1.000 0.00010										
1D1 1D1 -144.7 -377.5 1.00 116.4 131.2 389 4340000 0.00009 1.000 0.00009										
1D1 1F1 -144.7 -369.0 1.00 112.1 125.4 5 5140000 0.00000 1.000 0.00000										
1D1 1E1 -144.7 -335.9 1.00 96.6 107.8 5 15600000 0.00000 1.000 0.00000										
1D1 2C1 -144.7 -323.2 1.00 89.3 100.6 2 38700000 0.00000 1.000 0.00000										
1D1 2F1 -144.7 -303.1 1.00 79.2 89.3 3 0.00000 1.000 0.00000										
合計：										0.21451

(注) ひずみ振幅≤0.110% (salt' ≤214.5) の場合、f_{en}=1.0

→環境UF : 0.215

タイトル	機械ペネトレーションの疲労累積係数の算出根拠について
説明	<p>余熱除去出口配管貫通部の疲労累積係数は、配管解析から当該部位に加わる負荷を算出し、材料力学公式（参考文献：Formulas for Stress and Strain, Raymond J. Roark他著）と、PVE-3100に準じてPVB-3130の応力集中係数にかかる規定を用いた疲労評価により算出している。</p> <p>余熱除去出口配管貫通部の仕様、荷重および疲労評価結果を添付 1 に示す。</p> <p>主蒸気・主給水管貫通部の疲労累積係数は、配管解析から当該部位の発生変位を算出し、「Kellogg」の計算式とPVE-3810の疲労評価にかかる規定を用いて算出している。</p> <p>主蒸気・主給水管貫通部の仕様および疲労評価結果を添付 2 に示す。</p>

余熱除去出口配管貫通部の基本寸法箇所を図 1 に示す。また、仕様（形状、材料）を表 1 に示す。

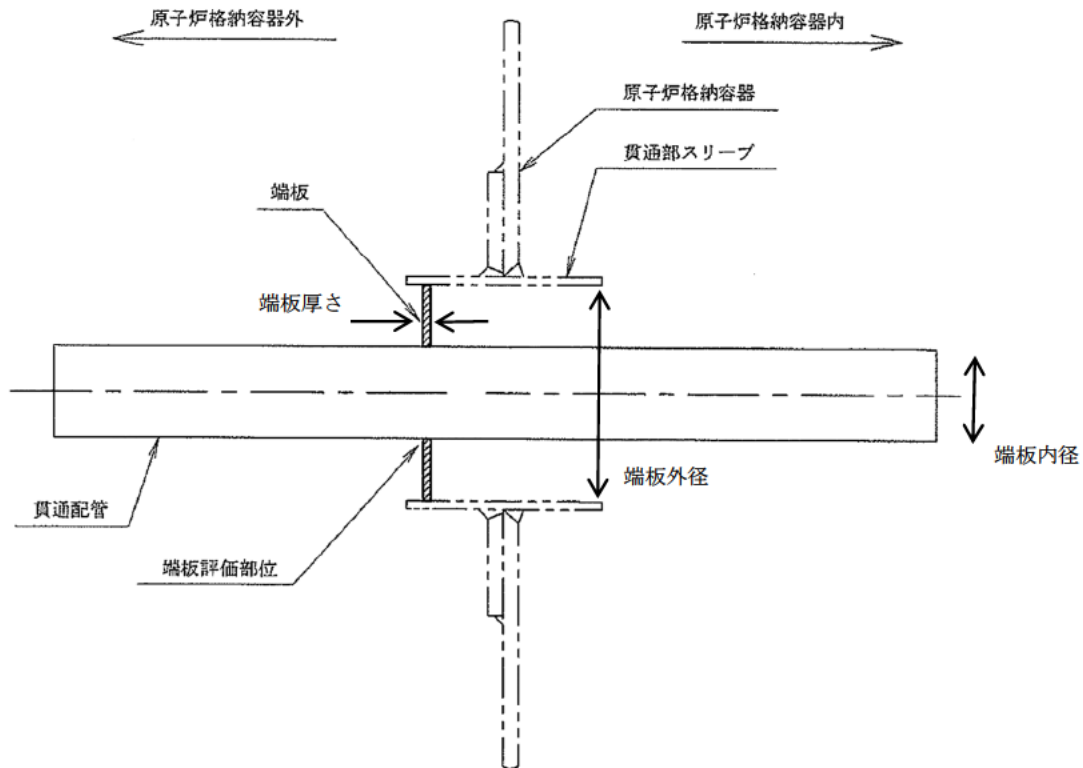


図 1 余熱除去出口配管貫通部の基本寸法箇所

表 1 余熱除去出口配管貫通部の仕様

格納容器貫通部	格納容器最高使用圧力(MPa)	最高使用温度(°C)	端板外径(mm) D1	端板内径(mm) D2	端板板厚(mm) t	端板材料	材料の最高使用温度における縦弾性係数(MPa)
余熱除去出口配管	0.283	200				SUS304	183,000

配管解析からの荷重と貫通部の仕様を用いて材料力学公式によって評価部位の最大発生応力が求まる。配管解析から得られる荷重の評価結果を表2に示す。

その応力に対応する許容回数と疲労線図(JSME S NC1-2005/2007)から疲労累積係数(Uf)が算出される。端板の疲労評価結果を表3に示す。

表2 端板に作用する荷重

格納容器貫通部	軸力 [kN]			モーメント [kN·m]		
	Fx	Fy	Fz	Mx	My	Mz
余熱除去出口配管	26	36	24	-24	10	-17

x : 管軸方向 y : 管軸直 (水平) z : 管軸直 (鉛直)

表3 端板の疲労評価結果

格納容器貫通部	繰返し ピーク応力 強さ (MPa)	過渡による 負荷回数 (n)	許容繰返し 回数 (N)	疲労累積 係数 (Uf)
余熱除去出口配管	114	262	9,986,095	0.001

主蒸気・主給水管貫通部の基本寸法箇所を図2に示す。また、仕様（形状、材料）を表4に示す。

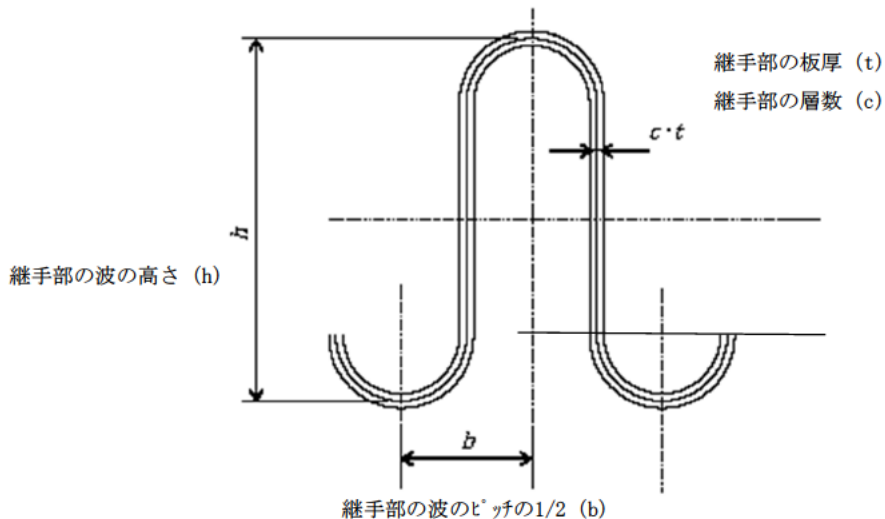
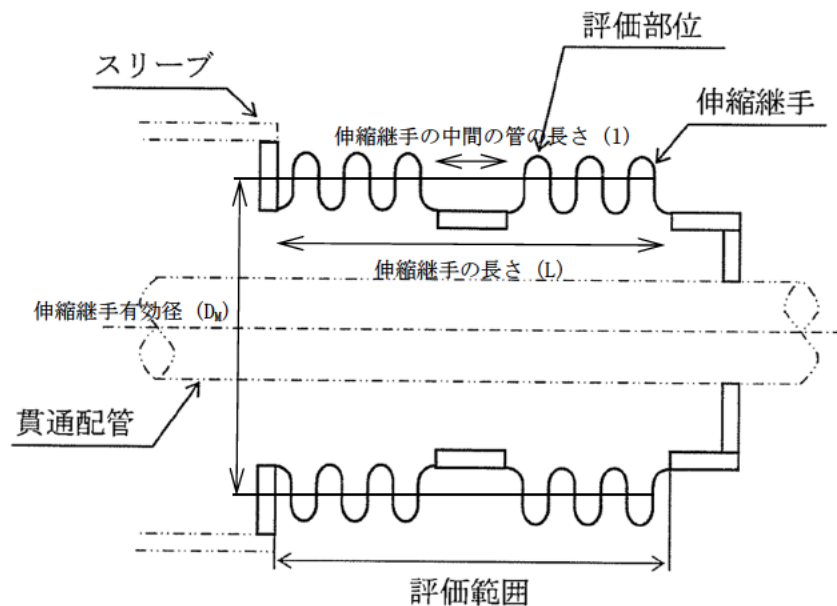


図2 主蒸気・主給水管貫通部の基本寸法箇所

表4 主蒸気・主給水管貫通部の仕様

配管名称	主蒸気管	主給水管
格納容器最高 使用圧力(MPa)	0.283	0.283
伸縮継手有効径(mm) D_M		
継手部の波の高さ(mm) h		
継手部の波のピッチの 1/2 (mm) b		
継手部の板厚(mm) t		
伸縮継手1個の山数 W_N		
継手部の層数 c		
継手部材料	SUS304	SUS304
材料の評価温度(21°C)に おける綫弾性係数 (MPa) E	195,000	195,000
伸縮継手の中間の管の長さ (mm) l	120	120
伸縮継手の長さ(mm) L	620	520

配管解析から伸縮継手に作用する変位量が求まる。配管解析から得られる変位量の評価結果を表5に示す。

表5 伸縮継手に作用する変位量

配管名称	起動・停止				起動・停止以外			
	熱膨張変位 (mm)				熱膨張変位 (mm)			
	x	y	z	$\sqrt{y^2+z^2}$	x	y	z	$\sqrt{y^2+z^2}$
主蒸気管								
主給水管								

x : 管軸方向 y : 管軸直 (水平) z : 管軸直 (鉛直)

変位量による応力および最高使用圧力による応力を考慮して、PVE-3800で示す以下の式により許容繰り返し回数を求める。

$$N = \left(\frac{11031}{\sigma} \right)^{3.5}$$

ここで、 σ =全伸縮量による応力+最高使用圧力による応力

許容繰り返し回数と過渡による負荷の回数から、以下の式により疲労累積係数(Uf)が算出される。

$$Uf = \frac{n}{N}$$

ここで、n=過渡による負荷回数、N=発生応力で許容される回数

伸縮継手の疲労評価結果を表 6 に示す。

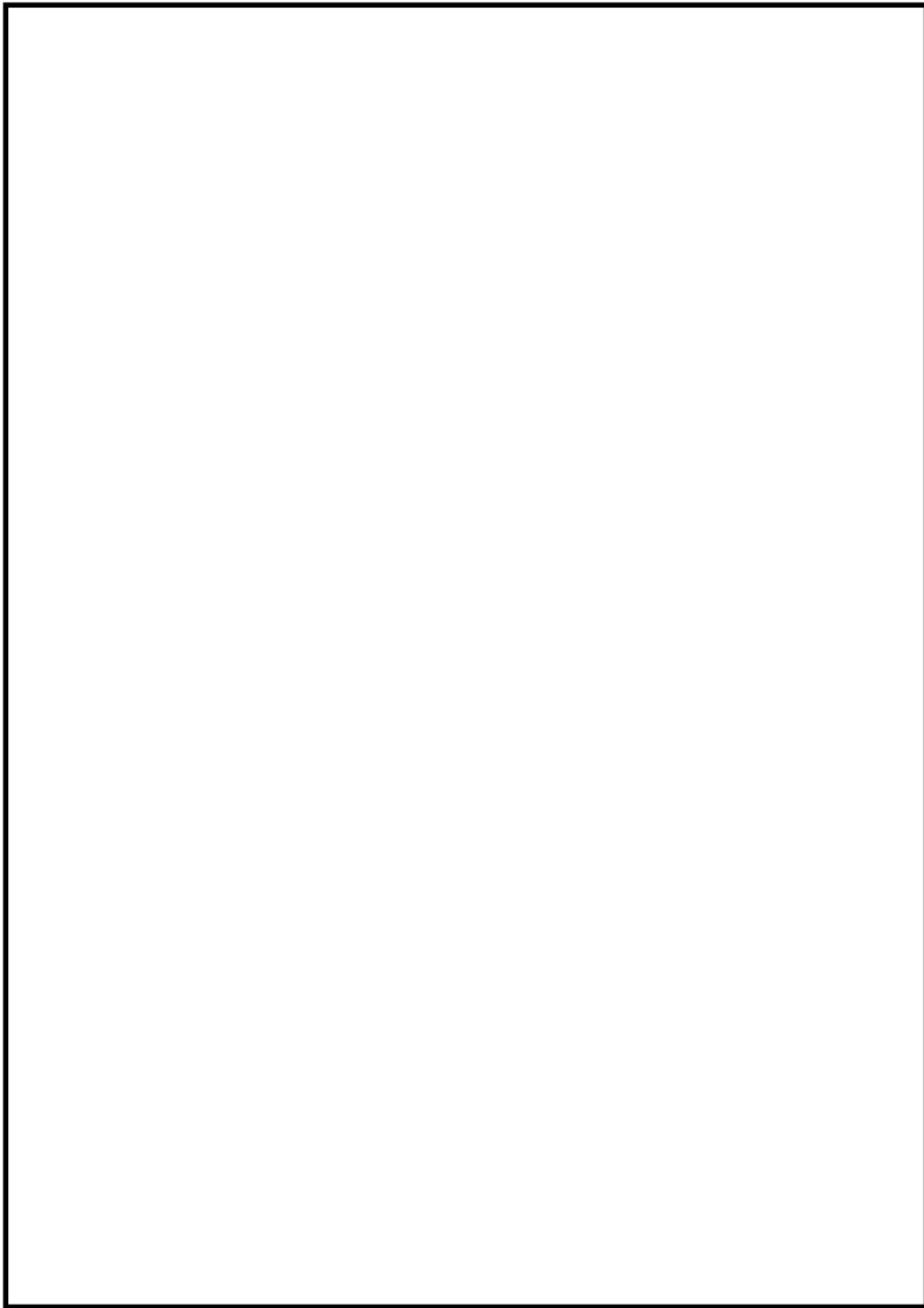
表 6 伸縮継手の疲労評価結果

格納容器 貫通部	過渡	繰返し ピーク応力 強さ (MPa)	過渡による 負荷回数(n)	許容回数 (N)	Uf	全体 Uf
主蒸気管	起動・停止	594	68	27,708	0.003	0.024
	起動・停止以外	424	1,845	90,481	0.021	
主給水管	起動・停止	991	68	4,615	0.015	0.219
	起動・停止以外	816	1,845	9,086	0.204	

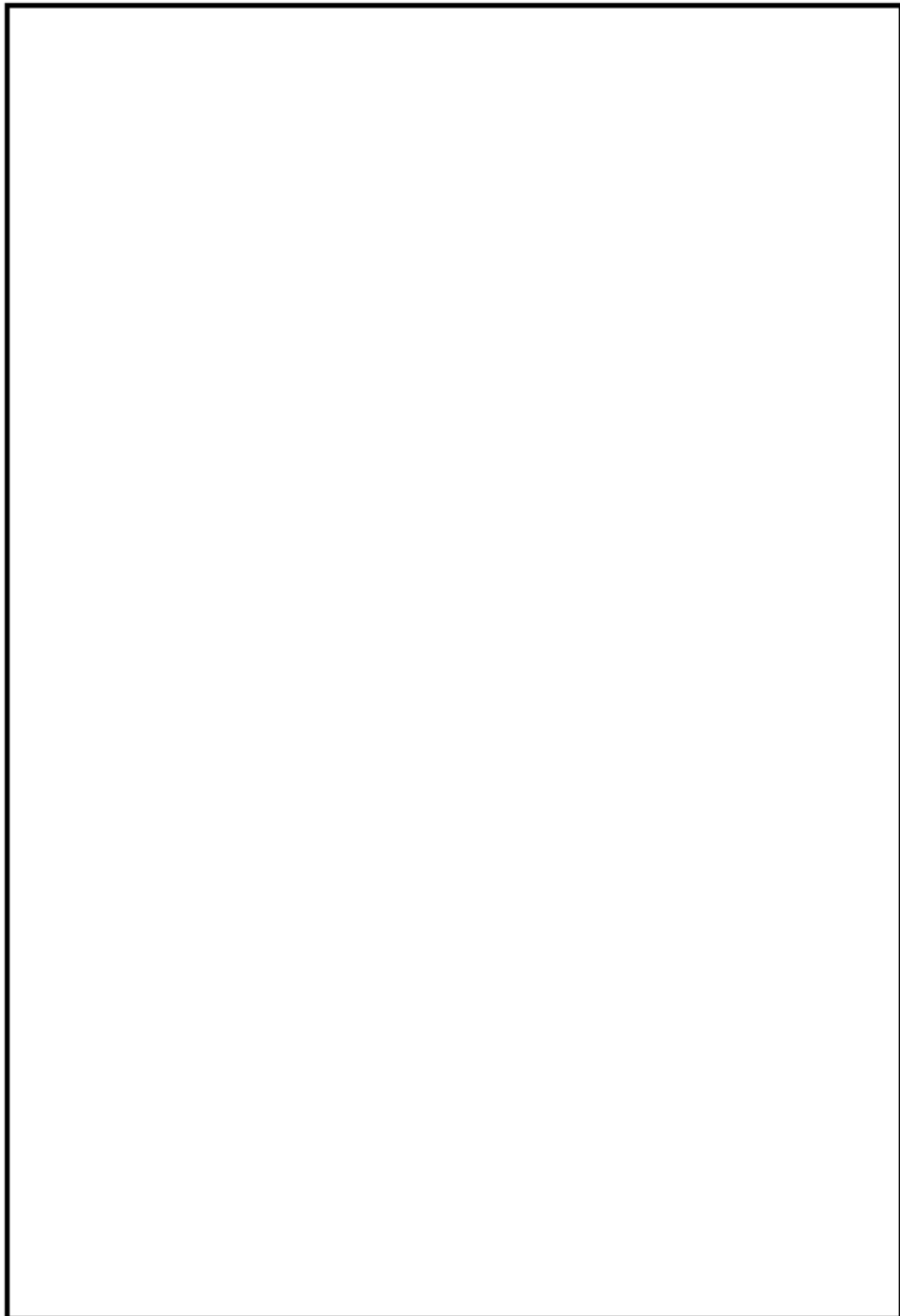
タイトル	加圧器スプレイ配管およびサージ配管の疲労累積係数の算出根拠について																		
説明	<p>加圧器スプレイ配管およびサージ配管の疲労累積係数の算出根拠を以下に示す。</p> <p>1. 解析モデル 疲労累積係数の算出に用いた解析情報を以下に示す。</p> <p>【通常疲労】</p> <table border="1"> <tr> <td>解析プログラム</td><td>(加圧器サージ配管) MSAP(配管) Ver. PC1.0 (加圧器スプレイ配管) MSAP(配管) Ver. PC1.0</td></tr> <tr> <td>要素種類</td><td></td></tr> <tr> <td>要素数</td><td></td></tr> <tr> <td>節点数</td><td></td></tr> </table> <p>【熱成層を考慮した環境疲労】</p> <table border="1"> <tr> <td>解析プログラム</td><td>(加圧器サージ配管) ANSYS Ver. 12.1 (加圧器スプレイ配管) ANSYS Ver. 12.0</td></tr> <tr> <td>要素種類</td><td></td></tr> <tr> <td>要素次数</td><td></td></tr> <tr> <td>要素数</td><td></td></tr> <tr> <td>節点数</td><td></td></tr> </table> <p>解析モデルを添付 1 に示す。</p>	解析プログラム	(加圧器サージ配管) MSAP(配管) Ver. PC1.0 (加圧器スプレイ配管) MSAP(配管) Ver. PC1.0	要素種類		要素数		節点数		解析プログラム	(加圧器サージ配管) ANSYS Ver. 12.1 (加圧器スプレイ配管) ANSYS Ver. 12.0	要素種類		要素次数		要素数		節点数	
解析プログラム	(加圧器サージ配管) MSAP(配管) Ver. PC1.0 (加圧器スプレイ配管) MSAP(配管) Ver. PC1.0																		
要素種類																			
要素数																			
節点数																			
解析プログラム	(加圧器サージ配管) ANSYS Ver. 12.1 (加圧器スプレイ配管) ANSYS Ver. 12.0																		
要素種類																			
要素次数																			
要素数																			
節点数																			

	<p>2. 材料物性 材料物性を以下に示す。</p> <table border="1"> <thead> <tr> <th>使用箇所</th><th>温度 (°C)</th><th>S_m (MPa)</th><th>使用材料</th></tr> </thead> <tbody> <tr> <td>加圧器サージ配管</td><td>360</td><td>113</td><td>SUS316TP、 SA376 TP316 (SUS316TP相当)</td></tr> <tr> <td>加圧器スプレイ配管</td><td>343</td><td>114</td><td>SUS316TP</td></tr> </tbody> </table>	使用箇所	温度 (°C)	S_m (MPa)	使用材料	加圧器サージ配管	360	113	SUS316TP、 SA376 TP316 (SUS316TP相当)	加圧器スプレイ配管	343	114	SUS316TP
使用箇所	温度 (°C)	S_m (MPa)	使用材料										
加圧器サージ配管	360	113	SUS316TP、 SA376 TP316 (SUS316TP相当)										
加圧器スプレイ配管	343	114	SUS316TP										
	<p>3. 最大評価点の選定 通常疲労における解析モデル上の評価点は、構造不連続部等の応力が大きくなる点を抽出しており、その中から疲労累積係数が最大となる点を選定している。解析モデル上の評価結果及び最大評価点の選定結果を、添付2に示す。 また、加圧器サージ配管およびスプレイ配管は、熱成層による影響を考慮しており、接液部位で、加圧器サージ配管および加圧器スプレイ配管とともに1次+2次+ピーク応力が最大となる点について、環境疲労評価を実施している。 解析モデル上の評価結果及び最大評価点の選定結果を、添付4に示す。</p>												
	<p>4. 応力分類 評価における荷重の組み合わせを以下に示す。また、応力評価フローを添付3に示す。</p> <table border="1"> <thead> <tr> <th>状態</th><th>荷重の組み合わせ</th></tr> </thead> <tbody> <tr> <td>供用状態A, B</td><td> <p>【通常疲労】 圧力+熱膨張荷重+熱過渡 【熱成層を考慮した環境疲労】 圧力+自重+熱膨張荷重+熱過渡</p> </td></tr> </tbody> </table>	状態	荷重の組み合わせ	供用状態A, B	<p>【通常疲労】 圧力+熱膨張荷重+熱過渡 【熱成層を考慮した環境疲労】 圧力+自重+熱膨張荷重+熱過渡</p>								
状態	荷重の組み合わせ												
供用状態A, B	<p>【通常疲労】 圧力+熱膨張荷重+熱過渡 【熱成層を考慮した環境疲労】 圧力+自重+熱膨張荷重+熱過渡</p>												
	<p>5. K_e係数 環境疲労評価において用いたK_e係数を添付4に示す。</p>												
	<p>6. 環境評価パラメータ 評価に用いた環境評価パラメータ（環境効果補正係数fen）を、添付4に示す。</p>												

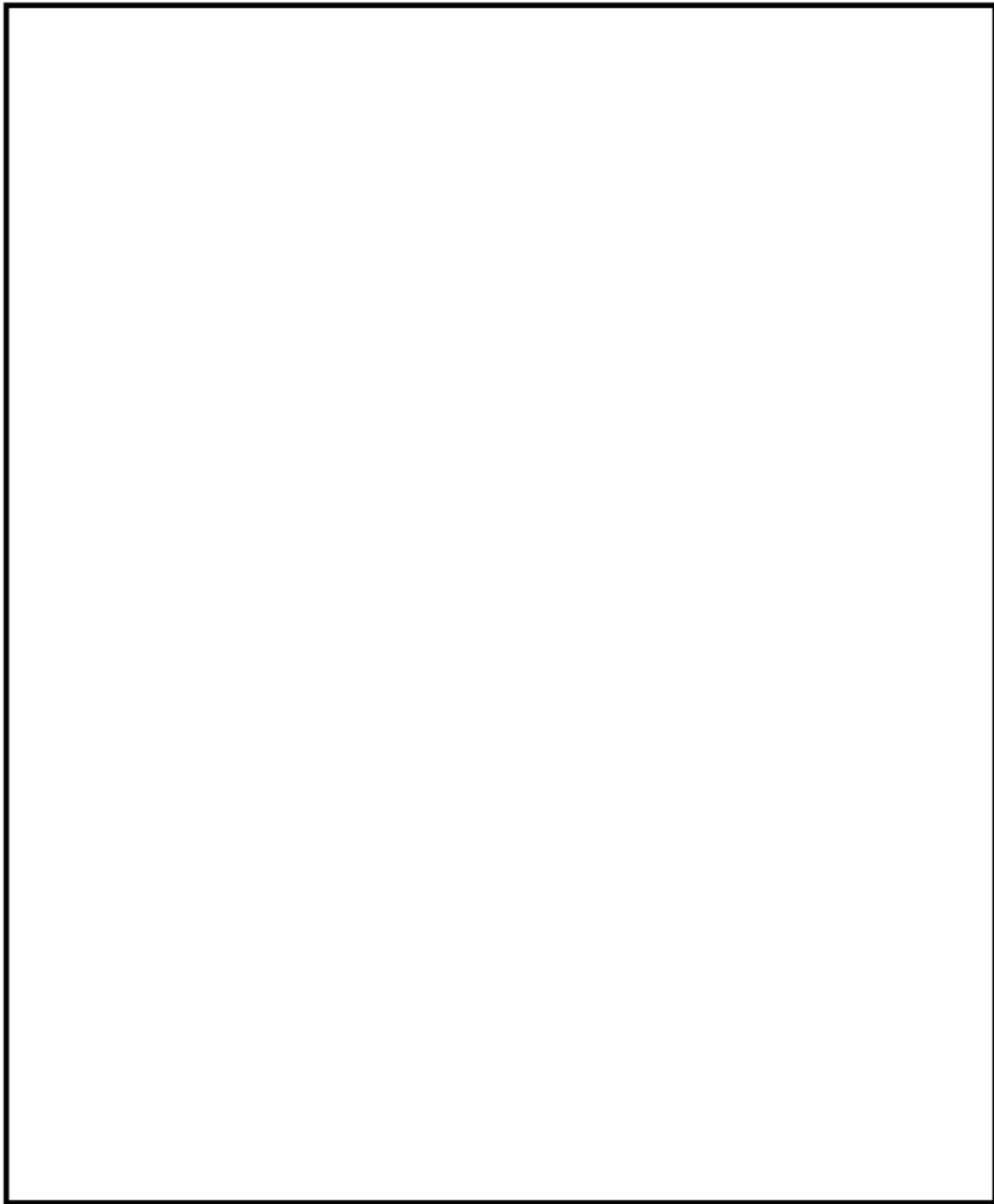
加圧器サージ配管 解析モデル (1 / 2)



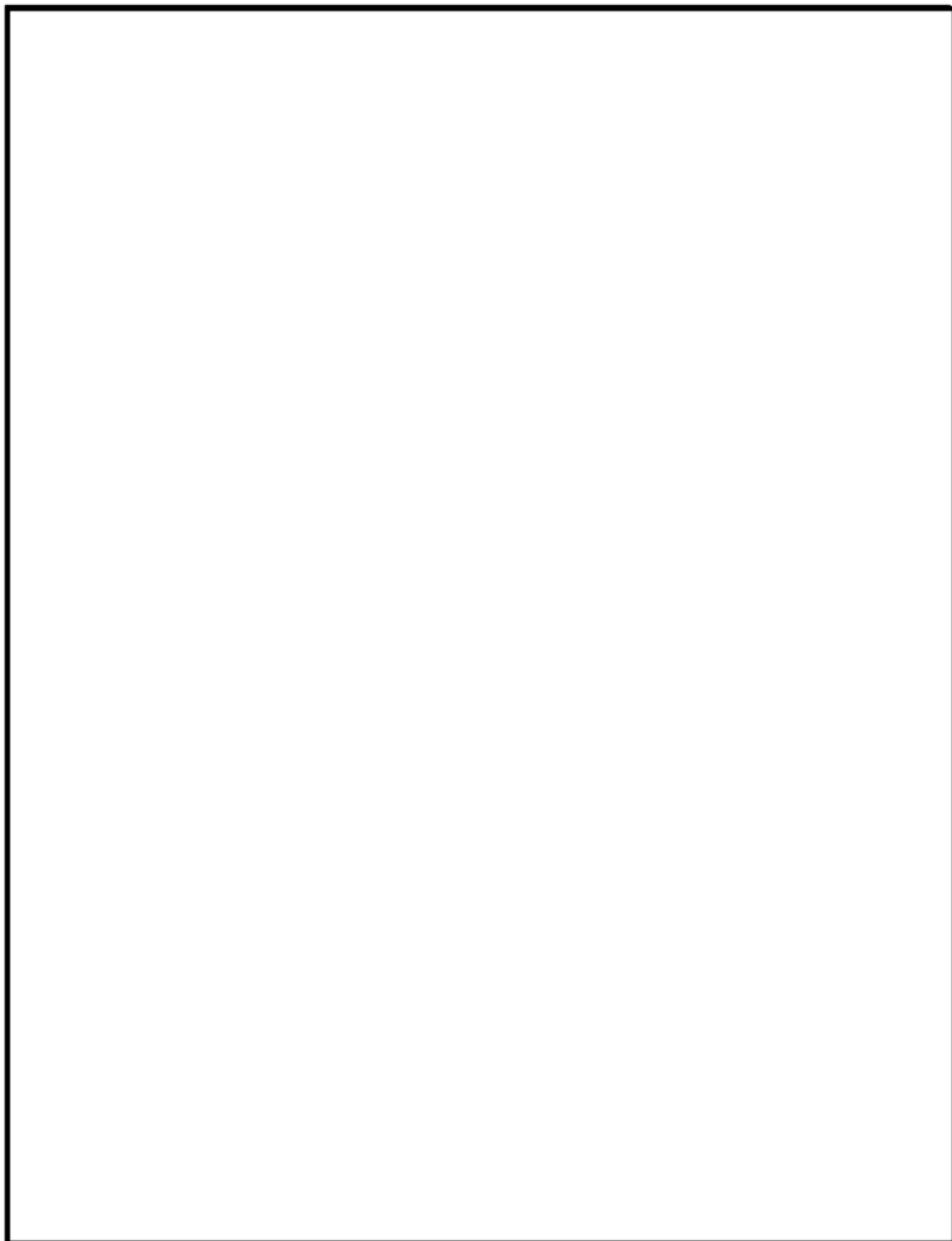
加圧器サージ配管 解析モデル (2 / 2)



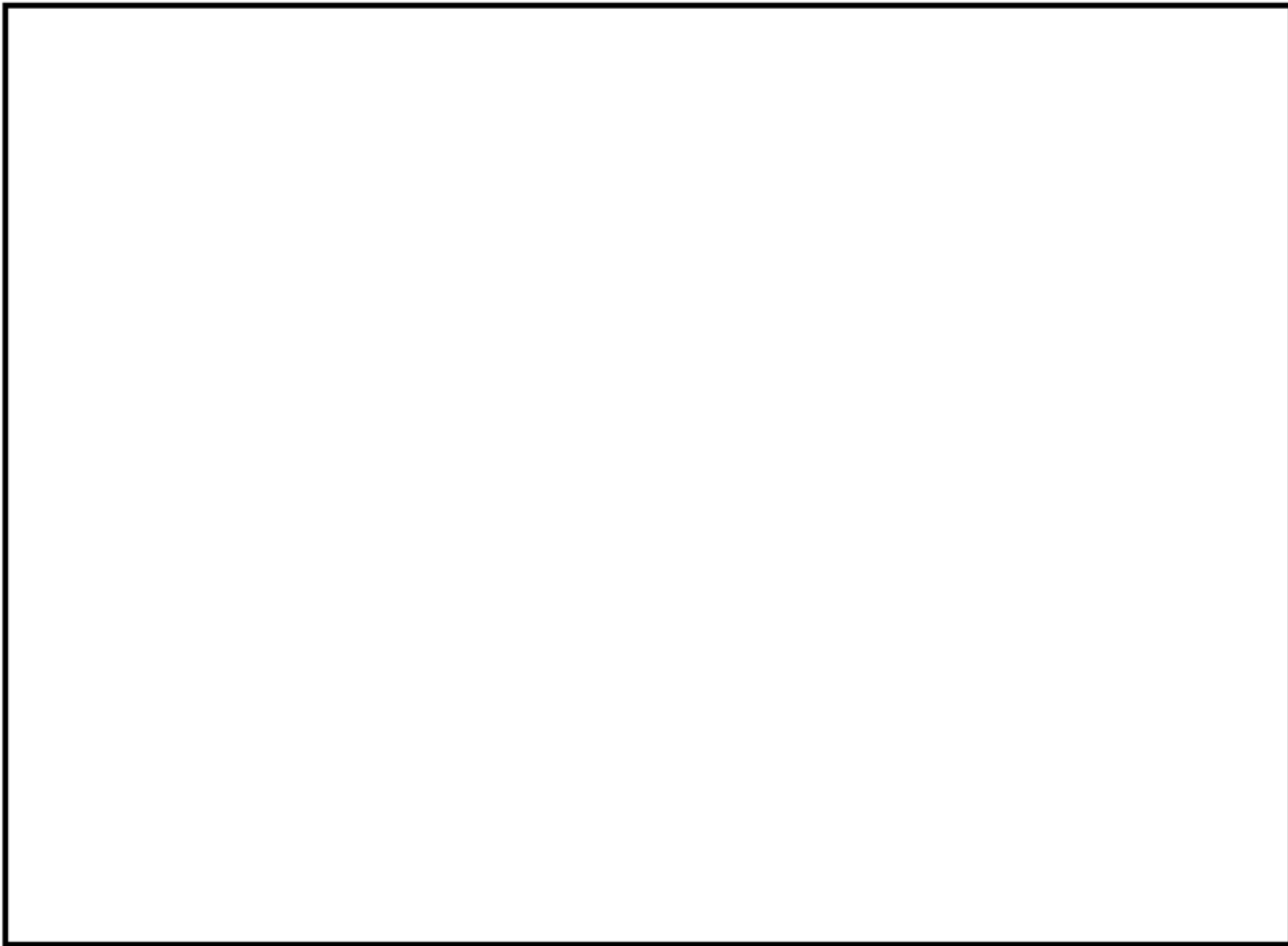
加圧器スプレイ配管 解析モデル (1 / 7)



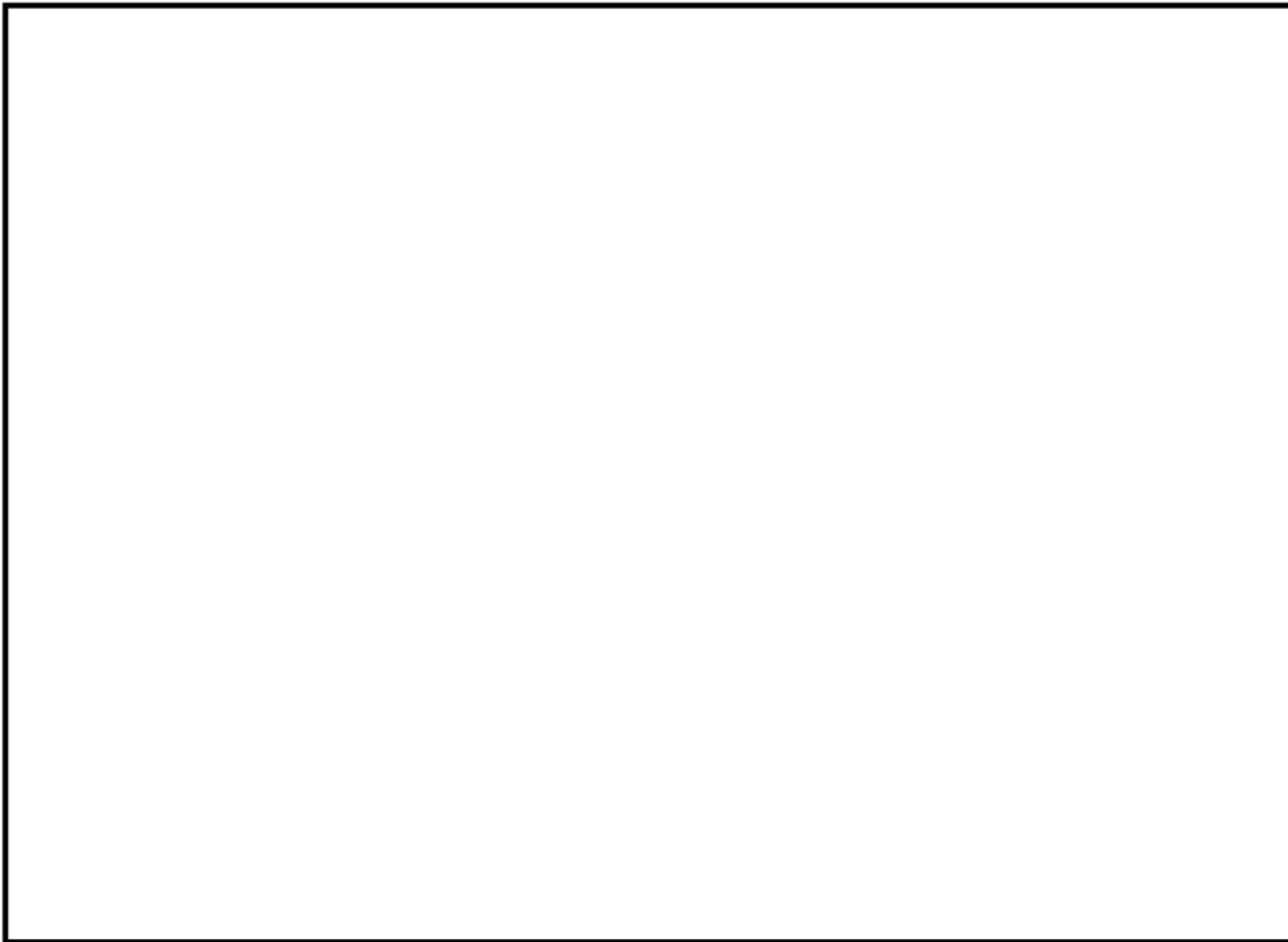
加圧器スプレイ配管 解析モデル (2 / 7)



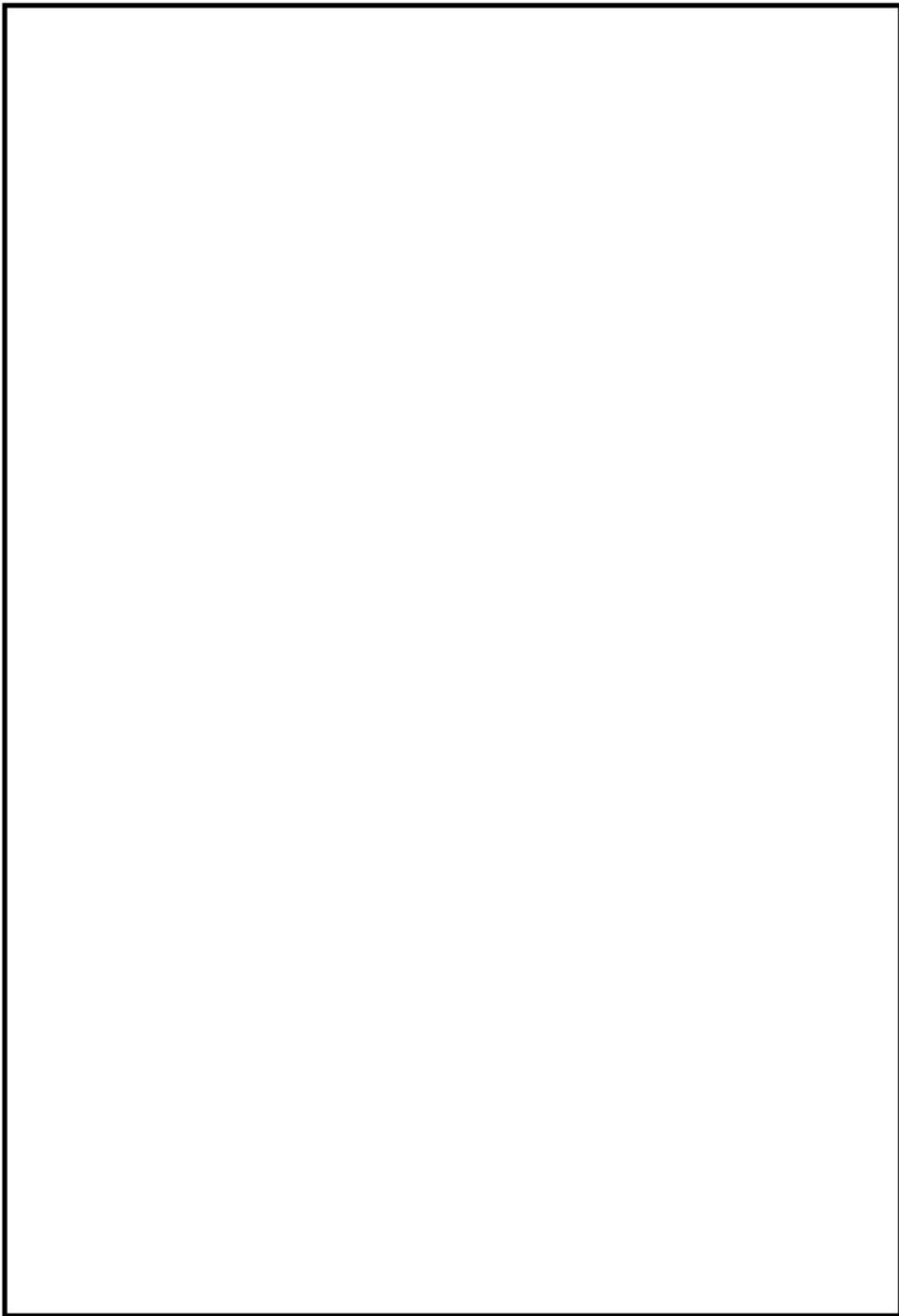
加圧器スプレイ配管 解析モデル (3 / 7)



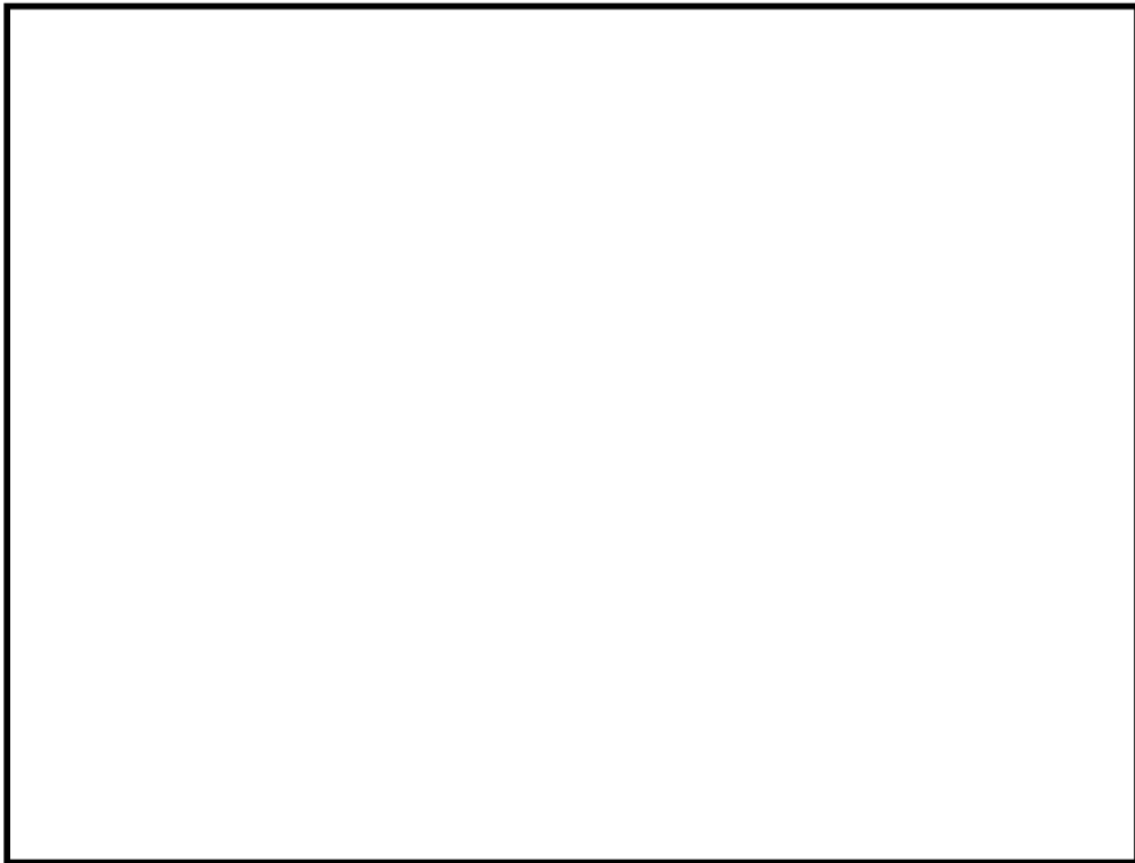
加圧器スプレイ配管 解析モデル (4 / 7)



加圧器スプレイ配管 解析モデル (5 / 7)



加圧器スプレイ配管 解析モデル (6 / 7)



加圧器スプレイ配管 解析モデル (7 / 7)

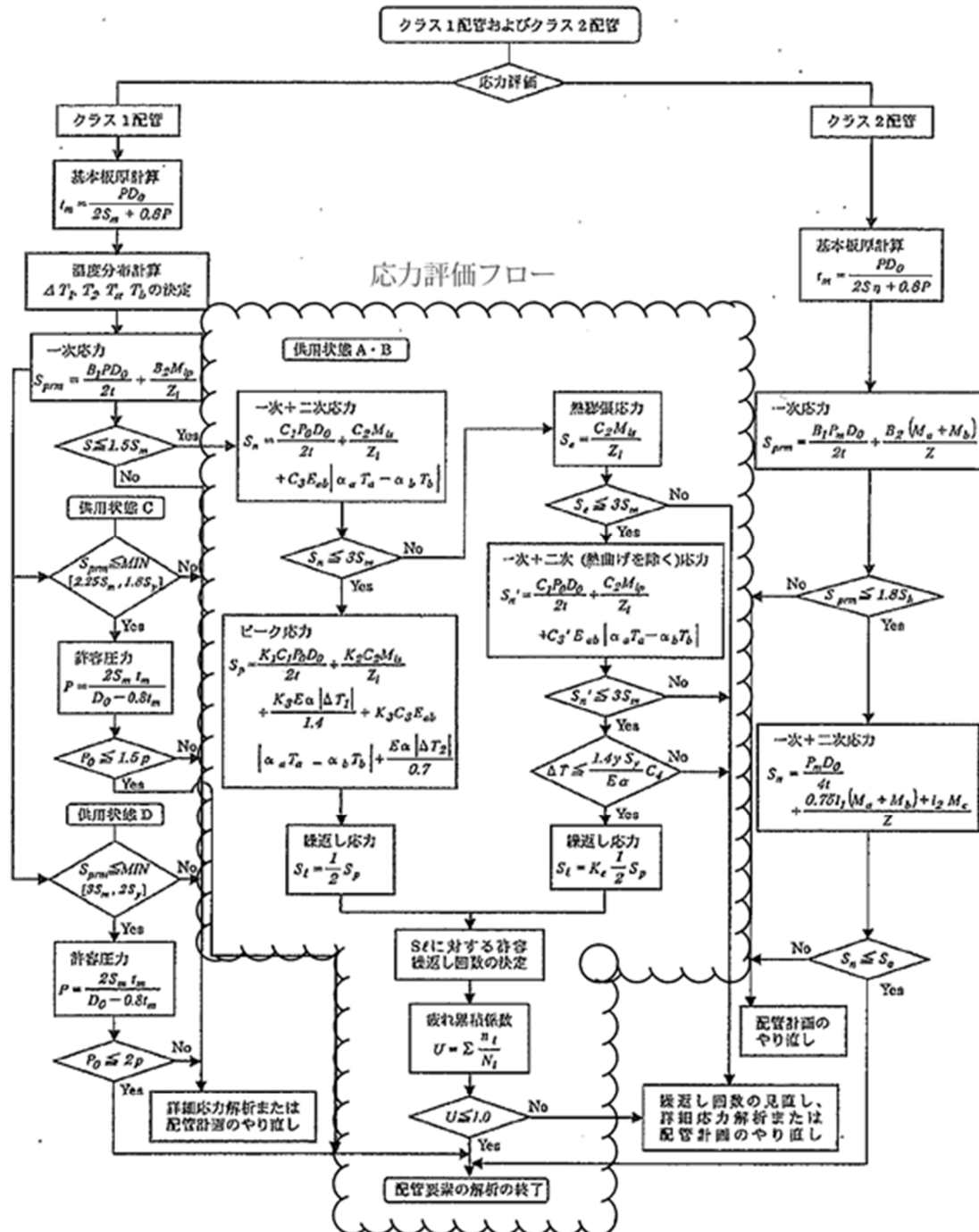
加圧器サージ配管 最大疲労評価点の選定

節点番号	圧力による応力 (MPa)	外荷重による応力 (MPa)	板厚方向線形温 度差による応力 (MPa)	構造上の不連続 による熱応力 (MPa)	板厚方向非線形 温度差による応力 (MPa)	ピーク 応力 (MPa)	繰返しピーク 応力強さ (MPa) (注)	疲労累積 係数	許容値
1001	27.1	14.4	287.3	0.0	196.9	526	297	0.00150	1.0
602	19.5	42.0	261.2	0.0	196.9	520	293	0.00136	
803	19.5	43.6	261.2	0.0	196.9	522	294	0.00141	
108	21.2	66.5	261.2	0.0	196.9	546	308	0.00251	
603	21.2	76.2	261.2	0.0	196.9	556	314	0.00307	
110	21.2	67.2	261.2	0.0	196.9	547	308	0.00253	
114	21.2	60.3	261.2	0.0	196.9	540	305	0.00220	
606	21.2	79.4	261.2	0.0	196.9	559	315	0.00331	
116	23.3	87.6	287.3	0.0	196.9	596	336	0.00517	
119	23.3	85.3	287.3	0.0	196.9	593	335	0.00495	
810	21.2	77.3	261.2	0.0	196.9	557	314	0.00315	
125	23.3	39.2	287.3	0.0	196.9	547	309	0.00198	
130	23.3	33.1	287.3	0.0	196.9	541	305	0.00174	
132	21.2	45.0	261.2	0.0	196.9	525	296	0.00157	
1002	27.1	96.4	287.3	0.0	196.9	608	343	0.00722	

加圧器スプレイ配管 最大評価点の選定

節点番号	圧力による応力(MPa)	外荷重による応力(MPa)	板厚方向線形温度差による応力(MPa)	構造上の不連続による熱応力(MPa)	板厚方向非線形温度差による応力(MPa)	ピーク応力(MPa)	繰返しピーク応力強さ(MPa)(注)	疲労累積係数	許容値
399	439.4	169.3	3.8	0.0	1.5	615	345	0.00413	1.0
4001	95.4	67.2	297.3	0.0	141.5	602	341	0.01048	
203	95.4	66.8	297.3	0.0	141.5	602	341	0.00998	
198	58.9	24.3	315.3	0.0	148.3	547	309	0.00618	
401	285.2	34.7	306.0	0.0	138.8	765	424	0.00551	
299	74.1	14.3	304.1	0.0	137.8	531	298	0.00011	
300	60.9	78.7	386.0	0.0	211.9	738	414	0.00070	
177	33.5	29.6	407.2	0.0	220.4	691	381	0.00027	
179	33.5	28.2	407.2	0.0	220.4	690	380	0.00027	
305	33.9	21.1	448.0	0.0	220.4	724	399	0.00021	
306	234.3	43.9	386.6	0.0	212.2	878	486	0.00354	
307	33.9	20.5	448.0	0.0	220.4	723	399	0.00020	
309	40.4	17.4	448.0	161.8	220.4	888	490	0.00047	
313	315.2	40.8	77.1	0.0	45.0	479	240	0.00135	
375	239.4	6.1	253.7	190.6	48.0	737	369	0.01068	

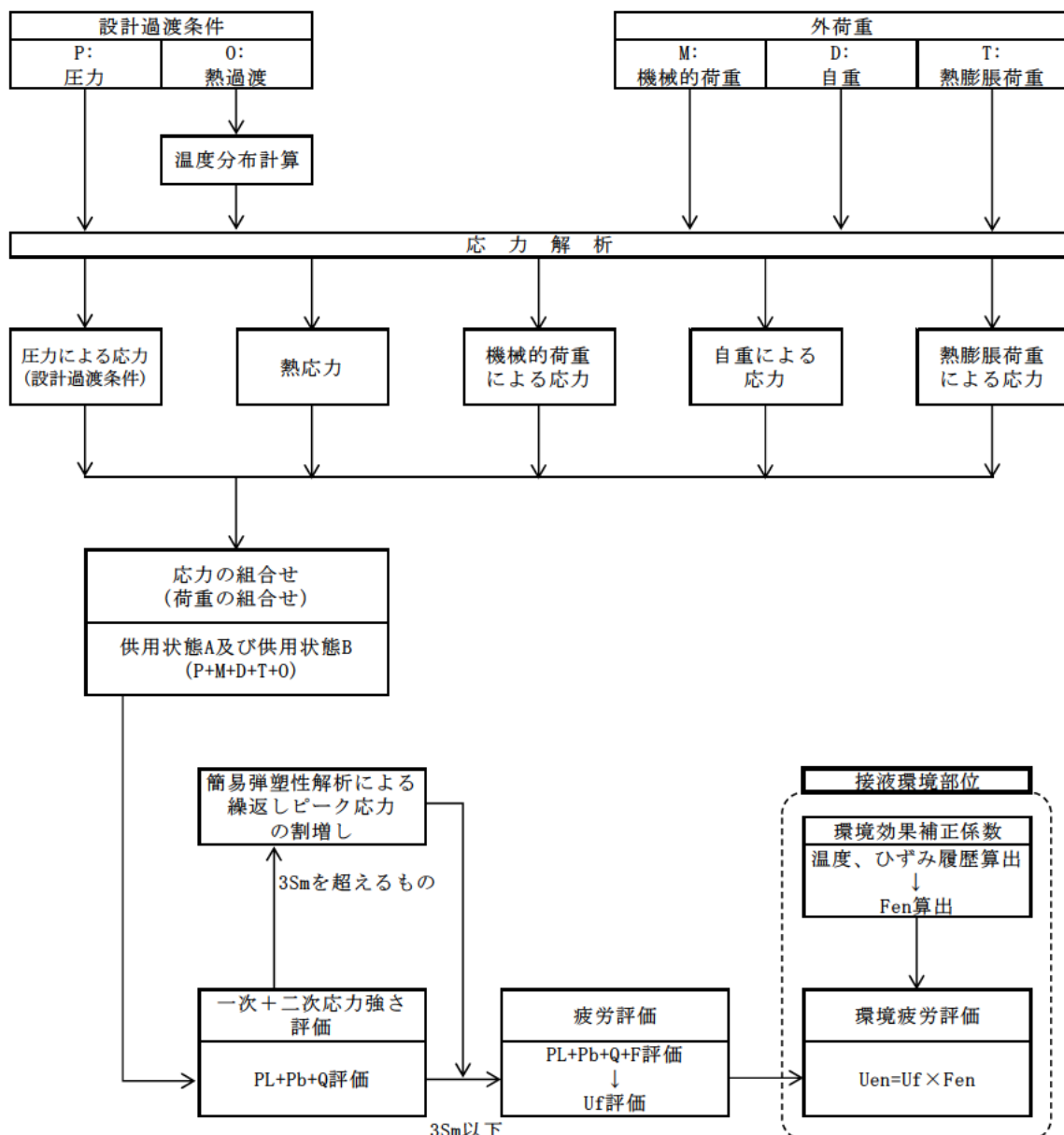
→通常UF : 0.011



(備考) クラス 2 配管の解析手順には管の機械的荷重により生じるモーメント M_b を含む場合
の式のみを記載した

解説図 PPB-3511-1 配管要素の解析手順

応力評価フローチャート (通常疲労)



応力評価フロー (熱成層を考慮した環境疲労)

K_e係数と環境疲労パラメータ（詳細評価手法）

【加圧器サージ配管】

過渡過渡 記号	応力強さ 記号	強さ(MPa) smax	割増 係数 ke	ピーカ応力 強さ(MPa) salt'	実過渡 回数 n	許容繰 返し回数 n*	疲労損 傷係数 u	環境効 果係数 fen	環境中疲労 損傷係数 uen
A	B	smin							
2D3	2D3	284.1	-318.4	1.80	463.5	2	88800	0.00022	12.078
ZG1	ZG1	253.2	-283.8	1.00	281.4	2	81900	0.00002	10.550
ZH1	1X1	200.3	-230.8	1.00	243.0	2	228000	0.00001	9.850
ZE1	1X1	187.7	-230.8	1.00	224.8	2	370000	0.00001	8.320
ZD2	1X1	138.8	-230.8	1.00	205.4	2	888000	0.00000	1.000
ZC1	1X1	128.0	-230.8	1.00	201.1	2	775000	0.00000	1.000
YZ2	ZH1	124.0	-230.8	1.00	189.8	2	808000	0.00000	1.000
YZ2	ZJ1	124.0	-229.6	1.00	199.3	3	828000	0.00000	1.000
YZ2	LJ1	124.0	-222.5	1.00	185.3	2	853000	0.00000	1.000
YZ2	LX1	124.0	-230.8	1.00	184.3	80	988000	0.00008	1.000
YZ2	LX2	124.0	-230.8	1.00	184.3	1	988000	0.00000	1.000
JJ1	LX2	112.8	-230.8	1.00	183.5	2	1000000	0.00000	1.000
ZD1	LX2	105.4	-230.8	1.00	189.5	5	1070000	0.00000	1.000
ZF1	LX2	103.1	-230.8	1.00	188.2	3	1100000	0.00000	1.000
ZG1	LX2	78.5	-230.8	1.00	174.3	4	1420000	0.00000	1.000
YZ4	LX2	82.3	-230.8	1.00	172.1	53	1480000	0.00004	1.000
ZA1	LX3	72.8	-228.2	1.00	170.5	8	1520000	0.00000	1.000
YZ4	LX3	83.3	-228.2	1.00	189.7	15	1550000	0.00001	1.000
ZJ1	LX3	69.3	-228.2	1.00	187.7	3	1810000	0.00000	1.000
JZ2	LX3	58.3	-228.2	1.00	181.5	6	1820000	0.00000	1.000
IX2	LX3	63.8	-228.2	1.00	159.9	38	1880000	0.00002	1.000
IX2	LX4	63.8	-228.2	1.00	169.8	30	1880000	0.00002	1.000
IX4	LX4	64.3	-228.2	1.00	159.3	38	1900000	0.00002	1.000
IX4	LX5	64.3	-220.0	1.00	154.8	30	2110000	0.00001	1.000
ZB1	LX5	50.4	-220.0	1.00	152.4	12	2270000	0.00001	1.000
YB6	LX5	58.0	-220.0	1.00	150.8	26	2390000	0.00001	1.000
YB6	LX6	58.0	-220.0	1.00	150.8	42	2390000	0.00002	1.000
YB8	LX8	58.8	-220.0	1.00	149.8	28	2440000	0.00001	1.000
YB8	LJ2	58.8	-208.1	1.00	148.2	6	2560000	0.00000	1.000
YB8	ZE1	58.8	-204.4	1.00	147.2	2	2840000	0.00000	1.000
YB8	LW5	58.8	-208.1	1.00	145.7	34	2760000	0.00001	1.000
I22	LW5	40.8	-208.1	1.00	138.8	34	3620000	0.00001	1.000
I22	LW6	40.8	-208.1	1.00	138.8	34	3620000	0.00001	1.000
IWB	LW8	40.5	-208.1	1.00	138.8	34	3840000	0.00001	1.000
IWB	LV3	40.5	-198.8	1.00	134.5	34	3800000	0.00001	1.000
IV4	LV3	33.9	-199.8	1.00	130.8	34	4400000	0.00001	1.000
IV4	LV4	33.9	-199.8	1.00	130.8	34	4400000	0.00001	1.000
IV4	LV4	25.8	-199.8	1.00	128.3	34	5160000	0.00001	1.000
IV4	2D2	25.8	-198.9	1.00	125.5	2	5360000	0.00000	1.000
IV4	LW3	25.8	-190.8	1.00	121.3	32	6560000	0.00000	1.000
IV2	LW3	25.8	-190.8	1.00	121.2	38	6580000	0.00001	1.000
IV2	LW4	25.8	-190.8	1.00	121.2	32	6590000	0.00000	1.000
I24	LW4	25.2	-180.8	1.00	121.0	38	6860000	0.00001	1.000
I24	LG1	25.2	-189.3	1.00	120.8	4	6880000	0.00000	1.000
I24	2C1	25.2	-189.0	1.00	120.7	2	6760000	0.00000	1.000
I24	LY1	25.2	-189.0	1.00	119.8	26	7080000	0.00000	1.000
I28	LY2	17.8	-189.0	1.00	115.8	68	8780000	0.00001	1.000
IV8	LY1	12.7	-189.9	1.00	114.2	42	9390000	0.00000	1.000
IV8	LD1	12.7	-181.1	1.00	109.2	28	13800000	0.00000	1.000
IW2	LD1	12.7	-181.1	1.00	109.2	68	13800000	0.00000	1.000
IU6	LD1	12.4	-181.1	1.00	109.1	68	13900000	0.00000	1.000
ID1	LD1	11.3	-181.1	1.00	108.4	1418	14800000	0.00000	1.000
ID1	2D1	11.3	-180.8	1.00	108.1	5	15100000	0.00000	1.000
ID1	IC1	11.3	-180.5	1.00	108.1	157	15100000	0.00001	1.000
IE1	IC1	5.5	-180.5	1.00	104.8	8	20800000	0.00000	1.000
IU4	IC1	5.4	-180.5	1.00	104.7	68	20900000	0.00000	1.000
ZI1	IC1	0.8	-180.5	1.00	102.2	63	30400000	0.00000	1.000
IV1	IC1	-3.8	-180.5	1.00	98.8	68	45500000	0.00000	1.000
IV3	IC1	-5.9	-180.5	1.00	98.4	68	61400000	0.00000	1.000
IC1	IC1	-8.7	-180.5	1.00	98.0	371	70500000	0.00001	1.000
IC1	2F1	-8.7	-179.7	1.00	97.5	3	83800000	0.00000	1.000
IC1	IV5	-8.7	-174.8	1.00	94.8	68	48800000000	0.00000	1.000
IC1	IV8	-8.7	-174.8	1.00	94.8	68	48800000000	0.00000	1.000
IC1	IW1	-8.7	-174.8	1.00	94.8	68	49800000000	0.00000	1.000
IC1	IW2	-8.7	-174.8	1.00	94.8	68	48800000000	0.00000	1.000
IC1	10B	-8.7	-172.9	1.00	93.7	68	-----	0.00000	1.000

total 0.00078 0.00360

(注) ひずみ振幅≤0.110% (salt'≤214.5) の場合、fen=1.0

→環境UF : 0.004

【加圧器スプレイ配管（評価点A）】

過渡条件 記号	一次+二次+ ピーク応力強さ	割り増し 係数	繰返しピーク 応力強さ	実過渡 回数	許容繰返し 回数	疲労累積係数	環境効果 補正係数	環境効果を考慮した 疲労累積係数		
A	B	smax	smin	KE	salt'	n	n*	u	fan	uen
2E2	2E2	400.9	-761.4	2.30	1484.8	2	186	0.01205	7.987	0.09823
1B7	1B8	204.3	-622.3	1.80	699.1	88	1720	0.03953	4.531	0.17913
1B6	2G1	181.8	-467.9	1.40	522.8	2	5050	0.00040	5.382	0.00213
1B6	1A6	181.8	-470.7	1.40	519.9	88	5180	0.01279	5.350	0.06843
1B8	1A6	185.2	-470.7	1.40	489.2	2	8590	0.00030	4.489	0.00136
1B8	1A7	185.2	-450.5	1.40	470.0	88	7740	0.00953	4.304	0.03670
1B5	1A7	149.7	-450.5	1.30	448.8	2	8810	0.00021	5.698	0.00122
1B5	1B2	149.7	-449.7	1.30	447.9	88	8990	0.00703	5.700	0.04006
1A3	1B2	129.1	-449.7	1.30	424.8	2	12000	0.00017	5.254	0.00088
1B8	1B3	122.5	-421.8	1.30	381.3	88	20400	0.00833	3.842	0.01114
1A4	1B9	124.6	-460.3	1.00	320.4	88	48900	0.00138	5.042	0.00701
1A3	2A1	129.1	-408.1	1.00	302.8	8	68400	0.00008	5.353	0.00048
1A3	2H1	129.1	-403.4	1.00	300.1	2	69800	0.00003	5.383	0.00015
1A3	1G1	129.1	-400.8	1.00	298.5	4	71800	0.00008	5.401	0.00080
1A3	1A5	129.1	-405.7	1.00	297.9	54	72800	0.00074	5.311	0.00895
1B4	1A5	95.6	-405.7	1.00	279.3	14	103000	0.00014	3.265	0.00044
1B4	1J1	95.6	-399.5	1.00	279.0	2	104000	0.00002	3.353	0.00006
1B4	1F1	95.6	-398.6	1.00	278.5	8	105000	0.00008	3.353	0.00018
1B4	1E1	95.6	-398.4	1.00	278.4	8	105000	0.00008	3.402	0.00019
1B4	1C1	95.6	-398.3	1.00	278.3	40	105000	0.00088	3.393	0.00129
1B4	1C1	78.2	-398.3	1.00	268.8	88	128000	0.00053	6.807	0.00387
1BB	1C1	71.7	-398.3	1.00	264.9	88	138000	0.00048	3.286	0.00182
1B2	1C1	80.4	-398.3	1.00	258.5	88	158000	0.00043	3.337	0.00144
1A5	1D1	58.8	-398.3	1.00	257.7	88	181000	0.00042	8.271	0.00349
1A2	1C1	32.1	-398.3	1.00	242.6	88	228000	0.00030	4.263	0.00127
1BD	1C1	26.5	-398.3	1.00	239.4	88	249000	0.00027	3.081	0.00084
1B3	1D1	16.2	-398.3	1.00	233.8	88	290000	0.00023	8.508	0.00200
1A6	1D1	4.0	-398.3	1.00	226.8	88	348000	0.00020	9.594	0.00187
1A1	1D1	0.0	-398.3	1.00	224.5	88	371000	0.00018	7.075	0.00130
2G1	1C1	-27.7	-398.3	1.00	208.9	2	592000	0.00000	1.000	0.00000
1I1	1C1	-31.4	-398.3	1.00	206.8	418	638000	0.00068	1.000	0.00086
1I1	1D1	-31.4	-398.3	1.00	206.8	455	638000	0.00072	1.000	0.00072
1I1	1II	-31.4	-398.3	1.00	206.7	2028	638000	0.00318	1.000	0.00318

添付4 (3 / 3)

1J2 1I1 -32.5 -398.3 1.00 206.1 2 852000 0.00000 1.00 0.00000										
1E1 1I1 -32.6 -398.3 1.00 206.1 6 852000 0.00001 1.00 0.00001										
2H1 1I1 -33.4 -398.3 1.00 205.7 2 861000 0.00000 1.00 0.00000										
1C1 1I1 -38.8 -398.3 1.00 203.0 801 751000 0.00107 1.00 0.00107										
1J1 1I1 -40.4 -398.3 1.00 201.7 2 758000 0.00000 1.00 0.00000										
1D1 1I1 -40.6 -398.3 1.00 201.6 61 762000 0.00008 1.00 0.00008										
1D1 1J2 -40.6 -398.2 1.00 201.5 2 764000 0.00000 1.00 0.00000										
1D1 2C1 -40.6 -397.9 1.00 201.4 2 787000 0.00000 1.00 0.00000										
1D1 1B4 -40.6 -371.6 1.00 186.8 68 1180000 0.00008 1.00 0.00008										
1D1 1B4 -40.6 -362.3 1.00 181.3 68 1240000 0.00006 1.00 0.00005										
1D1 1B5 -40.6 -328.2 1.00 182.1 68 1800000 0.00004 1.00 0.00004										
1D1 1A1 -40.6 -304.4 1.00 148.6 68 2530000 0.00003 1.00 0.00003										
1D1 1B5 -40.6 -297.5 1.00 144.8 68 2830000 0.00002 1.00 0.00002										
1D1 2J1 -40.6 -290.4 1.00 140.8 3 3200000 0.00000 1.00 0.00000										
1D1 2J1 -40.6 -288.0 1.00 139.4 3 3340000 0.00000 1.00 0.00000										
1D1 1A4 -40.6 -285.9 1.00 138.3 68 3450000 0.00002 1.00 0.00002										
1D1 1B6 -40.6 -272.1 1.00 130.5 68 4440000 0.00002 1.00 0.00002										
1D1 2B1 -40.6 -267.2 1.00 127.7 4 4880000 0.00000 1.00 0.00000										
1D1 1B7 -40.6 -259.8 1.00 123.5 68 5900000 0.00001 1.00 0.00001										
1D1 2D1 -40.6 -258.7 1.00 122.8 5 6070000 0.00000 1.00 0.00000										
1D1 2D2 -40.6 -258.7 1.00 122.8 2 6070000 0.00000 1.00 0.00000										
1D1 2D3 -40.6 -258.7 1.00 122.8 2 6070000 0.00000 1.00 0.00000										
1D1 2E1 -40.6 -258.7 1.00 122.8 2 6070000 0.00000 1.00 0.00000										
1D1 2F1 -40.6 -258.7 1.00 122.8 3 6070000 0.00000 1.00 0.00000										
1D1 2B1 -40.6 -255.5 1.00 121.1 4 6830000 0.00000 1.00 0.00000										
1D1 2D1 -40.6 -248.0 1.00 116.9 5 8170000 0.00000 1.00 0.00000										
1D1 2D3 -40.6 -241.0 1.00 112.9 2 10000000 0.00000 1.00 0.00000										
1D1 1B4 -40.6 -237.5 1.00 111.0 68 11800000 0.00001 1.00 0.00001										
1D1 2D2 -40.6 -236.9 1.00 110.6 2 12200000 0.00000 1.00 0.00000										
1D1 2F1 -40.6 -236.9 1.00 110.6 3 12200000 0.00000 1.00 0.00000										
1D1 1B5 -40.6 -226.2 1.00 104.6 68 21200000 0.00000 1.00 0.00000										
1D1 2I1 -40.6 -223.9 1.00 103.3 5 25700000 0.00000 1.00 0.00000										
1G1 2I1 -41.3 -223.9 1.00 102.8 4 27300000 0.00000 1.00 0.00000										
1B2 2I1 -44.0 -223.9 1.00 101.4 54 34400000 0.00000 1.00 0.00000										
1B2 1A3 -44.0 -215.6 1.00 96.8 14 158000000 0.00000 1.00 0.00000										
1A7 1A3 -44.2 -215.6 1.00 96.8 54 250000000 0.00000 1.00 0.00000										
1A7 2E1 -44.2 -203.3 1.00 89.7 2 ----- 0.00000 1.00 0.00000										
								合計：	0.47557	

→環境UF : 0.476

タイトル	1次冷却材管の疲労累積係数の算出根拠について																													
説明	<p>1次冷却材管の疲労累積係数の算出根拠は以下の通りである。</p> <p>【ホットレグ、クロスオーバレグ、コールドレグ】</p> <p>1. 解析モデル 疲労累積係数の算出に用いた解析情報を以下に示す。</p> <p><配管荷重の算出></p> <table border="1"> <tr> <td>解析プログラム</td> <td>MSAP</td> </tr> <tr> <td>要素種類</td> <td></td> </tr> </table> <p><温度分布の算出※></p> <table border="1"> <tr> <td>解析プログラム</td> <td>ABAQUS Ver. 6.3</td> </tr> <tr> <td>要素種類</td> <td></td> </tr> <tr> <td>要素次数</td> <td></td> </tr> <tr> <td>要素数</td> <td></td> </tr> <tr> <td>節点数</td> <td></td> </tr> </table> <p>※ホットレグ、クロスオーバレグ、コールドレグの評価点には1次冷却材ポンプの取合部やエルボの外面テーパ部等の構造不連続部が多数あるため、2次元FEM解析にて温度分布を計算している。算出した温度分布は、ピーク応力のうち、板厚内の温度分布による応力のパラメータに用いられる。なお、梁モデルは外荷重による応力算出に用いられる。</p> <p>2. 材料物性 材料物性値を以下に示す。</p> <table border="1"> <thead> <tr> <th>材料</th> <th>温度 (°C)</th> <th>Sm (MPa)</th> <th>使用箇所</th> </tr> </thead> <tbody> <tr> <td>SUSF316</td> <td>321.1</td> <td>117</td> <td>ホットレグ</td> </tr> <tr> <td rowspan="2">SA-351 Gr. CF8M (SCS14A相当)</td> <td>321.1</td> <td>117</td> <td>ホットレグ</td> </tr> <tr> <td>283.6</td> <td>122</td> <td>クロスオーバレグ コールドレグ</td> </tr> </tbody> </table>	解析プログラム	MSAP	要素種類		解析プログラム	ABAQUS Ver. 6.3	要素種類		要素次数		要素数		節点数		材料	温度 (°C)	Sm (MPa)	使用箇所	SUSF316	321.1	117	ホットレグ	SA-351 Gr. CF8M (SCS14A相当)	321.1	117	ホットレグ	283.6	122	クロスオーバレグ コールドレグ
解析プログラム	MSAP																													
要素種類																														
解析プログラム	ABAQUS Ver. 6.3																													
要素種類																														
要素次数																														
要素数																														
節点数																														
材料	温度 (°C)	Sm (MPa)	使用箇所																											
SUSF316	321.1	117	ホットレグ																											
SA-351 Gr. CF8M (SCS14A相当)	321.1	117	ホットレグ																											
	283.6	122	クロスオーバレグ コールドレグ																											

3. 最大評価点の選定

解析モデル上の評価点は構造不連続部等において応力が大きくなる点を抽出しており、その中から疲労累積係数が最大となる点を選定している。

解析モデル上の評価点および最大評価点の選定結果を添付 1 に示す。

4. 応力分類

評価における荷重の組み合わせを以下に示す。また、応力評価のフローを添付 2 に示す。

状態	荷重の組み合わせ
供用状態 A、B	圧力+機械的荷重+配管の熱膨張荷重+熱過渡

5. K_e 係数

評価に用いた K_e 係数を添付 3 に示す。

6. 環境評価パラメータ

評価に用いた環境評価パラメータ（環境効果補正係数 f_{en} ）を、添付 3 に示す。

【管台】

1. 解析モデル

疲労累積係数の算出に用いた解析情報を以下に示す。

<配管荷重の算出>

解析プログラム	MSAP
要素種類	

<応力の算出>

解析プログラム	(加圧器サージライン用管台) ABAQUS Ver. 2018 (蓄圧タンク注入ライン管台、余熱除去系戻りおよび安全注入管台、充てんライン用管台) ABAQUS Ver. 6.3
要素種類	
要素次数	
要素数	
節点数	

2. 材料物性

材料物性値を以下に示す。

材料	温度 (°C)	Sm (MPa)	使用箇所
SA182 Gr. F316 (SUSF316相当)	321.1	117	加圧器サージライン用管台
	283.6	120	余熱除去系戻りおよび安全注入管台
SA351 Gr. CF8M (SCS14A相当)	283.6	122	充てんライン用管台、蓄圧タンク注入ライン管台、

3. 最大評価点の選定

解析モデル上の評価点は、構造不連続部において応力が大きくなる評価断面を抽出しており、その中から疲労累積係数が最大となる点を選定している。

解析モデル上の評価点および最大評価点の選定結果を添付 4 に示す。

4. 応力分類

評価における荷重の組み合わせを以下に示す。また、応力評価のフローを添付 5 に示す。

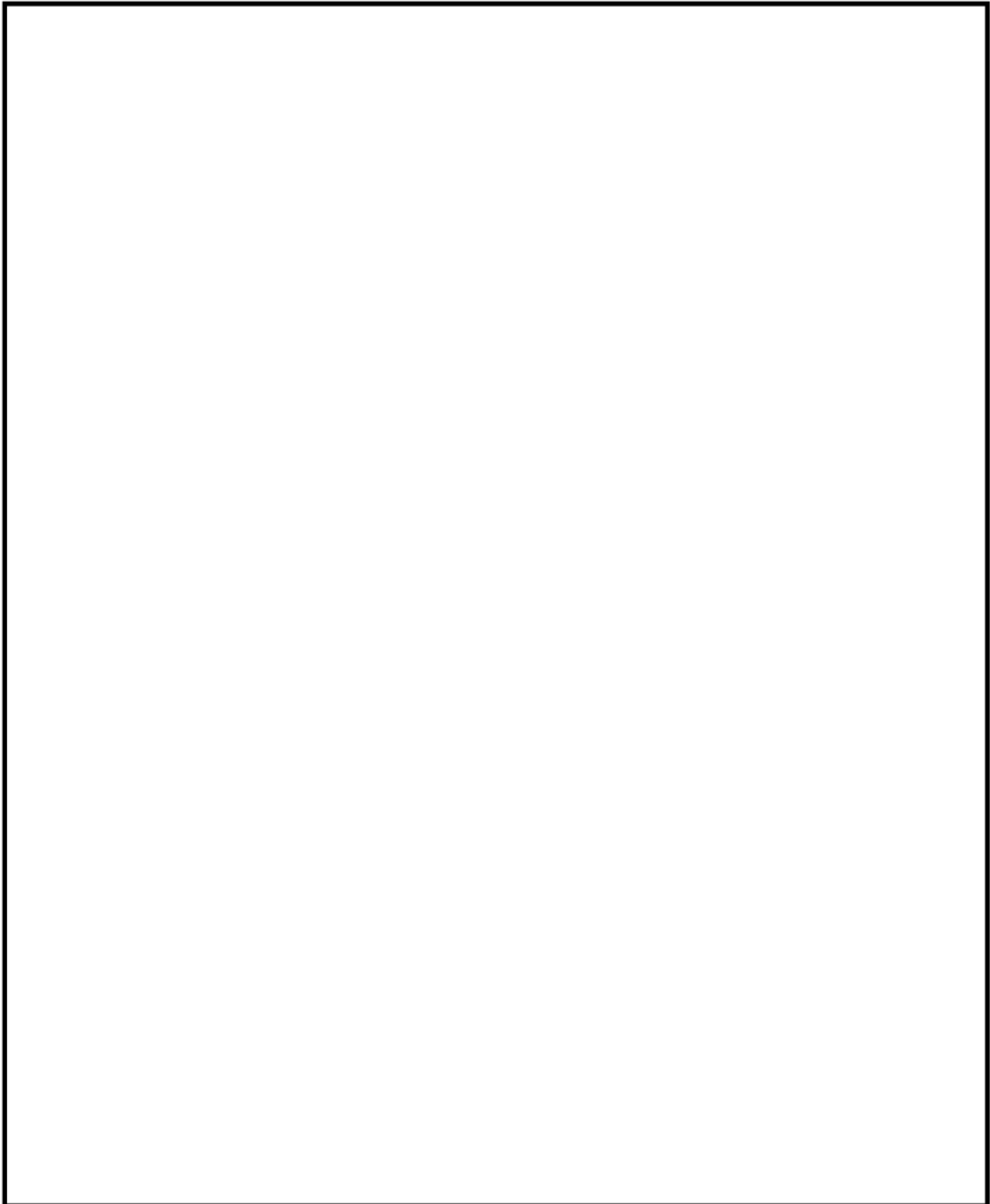
状態	荷重の組み合わせ
供用状態 A、B	圧力+機械的荷重+自重+熱膨張荷重+熱過渡

5. K_e 係数

評価に用いた K_e 係数を添付 6 に示す。

6. 環境評価パラメータ

評価に用いた環境評価パラメータ（環境効果補正係数fen）を、添付 6 に示す。



1 次冷却材管 形状および評価点

1次冷却材管 最大疲労評価点の選定 (1／2)

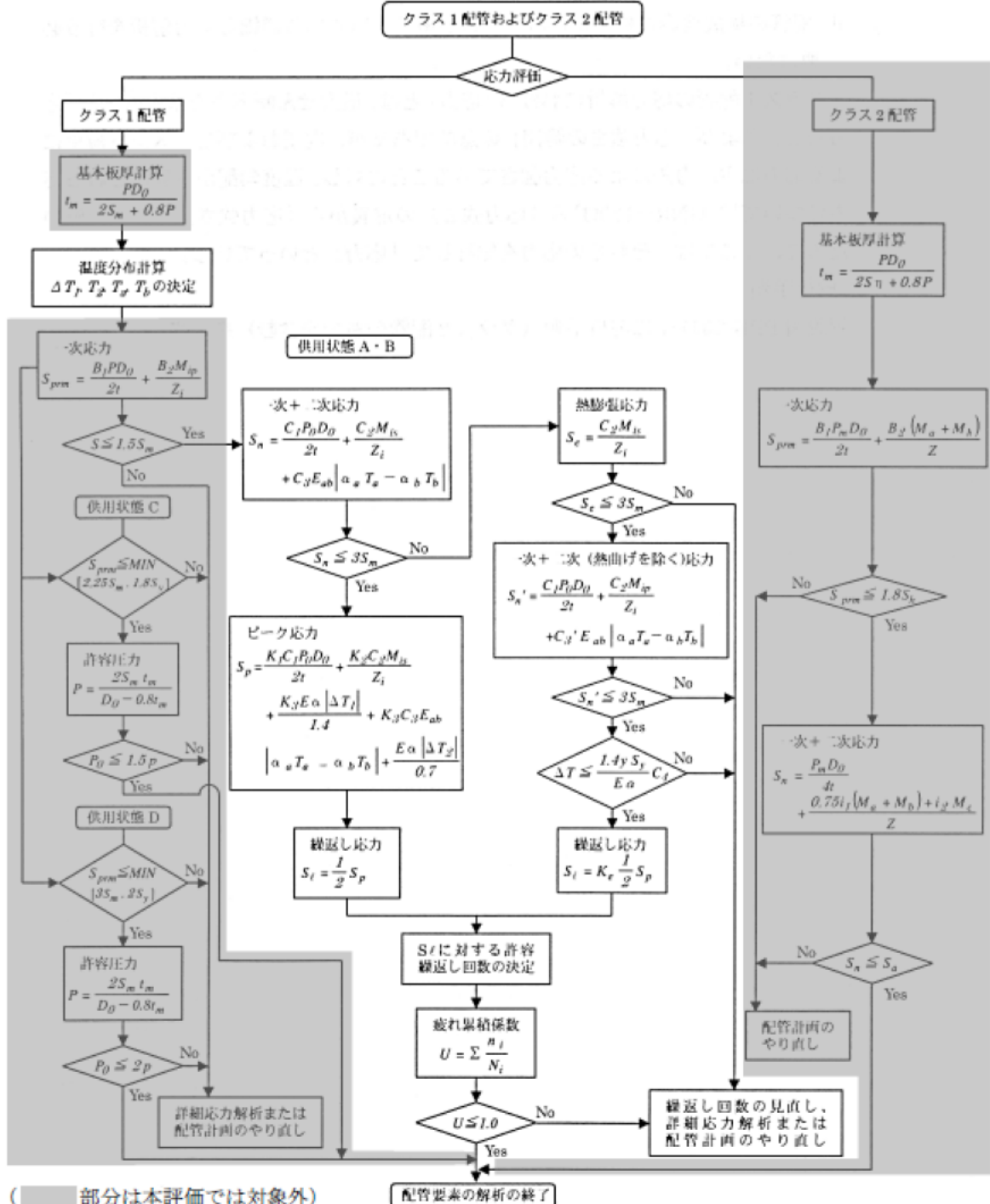
評価部位	節点番号	王方による応力(MPa)	外荷重による応力(MPa)	板厚方向線形温度差による応力(MPa)	構造上の不連続による熱応力(MPa)	板厚方向非線形温度差による応力(MPa)	ピーク応力Sp(MPa)	繰返しピーク応力強さALT(MPa)	繰返しピーク応力強さALT(MPa)	疲労累積係数	許容値
ホットレグ	107	90.4	20.3	194.8	0.0	121.6	427.2	213.6	239.4	0.00009	1.0
	109	82.2	5.1	177.1	0.0	121.6	386.0	193.0	216.3	0.00002	
	111	90.4	9.3	194.8	0.0	121.6	416.2	208.1	233.2	0.00004	
	112	102.9	27.2	186.9	49.0	121.8	487.8	243.9	273.3	0.00022	
	113	97.5	26.2	207.2	0.0	127.4	458.1	229.1	256.7	0.00019	
	114	105.0	34.0	194.4	47.5	121.9	502.8	251.4	281.7	0.00035	
	115	129.6	120.5	97.4	0.0	121.6	469.1	234.5	262.8	0.00021	
	117	90.3	12.9	201.6	0.0	121.6	426.5	213.2	239.0	0.00007	
クロスオーバーレグ	141	97.3	3.4	114.4	0.0	43.0	258.1	129.0	142.2	0.00001	1.0
	142	139.6	38.5	62.4	24.9	43.0	308.4	154.2	169.9	0.00008	
	143	131.9	28.3	78.5	0.0	47.5	286.2	143.1	157.7	0.00006	
	145	139.6	31.6	62.4	24.9	43.0	301.4	150.7	166.1	0.00007	
	147	97.3	2.7	114.4	0.0	43.0	257.4	128.7	141.8	0.00001	
	149	88.5	2.2	104.0	0.0	43.0	237.6	118.8	130.9	0.00000	
	151	97.3	2.4	114.4	0.0	43.0	257.1	128.6	141.6	0.00001	
	152	110.5	6.6	107.5	25.6	43.0	293.1	146.6	161.5	0.00006	

→ ホットレグ 通常UF : 0.001

1次冷却材管 最大疲労評価点の選定 (2／2)

評価部位	節点番号	圧力による応力 (MPa)	外荷重による応力 (MPa)	板厚方向線形温度差による応力 (MPa)	構造上の不連続による熱応力 (MPa)	板厚方向非線形温度差による応力 (MPa)	ピーク応力 Sp (MPa)	繰返しピーク応力強さ ALT (MPa)	繰返しピーク応力強さ ALT' (MPa)	疲労累積係数	許容値
クロスオーバレグ	153	126.8	22.6	78.5	0.0	47.5	275.4	137.7	151.7	0.00005	1.0
	155	134.5	29.1	62.4	24.9	43.0	293.8	146.9	161.9	0.00007	
	157	148.0	31.4	69.8	0.0	43.0	292.2	146.1	161.0	0.00004	
	159	88.5	2.6	104.0	0.0	43.0	238.0	119.0	131.1	0.00000	
	160	148.0	35.1	69.8	0.0	43.0	295.8	147.9	163.0	0.00004	
	161	134.5	33.0	62.4	24.9	43.0	297.8	148.9	164.0	0.00007	
	163	126.8	31.1	78.5	0.0	47.5	283.9	141.9	156.4	0.00006	
	165	134.5	40.3	62.4	24.9	43.0	305.1	152.6	168.1	0.00008	
	167	134.2	24.1	103.2	217.1	13.0	491.6	245.8	270.8	0.00101	
コールドレグ	181	151.2	84.3	67.7	112.0	19.4	434.6	217.3	239.4	0.00052	
	183	88.8	2.3	98.7	0.0	41.3	231.1	115.5	127.3	0.00000	
	185	131.4	80.1	58.4	33.6	41.3	344.9	172.4	190.0	0.00012	
	189	109.7	56.3	82.2	0.0	48.3	296.6	148.3	163.4	0.00007	
	194	114.5	74.3	65.9	24.7	44.3	323.6	161.8	178.3	0.00010	

→クロスオーバレグ 通常UF : 0.002
コールドレグ 通常UF : 0.001



(備考) クラス 2 配管の解析手順には管の機械的荷重により生じるモーメント M_b を含む場合の式のみを記載した

解説図 PPB-3511-1 配管要素の解析手順

応力評価フローチャート

Ke係数と環境評価パラメータ（ホットレグ）（詳細評価手法：評価点114）

過渡条件番号		一次+二次+ピーク応力	割り増し係数 KE	継波しビーグ 応力強さ		車両走行 回数 n	許容繰返し 回数 n*	疲労累積係数 u	環境効果 補正係数 fen	環境効果を考慮した 疲労累積係数 uen
A	B	sp		補正前 salt	補正後 salt'					
43 [2H1]	36 (2E1)	502.8	1.0	251.4	281.7	2	98500	0.00002	13.231	0.00027
39 [2F1]	36 (2D5)	415.7	1.0	207.9	232.9	2	295000	0.00001	13.858	0.00009
39 [2F1]	2 (1B1)	413.3	1.0	206.7	231.6	1	305000	0.00000	23.114	0.00008
33 [2D2]	2 (1B1)	391.4	1.0	195.7	219.3	2	429000	0.00000	23.114	0.00011
21 [1L1]	2 (1B1)	391.0	1.0	195.5	219.1	2	432000	0.00000	23.114	0.00011
29 [2C1]	2 (1B1)	390.6	1.0	195.3	218.9	2	434000	0.00000	23.114	0.00011
37 [2E1]	2 (1B1)	389.1	1.0	194.5	218.0	2	445000	0.00000	23.114	0.00010
25 [2A1]	2 (1B1)	387.2	1.0	193.6	216.9	6	459000	0.00001	23.114	0.00030
35 [2D4]	2 (1B1)	386.6	1.0	193.3	216.6	2	463000	0.00000	23.114	0.00010
41 [2G1]	2 (1B1)	385.3	1.0	192.7	215.9	2	472000	0.00000	23.114	0.00010
31 [2D1]	2 (1B1)	384.1	1.0	192.0	215.2	5	482000	0.00001	23.114	0.00024
3 [1C1]	2 (1B1)	389.0	1.0	184.5	206.8	44	637000	0.00007	1.000	0.00007
3 [1C1]	48 (2J2)	360.8	1.0	180.4	202.1	63	747000	0.00008	1.000	0.00008
3 [1C1]	16 (1I1)	360.7	1.0	180.4	202.1	62	748000	0.00008	1.000	0.00008
42 [2G1]	15 (1I1)	345.6	1.0	172.8	193.6	2	1000000	0.00000	1.000	0.00000
34 [2D3]	15 (1I1)	319.8	1.0	159.9	179.2	2	1290000	0.00000	1.000	0.00000
22 [1L2]	15 (1I1)	311.4	1.0	155.7	174.5	2	1410000	0.00000	1.000	0.00000
40 [2F1]	15 (1I1)	308.1	1.0	154.0	172.6	3	1460000	0.00000	1.000	0.00000
32 [2D1]	15 (1I1)	297.1	1.0	148.6	166.5	5	1650000	0.00000	1.000	0.00000
30 [2C2]	15 (1I1)	294.0	1.0	147.0	164.8	2	1700000	0.00000	1.000	0.00000
3 [1C1]	15 (1I1)	284.1	1.0	142.1	159.2	46	1910000	0.00002	1.000	0.00002
47 [2J1]	26 (2A1)	194.7	1.0	97.4	109.1	6	13900000	0.00000	1.000	0.00000
47 [2J1]	44 (2H2)	190.7	1.0	95.3	106.8	2	16900000	0.00000	1.000	0.00000
47 [2J1]	12 (1G1)	177.4	1.0	88.7	99.4	4	46800000	0.00000	1.000	0.00000
3 [1C1]	46 (2I1)	173.6	1.0	86.6	97.3	3	91400000	0.00000	1.000	0.00000
47 [2J1]	6 (1D1)	166.2	1.0	84.1	94.2	51	7550000000	0.00000	1.000	0.00000
3 [1C1]	6 (1D1)	133.4	1.0	66.7	74.7	563		0.00000	1.000	0.00000
										合計： 0.00108

(注) ひずみ振幅≤0.110% (salt' ≤214.5) の場合、fen=1.0

→環境UF : 0.002

Ke係数と環境評価パラメータ（クロスオーバレグ）（詳細評価手法：評価点167）

過渡条件番号		一次+二次+ピーク応力	割り増し係数	繰返しピーク応力強さ		実過渡回数	許容繰返し回数	疲労累積係数	環境効果補正係数	環境効果を考慮した疲労累積係数
A	B	sp	KE	補正前 salt	補正後 salt'	n	n*	u	f _{en}	u _{en}
1 (1A1)	2 (1B1)	491.6	1.0	245.8	270.8	68	122000	0.00056	10.237	0.00571
47 (2J1)	48 (2J2)	472.1	1.0	236.0	260.1	63	153000	0.00041	5.761	0.00237
27 (2B1)	36 (2D5)	397.7	1.0	198.8	219.1	2	432000	0.00000	17.480	0.00008
27 (2B1)	38 (2E1)	382.7	1.0	191.3	210.8	2	556000	0.00000	1.000	0.00000
25 (2A1)	16 (1I1)	343.7	1.0	171.8	189.3	6	1080000	0.00001	1.000	0.00001
33 (2D2)	16 (1I1)	308.8	1.0	154.4	170.1	2	1530000	0.00000	1.000	0.00000
43 (2H1)	16 (1I1)	296.6	1.0	148.3	163.4	2	1750000	0.00000	1.000	0.00000
35 (2D4)	16 (1I1)	293.9	1.0	146.9	161.9	2	1800000	0.00000	1.000	0.00000
39 (2F1)	16 (1I1)	290.7	1.0	145.3	160.1	3	1870000	0.00000	1.000	0.00000
11 (1G1)	16 (1I1)	286.2	1.0	143.1	157.6	4	1970000	0.00000	1.000	0.00000
37 (2E1)	16 (1I1)	279.0	1.0	139.5	153.7	2	2190000	0.00000	1.000	0.00000
41 (2G1)	16 (1I1)	274.7	1.0	137.4	151.3	2	2340000	0.00000	1.000	0.00000
15 (1I1)	42 (2G1)	272.3	1.0	136.2	150.0	2	2430000	0.00000	1.000	0.00000
13 (1H1)	16 (1I1)	266.9	1.0	133.4	147.0	0	2650000	0.00000	1.000	0.00000
29 (2C1)	16 (1I1)	262.7	1.0	131.4	144.7	2	2840000	0.00000	1.000	0.00000
5 (1D1)	16 (1I1)	262.5	1.0	131.3	144.6	37	2850000	0.00001	1.000	0.00001
46 (2I1)	15 (1I1)	243.3	1.0	121.7	134.0	3	3960000	0.00000	1.000	0.00000
34 (2D8)	15 (1I1)	201.3	1.0	100.6	110.9	2	11900000	0.00000	1.000	0.00000
4 (1C1)	15 (1I1)	185.3	1.0	92.6	102.1	55	31000000	0.00000	1.000	0.00000
5 (1D1)	40 (2F1)	113.1	1.0	56.6	62.3	3	-----	0.00000	1.000	0.00000
合計：										0.00819

(注) ひずみ振幅≤0.110% (salt' ≤214.5) の場合、f_{en}=1.0

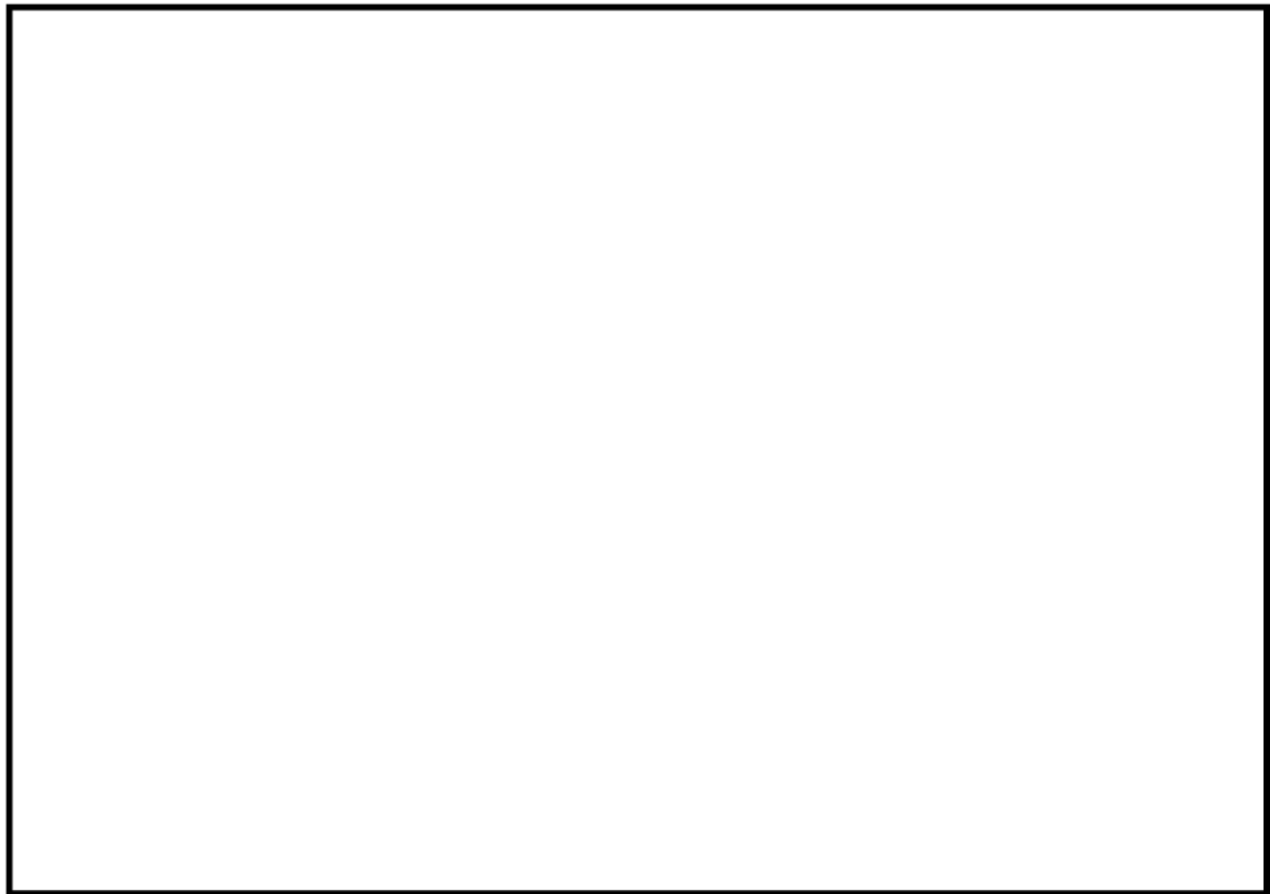
→環境UF : 0.009

Ke係数と環境評価パラメータ（コールドレグ）（詳細評価手法：評価点181）

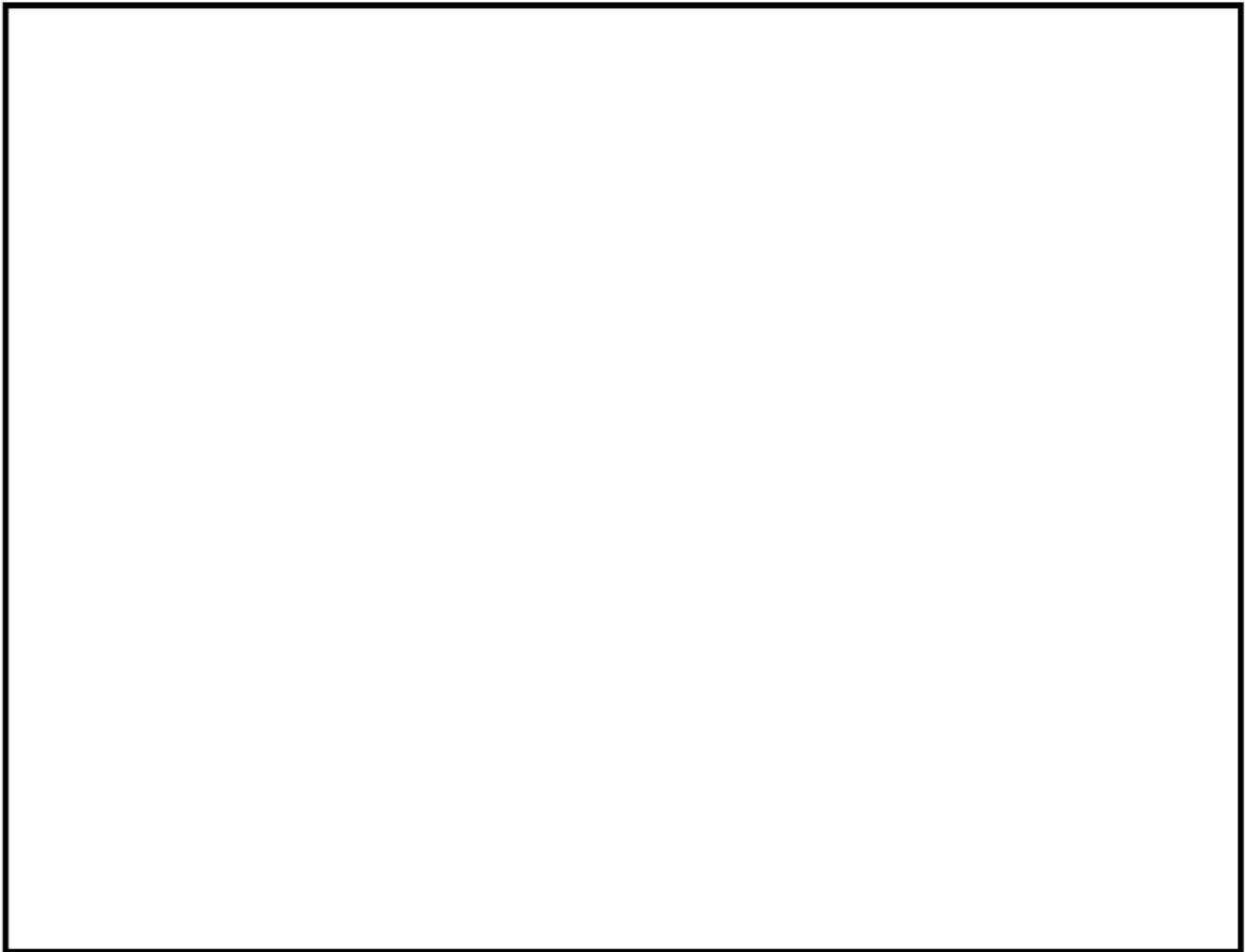
過渡条件番号 A	B	sp	割り増し 係数 KE	練返しピーク 応力強さ		実過渡 回数 n	許容練返し 回数 n*	疲労累積係数 u	環境効果 補正係数 fen	環境効果を考慮した 疲労累積係数 uen
				補正前 salt	補正後 salt'					
27 (2B1)	2 (1E1)	434.6	1.0	217.3	239.4	4	249000	0.00002	16.617	0.00027
1 (1A1)	2 (1E1)	434.4	1.0	217.2	239.3	64	249000	0.00026	10.390	0.00267
1 (1A1)	48 (2J2)	421.8	1.0	210.9	232.4	4	299000	0.00001	5.620	0.00008
25 (2A1)	48 (2J2)	412.5	1.0	206.2	227.2	6	344000	0.00002	28.114	0.00040
47 (2J1)	48 (2J2)	410.3	1.0	205.1	226.0	53	356000	0.00015	5.780	0.00086
47 (2J1)	16 (1I1)	388.7	1.0	194.3	214.1	10	498000	0.00002	1.000	0.00002
15 (1I1)	36 (2D5)	369.1	1.0	184.5	203.3	2	718000	0.00000	1.000	0.00000
33 (2D2)	16 (1I1)	346.4	1.0	173.2	190.8	2	1050000	0.00000	1.000	0.00000
43 (2H1)	16 (1I1)	339.5	1.0	169.6	187.0	2	1120000	0.00000	1.000	0.00000
39 (2F1)	16 (1I1)	331.0	1.0	165.5	182.3	3	1220000	0.00000	1.000	0.00000
11 (1G1)	16 (1I1)	330.0	1.0	165.0	181.8	4	1230000	0.00000	1.000	0.00000
35 (2D4)	16 (1I1)	326.9	1.0	163.4	180.1	2	1270000	0.00000	1.000	0.00000
37 (2E1)	16 (1I1)	314.6	1.0	157.3	173.3	2	1440000	0.00000	1.000	0.00000
41 (2G1)	16 (1I1)	312.7	1.0	156.4	172.3	2	1470000	0.00000	1.000	0.00000
13 (1H1)	16 (1I1)	311.9	1.0	156.0	171.8	0	1480000	0.00000	1.000	0.00000
29 (2C1)	16 (1I1)	307.0	1.0	153.5	169.1	2	1560000	0.00000	1.000	0.00000
5 (1D1)	16 (1I1)	305.1	1.0	152.6	168.1	33	1590000	0.00002	1.000	0.00002
42 (2G1)	15 (1I1)	295.6	1.0	147.8	162.8	2	1770000	0.00000	1.000	0.00000
5 (1D1)	38 (2E1)	278.6	1.0	139.3	153.5	2	2200000	0.00000	1.000	0.00000
46 (2I1)	15 (1I1)	262.2	1.0	131.1	144.4	3	2860000	0.00000	1.000	0.00000
34 (2D3)	15 (1I1)	239.9	1.0	120.0	132.2	2	4210000	0.00000	1.000	0.00000
4 (1C1)	15 (1I1)	224.6	1.0	112.3	123.7	53	5830000	0.00001	1.000	0.00001
5 (1D1)	40 (2F1)	118.0	1.0	59.0	65.0	3	-----	0.00000	1.000	0.00000
合計：										0.00435

(注)ひずみ振幅≤0.110% (salt' ≤214.5) の場合、fen=1.0

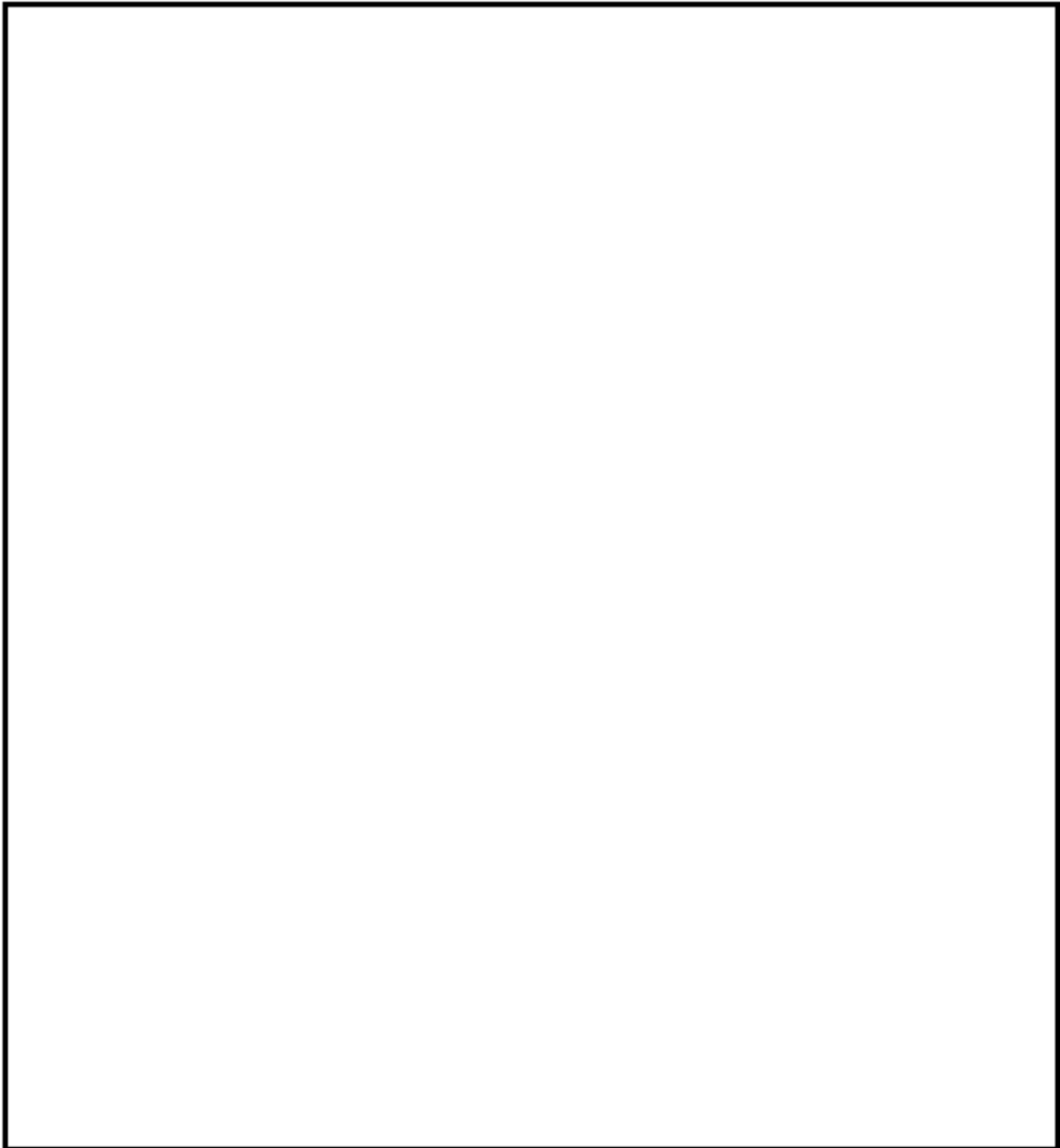
→環境UF : 0.005



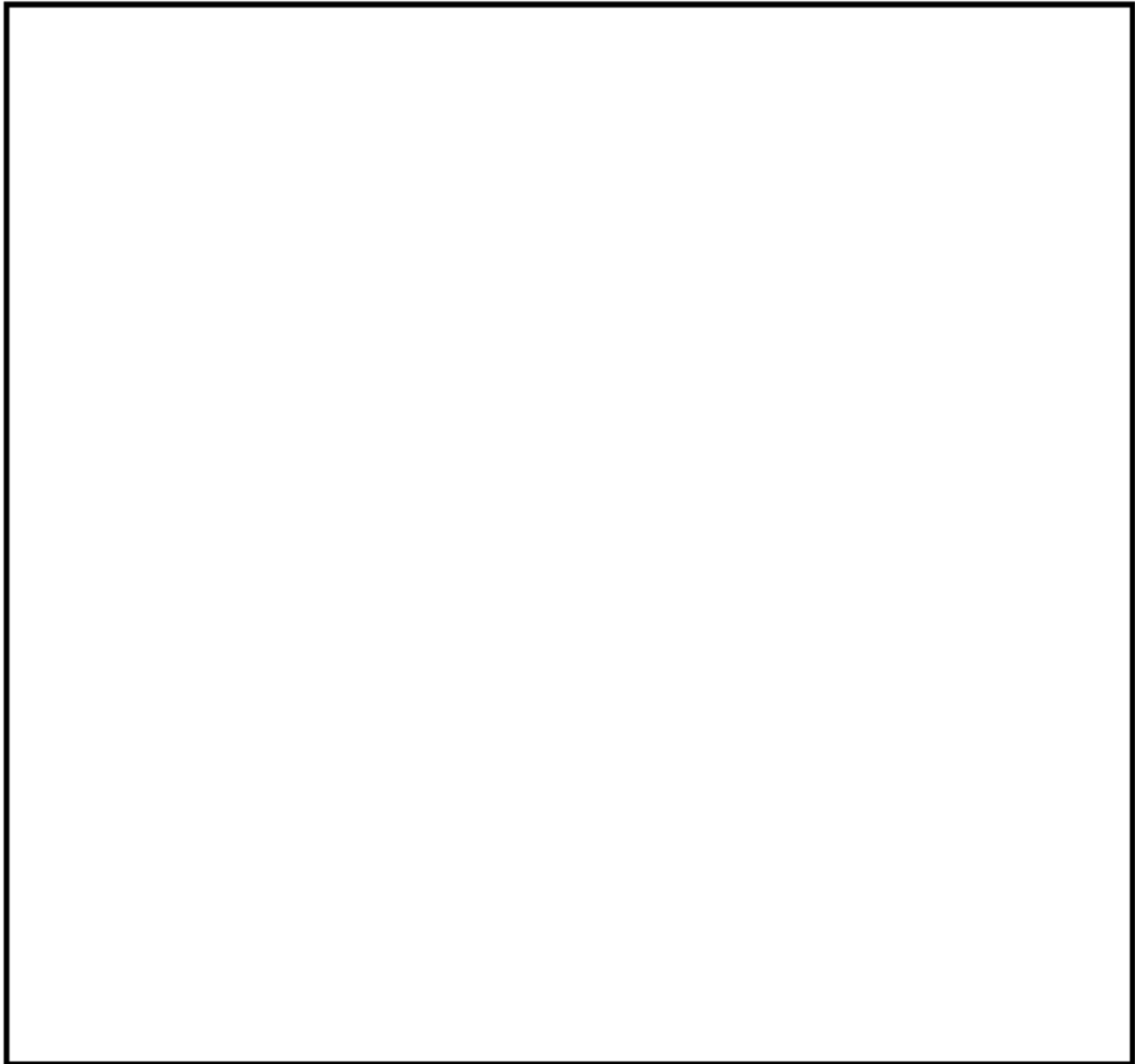
(1) 1次冷却材管（加圧器サージライン用管台） 評価点



(2) 1次冷却材管（蓄圧タンク注入ライン管台） 評価点



(3) 1次冷却材管（余熱除去系戻りおよび安全注入管台） 評価点



(4) 1次冷却材管（充てんライン用管台）評価点

(1) 1次冷却材管（加圧器サージライン用管台） 最大疲労評価点の選定

評価点	U(S12)	U(S23)	U(S31)
1	0.0	0.02967	0.00585
2	0.0	0.00000	0.00004
3	0.0	0.00523	0.00200
4	0.0	0.00000	0.00001
5	0.0	0.00240	0.00071
6	0.0	0.0	0.0
7	0.00011	0.00900	0.00065
8	0.0	0.0	0.0
9	0.00438	0.01406	0.0
10	0.0	0.0	0.0
11	0.0	0.00014	0.00001
12	0.0	0.00000	0.00003

許容値 $U_f = 1.0$

→通常UF : 0.030

(2) 1次冷却材管（蓄圧タンク注入ライン管台） 最大疲労評価点の選定

評価点	U(S12)	U(S23)	U(S31)
1	0.0	0.00755	0.00448
2	0.0	0.00007	0.00011
3	0.00000	0.00097	0.00092
4	0.0	0.00001	0.00001
5	0.00000	0.00032	0.00002
6	0.0	0.00000	0.00000
7	0.0	0.00032	0.00010
8	0.00000	0.0	0.0
9	0.00076	0.00066	0.0
10	0.0	0.0	0.0
11	0.0	0.00000	0.00000
12	0.00005	0.0	0.00010
13	0.0	0.00000	0.00001
14	0.00001	0.00000	0.00009

許容値 $U_f = 1.0$

→通常UF : 0.008

(3) 1次冷却材管（余熱除去系戻りおよび安全注入管台） 最大疲労評価点の選定

評価点	U(S12)	U(S23)	U(S31)
1	0.0	0.00638	0.00517
2	0.0	0.00004	0.00013
3	0.0	0.00002	0.00015
4	0.0	0.00000	0.00000
5	0.0	0.00000	0.00000
6	0.00000	0.0	0.00000
7	0.0	0.00006	0.00001
8	0.0	0.0	0.0
9L	0.00018	0.00091	0.00002
10L	0.0	0.00000	0.00000
9C	0.00001	0.00013	0.00003
10C	0.0	0.00011	0.00005
11L	0.00030	0.00057	0.0
12L	0.0	0.00000	0.0
11C	0.00002	0.00001	0.0
12C	0.0	0.00011	0.00003
13L	0.00026	0.00018	0.00000
14L	0.0	0.00000	0.0
13C	0.00000	0.00000	0.00000
14C	0.0	0.00011	0.00004

許容値 $U_f = 1.0$

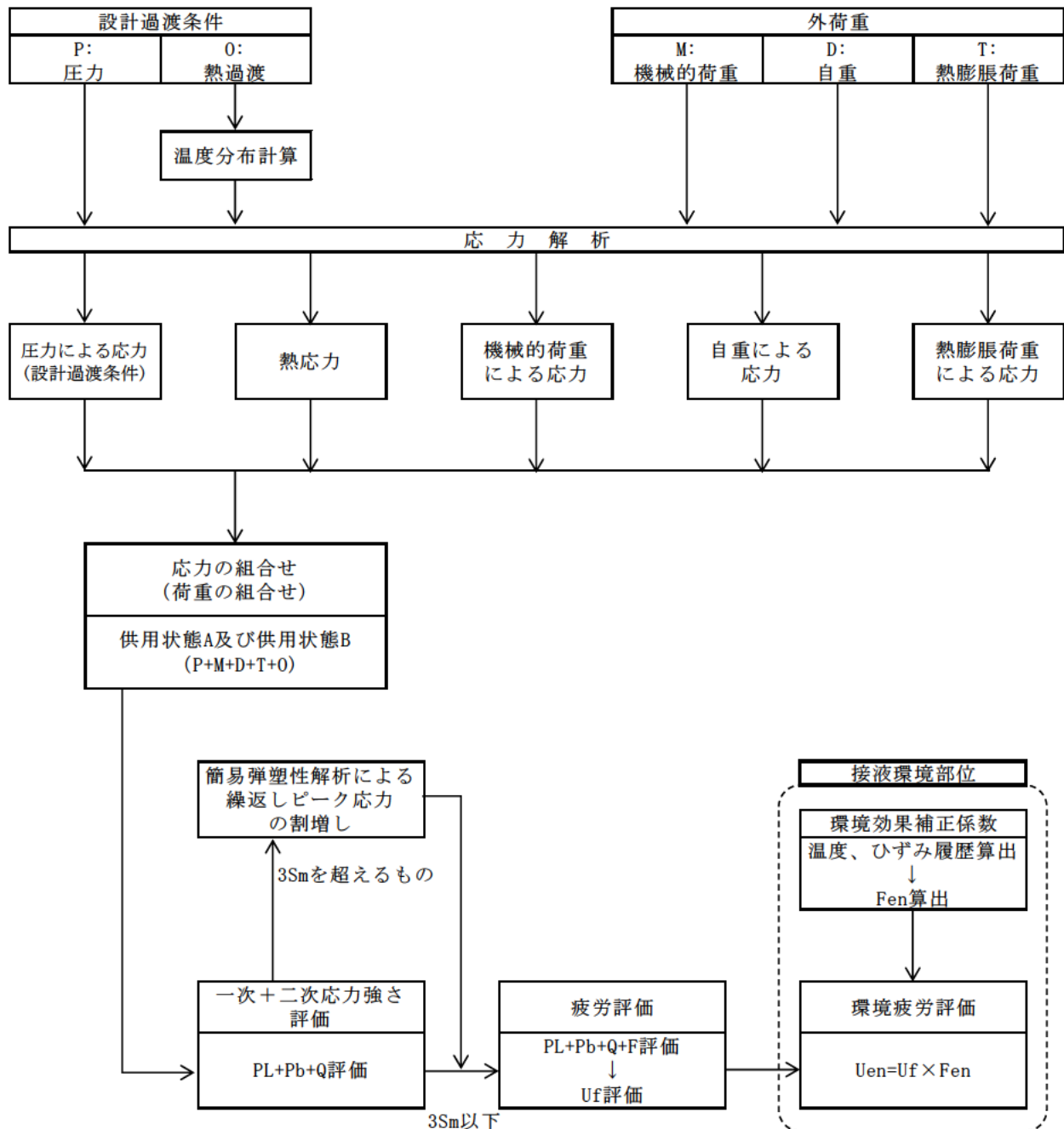
→通常UF : 0.007

(4) 1次冷却材管（充てんライン用管台） 最大疲労評価点の選定

評価点	U(S12)	U(S23)	U(S31)
1	0.0	0.00103	0.00057
2	0.00000	0.00000	0.00001
3	0.0	0.00000	0.00001
4	0.0	0.00000	0.00000
5	0.0	0.00001	0.00000
6	0.0	0.0	0.0
7L	0.00018	0.00138	0.00002
8L	0.0	0.00000	0.00000
7C	0.0	0.00001	0.00005
8C	0.0	0.00009	0.00003
9L	0.00282	0.00099	0.0
10L	0.0	0.00000	0.00000
9C	0.00008	0.00004	0.00000
10C	0.0	0.00010	0.00005
11L	0.00014	0.00023	0.00000
12L	0.00000	0.00000	0.00000
11C	0.0	0.00000	0.00000
12C	0.00000	0.00009	0.00013

許容値 $U_f = 1.0$

→通常UF : 0.003



応力評価フロー

(1) Ke 係数と環境疲労パラメータ (加圧器サーボライン用管台) (詳細評価手法: 評価点1)

過渡条件 記号	一次+二次+ ピーク応力強さ		割り増し 係数 KE	繰返しピーク 応力強さ		実過渡 回数 n	許容繰返し 回数 n*	疲労累積係数 u	環境効果 補正係数 fen	環境効果を考慮した 疲労累積係数 uen
	A	B		smax	smin					
ZD4 1A2 265.8 -318.9 1.32 386.4 433.1 2 10900 0.00018 6.190 0.00114										
1G1 1A2 199.7 -318.9 1.24 320.7 359.4 4 27400 0.00015 6.358 0.00093										
1D1 1A2 194.5 -318.9 1.23 315.8 353.9 402 29700 0.01354 5.368 0.07255										
1D1 1B2 194.5 -318.9 1.23 315.8 353.9 388 29700 0.01305 5.368 0.07013										
2G1 1B2 169.9 -318.9 1.00 244.4 273.9 2 115000 0.00002 4.915 0.00009										
1L4 1B2 167.4 -318.9 1.00 243.2 272.5 2 118000 0.00002 5.448 0.00011										
1M1 1B2 142.7 -318.9 1.00 230.8 258.6 424 158000 0.00268 5.129 0.01375										
1M1 2E1 142.7 -310.4 1.00 225.5 253.9 2 175000 0.00001 15.544 0.00019										
2E1 ZD4 137.3 -240.4 1.11 208.9 234.2 2 285000 0.00001 14.740 0.00010										
1M1 2G1 142.7 -207.7 1.00 175.2 195.3 2 919000 0.00000 1.000 0.00000										
1M1 2H1 142.7 -193.0 1.00 167.8 188.1 2 1100000 0.00000 1.000 0.00000										
1M1 1L3 142.7 -33.2 1.00 87.9 98.6 2 58200000 0.00000 1.000 0.00000										
1M1 1L2 142.7 -7.7 1.00 75.2 84.3 2 ----- 0.00000 1.000 0.00000										
										合計： 0.15910

(注) ひずみ振幅≤0.110% (salt' ≤214.5) の場合、fen=1.0

→環境UF : 0.160

(2) Ke 係数と環境疲労パラメータ (蓄圧タンク注入ライン管台) (詳細評価手法: 評価点1)

過渡条件 記号	一次+二次+ ピーク応力強さ		割り増し 係数 KE	繰返しピーク 応力強さ		実過渡 回数 n	許容繰返し 回数 n*	疲労累積係数 u	環境効果 補正係数 fen	環境効果を考慮した 疲労累積係数 uen
	A	B		smax	smin					
2E1 2E1 708.3 -310.8 1.99 1012.1 1115.0 2 383 0.00522 4.280 0.02235										
2L1 2L1 617.1 -254.8 1.79 780.6 860.0 2 859 0.00233 3.253 0.00757										
2H1 NSS 138.8 0.0 1.00 69.4 76.4 2 ----- 0.00000 1.000 0.00000										
										合計： 0.02992

(注) ひずみ振幅≤0.110% (salt' ≤214.5) の場合、fen=1.0

→環境UF : 0.030

(3) Ke 係数と環境疲労パラメータ (余熱除去系戻りおよび安全注入管台)

(詳細評価手法: 評価点1)

過渡条件 記号	一次+二次+ ピーク応力強さ		割り増し 係数 KE	繰返しピーク 応力強さ		実過渡 回数 n	許容繰返し 回数 n*	疲労累積係数 u	環境効果 補正係数 fen	環境効果を考慮した 疲労累積係数 uen
	A	B		smax	smin					
2D5 2E1 718.4 -168.8 1.82 807.9 890.1 2 770 0.00260 3.324 0.00863										
ZE1 2G1 706.4 -110.6 1.82 743.2 818.8 2 1000 0.00200 3.707 0.00741										
2G1 2D5 714.7 -97.9 1.68 681.4 750.7 2 1350 0.00148 3.377 0.00500										
1B2 1B2 357.4 -84.2 1.00 220.8 243.3 68 225000 0.00030 2.728 0.00082										
2H1 NSS 104.5 0.0 1.00 52.3 57.6 2 ----- 0.00000 1.000 0.00000										
										合計： 0.02187

(注) ひずみ振幅≤0.110% (salt' ≤214.5) の場合、fen=1.0

→環境UF : 0.022

(4) Ke 係数と環境疲労パラメータ（充てんライン用管台）（詳細評価手法：評価点9L）

過渡条件 記号	一次+二次+ ピーク応力強さ		割り増し 係数 KE	機返しピーク 応力強さ 補正前 salt	機返しピーク 応力強さ 補正後 salt'	実過渡 回数 n	許容機返し 回数 n*	疲労累積係数 u	環境効果 補正係数 fen	環境効果を考慮した 疲労累積係数 uen	
	A	B		smax	smin						
2J1	205	4.0	-625.2	1.35	432.0	475.9	2	7360	0.00027	5.263	0.00143
2J1	203	4.0	-604.3	1.31	399.0	439.6	2	10100	0.00020	4.722	0.00094
2J1	201	4.0	-600.3	1.32	399.0	439.6	2	10100	0.00020	5.545	0.00110
2J1	2N4	4.0	-549.9	1.24	343.4	378.4	2	21200	0.00009	8.592	0.00081
2J1	2N5	4.0	-563.5	1.00	253.9	279.6	3	102000	0.00003	0.199	0.00024
2J1	2N2	4.0	-499.4	1.00	251.7	277.3	2	107000	0.00002	0.517	0.00016
2J1	2S1	4.0	-467.0	1.00	255.5	259.5	50	155000	0.00021	11.867	0.00283
1B1	2S1	3.8	-467.0	1.00	255.4	259.4	68	155000	0.00044	6.372	0.00280
1I1	2S1	2.6	-467.0	1.00	234.8	258.7	62	158000	0.00039	11.867	0.00466
NSS	2S1	0.0	-467.0	1.00	233.5	257.2	131	163000	0.00080	11.867	0.00954
204	2S1	-15.5	-467.0	1.00	225.8	248.7	2	196000	0.00001	11.867	0.00012
2QE	2S1	-21.4	-467.0	1.00	222.8	245.5	2	213000	0.00001	11.867	0.00011
202	2S1	-149.3	-467.0	1.20	191.1	210.5	2	561000	0.00000	1.000	0.00000
2E1	2S1	-128.3	-467.0	1.00	169.4	186.8	2	1130000	0.00000	1.000	0.00000
2N3	2S1	-147.6	-467.0	1.00	159.7	175.9	2	1370000	0.00000	1.000	0.00000
2QC	2S1	-159.9	-467.0	1.00	153.5	169.1	2	1560000	0.00000	1.000	0.00000
205	2S1	-262.6	-467.0	1.30	132.4	145.9	2	2740000	0.00000	1.000	0.00000
2M1	2S1	-202.7	-467.0	1.00	132.1	145.6	2	2770000	0.00000	1.000	0.00000
2QA	2S1	-203.1	-467.0	1.00	132.0	145.4	2	2780000	0.00000	1.000	0.00000
2QB	2S1	-207.3	-467.0	1.00	129.9	143.1	3	2980000	0.00000	1.000	0.00000
2NB	2S1	-207.6	-467.0	1.00	129.7	142.9	3	3000000	0.00000	1.000	0.00000
2A1	2S1	-214.1	-467.0	1.00	126.5	139.3	6	3350000	0.00000	1.000	0.00000
2F1	2S1	-236.7	-467.0	1.00	115.1	126.9	3	5030000	0.00000	1.000	0.00000
2D8	2S1	-248.0	-467.0	1.00	112.0	123.4	2	5930000	0.00000	1.000	0.00000
201	2S1	-292.1	-467.0	1.27	111.3	122.6	2	6150000	0.00000	1.000	0.00000
2D5	2S1	-246.5	-467.0	1.00	110.2	121.4	2	6520000	0.00000	1.000	0.00000
2C1	2S1	-250.8	-467.0	1.00	108.1	119.1	2	7310000	0.00000	1.000	0.00000
2D1	2S1	-252.9	-467.0	1.00	107.0	117.9	5	7760000	0.00000	1.000	0.00000
2G1	2S1	-256.4	-467.0	1.00	105.3	116.0	2	8560000	0.00000	1.000	0.00000
2H2	2S1	-261.6	-467.0	1.00	102.7	113.1	2	9930000	0.00000	1.000	0.00000
1G1	2S1	-262.1	-467.0	1.00	102.5	112.9	4	10000000	0.00000	1.000	0.00000
2QG	2S1	-268.4	-467.0	1.00	99.3	109.4	2	13500000	0.00000	1.000	0.00000
2Q8	2S1	-276.0	-467.0	1.00	95.5	105.2	2	19600000	0.00000	1.000	0.00000
2B1	2S1	-279.3	-467.0	1.00	93.8	103.4	4	25400000	0.00000	1.000	0.00000
2Q9	2S1	-279.8	-467.0	1.00	93.6	103.1	5	26300000	0.00000	1.000	0.00000
1L1	2S1	-281.0	-467.0	1.00	93.0	102.4	2	29300000	0.00000	1.000	0.00000
2QH	2S1	-281.1	-467.0	1.00	93.0	102.4	2	29400000	0.00000	1.000	0.00000
1C1	2S1	-281.9	-467.0	1.00	92.6	102.0	419	31500000	0.00001	1.000	0.00001
1C1	2Q5	-281.9	-489.3	1.00	78.7	86.7	4	0.00000	1.000	0.00000	

合計 : 0.02576

(注) ひずみ振幅±0.110% (salt' ±214.5) の場合、fen=1.0

→環境UF : 0.026

タイトル	仕切弁（余熱除去ポンプCループ側入口第1隔離弁 弁箱）の疲労累積係数の算出根拠について
説 明	<p>余熱除去ポンプCループ側入口第1隔離弁の疲労累積係数の算出根拠は以下の通りである。</p> <p>1. 解析モデル JSME S NC1-2005/2007 VVB-3300による評価を実施しており、解析モデルに該当するものはない。 設計・建設規格のVVB-3300（弁の応力評価）に従った応力解析結果を添付1に示す。 また、設計・建設規格のVVB-3300（弁の応力評価）に従った疲労累積係数と、環境疲労評価手法による環境疲労累積係数の算出結果を添付2に示す。</p> <p>2. 材料物性 材質：SCS14A ヤング率：1.78×10^5 (MPa) 熱膨張係数：1.844×10^{-5} (mm/mm・°C)</p> <p>3. 最大評価点の選定 JSME S NC1-2005/2007 VVB-3300の規格計算をしているため該当するものはない。</p> <p>4. 応力分類 荷重の組合せ：圧力、配管反力、熱による応力 (JSME S NC1-2005/2007 VVB-3300によって規定されている)</p> <p>5. K_e係数 簡易弾塑性解析を実施していないため該当なし。</p> <p>6. 環境評価パラメータ 環境補正係数(Fen)の算出根拠を添付3に示す。</p>

応力解析結果

井筒号 : 3-PCV-430	呼び径 : 12B	井筒の材質 : SCS14A	接続管の材質 : SUS316TP	クラス1井								
<u>井筒の応力解析 (1/2)</u>												
(1) 設計条件及び諸元												
最高使用圧力 P (MPa)	最高使用温度 (°C)	260 °Cにおける換算圧力 P _s (MPa)	260 °Cにおける設計応力強さ S _m (MPa)	接続管の260 °Cにおける設計降伏点 S _y (MPa)	260 °Cにおける純弾性係数 E (MPa)	260 °Cにおける熱膨張係数 α ($\times 10^{-6}$ mm/mm·°C)	A A断面における金属部の厚さ t _w (mm)	交ざ部壁面とその二等分線とに接する円の直径 T _{w1} (mm)	交ざ部壁面に接する円の直径 T _{w2} (mm)			
17.16	343	18.5	125	137	178000	18.44						
A A断面における平均半径 r (mm)	A A断面における内半径 r _i (mm)	流体部面積 A _f (mm ²)	金属部面積 A _m (mm ²)	接続管の断面積の2分の1 A _t (mm ²)	A A断面における金属部の断面積 A _z (mm ²)	接続管の断面係数 Z _t (mm ³)	A A断面における断面係数 Z _z (mm ³)	A A断面における極断面係数 Z _p (mm ³)	厚さ方向の温度勾配による最大熱応力 Q _T (MPa)			
圧力の段階的な変化の最大値と最小値との差 Δ P _{t m} (MPa)	厚板部分と薄板部分の平均温度の差の最大値 Δ T (°C)	流体温度の段階的な温度変化の最大値と最小値との差 Δ T _{t m} (°C)	C _b	C ₂	C ₃	C ₄	C ₅	K	ネック部の角度による係数 換返しピーク応力強さの割増し係数 K _e (注1)	材質の種類に応じた値 q	A _o	B _o
										-	-	-

疲労累積係数・環境疲労評価結果

運転状態	過渡の組合せ		S _{p,i} (MPa)	S ₁₁ (MPa)	S ₁₂ (MPa)	N (回)	N/N* (回)	△t ₁ (sec)	△t ₂ (sec)	△t (sec)	E (MPa)	ε (%/sec)	鋼鋼:1 以外:2	ε* (-)	T ₁ (°C)	T ₂ (°C)	T (°C)	T* (°C)	F _{en} (-)	F _{en} × N/N* (-)		
	加熱過程	冷却過程																				
起動時及び停止時	H1	C1	310.4	155.2	174.9	68	1403751	0.000			178000		1							23.114	0.001	
1次系漏えい試験(注1)	H24	C28	310.4	155.2	174.9	63	1403751	0.000			178000		1							9.427	0.000	
起動時及び停止時 以 外	H22	C21	827.4	413.7	468.3	2	7982	0.000			178000		1							18.777	0.005	
	H2	C23	852.3	328.2	367.8	2	24558	0.000			178000		1							25.408	0.002	
	H2	C25	607.8	303.9	342.6	2	34984	0.000			178000		1							26.315	0.002	
	H2	C19	542.3	271.2	305.7	2	63158	0.000			178000		1							25.329	0.001	
	H2	C24	523.3	261.7	284.9	3	76750	0.000			178000		1							25.273	0.001	
	H2	C17	479.3	239.8	270.1	2	124533	0.000			178000		1							25.798	0.000	
	H2	C10	474.4	237.2	267.4	2	131788	0.000			178000		1							27.018	0.000	
	H2	C18	457.4	228.7	257.8	5	161289	0.000			178000		1							28.144	0.001	
	H2	C29	453.0	226.5	255.3	3	170284	0.000			178000		1							28.832	0.001	
	H2	C27	451.3	225.9	254.6	2	172836	0.000			178000		1							25.920	0.000	
	H2	C13	445.3	222.7	251.0	6	187235	0.000			178000		1							26.792	0.001	
	H2	C6	442.9	221.4	249.6	4	192997	0.000			178000		1							31.600	0.001	
	H2	C7	424.7	212.3	239.3	62	249401	0.000			178000		1							27.781	0.007	
	H2	C3	415.0	207.5	233.9	706	287922	0.000			178000		1							31.144	0.076	
	H8	C3	332.5	166.3	187.4	2	1120163	0.000			178000		1							29.422	0.000	
	H12	C3	326.4	163.2	184.0	6	1188778	0.000			178000		1							28.992	0.000	
	H10	C3	325.2	162.8	183.3	2	1204374	0.000			178000		1							29.587	0.000	
	H7	C3	312.3	156.1	176.0	74	1375644	0.000			178000		1							34.080	0.002	
	H7	C14	244.4	122.2	137.7	1	3522648	0.000			178000		1							35.350	0.000	
	H6	C14	240.3	120.2	135.4	3	3785954	0.000			178000		1							35.350	0.000	
								$\Sigma N/N^*$ (注3)		0.004										$\Sigma F_{en} \times N/N^*$		0.101

→通常UF : 0.004

→環境UF : 0.101

注) Spi:ピーク応力強さの変動幅(MPa)、
N/N*:疲労累積係数、
 $\dot{\varepsilon}$:ひずみ速度(%/s)、
T*:温度依存パラメータ、
Fen:環境効果補正係数、
N:繰り返し回数(回)、
 Δt :過渡継続時間(s)、
 $\dot{\varepsilon}^*$:ひずみ速度依存パラメータ、
E:綫弾性係数(MPa)、
T:温度(°C)、
Fen×N/N*:環境疲労累積係数
を示す。

添付2

環境効果補正係数 (Fen) の算出根拠

環境疲労補正係数については、環境疲労評価手法の簡易評価手法によって算出している。

例として起動時及び停止時の過渡の組み合わせ Fen=23.114 の導出の過程を説明する。

環境疲労評価手法 EF-2320 (オーステナイト系ステンレス鋼及びこれらの溶接部) より、PWRプラント環境 (鋳鋼) では、下記のように定まる。

$$\ln(F_{en}) = (C - \dot{\varepsilon}^*) \times T^*$$

$$C = 3.910$$

$$\dot{\varepsilon}^* = \ln(49.9): [\dot{\varepsilon} > 49.9] (\%/s)$$

$$\dot{\varepsilon}^* = \ln(\dot{\varepsilon}): [0.00004 \leq \dot{\varepsilon} \leq 49.9] (\%/s)$$

$$\dot{\varepsilon}^* = \ln(0.00004): [\dot{\varepsilon} < 0.00004] (\%/s)$$

$$T^* = 0.000782 \times T: [T \leq 325] (\text{°C})$$

$$T^* = 0.254: [T > 325] (\text{°C})$$

ここで、

$$\dot{\varepsilon} = 100 \times S_{pi}/(E \times \Delta t) = 100 \times 310.4/(178000 \times \boxed{\quad}) = \boxed{\quad} (\%/s)$$

$$\dot{\varepsilon} < (0.00004) (\%/s)$$

であるから、 $\dot{\varepsilon}^* = \ln(0.00004) = -10.126631$

$$T = \boxed{\quad} (\text{°C})$$

$$\text{であるので、} T^* = \boxed{\quad}$$

したがって、

$$F_{en} = e^{(3.91 + 10.126631) \times \boxed{\quad}} = 23.114$$

タイトル	スイング逆止弁（蓄圧タンク出口第2逆止弁 弁箱）の疲労累積係数の算出根拠について
説明	<p>蓄圧タンク出口第2逆止弁の疲労累積係数の算出根拠は以下の通りである。</p> <p>1. 解析モデル JSME S NC1- 2005/2007 VVB-3360による評価を実施しており、解析モデルに該当するものはない。 設計・建設規格のVVB-3360（弁の応力評価）に従った応力解析結果を添付1に示す。 また、設計・建設規格のVVB-3360（弁の応力評価）に従った疲労累積係数と、環境疲労評価手法による環境疲労累積係数の算出結果を添付2に示す。</p> <p>2. 材料物性 材質：SCS14A ヤング率：1.78×10^5 (MPa) 熱膨張係数：1.844×10^{-5} (mm/mm・°C)</p> <p>3. 最大評価点の選定 JSME S NC-1 2005/2007 VVB-3360の規格計算をしているため該当するものはない。</p> <p>4. 応力分類 荷重の組合せ：圧力、配管反力、熱による応力 (JSME S NC-1 2005/2007 VVB-3360によって規定されている)</p> <p>5. K_e係数 評価に用いたK_e係数を添付1に示す。</p> <p>6. 環境評価パラメータ 環境補正係数(Fen)の算出根拠を添付3に示す。</p>

応力解析結果

弁管号： 3V-SI-136A/B/C		呼び径： 12B		弁管の材質： SCS14A		接続管の材質： SUS316TP		クラス1弁									
<u>弁管の応力解析 (1/2)</u>																	
(1) 設計条件及び諸元																	
最高使用圧力 P (MPa)	最高使用温度 (°C)	260 °Cにおける 換算圧力 P _z (MPa)	260 °Cにおける 設計応力降伏さ S _m (MPa)	接続管の260 °Cに おける設計降伏点 S _y (MPa)	260 °Cにおける 綫弾性係数 E (MPa)	260 °Cにおける 熱膨張係数 α ($\times 10^{-6}$ mm/mm ² °C)	A A断面における 金属部の厚さ t _e (mm)	交ざ部壁面とその二 等分線とに接する円 の直径 T _{e1} (mm)	交ざ部壁面に接する円 の直径 T _{e2} (mm)								
17.16	343	18.5	125	137	178000	18.44											
A A断面における 平均半径 r (mm)	A A断面における 内半径 r ₁ (mm)	流体部面積 A _f (mm ²)	金属部面積 A _m (mm ²)	接続管の断面積の 2分の1 A ₁ (mm ²)	A A断面における 金属部の断面積 A ₂ (mm ²)	接続管の断面係数 Z ₁ (mm ³)	A A断面における 断面係数 Z ₂ (mm ³)	A A断面における 極断面係数 Z _r (mm ³)	厚さ方向の温度勾配に よる最大熱応力 Q _T (MPa)								
圧力の段階的な変化 の最大値と最小値と の差 Δ P _{t_m} (MPa)	厚板部分と薄板部分 の平均温度の差 Δ T (°C)	流体温度の段階的な 温度変化の最大値と 最小値との差 Δ T _{t_m} (°C)	C _b	C _z	C _s	C ₄	C ₅	K _u (注1)	材質の種類に応じた値 q A _o B _o								
1.84	3.1	0.7	2.16														
(2) 弁管の応力																	
項目	一次応力 S						一次+二次応力 S _n (注2)										
	内圧による一次応力	一次局部応力	配管反力による応力				起動時及び停止時 (式VVB-10. 1)	起動時及び停止時以外 (式VVB-10. 2)									
			P _d	P _b	P _s												
計算応力 (MPa)	63	168	39	76	76	270	367										
許容応力 (MPa)	S _m = 125	2.25 S _m = 283	1.5 S _m = 188			3 S _m = 377											
評価	弁管に生ずる応力はすべて許容応力以下であるので、強度は十分である。																

疲労累積係数・環境疲労評価結果

運転状態	過渡の組合せ		S _{p1} (MPa)	S11 (MPa)	S12 (MPa)	N (回)	N/N* (回)	Δt1 (sec)	Δt2 (sec)	Δt (sec)	E (MPa)	ε (%/sec)	焼鋼:1 以外:2	ε* (-)	T1 (°C)	T2 (°C)	T (°C)	T* (°C)	Fen (-)	Fen × N/N*	
	加熱過程	冷却過程																			
起動時及び停止時	H1	C1	497.8	248.8	280.5	68	101027	0.001			178000		1							23.114	0.018
1次系漏えい試験(注1)	H28	C28	497.8	248.8	280.5	68	101027	0.001			178000		1							8.427	0.000
起動時及び停止時 以外	H28	C31	2818.2	2412.3	2719.1	2	38	0.050			178000		1							8.027	0.502
	H27	C30	2393.2	2134.8	2408.4	2	48	0.042			178000		1							8.183	0.382
	H14	C21	765.2	382.8	431.3	2	11159	0.000			178000		1							33.570	0.006
	H14	C23	625.0	312.5	352.3	2	30418	0.000			178000		1							33.570	0.002
	H12	C25	499.5	249.8	281.5	2	98971	0.000			178000		1							17.889	0.000
	H12	C29	489.7	244.9	278.0	3	110459	0.000			178000		1							20.259	0.001
	H12	C19	456.9	228.4	257.5	1	102359	0.000			178000		1							14.454	0.000
	H24	C19	435.3	217.7	245.3	1	213856	0.000			178000		1							12.502	0.000
	H24	C7	433.9	216.9	244.5	1	218400	0.000			178000		1							13.880	0.000
	H18	C7	406.9	203.4	229.3	2	325388	0.000			178000		1							15.212	0.000
	H6	C7	399.5	199.8	225.2	4	364432	0.000			178000		1							20.886	0.000
	H2	C7	382.4	191.2	215.5	55	478707	0.000			178000		1							19.589	0.002
	H2	C24	317.2	158.8	178.8	3	1307325	0.000			178000		1							19.856	0.000
	H2	C32	316.2	158.1	178.2	2	1320649	0.000			178000		1							19.730	0.000
	H2	C28	289.2	144.8	163.0	2	1768342	0.000			178000		1							19.859	0.000
	H2	C13	273.8	138.8	154.2	8	2163405	0.000			178000		1							24.189	0.000
																				Σ Fen × N/N*	0.917
								Σ N/N* (注3)	0.099												

→通常UF:0.099

→環境UF:0.917

注) Spi:ピーク応力強さの変動幅(MPa)、
N:繰り返し回数(回)、
N/N*:疲労累積係数、
Δt:過渡継続時間(s)、
E:綫弾性係数(MPa)、
ε:ひずみ速度(%/s)、
ε*:ひずみ速度依存パラメータ、
T:温度(°C)、
T*:温度依存パラメータ、
Fen:環境効果補正係数、
Fen × N/N*:環境疲労累積係数
を示す。

環境効果補正係数 (Fen) の算出根拠

環境疲労補正係数については、環境疲労評価手法の簡易評価手法によって算出している。

例として起動時及び停止時の過渡の組み合わせ Fen=23.114の導出の過程を説明する。

環境疲労評価手法 EF-2320 (オーステナイト系ステンレス鋼及びこれらの溶接部) より、PWRプラント環境 (鋳鋼) では、下記のように定まる。

$$\ln(F_{en}) = (C - \dot{\varepsilon}^*) \times T^*$$

$$C = 3.910$$

$$\dot{\varepsilon}^* = \ln(49.9): [\dot{\varepsilon} > 49.9] (\%/s)$$

$$\dot{\varepsilon}^* = \ln(\dot{\varepsilon}): [0.00004 \leq \dot{\varepsilon} \leq 49.9] (\%/s)$$

$$\dot{\varepsilon}^* = \ln(0.00004): [\dot{\varepsilon} < 0.00004] (\%/s)$$

$$T^* = 0.000782 \times T: [T \leq 325] (\text{°C})$$

$$T^* = 0.254: [T > 325] (\text{°C})$$

ここで、

$$\dot{\varepsilon} = 100 \times S_{pi}/(E \times \Delta t) = 100 \times 497.6/(178000 \times \boxed{\quad}) = \boxed{\quad} (\%/s)$$

$$\dot{\varepsilon} < (0.00004) (\%/s)$$

であるから、 $\dot{\varepsilon}^* = \ln(0.00004) = -10.126631$

$$T = \boxed{\quad} (\text{°C})$$

$$\text{であるので、} T^* = \boxed{\quad}$$

したがって、

$$F_{en} = e^{(3.91 + 10.126631) \times \boxed{\quad}} = 23.114$$

タイトル	炉心支持構造物の疲労累積係数の算出根拠について										
説明	<p>炉心支持構造物の疲労累積係数の算出根拠は以下のとおりである。</p> <p>1. 解析モデル 疲労累積係数の算出に用いた解析情報を以下に示す。</p> <table border="1"><tr><td>解析プログラム</td><td>(上部炉心支持板) ABAQUS Ver. 6.6-3 (上部及び下部炉心支持柱、下部炉心支持板) NASTRAN Ver. 2005r3b</td></tr><tr><td>要素種類</td><td></td></tr><tr><td>要素次数</td><td></td></tr><tr><td>要素数</td><td></td></tr><tr><td>節点数</td><td></td></tr></table>	解析プログラム	(上部炉心支持板) ABAQUS Ver. 6.6-3 (上部及び下部炉心支持柱、下部炉心支持板) NASTRAN Ver. 2005r3b	要素種類		要素次数		要素数		節点数	
解析プログラム	(上部炉心支持板) ABAQUS Ver. 6.6-3 (上部及び下部炉心支持柱、下部炉心支持板) NASTRAN Ver. 2005r3b										
要素種類											
要素次数											
要素数											
節点数											

2. 材料物性値
各部位の設計応力強さを以下に示す。

使用箇所	材料	設計応力強さ	
		Sm(MPa)	温度(℃)
上部炉心支持板	SA182 Gr. F304 (SUSF304相当) SA240 TYPE304 (SUS304相当)	113	321. 1
上部炉心支持柱	A511 Gr. MT304 (SUS304TK相当) SA479 TYPE304 (SUS304相当)	113	321. 1
下部炉心支持板	SA182 Gr. F304 (SUSF304相当)	116	283. 6
下部炉心支持柱	SA479 TYPE304 (SUS304相当)	116	283. 6

3. 最大評価点の選定

解析モデル上の評価点は、構造不連続部等において応力が大きくなる評価断面を抽出しており、その中から疲労累積係数が最大となる点を選定している。

解析モデル上の評価点および最大評価点の選定結果を、添付 1 に示す。

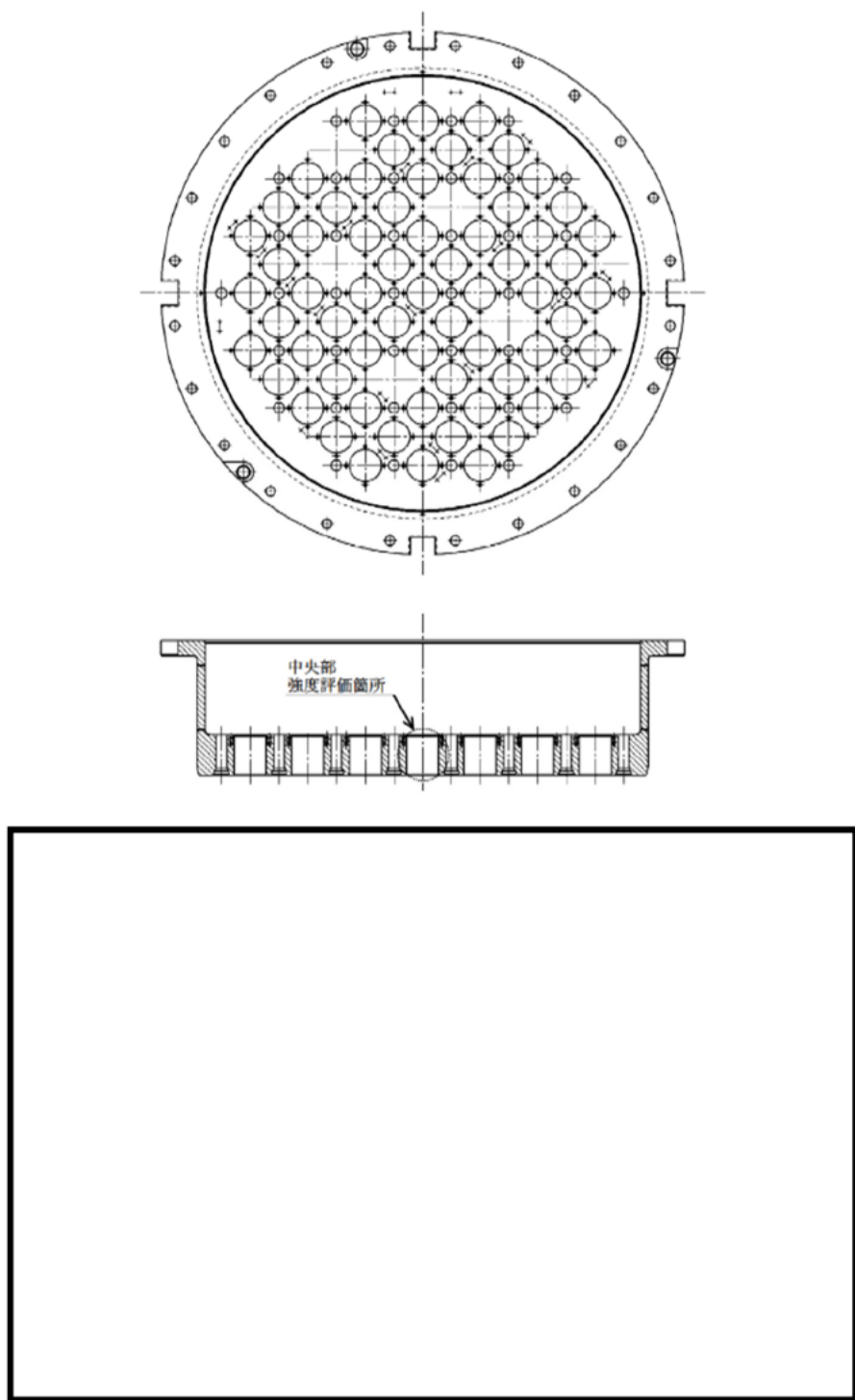
4. 応力分類

評価における荷重の組み合わせを以下に示す。また、応力フローを添付 2 に示す。

状態	荷重の組み合わせ
供用状態 A, B	自重 + 機械的荷重 + 熱過渡荷重

5. K_e 係数および環境パラメータ

評価に用いた K_e 係数および環境評価パラメータ（環境効果補正係数 fen）を添付 3 に示す。



上部炉心支持板 評価点

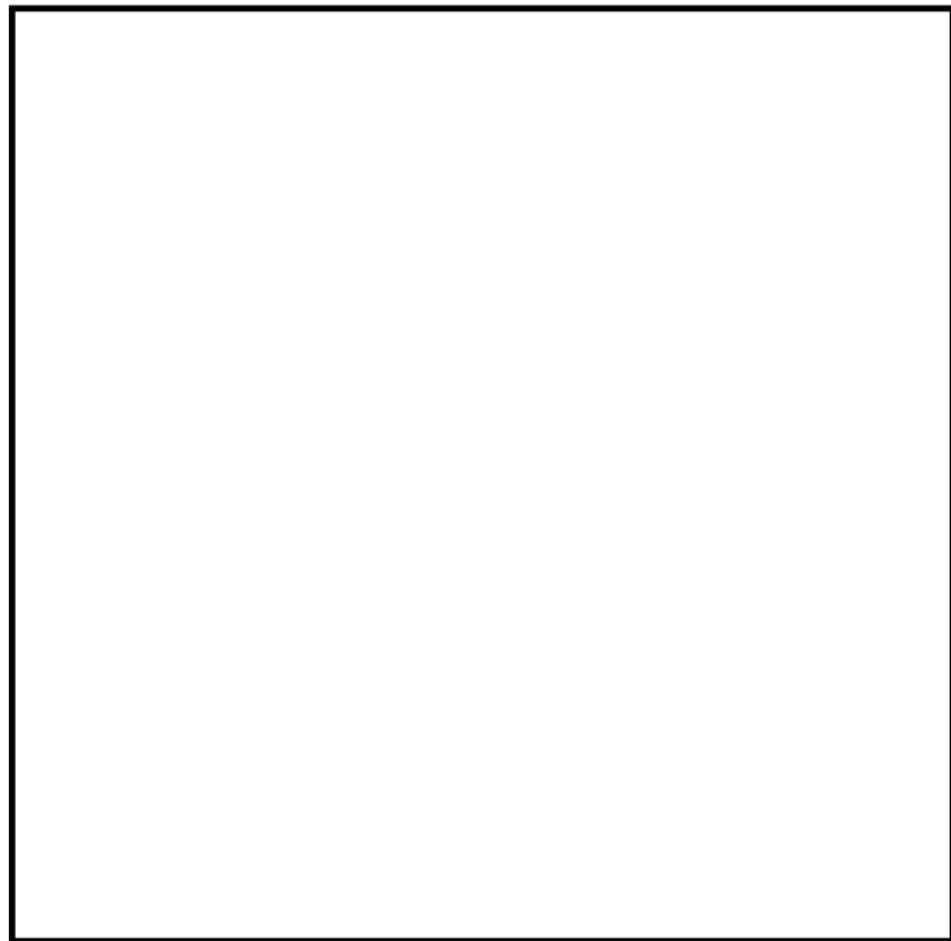
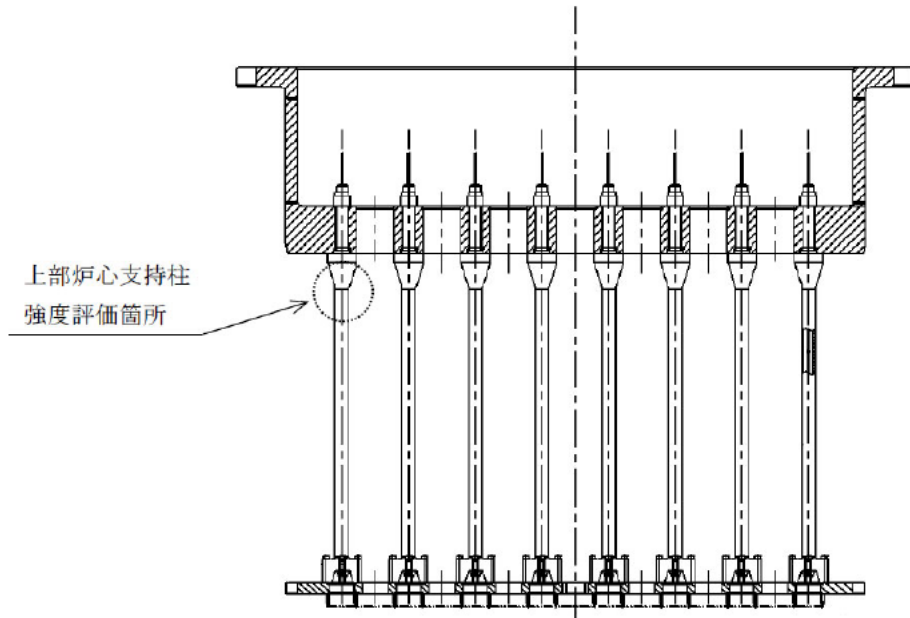
上部炉心支持板 疲労評価結果（評価点：中央部下面）

応力強さ（単位：MPa）			繰返し回数		疲労係数 ($= \frac{N}{N^*}$)	
最大値	最小値	Ke	繰返しピーク応力強さ ^(注)	実際の繰返し回数 N		
584.2	-260.5	1.0	422.4 (473.3)	6	7520	0.00080
315.1	-260.5	1.0	287.8 (322.5)	14	47300	0.00030
180.5	-260.5	1.0	220.5 (247.1)	111	204000	0.00054
180.5	-250.6	1.0	215.6 (241.6)	4	235000	0.00002
180.5	-204.6	1.0	192.6 (215.8)	16	474000	0.00003
173.2	-204.6	1.0	188.9 (211.7)	65	538000	0.00012
158.9	-204.6	1.0	181.7 (203.7)	14	708000	0.00002
127.8	-204.6	1.0	166.2 (186.3)	787	1140000	0.00069
127.8	-83.5	1.0	105.7 (118.4)	14	7570000	0.00000
127.8	-38.6	1.0	83.2 (93.2)	58	-----	0.0

疲労累積係数 = 0.00252

(注) 括弧内の数字は、 $\frac{1.95 \times 10^5}{\text{材料の使用温度における綫弾性係数}}$ を乗じて得た値である。

→通常UF : 0.003



上部炉心支持柱 評価点

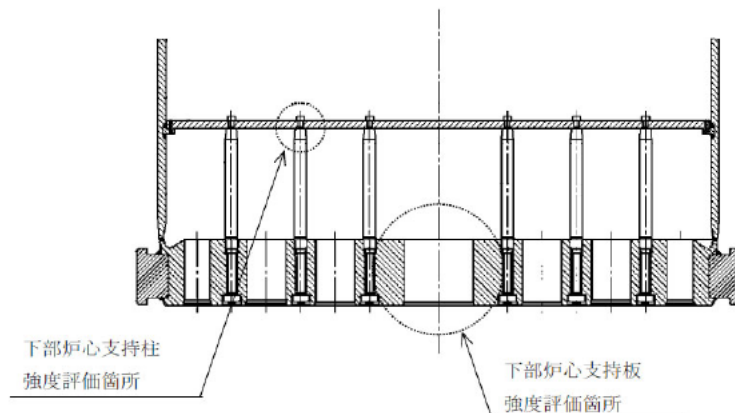
上部炉心支持柱 疲労評価結果 (評価点: 上端)

応力強さ (単位: MPa)			繰返し回数		疲労係数 ($= \frac{N}{N^*}$)	
最大値	最小値	Ke	繰返しピーク応力強さ ^(注)	実際の繰返し回数 N	許容繰返し回数 N*	
0.0	-512.7	1.0	256.3 (287.3)	4	88600	0.00005
0.0	-362.2	1.0	181.1 (203.0)	127	726000	0.00017
-82.8	-362.2	1.0	139.7 (156.6)	6	2020000	0.00000
-84.9	-362.2	1.0	138.7 (155.4)	14	2080000	0.00001
-207.3	-362.2	1.0	77.5 (86.8)	14	-----	0.0

疲労累積係数 = 0.00023

(注) 括弧内の数字は、 $\frac{1.95 \times 10^5}{\text{材料の使用温度における綫弾性係数}}$ を乗じて得た値である。

→通常UF : 0.001



下部炉心構造物組立体 評価点

下部炉心支持板 疲労評価結果 (評価点: 中央部下面)

応力強さ (単位: MPa)			繰返し回数		疲労係数 ($= \frac{N}{N^*}$)	
最大値	最小値	Ke	繰返しピーク応力強さ ^(注)	実際の繰返し回数 N		
536.7	-322.6	1.0	429.6 (473.3)	6	7520	0.00080
465.6	-322.6	1.0	394.1 (434.2)	8	10700	0.00075
465.6	0.0	1.0	232.8 (256.5)	6	165000	0.00004
363.8	0.0	1.0	181.9 (200.4)	65	795000	0.00008
340.9	0.0	1.0	170.5 (187.8)	4	1110000	0.00000
296.8	0.0	1.0	148.4 (163.5)	56	1750000	0.00003
296.8	235.9	1.0	30.4 (33.5)	75	-----	0.0

疲労累積係数 = 0.00170

(注) 括弧内の数字は、 $\frac{1.95 \times 10^5}{\text{材料の使用温度における綫弾性係数}}$ を乗じて得た値である。

→通常UF : 0.002

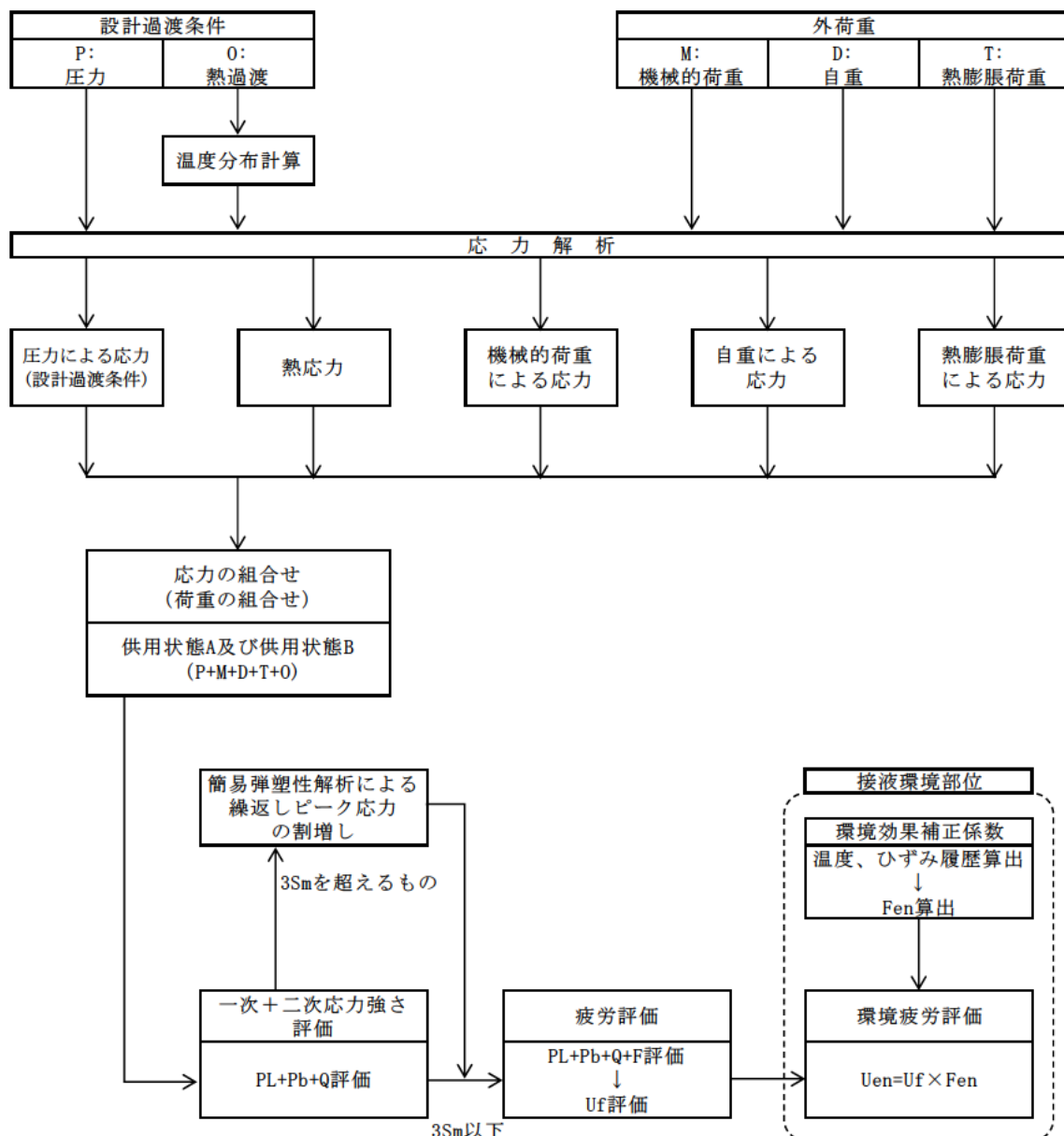
下部炉心支持柱 疲労評価結果（評価点：上端）

応力強さ (単位: MPa)			繰返し回数		疲労係数 ($= \frac{N}{N^*}$)	
最大値	最小値	Ke	繰返しひーク応力強さ ^(注)	実際の繰返し回数 N		
0.0	-660.9	1.0	330.4 (364.0)	14	25700	0.00054
0.0	-529.9	1.0	265.0 (291.9)	117	81200	0.00144
-256.0	-529.9	1.0	136.9 (150.9)	6	2370000	0.00000
-332.4	-529.9	1.0	98.8 (108.8)	14	14300000	0.00000
-361.4	-529.9	1.0	84.3 (92.8)	65	-----	0.0

疲労累積係数 = 0.00199

(注) 括弧内の数字は、 $\frac{1.95 \times 10^5}{\text{材料の使用温度における綫弾性係数}}$ を乗じて得た値である。

→通常UF : 0.002



応力評価フロー

Ke係数と環境疲労パラメータ（詳細評価手法）

上部炉心支持板 疲労評価結果（評価点：中央部下面）

過渡条件 記号		一次+二次+ ピーク応力強さ		割り増し 係数 KE	繰返しピーク 応力強さ		実過渡 回数 n	許容繰返し 回数 n*	疲労累積 係数 u	環境効果 補正係数 fen	環境効果を考慮 した疲労累積係数 uen
A	B	smax	smin		補正前 Salt	補正後 Salt'					
F	1A1	584.2	-260.5	1.00	422.4	473.3	6	7520	0.00080	9.960	0.00795
E	1A1	315.1	-260.5	1.00	287.8	322.5	14	47300	0.00030	9.409	0.00278
A-2	1A1	180.5	-260.5	1.00	220.5	247.1	111	204000	0.00054	12.615	0.00686
A-2	D-1	180.5	-250.6	1.00	215.6	241.6	4	235000	0.00002	10.190	0.00017
A-2	B-1	180.5	-204.6	1.00	192.6	215.8	16	474000	0.00003	13.608	0.00046
C	B-1	173.2	-204.6	1.00	188.9	211.7	65	538000	0.00012	1.000	0.00012
D-2	B-1	158.9	-204.6	1.00	181.7	203.7	14	708000	0.00002	1.000	0.00002
B-2	B-1	127.8	-204.6	1.00	166.2	186.3	787	1140000	0.00069	1.000	0.00069
B-2	D-2	127.8	-83.5	1.00	105.7	118.4	14	7570000	0.00000	1.000	0.00000
B-2	A-2	127.8	-38.6	1.00	83.2	93.2	58	-----	0.00000	1.000	0.00000
											合計 : 0.01906

(注) ひずみ振幅 $\leq 0.110\%$ ($salt' \leq 214.5$) の場合、fen=1.0

■ : 割り増し係数KE, 環境効果補正係数fenを示す

→環境UF : 0.020

上部炉心支持柱 疲労評価結果 (評価点: 上端)

過渡条件 記号		一次+二次+ ピーク応力強さ		割り増し 係数 KE	繰返しひーク 応力強さ		実過渡 回数 n	許容繰返し 回数 n*	疲労累積 係数 u	環境効果 補正係数 fen	環境効果を考慮 した疲労累積係数 uen
A	B	smax	smin		補正前 Salt	補正後 Salt'					
NSS	D-1	0.0	-512.7	1.00	256.3	287.3	4	88600	0.00005	6.799	0.00031
NSS	B-1	0.0	-362.2	1.00	181.1	203.0	127	726000	0.00017	1.000	0.00017
F	B-1	-82.8	-362.2	1.00	139.7	156.6	6	2020000	0.00000	1.000	0.00000
E	B-1	-84.9	-362.2	1.00	138.7	155.4	14	2080000	0.00001	1.000	0.00001
D-2	B-1	-207.3	-362.2	1.00	77.5	86.8	14	-----	0.00000	1.000	0.00000
											合計 : 0.00049

(注) ひずみ振幅 $\leq 0.110\%$ ($salt' \leq 214.5$) の場合、 $fen=1.0$

■ : 割り増し係数KE, 環境効果補正係数fenを示す

→環境UF : 0.001

下部炉心支持板 疲労評価結果 (評価点: 中央部下面)

過渡条件 記号		一次+二次+ ピーク応力強さ		割り増し 係数 KE	繰返しひーク 応力強さ		実過渡 回数 N	許容繰返し 回数 n*	疲労累積 係数 u	環境効果 補正係数 fen	環境効果を考慮 した疲労累積係数 uen
A	B	smax	smin		補正前 Salt	補正後 Salt'					
F	D-2	536.7	-322.6	1.00	429.6	473.3	6	7520	0.00080	13.596	0.01085
E	D-2	465.6	-322.6	1.00	394.1	434.2	8	10700	0.00075	13.259	0.00991
E	NSS	465.6	0.0	1.00	232.8	256.5	6	165000	0.00004	6.719	0.00024
C	NSS	363.8	0.0	1.00	181.9	200.4	65	795000	0.00008	1.000	0.00008
D-1	NSS	340.9	0.0	1.00	170.5	187.8	4	1110000	0.00000	1.000	0.00000
A-2	NSS	296.8	0.0	1.00	148.4	163.5	56	1750000	0.00003	1.000	0.00003
A-2	B-2	296.8	235.9	1.00	30.4	33.5	75	-----	0.00000	1.000	0.00000
											合計: 0.02112

(注) ひずみ振幅 $\leq 0.110\%$ ($\text{salt}' \leq 214.5$) の場合、 $\text{fen}=1.0$

■ : 割り増し係数KE, 環境効果補正係数fenを示す

→環境UF: 0.022

下部炉心支持柱 疲労評価結果 (評価点: 上端)

過渡条件 記号		一次+二次+ ピーク応力強さ		割り増し 係数 KE	繰返しピーク 応力強さ		実過渡 回数 n	許容繰返し 回数 n*	疲労累積 係数 u	環境効果 補正係数 fen	環境効果を考慮 した疲労累積係数 uen
A	B	smax	smin		補正前 Salt	補正後 Salt'					
NSS	D-2	0.0	-660.9	1.00	330.4	364.0	14	25700	0.00054	17.066	0.00930
NSS	B-2	0.0	-529.9	1.00	265.0	291.9	117	81200	0.00144	13.987	0.02015
F	B-2	-256.0	-529.9	1.00	136.9	150.9	6	2370000	0.00000	1.000	0.00000
E	B-2	-332.4	-529.9	1.00	98.8	108.8	14	14300000	0.00000	1.000	0.00000
C	B-2	-361.4	-529.9	1.00	84.3	92.8	65	-----	0.00000	1.000	0.00000
											合計 : 0.02945

(注) ひずみ振幅 $\leq 0.110\%$ ($\text{salt}' \leq 214.5$) の場合、fen=1.0

■ : 割り増し係数KE, 環境効果補正係数fenを示す

→環境UF : 0.030

タイトル	加圧器スカート溶接部の疲労累積係数の算出根拠について																					
説明	<p>加圧器スカート溶接部の疲労累積係数の算出根拠を以下に示す。</p> <p>1. 解析モデル 疲労累積係数の算出に用いた解析情報を以下に示す。</p> <table border="1"> <tr> <td>解析プログラム</td> <td>ABAQUS Ver. 6.3</td> </tr> <tr> <td>要素種類</td> <td></td> </tr> <tr> <td>要素次数</td> <td></td> </tr> <tr> <td>節点数</td> <td></td> </tr> <tr> <td>要素数</td> <td></td> </tr> </table> <p>2. 材料物性値 材料物性値（設計応力強さ）を以下に示す。</p> <table border="1"> <thead> <tr> <th rowspan="2">評価部位</th> <th rowspan="2">材料</th> <th>設計応力 (MPa)</th> </tr> <tr> <th>345°C</th> </tr> </thead> <tbody> <tr> <td>下部胴板、下部鏡板</td> <td>SA533 Gr. A Class1 (SQV1A相当)</td> <td>184</td> </tr> </tbody> </table> <p>3. 最大評価点の選定 解析モデル上の評価点は、構造不連続部等において応力が大きくなる評価断面を抽出しており、その中から疲労累積係数が最大となる点を選定している。 解析モデル上の評価点及び最大評価点の選定結果を添付 1 に示す。</p> <p>4. 応力分類 評価における荷重の組み合わせを以下に示す。 また、応力フローチャートを添付 2 に示す。</p> <table border="1"> <thead> <tr> <th>状態</th> <th>荷重の組み合わせ</th> </tr> </thead> <tbody> <tr> <td>供用状態 A, B</td> <td>圧力 + 自重 + 熱膨張荷重 + 熱過渡</td> </tr> </tbody> </table> <p>5. K_e係数 評価に用いた K_e係数を添付 1 に示す。</p>	解析プログラム	ABAQUS Ver. 6.3	要素種類		要素次数		節点数		要素数		評価部位	材料	設計応力 (MPa)	345°C	下部胴板、下部鏡板	SA533 Gr. A Class1 (SQV1A相当)	184	状態	荷重の組み合わせ	供用状態 A, B	圧力 + 自重 + 熱膨張荷重 + 熱過渡
解析プログラム	ABAQUS Ver. 6.3																					
要素種類																						
要素次数																						
節点数																						
要素数																						
評価部位	材料	設計応力 (MPa)																				
		345°C																				
下部胴板、下部鏡板	SA533 Gr. A Class1 (SQV1A相当)	184																				
状態	荷重の組み合わせ																					
供用状態 A, B	圧力 + 自重 + 熱膨張荷重 + 熱過渡																					



形状複雑部に対しては、応力集中によるピーク応力増加分が得られるように、FEMのメッシュを細かく分割して解析を行っている。FEMのメッシュ分割は、過去の解析結果や各種文献の知見を反映するなどして決定している。

疲労累積係数 (加圧器スカート溶接部)

評価点	U(S12)	U(S23)	U(S31)
1	0.0	0.00008	0.00000
2	0.0	0.00000	0.0
3	0.0	0.00001	0.00018
4	0.00000	0.00001	0.00175
5	0.00100	0.00000	0.00446
6	0.00101	0.0	0.00177
7	0.14407	0.00000	0.14049
8	0.00167	0.00444	0.03445

許容値 $U_f = 1.0$

疲労解析結果 (加圧器スカート溶接部)

評価点 (S12)		(単位 : MPa)				繰返し回数		疲労係数
極大値	極小値	Ke	ALT	ALT'	N	N*	(=N/N*)	
122.8	-698.2	1.33	546.2	635.2	68	734	0.09264	
40.1	-643.5	1.0	341.8	397.5	4	2780	0.00144	
40.1	-621.6	1.0	330.9	384.8	6	3090	0.00194	
40.1	-611.5	1.0	325.8	378.9	2	3240	0.00062	
40.1	-607.6	1.0	323.9	376.6	4	3310	0.00121	
40.1	-604.7	1.0	322.4	374.9	47	3350	0.01403	
0.0	-604.7	1.0	302.3	351.6	131	4120	0.03180	
-167.7	-604.7	1.0	218.5	254.1	2	11000	0.00018	
-341.4	-604.7	1.0	131.6	153.1	2	60200	0.00003	
-432.1	-604.7	1.0	86.3	100.3	63	355000	0.00018	
-488.6	-604.7	1.0	58.0	67.5	2	-----	0.0	
疲労累積係数 =							0.14407	

Ke : 割増し係数

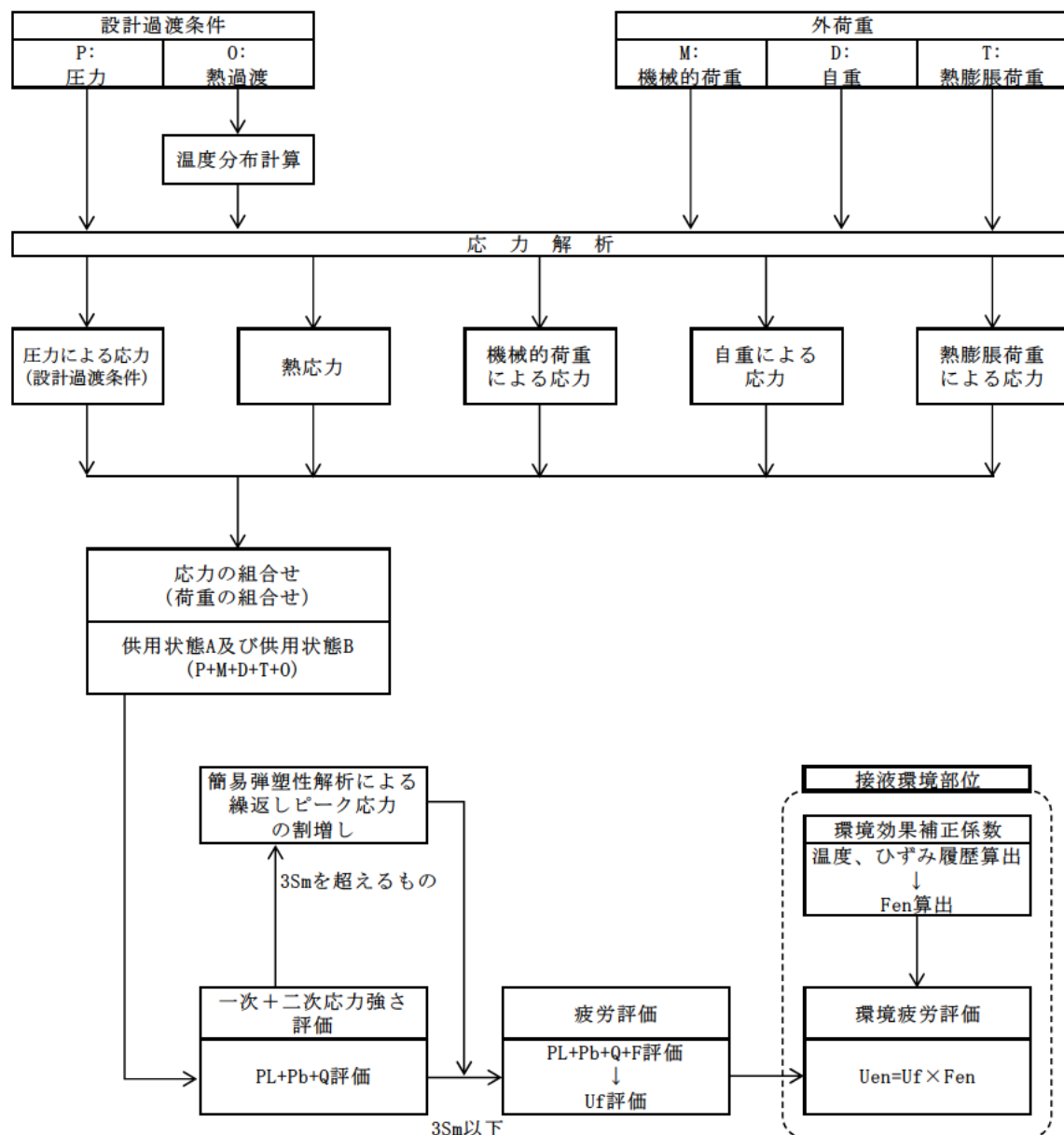
ALT : 繰返しビーグ応力強さ

ALT' : ALTに(207000)/(材料の使用温度における綫弾性係数)を乗じて得た値

N : 設計繰返し回数

N* : 許容繰返し回数

→通常UF : 0.145



備考：機械的荷重は作用しない。また、接液環境部位はない。

応力評価フロー チャート

別紙 8

タイトル	詳細評価法による環境効果補正係数の算出手順について
説 明	1 次冷却材ポンプ吐出ノズルを例に、環境疲労評価における、詳細評価法による環境効果補正係数 Fen の算出手順を添付－1 に示す。

以 上

詳細評価法による環境効果補正係数 Fen の算出手順について

1. はじめに

本資料は、環境疲労評価手法のうち、詳細評価手法について纏めたものである。また、本資料では、1次冷却材ポンプの吐出ノズル（材料：SCS13A）の値を用いて説明を行う。

2. 適用規格

日本機械学会「発電用原子力設備規格 環境疲労評価手法」
(JSME S NF1-2009、以降「環境疲労評価手法」と記載する。)

3. 評価手順

(1) 評価手法

環境疲労評価は、環境疲労評価手法に従い評価を行うものとする。設計建設規格に基づき算出した疲労累積係数（U）に環境効果補正係数（Fen）を掛け合わせることにより求める。

$$U_{en} = U \times Fen$$

(2) 環境効果補正係数(Fen)

環境疲労評価手法のオーステナイト系ステンレス鋼(PWR プラント 1 次系環境)の Fen の算出過程を示す。

$$\ln(Fen) = (C - \dot{\varepsilon}^*) \times T^*$$

ここで、

$$C = 3.910$$

$$\dot{\varepsilon}^* = \ln(49.9) \quad (\dot{\varepsilon} > 49.9\%/\text{s})$$

$$\dot{\varepsilon}^* = \ln(\dot{\varepsilon}) \quad (0.0004\%/\text{s} \leq \dot{\varepsilon} \leq 49.9\%/\text{s}) \quad (\text{鋳鋼以外})$$

$$\dot{\varepsilon}^* = \ln(\dot{\varepsilon}) \quad (0.00004\%/\text{s} \leq \dot{\varepsilon} \leq 49.9\%/\text{s}) \quad (\text{鋳鋼})$$

$$\dot{\varepsilon}^* = \ln(0.0004) \quad (\dot{\varepsilon} < 0.0004\%/\text{s}) \quad (\text{鋳鋼以外})$$

$$\dot{\varepsilon}^* = \ln(0.00004) \quad (\dot{\varepsilon} < 0.00004\%/\text{s}) \quad (\text{鋳鋼})$$

$$T^* = 0.000782 \times T \quad (T \leq 325 \text{ } ^\circ\text{C})$$

$$T^* = 0.254 \quad (T > 325 \text{ } ^\circ\text{C})$$

C : 環境効果補正係数の算出のための定数

$\dot{\varepsilon}$: ひずみ上昇過程でのひずみ速度

$\dot{\varepsilon}^*$: ひずみ速度依存パラメータ

T : 温度

T^* : 温度依存パラメータ

(3) 環境効果補正係数(Fen)の算出方法 (詳細評価手法)

ひずみの時刻歴変動が得られる場合で、ひずみの時刻歴を用いて以下の方法によって時刻毎に Fen を算出し合計することで環境効果補正係数を求める。また、環境効果はひずみの増加時のひずみ速度に強く依存することから、環境疲労評価は過渡中のひずみが連続増加する範囲において実施する。

$$F_{en} = \sum_{k=1}^n F_{en,k} \frac{\Delta \varepsilon_k}{\Delta \varepsilon}$$

応力サイクルの $F_{en,det}$ は次式で求める。

$$F_{en,det} = \frac{F_{en,det,A} \times (\varepsilon_{max,A} - \varepsilon_{min,A}) + F_{en,det,B} \times (\varepsilon_{max,B} - \varepsilon_{min,B})}{(\varepsilon_{max,A} - \varepsilon_{min,A}) + (\varepsilon_{max,B} - \varepsilon_{min,B})}$$

疲労累積係数は次式で求める。

$$U_{en} = \sum_{i=1}^n U_i \times F_{en,det,i}$$

ある区間 k におけるひずみ速度

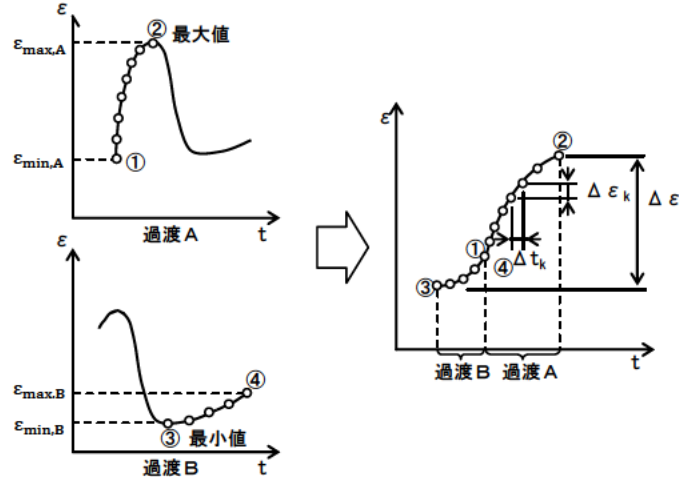
$$\dot{\varepsilon} = \frac{\Delta \varepsilon_k}{\Delta t_k}$$

過渡 A の環境効果補正係数

$$F_{en,det,A} = \sum_{k=1}^m F_{en,k} \frac{\Delta \varepsilon_k}{(\varepsilon_{max,A} - \varepsilon_{min,A})}$$

過渡 B の環境効果補正係数

$$F_{en,det,B} = \sum_{k=1}^m F_{en,k} \frac{\Delta \varepsilon_k}{(\varepsilon_{max,B} - \varepsilon_{min,B})}$$



(4) 1次冷却材ポンプの算出例

① ひずみと温度履歴

ひずみと温度履歴の解析結果を図1に示す。図1よりひずみの上昇過程において微小区間毎の $F_{en,k}$ を算出し、ひずみ量による重み付け積分により、応力サイクルに対する F_{en} を求める。

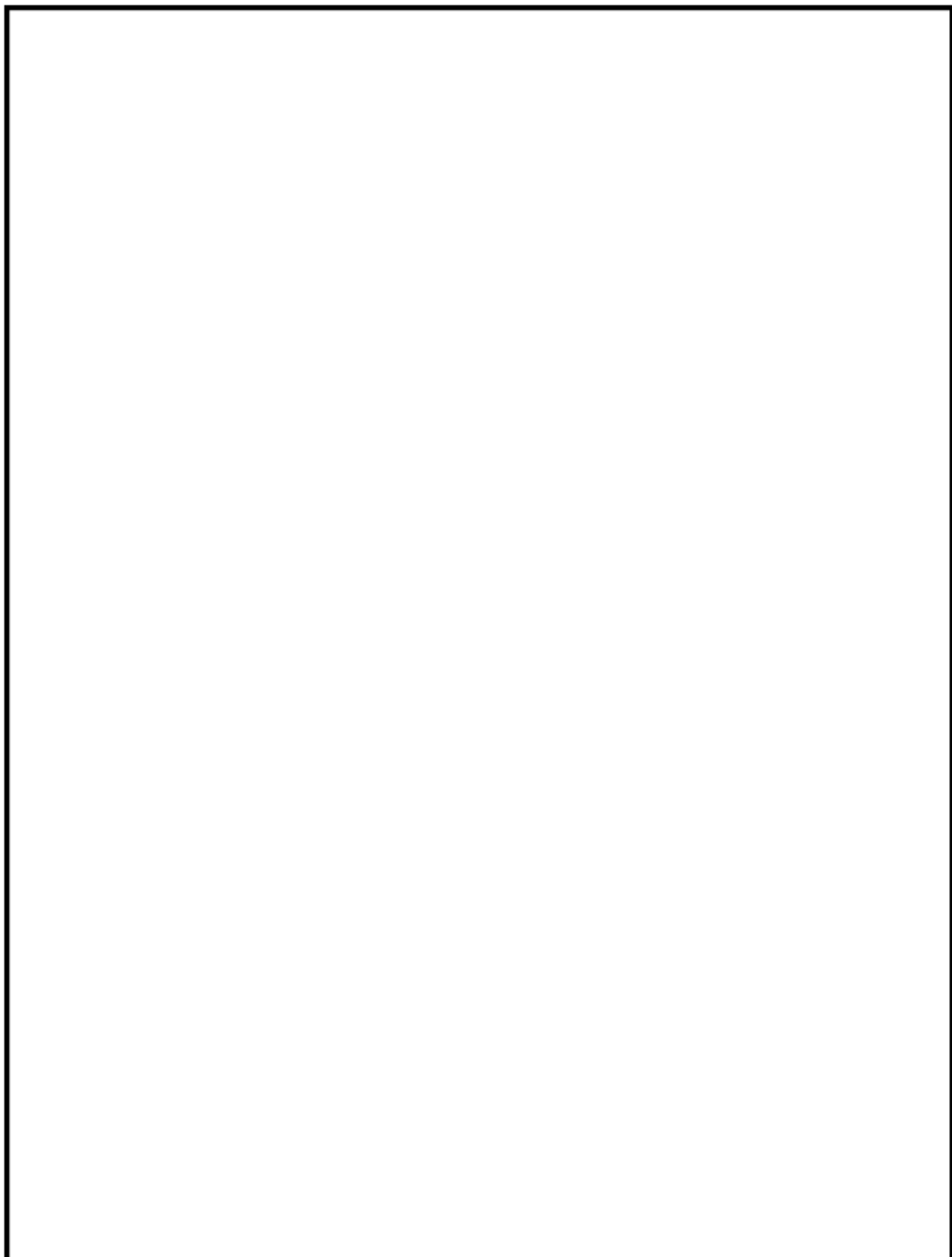


図1 ひずみと温度履歴

② 微小区間 k

図1より微小区間毎に読み取ったデジタル値を表1に示す。表1より(2)で示した方法を用いて F_{en} を算出する。

表1 ひずみ及び温度履歴のデジタル値

詳細評価手法による評価					
過渡 A		SI	Temp	E	f
1	A	1B1	SI	Temp	E
23		-59.2		176556.	
24		-15.8		179560.	
24		-15.8		179560.	
25		-8.1		181344.	
25		-8.1		181344.	
26		71.6		183780.	
26		71.6		183780.	
27		181.3		188008.	
27		181.3		188008.	
28		268.7		191016.	
28		268.7		191016.	
29		356.1		194932.	
区間 1					
1	B	1A1	SI	Temp	E
7		-368.6		176556.	
8		-364.3		176556.	
8		-364.3		176556.	
9		-351.0		176556.	
9		-351.0		176556.	
10		-338.5		176556.	
10		-338.5		176556.	
11		-306.7		176556.	
11		-306.7		176556.	
12		-279.7		176556.	
12		-279.7		176556.	
13		-250.9		176556.	
13		-250.9		176556.	
14		-222.8		176556.	
14		-222.8		176556.	
15		-200.4		176556.	
15		-200.4		176556.	
16		-169.4		176556.	
16		-169.4		176556.	
17		-146.9		176556.	
17		-146.9		176556.	
18		-123.8		176556.	
18		-123.8		176556.	
19		-107.9		176556.	
19		-107.9		176556.	
20		-83.3		176556.	
20		-83.3		176556.	
21		-83.2		176556.	
21		-83.2		176556.	
22		-76.2		176556.	

③ 環境効果補正係数(Fen)

ここでは、過渡 A を用いて Fen を算出過程を説明する。まず、過渡 A について区間 1 について(2)で示したパラメータより算出した結果を以下に示す。

$$C = 3.910$$

$$\dot{\varepsilon}_1 = 0.686389 \times 10^{-5}$$

$$\dot{\varepsilon}_1^* = -10.1266311$$

$$T_1 = \boxed{}$$

$$T_1^* = \boxed{}$$

$$F_{\text{en},1} = e^{(C-\dot{\varepsilon}_1^*) \times T^*} = e^{(3.910 - (-10.1266311)) \times \boxed{}} = 23.114$$

区間 1 のひずみ変化量は、

$$\Delta \varepsilon_1 = \boxed{} - \boxed{} = 0.02471$$

区間 1 での Fen,det,A,1 について求めると、

$$F_{\text{en,det,A,1}} = F_{\text{en},1} \frac{\Delta \varepsilon_1}{(\varepsilon_{\max,A} - \varepsilon_{\min,A})} = 23.114 \times \frac{0.02471}{(\boxed{} - (\boxed{}))} = 2.642$$

以上の算出過程をすべての区間で実施し、足し合わせることで Fen,det,A を算出する。

また、過渡 B についても同様に算出し、Fen, det, A, Fen, det, B の算出結果を以下に示す。

詳細評価手法による評価

1	A	1B1	SI	Temp	E	ε	Time	$\dot{\varepsilon}$	Temp	Fen, k	ΔF_{en}
					176556.			0.686E-05		23.114	2.642
			23	-59.2	179560.						
			24	-15.8	179560.			0.402E-05		23.555	0.253
			24	-15.8	179560.						
			25	-8.1	181344.			0.201E-04		10.452	2.099
			25	-8.1	181344.						
			26	71.6	183780.			0.160E-04		7.252	1.928
			26	71.6	183780.						
			27	181.3	188008.			0.136E-04		3.939	0.806
			27	181.3	188008.						
			28	268.7	191016.			0.121E-04		2.273	0.441
			28	268.7	191016.						
			29	356.1	194933.						
										total	8.170
1	B	1A1	SI	Temp	E	ε	Time	$\dot{\varepsilon}$	Temp	Fen, k	ΔF_{en}
			7	-268.6	176556.			0.212E-04		23.114	0.342
			8	-364.3	176556.						
			8	-364.3	176556.			0.209E-04		23.114	1.048
			9	-351.0	176556.						
			9	-351.0	176556.			0.197E-04		23.114	0.988
			10	-338.5	176556.						
			10	-338.5	176556.			0.167E-04		23.114	2.518
			11	-306.7	176556.						
			11	-306.7	176556.			0.141E-04		23.114	2.128
			12	-279.7	176556.						
			12	-279.7	176556.			0.114E-04		23.114	2.283
			13	-250.9	176556.						
			13	-250.9	176556.			0.884E-05		23.114	2.322
			14	-222.8	176556.						
			14	-222.8	176556.			0.702E-05		23.114	1.764
			15	-200.4	176556.						
			15	-200.4	176556.			0.488E-05		23.114	2.451
			16	-169.4	176556.						
			16	-169.4	176556.			0.355E-05		23.114	1.786
			17	-146.9	176556.						
			17	-146.9	176556.			0.268E-05		23.114	1.346
			18	-129.8	176556.						
			18	-129.8	176556.			0.172E-05		23.114	1.730
			19	-107.9	176556.						
			19	-107.9	176556.			0.115E-05		23.114	1.158
			20	-93.3	176556.						
			20	-93.3	176556.			0.790E-06		23.114	0.794
			21	-83.2	176556.						
			21	-83.2	176556.			0.551E-06		23.114	0.654
			22	-76.2	176556.						
										total	23.114

以上より、過渡 A および過渡 B について、Fen, det, A、Fen, det, B と各過渡の最大ひずみと最小ひずみを以下の式を用いて Fen, det を算出する。

$$\begin{aligned}
 F_{\text{en,det}} &= \frac{F_{\text{en,det,A}} \times (\varepsilon_{\text{max,A}} - \varepsilon_{\text{min,A}}) + F_{\text{en,det,B}} \times (\varepsilon_{\text{max,B}} - \varepsilon_{\text{min,B}})}{(\varepsilon_{\text{max,A}} - \varepsilon_{\text{min,A}}) + (\varepsilon_{\text{max,B}} - \varepsilon_{\text{min,B}})} \\
 &= \frac{8.170 \times (\boxed{\quad} - \boxed{\quad}) + 23.114 \times ((\boxed{\quad}) - (\boxed{\quad}))}{(\boxed{\quad}) - (\boxed{\quad})) + ((\boxed{\quad}) - (\boxed{\quad}))} \\
 &= 14.651
 \end{aligned}$$

過渡条件の組み合わせにより環境 U.F.=U×Fen を算出し、足し合わせる。結果を表2に示す。

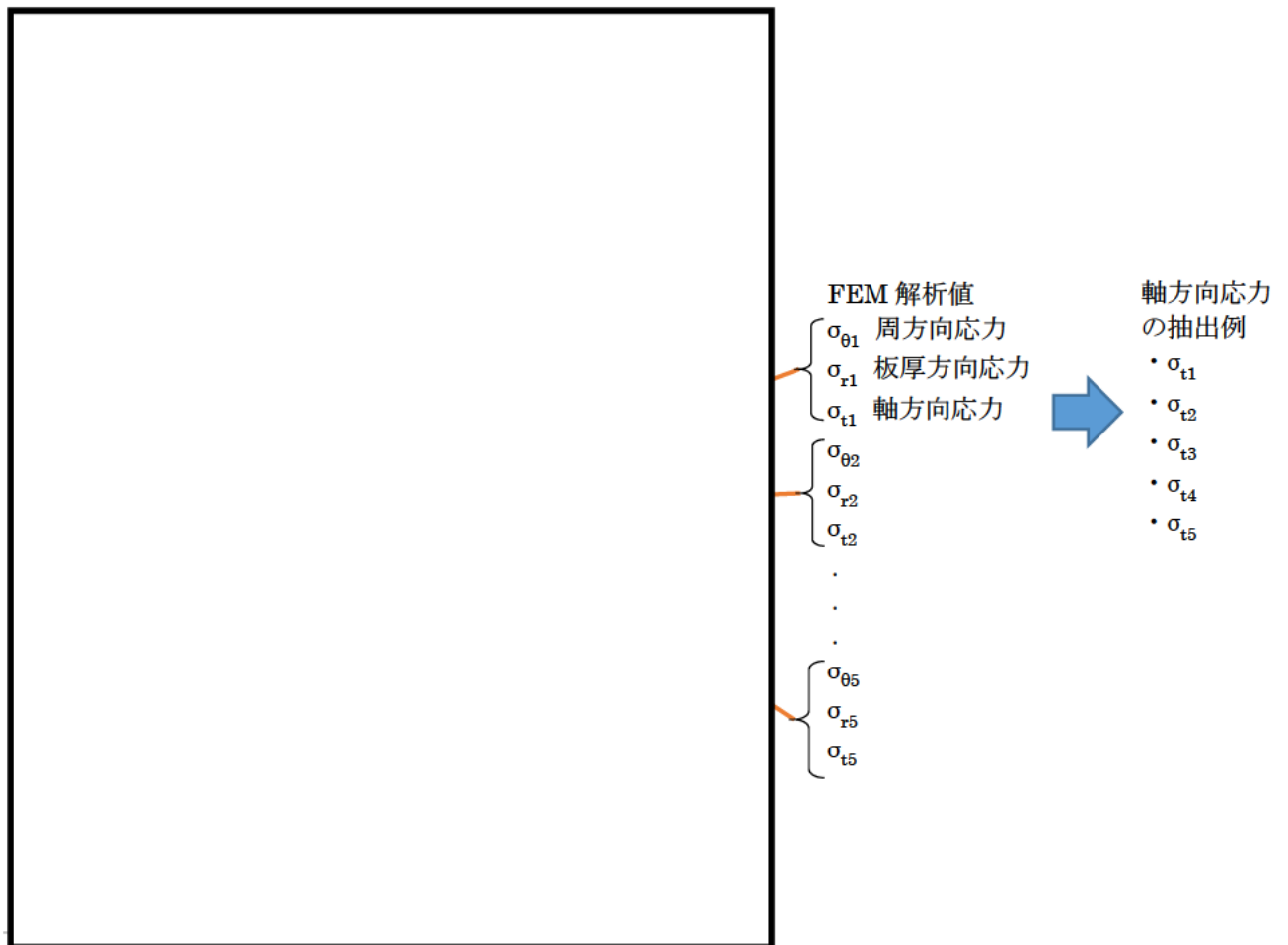
表2 環境効果を考慮した疲労累積係数算出結果

過渡条件 記号	一次+二次+		割り増し 係数	応力強さ	実過渡 回数	許容繰返し 回数	疲労累積係数	環境効果 補正係数	環境効果を考慮した 疲労累積係数		
	B	smax									
補正前 補正後											
A	B	smax	smin	KE	salt	salt'	n	n*	u	f _{en}	u _{en}
1B1	1A1	356.1	-368.6	1.84	666.7	735.8	68	1440	0.04722	14.651	0.69186
2I2	2I1	262.9	-317.1	1.52	439.4	484.9	63	6820	0.00924	7.607	0.07027
2D3	2B1	215.1	-162.4	1.00	188.7	208.3	2	605000	0.00000	1.000	0.00000
2G1	2B1	108.7	-162.4	1.00	135.5	149.6	2	2460000	0.00000	1.000	0.00000
I1I	2A1	101.0	-150.6	1.00	125.8	138.9	6	3400000	0.00000	1.000	0.00000
I1I	2E1	101.0	-122.0	1.00	111.5	123.0	2	6030000	0.00000	1.000	0.00000
I1I	1G1	101.0	-92.8	1.00	96.9	106.9	4	16800000	0.00000	1.000	0.00000
I1A1	1B1	46.1	-59.2	1.84	96.9	106.9	68	16800000	0.00000	1.000	0.00000
I1I1	2D2	101.0	-84.1	1.00	92.5	102.1	2	30700000	0.00000	1.000	0.00000
I1I1	2D3	101.0	-83.2	1.00	92.1	101.7	2	33000000	0.00000	1.000	0.00000
I1I1	2D1	101.0	-82.7	1.00	91.8	101.3	5	34700000	0.00000	1.000	0.00000
I1I1	2C1	101.0	-80.6	1.00	90.8	100.2	2	41300000	0.00000	1.000	0.00000
I1I1	1J1	101.0	-78.9	1.00	90.0	99.3	39	47700000	0.00000	1.000	0.00000
2I1	2I2	34.6	-71.4	1.52	80.3	88.6	63	-----	0.00000	1.000	0.00000
合計：											0.76213

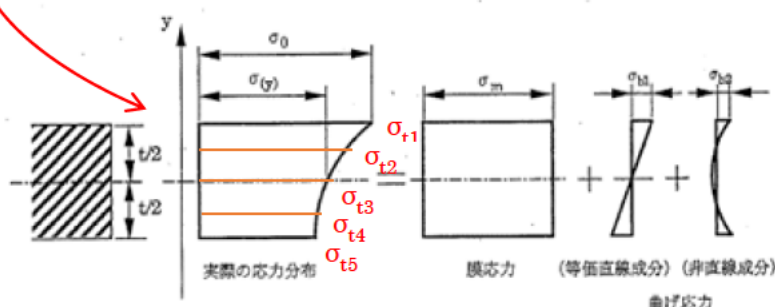
(注) ひずみ振幅≤0.110% (salt' ≤214.5) の場合、f_{en}=1.0

→環境 UF: 0.763

タイトル	有限要素法解析における応力分類について
説 明	<p>1. 応力分類の方法 評価断面において、FEM 解析値を JSME GNR-2130 の考え方に基づき、膜応力、曲げ応力、ピーク応力に分類する。 図 1 に加圧器スプレイ配管の 3 次元解析の例を示す。</p> <p>2. 評価断面の設定方法 評価候補断面（曲げ部、構造不連続部等）の中で、全節点の全時刻における最大ピーク応力強さを特定し、その最大ピーク応力強さを含む断面を、評価断面としている。</p> <p>3. ピーク応力強さの設定方法 ピーク応力強さは、各過渡事象の過渡条件に基づき、外荷重を考慮して応力履歴を算出し、時刻歴での最大応力をその過渡でのピーク応力強さとしている。</p> <p>4. 3 次元解析モデルにおけるメッシュの管理方法 当社では、原子炉施設の許認可申請等に係る解析業務を行う際に、解析業務における品質管理を確実に行うための調達管理のルールを定めている。具体的には、調達先に対して「原子力施設における許認可申請等に係る解析業務の品質向上ガイドライン」（原子力安全推進協会）に従った品質管理の実施を要求し、当社も同ガイドラインに従つて、調達先が定めた解析業務計画に従つて実施しているプロセスの確認をしている。 そのプロセスの中には、「入力根拠の明確化」、「解析結果の検証」が定められており「入力根拠の明確化」では解析モデル作成に関する寸法、境界条件など数値の根拠が明示されることになる。「解析結果の検証」では入力データの確認の他に他の類似解析結果等との比較検証を行うことが含まれている。これらの活動が、解析実施者だけでなく審査者を含む組織として適切に実施していることを、当社は審査で確認している。 従つて当社は、解析業務の調達先が、解析業務の FEM モデル作成について、明確な根拠をもとに作成され、その結果は過去の類似解析結果などと比較して妥当な結果となっていることを確認している。 例えば、ある調達先においては FEM モデルを作成するにあたって、構造不連続部のピーク応力が適切に計算されるように、適切なメッシュ分割になっていること、適切な評価断面を想定した分割になっていること等を「入力根拠の明確化」、「解析結果の検証」の段階で確認し、モデルの妥当性を確認している。そのようなチェックポイントは調達先内部のチェックシートを用いて組織的に確認している。 なお、具体的な解析モデル作成の知見は調達先のノウハウであり明示することは困難であるが、技術文献記載の知見や過去からの解析結果のフィードバックをもとにして、調達先社内標準、参照マニュアルが整備され、それらとの整合性を確認して解析者が FEM モデルを作成し、審査、承認を経て解析が実施されるしくみとなっている。</p> <p style="text-align: right;">以 上</p>



2005 設計・建設規格 第I編 解説 第1章 GNR



解説図 GNR-2130-1 膜応力と曲げ応力の考え方

図1 加圧器スプレイ配管の3次元解析の応力分類概略図

タイトル	蓄圧タンク出口第2逆止弁の過渡回数の影響について
説明	<p>蓄圧タンク出口第2逆止弁の疲労累積係数に対する過渡回数の影響評価を行った。</p> <p>蓄圧タンク出口第2逆止弁については、表1、2に示すとおり、過渡項目「1次冷却系の異常な減圧」の繰返しピーク応力に対する許容繰返し回数は36回、「蓄圧タンク出口電動弁の誤作動」は48回である。</p> <p>当該過渡項目の60年時点推定過渡回数を1回から2回に見直したことにより、疲労累積係数が約0.049（総疲労累積係数0.099の約49%に相当）増加したため、疲労累積係数への影響は大きい結果となった。</p> <p>【参考】</p> <p>原子炉容器スタッドボルトについては、表3、4および図1に示すとおり、過渡項目「1次冷却系の異常な減圧」（および「停止」の組合せ）による繰返しピーク応力に対する許容繰返し回数は2540回である。</p> <p>よって、上記弁と同様に、当該過渡項目の60年時点推定過渡回数を1回から2回に見直しているが、疲労累積係数は約0.0004（総疲労累積係数0.363の約0.11%に相当）の増加となり、疲労累積係数への影響は軽微でという結果となった。</p> <p style="text-align: right;">以 上</p>

表1 蓄圧タンク出口第2逆止弁の設計過渡条件

弁番号		3V-SI-136A/B/C									
過渡組合せ条件		1次冷却系統設計過渡(低温側) + 蓄圧タンク注入ノズル設計過渡条件									
		加熱過程					冷却過程				
No.	記号	過渡条件	温度差 ΔT (°C)	回数 N (回)	No.	記号	過渡条件	温度差 ΔT (°C)	回数 N (回)		
H1	I-a	起動(温度上昇率55.6°C/h)	265.1	68	C1	I-b	停止(温度下降率55.6°C/h)	265.1	68		
H2	I-c (1)	負荷上昇(負荷上昇率5%/min)	4.8	801	C2	I-c (2)	負荷上昇(負荷上昇率5%/min)	5	801		
H3	I-d (1)	負荷減少(負荷減少率5%/min)	4.1	790	C3	I-d (2)	負荷減少(負荷減少率5%/min)	3.7	790		
H4	I-e (1)	90%から100%へのステップ状負荷上昇	4.1	6	C4	I-e (2)	90%から100%へのステップ状負荷上昇	3.2	6		
H5	I-f (1)	100%から90%へのステップ状負荷減少	3.1	6	C5	I-f (2)	100%から90%へのステップ状負荷減少	4.3	6		
H6	I-g (1)	100%からの大きいステップ状負荷減少	8.3	4	C6	I-g (2)	100%からの大きいステップ状負荷減少	7.7	4		
H7	I-k	15%から0%への負荷減少	0.4	63	C7	I-i	燃料交換	33	62		
H8	I-1-i (1)-1	ループ停止(運転ループ)	2.8	2	C8	I-j	0%から15%への負荷上昇	0.4	75		
H9	I-1-i (1)-2	ループ停止(停止ループ)	4.4	2	C9	I-1-i (2)-1	ループ停止(運転ループ)	6.7	2		
H10	I-1-ii (1)-1	ループ起動(起動ループ)	4.1	2	C10	I-1-i (2)-2	ループ停止(停止ループ)	6.5	2		
H11	I-1-ii (1)-2	ループ起動(運転ループ)	2	2	C11	I-1-ii (2)-1	ループ起動(起動ループ)	2.4	2		
H12	II-a (1)	負荷の喪失	19.7	6	C12	I-1-ii (2)-2	ループ起動(運転ループ)	1.3	2		
H13	II-b (1)-1	外部電源喪失(補助給水されるループ)	12.2	4	C13	II-a (2)	負荷の喪失	10.8	6		
H14	II-b (1)-2	外部電源喪失(補助給水されないループ)	36.5	4	C14	II-b (2)-1	外部電源喪失(補助給水されるループ)	2.1	4		
H15	II-c (1)-1	1次冷却材流量の部分喪失(健全側)	4.5	2	C15	II-b (2)-2	外部電源喪失(補助給水されないループ)	8	4		
H16	II-c (1)-2	1次冷却材流量の部分喪失(故障側)	3.1	2	C16	II-c (2)-1	1次冷却材流量の部分喪失(健全側)	5.9	2		
H17	II-d-i (1)	不注意な冷却を伴わないトリップ	1.7	5	C17	II-c (2)-2	1次冷却材流量の部分喪失(故障側)	4.6	2		
H18	II-d-ii (1)-1	不注意な冷却を伴うトリップ(冷却ループ)	9.8	2	C18	II-d-i (2)	不注意な冷却を伴わないトリップ	5	5		
H19	II-d-ii (1)-2	不注意な冷却を伴うトリップ(正常ループ)	1.4	2	C19	II-d-ii (2)-1	不注意な冷却を伴うトリップ(冷却ループ)	33.3	2		
H20	II-d-iii (1)-1	不注意な冷却とSIを伴うトリップ(冷却ループ)	4.6	2	C20	II-d-ii (2)-2	不注意な冷却を伴うトリップ(正常ループ)	22.7	2		
H21	II-d-iii (1)-2	不注意な冷却とSIを伴うトリップ(正常ループ)	1.7	2	C21	II-d-iii (2)-1	不注意な冷却とSIを伴うトリップ(冷却ループ)	79.4	2		
H22	II-f (1)	制御棒クラスタの落下	1.5	3	C22	II-d-iii (2)-2	不注意な冷却とSIを伴うトリップ(正常ループ)	75.8	2		
H23	II-g (1)	出力運転中の非常用炉心冷却系の誤起動	1.9	2	C23	II-e	1次冷却系の異常な減圧	50.8	2		
H24	II-h (1)-1	1次冷却系停止ループの誤起動(起動ループ)	15.3	2	C24	II-f (2)	制御棒クラスタの落下	19.7	3		
H25	II-h (1)-2	1次冷却系停止ループの誤起動(運転ループ)	3.6	2	C25	II-g (2)	出力運転中の非常用炉心冷却系の誤起動	42	2		
H26	II-i (1)	1次系漏洩試験	166.6	63	C26	II-h (2)-1	1次冷却系停止ループの誤起動(起動ループ)	14	2		
H27	1. (1)	蓄圧タンク出口電動弁の誤作動	199	2	C27	II-h (2)-2	1次冷却系停止ループの誤起動(運転ループ)	4.2	2		
H28	2. (1)-1	1次冷却系の異常な減圧	231.3	2	C28	II-i (2)	1次系漏洩試験	166.6	63		
		以下余白			C29	II-i	ターピン回転試験	40	3		
					C30	1. (2)	蓄圧タンク出口電動弁の誤作動	249	2		
					C31	2. (2)-1	1次冷却系の異常な減圧	262.6	2		
					C32	2. (2)-2	1次冷却系の異常な減圧	19.5	2		

疲労累積係数への寄与度が高い

表2 蓄圧タンク出口第2逆止弁の疲労評価結果

運転状態	過渡の組合せ		ピーク応力強さ S_{p_i} (MPa)	繰返しピーク 応力強さ S_{11} (MPa)	繰返しピーク 応力強さ (温度補正值) S_{12} (MPa)	繰返し回数 N (回)	許容繰り返し 回数 N^* (回)	N/N*
	加熱過程	冷却過程						
起動時及び停止時	H1	C1	-	248.8	280.5	68	101027	0.001
1次系漏えい試験(注)	H26	C28	-	248.8	280.5	63	101027	0.001
起動時及び停止時 以外	H28	C31	2618.2	2412.3	2719.1	2	36	0.056
	H27	C30	2393.2	2134.9	2406.4	2	48	0.042
	H14	C21	765.2	382.6	431.3	2	11159	0.000
	H14	C23	625.0	312.5	352.3	2	30418	0.000
	H12	C25	499.5	249.8	281.5	2	98971	0.000
	H12	C29	489.7	244.9	276.0	3	110459	0.000
	H12	C19	456.9	228.4	257.5	1	162359	0.000
	H24	C19	435.3	217.7	245.3	1	213856	0.000
	H24	C7	433.9	216.9	244.5	1	218400	0.000
	H18	C7	406.9	203.4	229.3	2	325388	0.000
	H6	C7	399.5	199.8	225.2	4	364432	0.000
	H2	C7	382.4	191.2	215.5	55	478707	0.000
	H2	C24	317.2	158.6	178.8	3	1307325	0.000
	H2	C32	316.2	158.1	178.2	2	1320649	0.000
	H2	C26	289.2	144.6	163.0	2	1768342	0.000
	H2	C13	273.6	136.8	154.2	6	2163405	0.000
							疲れ累積係数 ΣU_i	0.099

(注)発生応力の算定は、JSME S NC1-2005/2007のVVB-3360の式に規定される式を用いて算出した。

(VVB-3360 起動時および停止時における弁箱の疲労評価 は、 S_{p_i} を算出せずに S_1 を算出する規定となっている。)

表3 原子炉容器スタッドボルトの設計過渡条件

過 渡 条 件 項 目		記 号	発生回数
起 動		1A1	72
停 止		1B1	72
負荷上昇 (15%から100%出力)		1C1	801
負荷減少 (100%から15%出力)		1D1	790
運 転 90%から100%負荷へのステップ状負荷上昇		1E1	6
100%から90%負荷へのステップ状負荷減少		1F1	6
状 态 100%からの大きいステップ状負荷減少		1G1	4
態 定常負荷運転時の変動		1H1	—
I 燃料交換		1I1	62
0%から15%への負荷上昇		1J1	75
15%から0%への負荷減少		1K1	63
1 ループ停止／1 ループ起動	停 止	1L1	2
	起 動	1L2	2
負荷の喪失		2A1	6
外部電源喪失		2B1	4
1 次冷却材流量の部分喪失		2C1	2
運 転 100%からの原子炉トリップ	不注意な冷却を伴わないトリップ	2D1	5
	不注意な冷却を伴うトリップ	2D2	2
	不注意な冷却とSIを伴うトリップ	2D3	2
II 状 態	1 次冷却系の異常な減圧	2E1	2
	制御棒クラスタの落下	2F1	3
	出力運転中の非常用炉心冷却系の誤起動	2G1	2
	1 次冷却系停止ループの誤起動	2H1	2
	ターピン回転試験	2I1	3
	1 次系漏えい試験	2J1	69

(注) ○ : 温度分布解析を実施するもの。

表4 原子炉容器スタッドボルトの疲労評価結果

評価点 - 7 (S12)						
応力強さ (単位 : MPa)				繰返し回数		疲労係数
極大値	極小値	Ke	ALT	ALT'	N	(=N/N*)
1954.2	0.0	1.0	977.1	1169.1	69	354 0.19492
1954.2	219.6	1.0	867.3	1037.7	3	450 0.00667
1703.8	219.6	1.0	742.1	888.0	69	612 0.11275
1372.6	425.6	1.0	473.5	566.6	2	1480 0.00135
1356.3	425.6	1.0	465.3	556.8	4	1540 0.00260
1287.8	425.6	1.0	431.1	515.8	2	1800 0.00111
1273.2	425.6	1.0	423.8	507.1	61	1860 0.03280
1273.2	547.0	1.0	363.1	434.5	2	2540 0.00079
1273.2	714.6	1.0	279.3	334.2	2	4300 0.00047
1273.2	858.3	1.0	207.5	248.2	7	8640 0.00081
1271.8	858.3	1.0	206.7	247.4	62	8720 0.00711
1271.8	899.1	1.0	186.3	222.9	2	11500 0.00017
1271.8	916.2	1.0	177.8	212.7	3	13300 0.00023
1271.8	969.4	1.0	151.2	180.9	2	22600 0.00009
1271.8	1015.6	1.0	128.1	153.2	5	48100 0.00010
1271.8	1019.5	1.0	126.1	150.9	1	51600 0.00002
1262.7	1019.5	1.0	121.6	145.5	1	61200 0.00002
1262.7	1032.7	1.0	115.0	137.6	2	79400 0.00003
1255.8	1032.7	1.0	111.6	133.5	4	91500 0.00004
1255.8	1039.9	1.0	108.0	129.2	3	108000 0.00003
1255.8	1057.3	1.0	99.2	118.7	4	182000 0.00002
1255.8	1070.6	1.0	92.6	110.8	2	295000 0.00001
1255.8	1071.4	1.0	92.2	110.4	0	304000 0.00000
1255.8	1080.4	1.0	87.7	105.0	6	436000 0.00001
1255.8	1083.6	1.0	86.1	103.0	0	499000 0.00000
1255.8	1086.9	1.0	84.5	101.1	2	568000 0.00000
1255.8	1093.4	1.0	81.2	97.2	6	743000 0.00001
1255.8	1097.5	1.0	79.1	94.7	0	885000 0.00000
1255.8	1101.8	1.0	77.0	92.1	6	— 0.0
						疲労累積係数 = 0.36213

Ke : 割増し係数

ALT : 繰返しピーク応力強さ

ALT' : ALTに(207000)/(材料の使用温度における継弾性係数)を乗じて得た値

N : 設計繰返し回数

N* : 許容繰返し回数

疲労累積係数への寄与度が低い

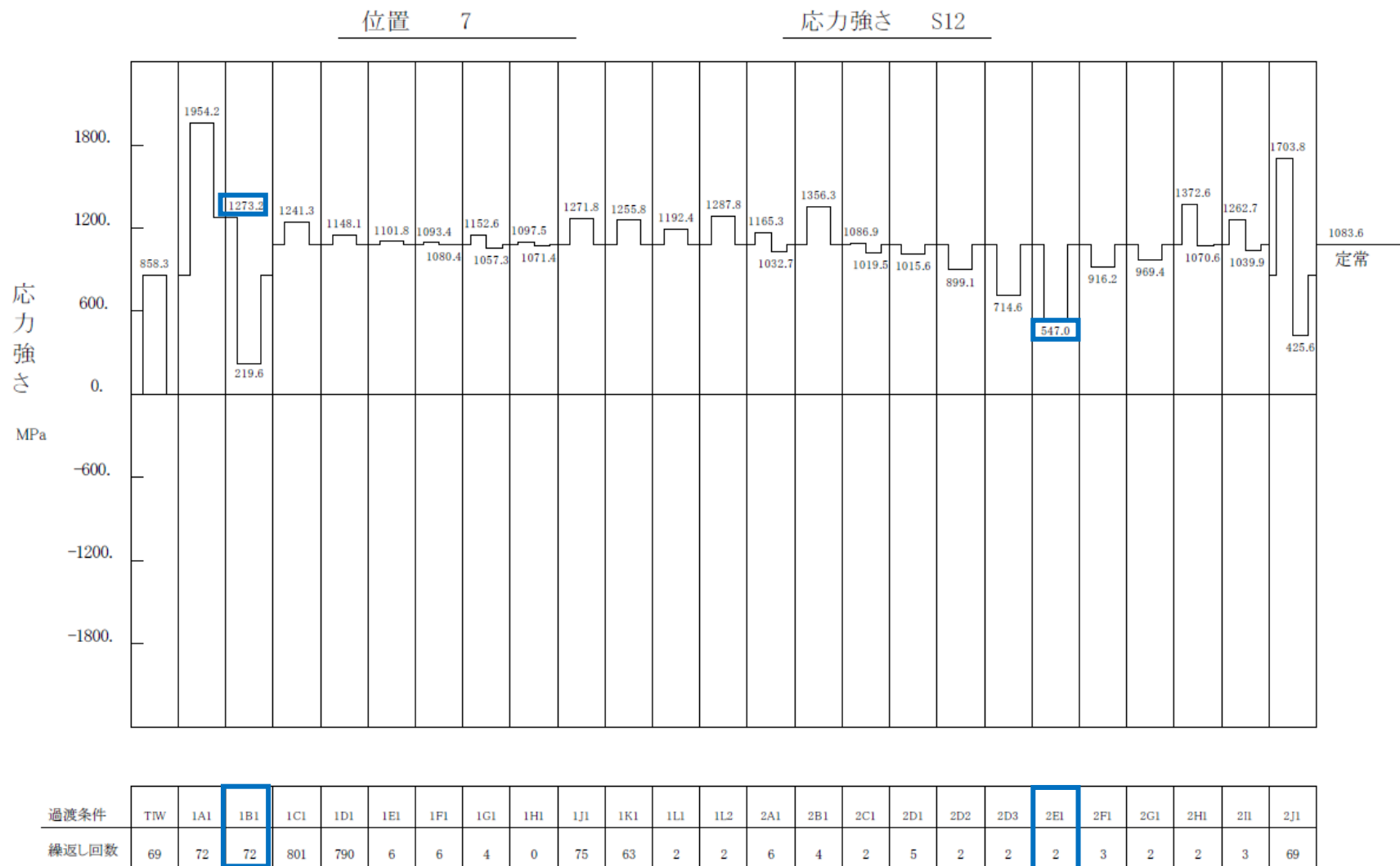


図1 原子炉容器スタッドボルトの各過渡条件における応力強さの変動

表5 高浜3号炉 疲労評価に用いた過渡回数の比較

運転状態I

過渡項目	運転開始後60年 時点の推定値	
	30年目 の評価	40年目 の評価
起動(温度上昇率55.6°C/h)	67	68
停止(温度下降率55.6°C/h)	67	68
負荷上昇(負荷上昇率5%/min)	735	801
負荷減少(負荷減少率5%/min)	724	790
90%から100%へのステップ状負荷上昇	5	6
100%から90%へのステップ状負荷減少	5	6
100%からの大きいステップ状負荷減少	4	4
定常負荷運転時の変動*1	—	—
燃料交換	59	62
0%から15%への負荷上昇	75	75
15%から0%への負荷減少	61	63
1ループ停止／1ループ起動		
I) 停止	1	2
II) 起動	1	2

運転状態II

過渡項目	運転開始後60年 時点の推定値	
	30年目 の評価	40年目 の評価
負荷の喪失	6	6
外部電源喪失	4	4
1次冷却材流量の部分喪失	1	2
100%からの原子炉トリップ		
I) 不注意な冷却を伴わないトリップ	7	5
II) 不注意な冷却を伴うトリップ	1	2
III) 不注意な冷却と安全注入を伴うトリップ	1	2
1次冷却系の異常な減圧	1	2
制御棒クラスタの落下	5	3
出力運転中の非常用炉心冷却系の誤起動	1	2
1次冷却系停止ループの誤起動	1	2
タービン回転試験	3	3
1次系漏えい試験	63	63

タイトル	30年目の高経年化技術評価から変更した主な評価手法
説明	<p>表1に30年目と40年目の低サイクル疲労による疲労累積係数の予測評価の比較を示す。</p> <p>以上</p>

表1 (1/2) 高浜発電所3号炉 低サイクル疲労による疲労累積係数の予測評価の比較 (1／2)

機器・設備	部位	60年時点の予測値 (()内は環境疲労を考慮した値)		評価手法の主な変更点
		30年目評価	40年目評価	
1次冷却材ポンプ	ケーシング脚部	0.099 (0.753)	0.101 (0.763)	過渡回数の変更
	ケーシング吐出ノズル	0.098 (0.752)	0.099 (0.763)	
蒸気発生器	給水入口管台	0.155 (0.518)	0.158 (0.525)	過渡回数の変更
	管板廻り	0.134 (0.139)	0.139 (0.150)	
原子炉容器	炉内計装筒	0.113 (0.002)	0.116 (0.002)	過渡回数の変更
	スタッドボルト	0.357	0.363	
機械ペネトレーション	主蒸気管貫通部伸縮継手	0.022	0.024	過渡回数の変更
	主給水管貫通部伸縮継手	0.203	0.219	
1次冷却材管	加圧器サージライン用管台	0.027 (0.142)	0.030 (0.160)	過渡回数の変更 加圧器サージライン用管台は2次元FEM→3次元FEM
	蓄圧タンク注入ライン管台	0.004 (0.017)	0.007 (0.022)	

表1 (2/2) 高浜発電所3号炉 主要な低サイクル疲労による疲労累積係数の予測評価の比較 (2/2)

機器・設備	部位	60年時点の予測値 (()内は環境疲労を考慮した値)		評価手法の主な変更点
		30年目評価	40年目評価	
玉形弁	抽出水止め弁	0.021 (0.274)	0.029 (0.396)	過渡回数の変更
スイング逆止弁	蓄圧タンク出口第2逆止弁	0.051 (0.513)	0.099 (0.917)	過渡回数の変更
炉内構造物	上部炉心支持板	0.003 (0.016)	0.003 (0.020)	過渡回数の変更
	下部炉心支持柱	0.002 (0.030)	0.002 (0.030)	
重機器サポート	加圧器スカート溶接部	0.143	0.145	過渡回数の変更